

INSTITUTUL POLITEHNIC „TRAIAN VUIA” TIMISOARA  
FACULTATEA DE CONSTRUCTII  
CATEDRA DE BETON ARMAT SI CLĂDIRI

ING. WAHIB ZENELDIN

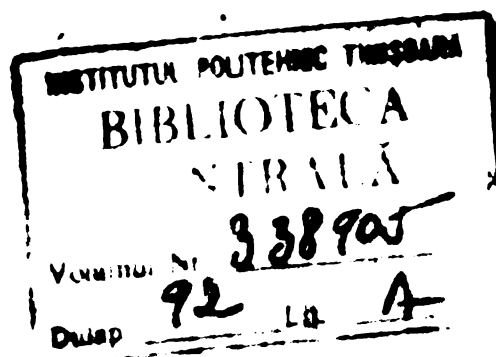
CONTRIBUTII LA CALCULUL SI  
ALCATUIREA STRUCTURILOR CU  
DIAFRAGME DIN BETON ARMAT

TEZA DE DOCTORAT

CONDUCATOR STIINTIFIC:  
PROF. EMERIT. ING. CONSTANTIN AVRAM  
MEMBRU CORESPONDENT AL ACADEMIEI R.S.R.

BIBLIOTECA CENTRALĂ  
UNIVERSITATEA "POLITEHNICA"  
TIMIȘOARA

1978



## 1. INTRODUCERE

### 1.1. Utilizarea structurilor cu diafragme și clasificarea lor.

Evoluția structurilor de rezistență ale clădirilor de locuit este strâns legată de tendința modernă de industrializare a proceselor de execuție, în vederea accelerării ritmului de execuție, a reducerii consumului de manopera și a creșterii productivității muncii pe șantier.

Utilizarea structurilor cu diafragme a căpătat atât în R.S.R. cât și în străinătate o largă răspândire, datorită avantajelor pe care le prezintă și anume :

- posibilitatea de prefabricare uzinală, care indică un grad înalt de industrializare precum și un consum minim de cofraje și susțineri pe șantier;

- industrializarea punerii în operă a betonului monolit, prin folosirea cofrajelor glisante sau a unor cofraje și eșafodaje de tipuri adecvate unei execuții rapide și cu un grad înalt de refolosire, fapt ce conduce la reducerea consumului de material lemnos;

- folosirea armăturilor semiprefabicate sub formă de plăse și carcase sudate;

- utilizarea mijloacelor mecanizate de preparare, transport, turnare și compactare a betonului;

- consum relativ redus de oțel.

Structurile cu diafragme prezintă o mare varietate de tipuri ce pot fi clasificate după mai multe criterii.

#### 1.1.1. Dispunerea în plan a diafragmelor.

Stabilirea poziției și formei diafragmelor este indicat să se facă ținând seama de rezolvarea optimă a unor cerințe cum sint /24/ :

- asigurarea bunei funcționării a partii lui;

- adoptarea unui procedeu tehnologic ce asigură o execuție industrializată favorabilă cerințelor economice;

- distribuția cât mai uniformă posibilă pentru obținerea unor stări de eforturi reduse și evitarea supraîncărcării unor elemente structurale.

In multitudinea de structuri realizate, se disting mai

multe grupări caracteristice ale diafragmelor în funcție de dispozitiva în plan :

a) Structuri fagure, la care diafragmele plane sunt dispuse într-o rețea rectangulară deasă la circa 3 ... 4 m distanță, formând celule corespunzătoare mărimii unei camere. În acest caz procesele funcționale nu diferă de la un nivel la altul, realizindu-se o continuitate pe toată înălțimea clădirii. Aceste structuri, având diafragme suficient de dese, conduc la o distribuție uniformă și la o valoare redusă a eforturilor și în consecință la o armare constructivă. Pe de altă parte, ele dă posibilitatea unei execuții industrializate prin folosirea cofrajelor glisante, a cofrajelor plane, a cofrajelor tunel, a panourilor mari sau a elementelor spațiale.

Neajunsurile pe care le prezintă acest sistem sunt :

- greutatea ansamblu a construcției ridicată;
- transformările ulterioare sunt foarte dificile;
- inertia termică a lor este redusă și transmiterea zgărilor din șocuri în întreaga construcție se face cu ușurință.

b) Structuri celulare, care urmăresc rezolvarea neajunsului structurilor de tip fagure privind compartimentarea deasă și imobilitatea planului de arhitectură. S-a încercat mărirea distanței dintre diafragmele transversale, prin aceasta obținându-se de obicei delimitarea unui apartament, ceea ce permite modificări în cadrul acestei unități funcționale. În unele țări s-a ajuns la distanțe între diafragme de 10 ... 15 m. Elementele verticale portante sunt formate în majoritatea lor din diafragme și stâlpi dispusi între diafragme (încărcările verticale sunt preluate de diafragme și stâlpi, iar încărcările orizontale sunt preluate de regulă numai de diafragme). S-a constatat că structurile celulare prezintă o comportare favorabilă la acțiunea încărcărilor laterale (vînt, cutremur, explozii), datorită sistemului de diafragme care constituie o unitate rigidă și rezistentă la acțiunea încărcărilor laterale spațiale.

La structurile de tip celular, realizarea planșelor constituie o problemă deosebită datorită distanțelor mari între diafragme, pînă în prezent aplicindu-se în mai mică măsură tehnologiile industrializate.

c) Structuri cu nucleu central; această soluție se adoptă de obicei la clădiri de tip punct, la care diafragmele sunt grupate

pate în zona centrală și mai ales în jurul casei scărilor. În afară nucleului, planșele sunt sprijinite pe stâlpi pendulari dispusi pe conturul clădirii. Nucleul central are rolul principal de a susține partea centrală a construcției, asigurând în același timp și contravîntuirea ei. Acest tip de structuri se folosește rar în zone seismice, datorită posibilității apariției unor solicitări considerabile de torsiune generală; în schimb în zone neseismice permite folosirea unui procedeu tehnologic de execuție foarte eficient.

d) Structuri mixte, diafragme și cadre; aceste structuri prezintă perspectivă de răspîndire datorită faptului că ductilitatea lor la încărcări dinamice crește pe baza conlucrării dintre diafragme și cadre, menținînd în același timp avantajul diafragmelor privind asigurarea unei capacitați ridicate de rezistență.

La aceste structuri, amplasarea diafragmelor este condiționată de cerințele funcționale.

e) Structuri cu parter flexibil; la multe structuri cu diafragme de tip fagure sau celular s-a ivit necesitatea desființării la parter sau la mai multe nivele a tuturor diafragmelor. Susținerea construcției în această zonă se face pe stâlpi. Această soluție prezintă, din punct de vedere al comportării la acțiunea încărcărilor orizontale, o variație bruscă a rigidității și deci permite apariția unor concentrări de eforturi la capetele stâlpilor. Aplicarea acestui tip de structură este limitat în R.S.R., mai ales în zonele seismice.

#### 1.1.2. Forma în plan a clădirii.

Factorii care influențează alegerea formei în plan a clădirii și a numărului de etaje, sunt de natură urbanistică, estetică - funcțională și tehnologică (procedeul de execuție, amplasarea seismică, natura terenului, utilajele și materialele folosite).

După forma în plan se disting următoarele tipuri :

a) Clădiri de tip punct; ele sunt caracterizate în plan printr-dimensiuni apropiate pe cele două direcții principale. Se întâlnesc clădiri cu plan pătrat, circular, ovoidal și lenticular. Forma în plan a unei construcții este dictată în general de cerințe estetico - urbanistice. Rezolvarea tehnologică este relativ dificilă datorită necesității folosirii unor elemente de cofraje cu un grad redus de repetabilitate. Aceste clădiri au o comportare

favorabilă la acțiuni seismice datorită rigidității lor de valori apropriate pe cele două direcții principale.

b) Clădiri de tip bară; ele sunt caracterizate în plan printr-o formă dreptunghiulară și sunt cele mai des folosite, deoarece satisfac în mod favorabil condițiile de ordin funcțional și tehnologic. Avantajul acestui tip de clădire constă în posibilitatea aplicării majorității sistemelor industrializate tehnologice în condiții favorabile.

c) Clădiri de formă oarecare; ele sunt mai rar întâlnite și sunt destinate numai pentru anumite amplasamente (colț sau funcțiuni complexe). Acest tip de clădire nu are o comportare favorabilă la acțiuni seismice datorită nesimetriei în plan, fapt ce amplifică efectele torsionii generale în mod sensibil.

#### 1.1.3. Conformația diafragmelor.

Diafragmele trebuie să răspundă la diferite cerințe funcționale și tehnologice, ceea ce a condus la apariția unei serii variante de forme. Funcție de forma în plan orizontal diafragmele se pot clasifica astfel :

a) Diafragme lamelare, caracterizate prin secțiunea transversală dreptunghiulară alungită. La acest tip, operația de cofrage se efectuează cu ușurință, însă poate apărea mai frecvent pierderea stabilității, lucru pentru care diafragmele se dispun după două direcții perpendiculare.

b) Diafragme cu bulbi; îngroșările în zonele de capăt aduc un spor considerabil capacitatea de rezistență prin mărirea secțiunii și prin efectul de rigidizare a inimii diafragmelor. La execuția bulbilor se întâmpină unele dificultăți în cazul folosirii cofrajelor plane metalice sau a cofrajelor spațiale de tip tunel.

După conformația generală diafragmele se împart astfel :

a) Diafragme lungi, la care raportul dintre înălțimea și lățimea ei este mai mare decât cinci ( $H/b > 5$ ). În aceste diafragme predomină eforturile și deformațiile din încovoiere.

b) Diafragme cu lungime medie, la care raportul mai sus amintit este  $2 \leq H/b \leq 5$ . În cazul acestor diafragme trebuie să se țină seama atât de efectul momentelor încovoietoare cât și acel al forțelor tăietoare.

c) Diafragme scurte, pentru care raportul  $H/b < 2$ . La a-

cest tip de diafragme eforturile și deformațiile produse de forță tăietoare sunt dominante în raport cu cele produse de momentele încovoietoare.

După existența golurilor avem :

a) Diafragme pline; aceste diafragme au o schemă statică clară și ușor de prisn în calcul.

b) Diafragme cu goluri : sunt cele care prezintă goluri pentru uși și ferestre. Prezența acestor goluri în diafragme modifică sensibil starea de deformare generală a diafragmelor și complică calculul.

#### 1.1.4. Tehnologii folosite pentru execuția structurilor cu diafragme.

Tehnologia de execuție influențează în mod hotărîtor alegera tipului de structură. Tendința modernă de industrializare și reducere cît mai mult posibil a volumului de manoperă pe sănzier a stat la baza folosirii mai multor procedee tehnologice care îndeplinesc parțial sau total aceste cerințe. Se caută, la ora actuală, să se găsească tehnologii care să nu influențeze rezolvarea arhitecturală și structurală a construcției, însă procedeele tehnologice folosite pînă în prezent, cu excepția celor tradiționale, nu au reușit să elimeine această interdependență.

Tehnologiile folosite la executarea structurilor cu diafragme se pot clasifica în modul următor :

a) Procedee tradiționale. În cazul acestor procedee structura cu diafragme de beton se execută cu un cofraj obișnuit realizat din scînduri sau panouri de placaj nemodulat, iar planșeile din beton monolit se toarnă de asemenea în cofraje obișnuite. Procedeele tradiționale sunt folosite din ce în ce mai puțin, datorită consumului mărit de forță de muncă precum și de material lemnos.

b) Procedee semitradiționale. Aceste procedee mențin aceleași rezolvări la executarea peretilor ca și procedeele tradiționale, însă planșeile sunt din elemente prefabricate.

c) Procedee cu cofraje din panouri modulate de inventar.

Aceste sisteme de cofraje, cu panouri modulate de inventar din placaj, sunt industrializate datorită următoarelor avantaje pe care le prezintă și anume folosirea unui număr redus de tipuri de panouri bine conformate, rigide, cu îmbinări studiate în scopul realizării unei fețe plane a diafragmelor, al păstrării integrității

panourilor la montări repetate și al reducerii consumului de manoperă pe șantier. Aceste panouri de cofraje de folosesc în medie de 25 de ori.

d) Procedeul cofrajelor glisante; acest procedeu constă în executarea la baza construcției a unui cofraj pe tot perimetrul pereților de beton, înălțimea cofrajului fiind de 1 ... 1,25 m, și ridicarea cofrajului în sus pe măsura întăririi betonului turnat în cofraj. Sustinerea cofrajului se face pe tije din oțel dispuse în grosimea pereților de beton.

La construcțiile civile apare o serie de probleme suplimentare legate de existența planșelor și a golurilor pentru uși și ferestre. În mod curent, execuția pereților se face prin turnare continuă, pentru planșee lăsându-se goluri în pereți. Planșele se execută ulterior turnării pereților.

Golurile pentru uși și ferestre se realizează cu ajutorul unor rame din lemn sau metalice care se decofrează de pe podina inferioară, iar în unele cazuri tocul ferestrelor și al ușilor se montează de la turnare.

În mod obișnuit un cofraj glisant parcurge 2 ... 3 m înălțime într-o zi, ceea ce reprezintă un etaj la zi. Acest procedeu s-a extins rapid la executarea construcțiilor civile, datorită performanțelor superioare și economiei de manoperă realizate ca urmare a eliminării cofrărilor și decofrărilor successive, necesare la fiecare nivel în cazul folosirii altor procedee.

Experiența acumulată în R.S.R. privind folosirea cofrajelor glisante arată necesitatea unei execuții corecte și respectarea cu strictețe atât a condițiilor tehnice generale cât și a celor specifice acestei metode.

e) Procedeul cofrajelor plane de dimensiuni mari.

În acest procedeu se folosesc panouri de cofraj perfect plane și rigide având lungimea și înălțimea unui perete de celulă din structură. La intersecții, cofrajele plane se îmbină cu piese separate, de obicei de forma unei corniere. Acest procedeu se folosește la clădiri care prezintă solicitări reduse în zonele de intersecție ale diafragmelor, datorită execuției în două etape a diafragmelor. Procesul tehnologic de execuție a structurilor cu ajutorul cofrajelor plane impune decofrarea diafragmelor înainte de execuția planșeului; în această situație cea mai rațională soluție de planșeu este realizarea lui prefabricată.

f) Procedeul cofrajelor tunel. În acest procedeu se realizează un cofraj unic pentru perete și planșeu, forma cofrajului fiind asemănătoare unui tunel. Procedeul se caracterizează printr-un înalt grad de industrializare.

Cofrajul tunel este format dintr-un ansamblu de trei panouri plane metalice, dintre care două sunt verticale pentru cofrarea peretilor, iar al treilea este orizontal pentru cofrarea planșeului. Cele trei panouri se îmbină între ele astfel încât să permită decofrarea cu ușurință. Pentru a deveni rentabile, este necesar ca durata unui ciclu (cofrare, turnare, decofrare) să fie cît mai mică, ceea ce conduce la necesitatea dotării cofrajelor tunel cu un sistem de tratament termic al betoanelor, care permite repetarea rapidă a ciclurilor de lucru. Pe de altă parte, datorită tratamentului termic, apar eforturi interioare în beton, ceea ce presupune o mare atenție pentru evitarea fisurării structurii în etapa de execuție.

g) Procedeul de execuție din panouri mari. În acest procedeu atât peretei cît și planșele se realizează din elemente prefabricate legate între ele prin îmbinări care asigură conlucrarea spațială a acestora sub formă de șaibe orizontale și diafragme verticale.

Fragmentarea structurii în panouri, care se execută prefabricat, se face în general la marginile încăperilor, îmbinările verticale fiind situate la intersecția peretilor, iar cele orizontale la intersecția planșelor cu perete. Realizarea continuității structurii se face prin îmbinări executate fie prin monolitizarea cu beton a unor mustăți scoase din panouri, fie prin sudarea unor piese metalice, fie mixt folosind ambele sisteme de îmbinare.

Comportarea în ansamblu a structurilor executate din panouri mari sub acțiunea încărcărilor este similară cu cea a structurilor din diafragme monolite, cu anumite particularități legate de modul de lucru al îmbinărilor.

h) Procedeul de execuție din elemente spațiale. Creșterea continuă a volumului de construcții de locuințe și necesitatea creșterii productivității muncii, odată cu reducerea într-o proporție cît mai mare a manoperei în general și în special a celei de pe sănțier, au dus la prefabricarea în ateliere sau fabrici a unei elemente spațiale, de obicei de mărimea unci camere, produse avan-

tajos în condiții de serie și cu un grad înalt de finisare, care se transportă și se montează pe șantier. Avantajele elementelor spațiale sănt :

- reducerea volumului de manoperă prin organizarea superioară a producției în fabrică și reducerea la minim a manoperei pe șantier;
- producția ritmică continuă;
- calitatea bună a lucrărilor, asigurată de modul și condițiile de lucru, atât la lucrările de bază cît și la cele de finisaj;
- industrializarea lucrărilor de finisaj;
- reducerea consumului de materiale la structură (indici avantajoși la beton, oțel, cofraj) și la finisaje (se reduc pierderile de materiale inerente condițiilor de lucru pe șantier);
- economii la transport și montaj;
- reducerea generală a greutății construcției;
- reducerea costului final pe apartament.

Din punct de vedere al asimilării cu o schemă statică, structurile din elemente spațiale se reduc la diafragme verticale obținute din suprapunerea pereților celulelor și la elemente de planșeu care, prin diverse tipuri de îmbinări, formează o șaibă orizontală rigidă.

#### 1.2. Scurt istoric al dezvoltării metodelor de calcul al structurilor cu diafragme.

Dat fiind dimensiunile relativ neobișnuite, des întâlnite la structurile cu diafragme, se limitează în mare măsură aplicarea eficientă a metodelor elastice de calcul, folosite la alte tipuri de structuri, ceea ce a condus în ultimele două decenii la numeroase încercări de stabilire a unor metode de calcul care să reflecte cît mai bine comportarea acestor tipuri de structuri.

Primul procedeu prin care diafragma, ca structură static nedeterminată, a putut fi redusă la o structură echivalentă simplu de calculat, a fost realizat de Chitty /25/. Ea a studiat comportarea consolelor paralele interconectate în mod rigid cu grinzi transversale. Aceste grinzi au fost înlocuite printr-o fîsică elastică continuă și echivalentă, care transmite aceleasi acțiuni ca și grinziile. Originalitatea ei a constat în găsirea unor funcții continue pe toată zona elastică echivalentă, care sunt capabile să exprime variația acțiunilor interioare ale grinziilor, folosind

în mod corect condițiile de compatibilitate și de echilibru, însă neglijîndu-se efectele forței tăietoare. A fost propusă o ecuație diferențială în funcție de variația momentului generat în zona elastică și aplicat asupra consolelor. Soluția acestei probleme satisface complet condițiile de margine ale structurii.

In 1952, Green /48/ a introdus un procedeu de calcul aproximativ, aplicabil cadrelor cu grinzi - pereti. El a neglijat deformațiile axiale în stîlpi, însă a ținut seama de deformațiile de lunecare în grinziile - pereti.

Cea mai completă lucrare despre comportarea elastică a diafragmelor a fost realizată de Beck /14/, tratîndu-se diafragmele cu unul sau mai multe șiruri de goluri. El a aplicat acest procedeu asupra grinzi VIERENDEL avînd ca elemente orizontale grinzi - pereti și ca elemente verticale stîlpi zvelți. Stîlpii individuali au fost înlocuiți printr-o fîșie elastică echivalentă. In lucrarea lui, Beck a neglijat efectul eforturilor axiale în elementele orizontale și efectul deformațiilor din lunecare în lamelele verticale, la grinzi VIERENDEL simplu rezemate. Aceste ipoteze sunt justificate numai la aceste structuri particulare, pe care le-a tratat în lucrarea lui.

In 1958, Beck în lucrarea /16/ a prezentat procedeul lui într-o formă mai generală. Scopul studiului a fost înlocuirea numărului mare de variabile static nedeterminate printr-o serie de funcții matematice. In locul numărului mare de ecuații algebrice, a introdus o mulțime de ecuații diferențiale care se rezolvă mai simplu, reducîndu-se volumul de calcul. In 1959, Beck a extins procedeul său la diafragme, ținînd seama de deformațiile axiale în montanți și de deformațiile din lunecare în buiandruji /15/.

Un procedeu similar a fost prezentat de Albigès și Goulet /4/, în 1960, pentru calculul diafragmelor. Structurile cu diafragme au fost clasificate în funcție de coeficientul de monolitism, care exprimă eficiența sistemului de cuplare la transferul forțelor tăietoare la montanți, în :

a) Diafragme cu goluri mici, la care buiandrugii sunt foarte rigizi, astfel încît prezența golurilor în diafragme nu determină în mod sensibil starea de eforturi, iar diafragma lucrează ca o consolă.

b) Diafragme cu goluri mari, la care buiandrugii sunt foarte flexibili, astfel încît lucrează ca penduli, în timp ce montan-

ții lucrează ca două cپnsole separate avînd aceeași deformată.

c) Diafragme cu goluri mijlocii; pentru acest grup Albigès și Goulet au realizat procedeul lor care este asemănător cu procedeul lui Beck /15/. Soluția lor este corectă numai pentru diafragme simetrice. Acest procedeu este folosit în practica de proiectare în R.S.R., cu precizările date în lucrările /64/ /86/ pentru ușurarea proiectării.

In anul 1960 a apărut prima publicație a lui Rosman /78/ în care, folosind calculul echivalent elastic cît și principiul energiei de deformație, el a stabilit ecuația diferențială a problemei. Soluția ecuației conține forțele axiale din montanți exprimate prin serii trigonometrice.

In anul 1962 Beck /13/ a prezentat procedeul său într-o manieră foarte clară, folosind diafragme simetrice ca exemple, iar apoi mulți autori au realizat lucrări tratînd structurile cu diafragme nesimetrice pe baza lucrării lui Beck.

Un raport asupra avariilor observate la un anumit număr de structuri cu diafragme care au suferit un cutremur în anul 1960 în VALDAVIA, realizat de Steinbrugge și Flores /83/, a descris comportarea lor. Ei au observat că ruperea s-a produs prin linii orizontale sau verticale la marginile golurilor. Fiecare șir de goluri se rupe la marginile buiandrugilor datorită forțelor tăietoare mari generate și se mai observă la fiecare buiandrug două fisuri principale după cele două diagonale. Acest raport atrage atenția asupra alcăturirii și proiectării zonelor de îmbinare dintre buiandrugi și montanți, care constituie zone de potențial minim.

Pentru a verifica gradul de aproximare a metodelor de calcul elastic, Rosman /79/ a încercat fotoelastic unele modele prezintînd diafragme simetrice cu un șir de goluri, ajungînd la următoarele concluzii :

a) - valorile eforturilor rezultate experimental și cele calculate au fost foarte apropiate;

b) - efectele discrete ale buiandrugilor au cauzat eforturi concentrate numai pe o zonă mică, astfel încît acestea nu sunt semnificative la structuri cu diafragme din beton;

c) - eforturile în fibrele exterioare ale diafragmelor s-au variat în mod continuu pe înălțimea lor și n-au fost influențate de discontinuitatea din interiorul structurii.

Frischmann, Prabhu și Toppler /45/ au făcut comparație între două metode de calcul pentru cadre; o metodă este convenabilă pentru calculul manual și cealaltă folosind calculul electronic. Prima metodă constă în înlocuirea tuturor elementelor verticale printr-un stîlp echivalent, avînd rigiditatea echivalentă. Buiandrugii se încastrează în acest stîlp la fiecare nivel. Dacă numărul etajelor este mare, calculul se face folosind o singură funcție. A doua metodă folosește coeficienți de influență, toate variabilele statice fiind obținute prin inversare matricială.

In 1964, Arcan /5/ a realizat un studiu teoretic și experimental asupra diafragmelor. El a folosit analogia diafragmelor cu o grindă neomogenă, conținînd o fîșie centrală avînd modul de elasticitate redus pe toată zona centrală. Solicitările au fost exprimate în funcție de acțiuni. Condițiile de compatibilitate au fost satisfăcute pe toate marginile zonei centrale în care se află golurile. Ecuatia diferențială a fost construită în funcție de eforturile generate în fîșia centrală. Arcan a arătat necesitatea corectării săgeților diafragmei, rezultate din încărcările exterioare și din forțele tăietoare generate în fîșia centrală, cînd diafragmele sunt nesimetrice. S-a făcut o propunere pentru forță concentrată la vîrful structurii. De asemenea, Arcan a subliniat faptul că modulul de elasticitate al zonei centrale, datorită fisurării buiandrugilor la colțuri, este mai redus. Pe baza experimentărilor preliminare pe modele de beton armat, a arătat că modulul de elasticitate obținut este 0,25 din modulul de elasticitate al betonului.

Decauchy /33/ a completat lucrarea lui Albigès și Goulat /4/. El a examinat influența deformațiilor axiale în diafragme și a arătat că în anumite cazuri efectul lor poate fi neglijat, ușurîndu-se calculul.

In anul 1965 Rosman a rezumat într-o broșură toate lucrările lui privind calculul elastic al diafragmelor /77/. Această broșură conține abace și nomograme pentru proiectare.

Conlucrarea dintre planșee și diafragme a fost studiată de către Kazimi /53/. El a evaluat contribuția planșelor la mărire rigidității buiandrugilor.

### 1.3. Stadiul actual al problemei.

Odată cu dezvoltarea construcțiilor finale, utilizarea diafragmelor a căpătat o răspîndire din ce în ce mai mare. O aşejare

avantajoasă a diafragmelor ca pereți interiori sau exteriori duce la o capacitate mare a lor pentru preluarea încărcărilor laterale (orizontale) produse din vînt, cutremur sau explozii.

Pentru asigurarea acestei condiții, diafragmele trebuie să fie bine încastrate în fundații și bine legate cu planșele orizontale care le transmit încărcările exterioare ca forțe orizontale concentrate. Diafragmele utilizate ca pereți exteriori, pereți interiori, nuclee centrale sau case de scări sunt realizate cu goluri (uși, ferestre, etc). Aceste goluri complică modul de lucru al diafragmei, astfel încât nu se poate defini o schemă statică generală de calcul, care să reflecte comportarea reală a diafragmelor.

In ultimii ani, diafragmele cu goluri s-au considerat ca și console verticale cuplate între ele cu elemente orizontale. Natura acestor legături determină modul de lucru al diafragmei.

In ultimele două decenii, o importanță deosebită s-a acordat acestor tipuri de structuri, efectuindu-se multe studii teoretice și programe experimentale. Problemele legate de structurile cu diafragme sunt numeroase și ar trebui să fie clarificate pentru cunoașterea mai aprofundată a performanțelor diafragmelor și utilizarea lor în mod adecvat în construcțiile multietajate :

a) In ceea ce privește deformațiile axiale și cele din luncare, care au fost tratate ca efecte secundare în comparație cu deformațiile din încovoiere, aceste ipoteze nu sunt valabile în anumite situații, și de aceea aduc abateri mari, mai ales sub acțiunea încărcărilor alternante.

b) In multe cazuri, buiandrugii diafragmelor au dimensiuni relative neobișnuite astfel încât nu mai respectă teoria încovoierii și devine dominant efectul forțelor tăietoare.

c) Elementele diafragmei sunt fisurate inițial datorită contracției și variațiilor de temperatură, dar sensibilitatea acestor elemente la aceste fisuri sub acțiunea încărcărilor alternante nu este cunoscută.

d) Solicitările din montanții diafragmelor sunt : moment încovoietor, forță axială și forță tăietoare. Combinatia lor este diferită la elementele structurale obișnuite, astfel încât influența interacțiunii lor asupra capacității nu este cunoscută mai ales sub acțiunea încărcărilor alternante.

e) Caracteristicile de rigiditate, necesare pentru determinarea deformațiilor și proprietățile dinamice ale diafragmelor

fisurate, sănt evaluate în mod apreciativ, lipsind date experimentale suficiente pentru evaluarea mai exactă a lor.

f) Natura comportării postelastice și capacitatea de deformare plastică a diafragmelor sub acțiunea unui cutremur puternic sănt puțin cunoscute, astfel încât performanța structurilor cu diafragme este tratată pînă în prezent cu suspiciune. Pentru clarificarea acestor aspecte ar trebui realizate programe experimentale vaste în acest domeniu.

#### 1.4. Subiectul tezei de doctorat.

Această lucrare cuprinde șase capitole. Primul capitol (Introducere) tratează clasificarea generală a structurilor cu diafragme după mai multe criterii, arătîndu-se avantajele și dezavantajele fiecărui tip de structură cu diafragme în parte și domeniul de aplicabilitate. S-a făcut un scurt istoric al metodelor de calcul al diafragmelor, urmărindu-se evoluția lor odată cu creșterea continuă a numărului clădirilor cu diafragme. Cu toate că în ultimele două decenii s-au făcut multe studii teoretice și experimentale în vederea cunoașterii cât mai bine a comportării structurilor cu diafragme din beton armat, totuși pînă în prezent sănt mai multe aspecte neclarificate și care nu sănt puse la punct. Dintre aceste aspecte cităm :

- Influența prefisurării buiandrugilor și montanților diafragmelor asupra capacitatii portante și ductilității lor sub acțiunea mișcărilor seismice.
- Capacitatea de deformare postelastică a diafragmelor sub acțiunea mișcărilor seismice.
- Comportarea buiandrugilor scurți sub acțiunea încărcărilor seismice.
- Influența modului de armare a buiandrugilor asupra ductilității lor.

Capitolul al doilea cuprinde o prezentare generală a metodelor de calcul al diafragmelor începînd cu metodele simplificate de calcul, care sănt folosite în proiectarea curentă, pînă la metodele cu grad de complexitate medie și metodele exacte, cu caracter general, cum ar fi metoda elementelor finite. Sunt prezentate principiile și ipotezele adoptate în calcul, relațiile utilizate pentru evaluarea eforturilor și deplasărilor diafragmelor, etc. în domeniul de aplicabilitate a diferitelor metode de calcul.

In capitolul al treilea s-a făcut analiza unei metode de

calcul a diafragmelor cu un singur sir de goluri, intii in domeniul elastic si pe urma dezvoltata cu ajutorul metodei diferenelor finite pentru calculul elatico - plastic al diafragmelor sub actiunea unei miscari seismice, in diferite stadii de solicitare pina la atingerea stadiului ultim (mecanism de colaps). Calculul elatico - plastic prezentat cuprinde evaluarea eforturilor, a deformatiilor in diafragme si a ductilitatii necesare fiecarui element al diafragmelor corespunzatoare stadiului ultim. La sfirgitul capitolului sunt analizate rezultatele unor programe experimentale efectuate pentru studierea performantelor diafragmelor la actiuni seismice si concluziile desprinse in urma observatiilor facute asupra structurilor in diafragme afectate de cutremur. Se subliniaza importanta criteriului de ductilitate, acesta fiind prezentat ca un criteriu de baza in proiectarea antiseismică modernă a structurilor cu diafragme.

Capitolul al patrulea cuprinde propuneri privind alcătuirea structurilor multietajate cu diafragme din beton armat monolit in SIRIA.

In capitolul al cincilea sunt prezentate cercetările experimentale proprii privind :

- Comportarea diafragmelor cu goluri prefisurate din actiunea incarcărilor exterioare verticale si orizontale.
- Urmărirea modului cum armarea buandrugilor si fisura-reia initială din contractie a acestora se răsfringe asupra caracteristicilor de deformabilitate (rigiditate), respectiv asupra capacitatii portante a diafragmelor cu goluri.
- Influenta prefisurării produse din diferite cauze asupra capacitatii portante si a ductilitatii diafragmelor.
- Efectul forței tăietoare asupra capacitatii portante si ductilitatii buandrugilor la actiuni alternate.
- Comportarea buandrugilor lungi si scurți sub actiunea incarcărilor alternate.
- Influenta modului de armare a buandrugilor asupra ductilitatii si capacitatii lor portante.

In capitolul al şaselea sunt prezentate concluziile generale desprinse din lucrare, cu recomandări privind proiectarea diafragmelor înînd seara de cerințele de ductilitate.

## 2. ANALIZA METODELOR DE CALCUL ALE STRUCTURILOR CU DIAFRAGME

### 2.1. Metode simplificate.

#### 2.1.1. Generalități.

Prezența golurilor în diafragme, impuse de necesități funktionale, conduce la greutăți în calcule datorită faptului că golurile produc concentrări de eforturi ce nu pot fi prinse într-un calcul obisnuit de rezistență.

Cercetările efectuate pînă în prezent privind comportarea diafragmelor cu goluri au în majoritatea cazurilor un caracter pur teoretic, unele din ele conducînd la calcule laborioase, greu de aplicat în practică. Pe de altă parte, considerarea diafragmelor ca fiind alcătuite din materiale omogene și elastice nu corespunde naturii betonului armat / 9 /. Folosirea unor metode simplificate de calcul, care conduc la obținerea de rezultate cu un grad de aproximatie admisibil pentru calculele ingineresti, este rațională mai ales în cazul diafragmelor din beton armat, din cauza neomogenității materialului și a insuficienței cunoașteri a caracteristicilor elastice și mecanice ale betonului, care imprimă încă de la început un grad de aproximatie întregului calcul.

De asemenea, evaluarea încărcărilor dinamice are un caracter apreciativ.

Din aceste motive, se consideră că un calcul static aproximativ, care cere un volum redus de muncă, este în majoritatea cazurilor suficient cerințelor proiectării curente. În cele ce urmează se vor prezenta pe scurt cele mai cunoscute procedee simplificate pentru calculul diafragmelor și anume : "Metoda structurii continue echivalente" și "Metoda cadrelor". Aceste metode sunt aplicabile tipurilor de structuri monotone care respectă următoarele condiții :

- (a) Înălțimile etajelor sunt egale.
- (b) Caracteristicile geometrice, elastice și mecanice sunt constante pe toată înălțimea clădirii.
- (c) Golurile de uși sau ferestre sunt suprapuse și egale la toate nivelurile în cadrul acelaiași sir de goluri, buna din urmă rezultînd de asemenea egali.

### 2.1.2. Caracteristicile geometrice și de rigiditate.

Modul de lucru al diafragmei este strîns legat de raportul dintre dimensiunile plinurilor și ale golurilor.

Mărimea solicitărilor generate în diafragmele cu goluri este puternic influențată de rigiditățile relative ale buiandrugilor și montanților.

In cazul diafragmelor din beton armat, aceste rigidități se modifică în mod substanțial după apariția fisurilor. S-a constatat experimental că buiandrugii fisurează mai puternic decât montanții datorită încastrării lor elastic în elementele verticale și împiedicării de către planșele prefabricate a contractiei lor, conducind la apariția fisurilor. Montanții fisurează în principal în zonele inferioare și superioare. Pentru luarea în considerare în calcul a efectului fisurării produsă în buiandrugi din contractie și din încovoiere, în lucrarea /70/ s-a propus o reducere a rigidității buiandrugului cu 70% din rigiditatea buiandrugului nefisurat. In lucrarea /101/ secțiunea buiandrugului se consideră nefisurată, luîndu-se modulul de elasticitate convențional al buiandrugului :

$$E_r = 0,6 E_b \quad (2.1.)$$

ținînd seama de scăderea rigidității la încovoiere în stadiul II. Intrucît fisurile din contractie slabesc mult rigiditatea buiandrugilor se admite ca  $E_r$  să fie redus cu 50%, astfel :

$$E_r = 0,3 E_b \quad (2.2)$$

Alt aspect este legat de gradul de încastrare a buiandrugilor în montanți, admitîndu-se în calcule că secțiunea de încasare a buiandrugului este dincolo de fața interioară a montantului. In literatura de specialitate se recomandă pentru creșterea semideschiderii buiandrugului valori diferite, care nu diferă însă între ele în mod sensibil.

In lucrarea /101/ se propune valoarea

$$\delta = 0,35 h_r \leq 40 \text{ cm} \quad (2.3)$$

unde  $h_r$  este înălțimea secțiunii buiandrugului.

In ceea ce privește conlucrarea planșelor cu buiandrugii se ia în calcul :

- în cazul cînd planșul este prefabricat sau turnat ulterior (fig.2.1a), secțiunea buiandrugului se consideră dreptunghiu-lară cu înălțimea  $h_r$  pînă sub placa planșului;

- în cazul cînd planșele sînt monolite, se ține seama de conlucrarea plăcii (fig. 2.1b,c), luînd :

$$b_p = b_r + 0,15l \leq h_r \quad (2.4)$$

unde : l este deschiderea de calcul a buiandrugului.

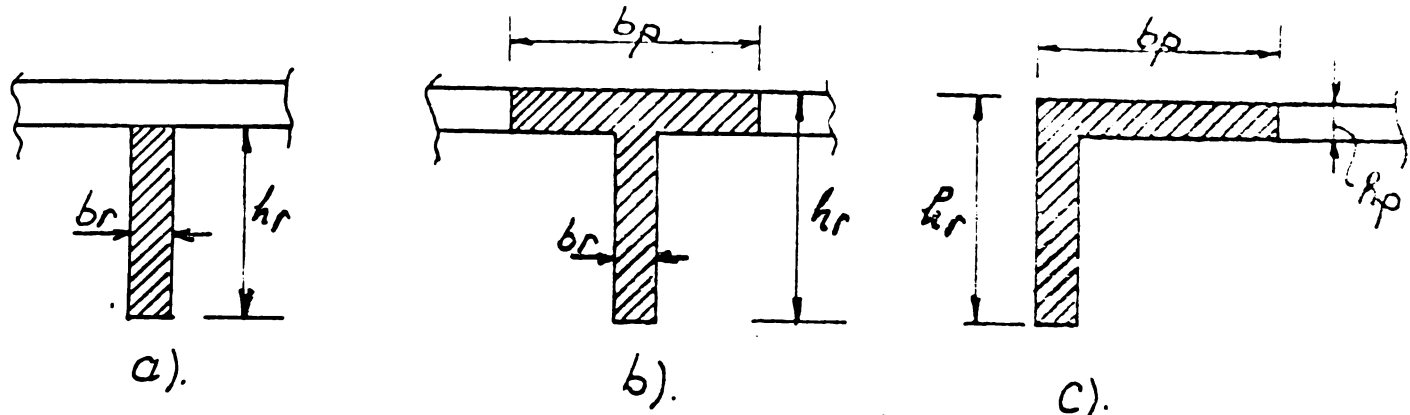


Fig. (2.1).

Momentul de inerție al secțiunii buiandrugului se calculează ținînd seama de efectul conlucrării astfel :

$$I_{rk} = C \frac{b_r h_r^3}{12} \quad (2.5)$$

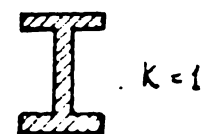
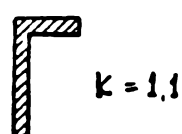
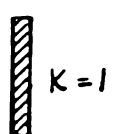
unde : C este funcție de  $h_p/h_r$  și  $b_p/b_r$ ; în lucrarea /101/ sînt date valorile lui C.

Tinînd seama de deformațiile din încovoiere și de cele din lunecare, rigiditatea buiandrugului devine :

$$\frac{I_{rk}}{I_{rk}} = \frac{I_{rk}}{1 + 28,25 \frac{I_{rk}}{A'_{rk} l_k^2}} \quad (2.6)$$

în care :

$A'_{rk} = \frac{h_r b_r}{K} = \frac{A_{rk}}{K}$  este secțiunea activă a buiandrugului la acțiunea forțelor tăietoare, K fiind coeficientul de formă și avînd următoarele valori :



$$l_k = l_o + 2\delta = l_o + 0,7 h_r \leq l_o + 80 \text{ cm}$$

unde  $l_o$  deschiderea de lumină a buiandrugului.

La calculul rigidităților montanților diafragmelor, se admit următoarele ipoteze de bază :

338905  
81 4

- Caracteristicile geometrice ale secțiunii se calculează pentru secțiunea de beton plină (nefisurată). În cazuri speciale, cînd se produc eforturi de întindere importante în montanți, se admit reduceri ale rigidităților cu pînă la 30% pentru diafragmele respective.

- La montanții diafragmelor cu goluri, în calculul rigidităților este necesar să se țină seama de deformațiile produse atît de momentul încovoiator cît și de forțele tăietoare și axiale.

- Problema stabilirii lățimii de conlucrare a tălpilor cu inima diafragmei nu este clarificată suficient de științific pînă în prezent.

Pentru scopuri de proiectare, în lucrările /101/ /100/ se recomandă ca lățimea totală de conlucrare a tălpiei  $b_a$ , să se calculeze cu următoarele relații :

$$b_a = d + \Delta b_{st} + \Delta b_{dr} \quad (2.7a)$$

la secțiuni în T și I (fig.2.2a,c) :

$$b_a = d + \Delta b \quad (2.7b)$$

la secțiuni în L și E (fig.2.2b), în care :

$d$  este grosimea inimii;

$b = 6d'$  lățimea activă de conlucrare a tălpiei de fiecare parte a inimii;

$d'$  este grosimea tălpiei respective.

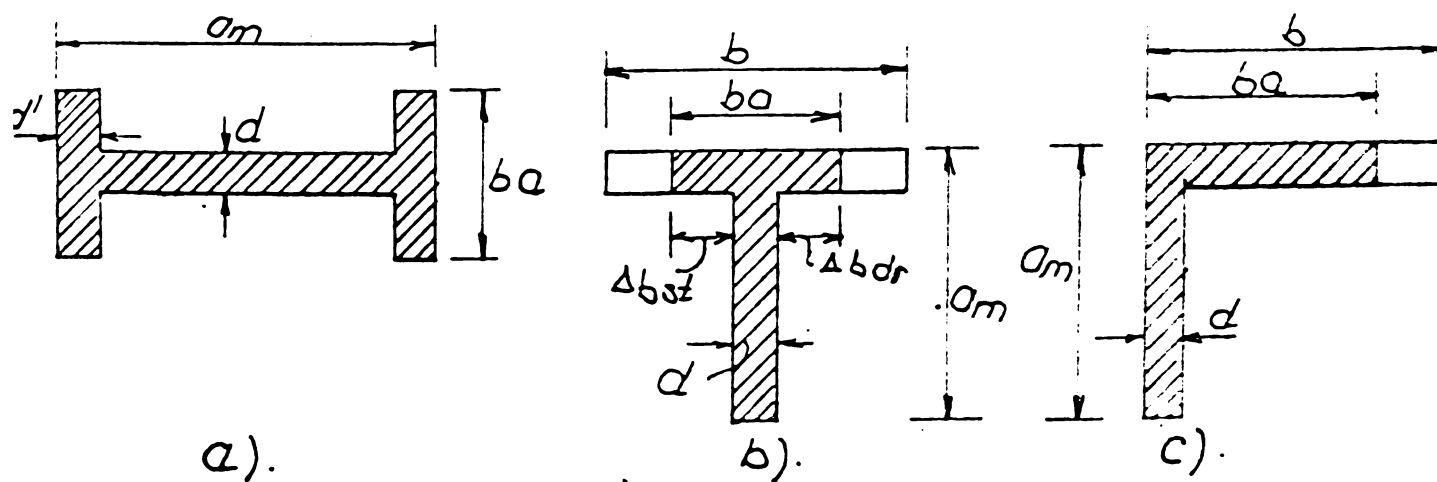


Fig. (2.2).

Totodată, lățimea totală de conlucrare  $b_a$  trebuie să satisfacă și relațiile  $b_a \leq b$ ;  $b \leq a_m$ , în care  $b$  este lățimea reală a tălpiei, iar  $a_m$  este înălțimea secțiunii diafragmei.

Calculul rigidităților montantilor și diafragmelor.

In ansamblul structurii clădirii, rigiditatea unei diafragme pline sau cu goluri este caracterizată de momentul său de inertie echivalent, egal, prin definiție, cu momentul de inertie al unei console pline cu deformații de încovoiere preponderente, care sub acțiunea acelorași încărcări, are săgeată din încovoiere, la un nivel determinat, egală cu săgeata totală (din acțiunea momentelor încovoietoare, a forțelor tăietoare, iar la diafragmele cu goluri și a forțelor axiale) a diafragmei reale considerate.

Tinând seama de definiția dată, pentru o diafragmă plină cu moment de inertie  $I_m$ , din condiția de egalitate a săgeților la un nivel dat se obține relația :

$$I_{em} = \frac{I_m}{1 + \frac{\phi^r(\xi)}{\phi^M(\xi)} \cdot \frac{E_b I_m}{H^2 G A'_m}} = \frac{I_m}{1 + \beta \frac{E_b I_m}{H^2 G A'_m}} \quad (2.8a)$$

$$\text{unde } \beta = \frac{\phi^r(\xi)}{\phi^M(\xi)} \quad (2.8b)$$

$\phi^r(\xi)$  și  $\phi^M(\xi)$  se calculează cu relațiile (2.36), (2.35), respectiv (2.38), (2.39).

unde :  $H$  este înălțimea diafragmei;

$E_b$  este modulul de elasticitate al montantului;

$I_m$  este momentul de inertie al montantului;

$A'_m$  este aria efectivă a montantului.

Folosind metoda structurii continue, aceste relații sunt aplicabile diafragmelor cu goluri mari ( $\alpha \leq 1$ ) și celor cu goluri mici ( $\alpha \geq 10$ ) (vezi relația (2.28)). Pentru o diafragmă cu goluri medii ( $1 < \alpha < 10$ ), dacă se pune condiția de egalitate a deplasării ei de ansamblu, din acțiunea momentelor încovoietoare, forțelor axiale și forțelor tăietoare, cu deplasarea unei console pline echivalente, care se deformează numai prin încovoiere, expresia generală a momentului de inertie echivalent este :

$$I_m^e = \frac{\bar{I}_m^e}{1 + \beta \frac{E_b \cdot \bar{I}_m^e}{G H^2 \sum_{k=1}^p A'_{mk}}} \quad (2.9)$$

In care :

$$\bar{I}_m^e = \frac{\sum_{k=1}^P I_{mk}}{\frac{\gamma-1}{\gamma} + \frac{\Psi(\alpha, 0) - \Psi(\alpha, \xi)}{\gamma \alpha^2 \phi''(\xi)}} \quad (2,10)$$

unde :  $\gamma$  și  $\Psi(\alpha, \xi)$  sunt definite în relațiile (2.20), respectiv (2.56) sau (2.58).

### 2.1.3. Metoda cadrelor.

2.1.3.1. Principiile și ipotezele metodei. În această metodă se înlocuiește structura diafragmei, care este alcătuită din montanți cu elemente verticale și buiandrugi ca elemente orizontale, cu un cadru etajat ortogonal echivalent, ținând seama de unele particularități specifice structurilor cu diafragme și anume :

a) Proportiile dimensiunilor montanților se depărtează de cele ale unei bare, ceea ce conduce la necesitatea luării în considerare în calculul a deformațiilor produse în montanți de forțele axiale și de lunecare.

b) Lățimea montantului față de deschiderea buiandrugului este relativ foarte mare și deci nu se mai poate considera că secțiunea de încastrare a buiandrugilor este în axele montanților.

Pentru calculul diafragmelor cu goluri la încărcări laterale este deosebit de avantajoasă folosirea metodei distorsiunilor discutată detaliat în lucrările / 1 /, / 2 /, / 30 /, / 31 /, / 56 /, / 63 /, / 101 /, ținând seama și de deformabilitatea axială a montanților / 54 /. În lucrările / 1 /, / 4 / s-a demonstrat identitatea dintre calculul unei diafragme cu goluri prin procedee asemănătoare celei realizate de Albigès și Goulet / 4 / și un cadru obișnuit de cadru etajat.

Prin distorsione se înțelege o rotire imprimată unui nod sau unui grup de noduri al cadrului, lăsând libere deplasările de translație ale nodurilor / 1 /, / 2 /.

Calculul se face pe un cadru înlocuitor având următoarele caracteristici :

a) Rglele cadrului sunt deformabile pe lungimea  $\ell \cdot \ell_0 + 2\delta$  și pe porțiunea  $L - \ell$  sunt nedeformabile având moment de inerție infinit (fig.2.3a).

b) Se ține seama de deformabilitate axială a montanților introducindu-se un coeficient supraunitar  $\gamma$  care mărește rigiditatea

tea riglelor / 21., 131., 1991.

2.1.3.2. Diafragma monotone cu un singur sir de goluri simetrice. Schema statică de calcul a diafragmei o constituie un cadru etajat înlocuitor arătat în fig.2.4b.

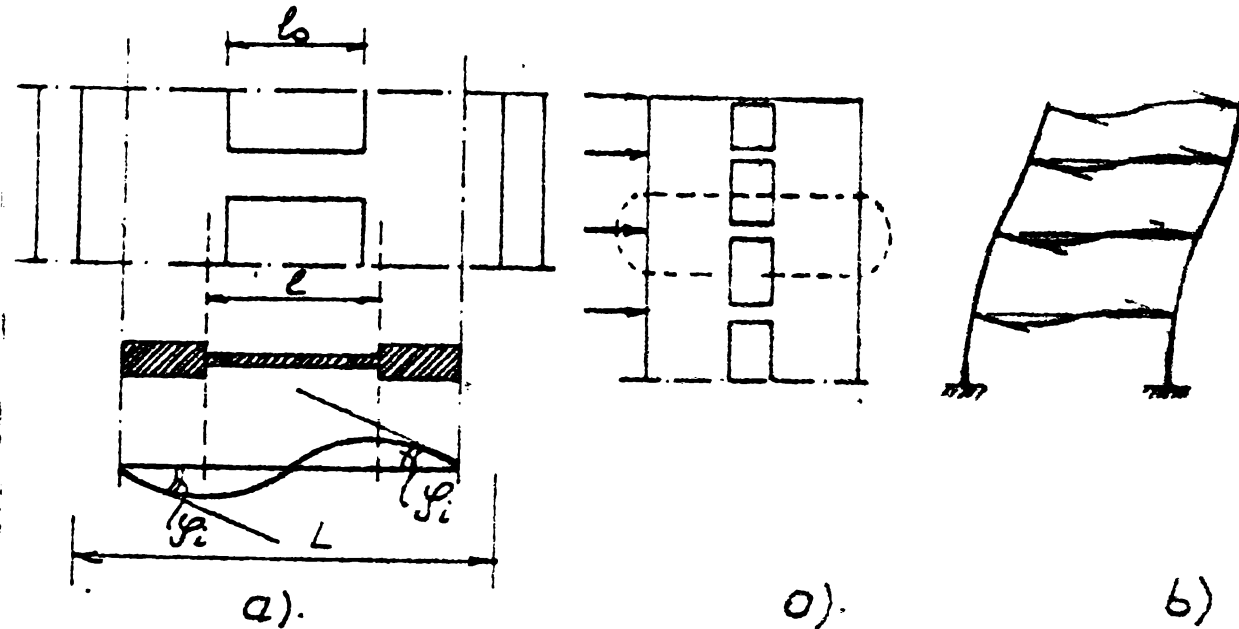


Fig. (2.3).

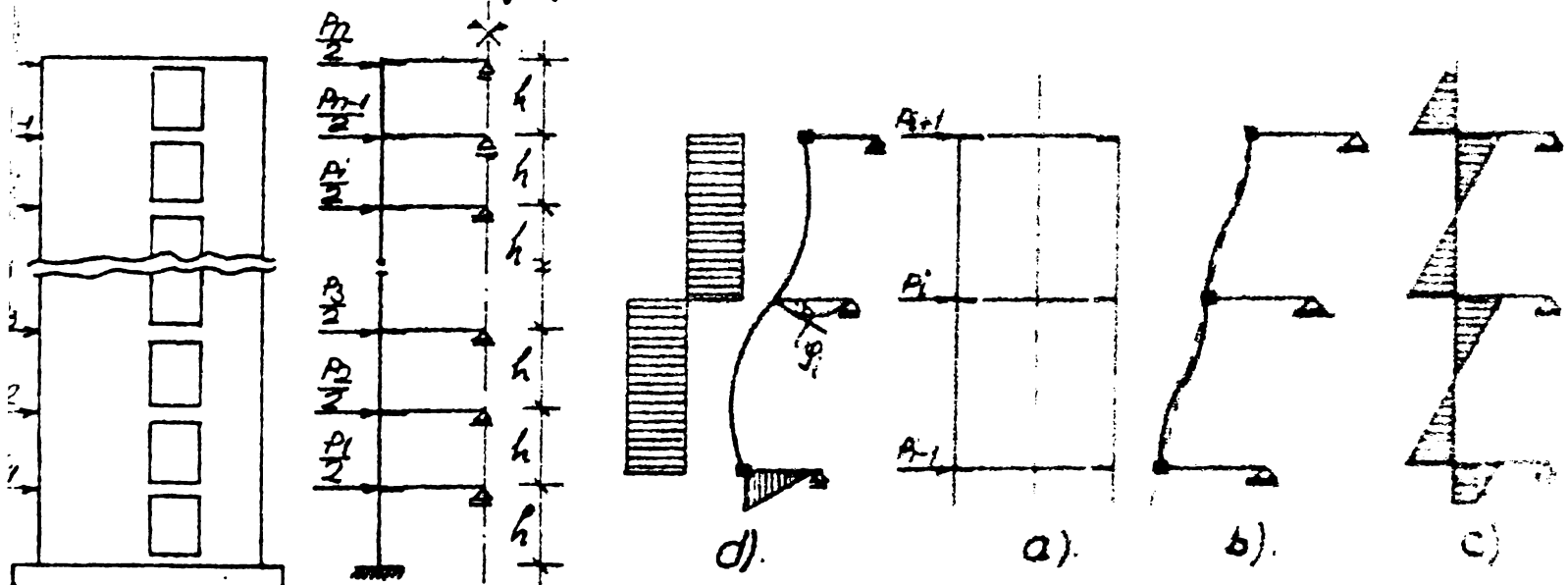


Fig. (2.4).

Fig(2.5)

Calculul static se face pe semicadrul limitat la axa de simetrie, cu reazeme mobile introduse în punctele de moment nul din mijlocul riglelor și încărcat în noduri cu  $1/2$  din forțele orizontale considerate.

Calculul prin distorsiuni se face în două trepte succesive.

a) Se consideră nodurile blocate la rotire și libere la translație (fig.2.5b).

b) În sistemul de bază (fig.2.5a) se deblochează percheza de noduri de la nivelul i, menținind blocate celelalte noduri.

Ele se vor roti cu un unghi  $\varphi_i$  (fig.2.5d). Apoi se deblochează nodurile i-1 și i+1 imprimând distorsiunile  $\varphi_{i-1}$ , respectiv  $\varphi_{i+1}$ .

In faza finală, momentele totale la capetele fiecărei bare se obțin prin suprapunerea efectelor produse din translația sistemului de bază și a celor introduse prin distorsiuni. In rigla i, se produc eforturi din distorsiunea nodului i (fig.2.3a).

Momentul încovoietor în riglă se obține cu relația :

$$M_H = \frac{6E_r I_r^e}{L} \left(\frac{L}{\ell}\right)^3 \varphi_i = -K_r \varphi_i \quad (2.11)$$

punîndu-se condiția de echilibru a momentelor încovoietoare în jurul nodului i, și notînd cu :

$K_r = \frac{6E_r I_r^e}{L} \left(\frac{L}{\ell}\right)^3$  rigiditatea de distorsiune a unei rigle;

$\beta_r = \frac{K_r}{E_b}$  rigiditatea practică la distorsiune a unei rigle;

$K_m = \frac{E_b I_m}{h}$  rigiditatea la distorsiune a unui montant;

$\beta_m = \frac{K_m}{E_b}$  rigiditatea practică la distorsiune a unui montant,

$\lambda = \frac{K_r}{K_m}$  rigiditatea relativă a elementului.

$M_{ri}$  momentul încovoietor la capătul unei rigle, se obține ecuația nîvelului hidricurent și al diafragmei :

$$-M_{H(i-1)} + (2+\lambda) M_{ri} - M_{r(i+1)} = -(t_i + t_{i+1}) \lambda \frac{h}{4} \quad (2.12)$$

unde :  $t_i$  este forța tăietoare din încărcarea exterioară la nivelul i.

Efectul deformabilității axiale a montanților se introduce în calcule prin coeficientul  $\gamma$ , care se calculează cu relația :

$$\gamma = 1 + 4 \frac{l_m}{A_m L^2} \quad (2.13)$$

Scriind relația dintre momentul încovoietor și forța tăietoare în rigla i :

$$M_{ri} = \frac{t_m \cdot L}{2} \quad (2.14)$$

Ecuația (2.12) devine :

$$-t_{r(i-1)} + (2 + \gamma\lambda)t_{ri} - t_{r(i+1)} = -(t_i + t_{i+1})\left(\frac{\lambda h}{2L}\right) \quad (2.15)$$

Sistemul de ecuații de condiție pentru calculul forțelor tăietoare maxime în rilele diafragmelor monotone având un singur sir de goluri simetrice este :

$$\begin{bmatrix} 2 + \gamma\lambda & -1 & 0 & 0 & 0 & 0 & 0 & 0 & 0 \\ -1 & 2 + \gamma\lambda & -1 & 0 & 0 & 0 & 0 & 0 & 0 \\ 0 & -1 & 2 + \gamma\lambda & -1 & 0 & 0 & 0 & 0 & 0 \\ 0 & 0 & -1 & 2 + \gamma\lambda & -1 & 0 & 0 & 0 & 0 \\ 0 & 0 & 0 & -1 & 2 + \gamma\lambda & -1 & 0 & 0 & 0 \\ 0 & 0 & 0 & 0 & -1 & 2 + \gamma\lambda & -1 & 0 & 0 \\ 0 & 0 & 0 & 0 & 0 & -1 & 2 + \gamma\lambda & -1 & 0 \\ 0 & 0 & 0 & 0 & 0 & 0 & -1 & 2 + \gamma\lambda & -1 \\ 0 & 0 & 0 & 0 & 0 & 0 & 0 & -1 & 2 + \gamma\lambda \end{bmatrix} \begin{bmatrix} t_{ri} \\ t_{r2} \\ t_{r3} \\ \vdots \\ t_{ri} \\ \vdots \\ t_{rn-1} \\ t_{rn} \end{bmatrix} = \frac{\lambda h}{2L} \begin{bmatrix} t_1 + t_2 \\ t_2 + t_3 \\ t_3 + t_4 \\ \vdots \\ t_i + t_{i+1} \\ \vdots \\ t_{n-1} + t_n \\ t_n \end{bmatrix} \quad (2.16)$$

### 2.1.3.3. Diafragme monotone cu mai multe siruri de goluri.

Același calcul poate fi utilizat ca și la diafragme cu un sir de goluri simetrice aplicînd metoda cadrului înlocuitor presupunînd că la un anumit nivel, nodurile se rotesc cu unghiuri egale ceea ce înseamnă că momentul încovoiator la mijlocul buandrugului este nul /2/, /56/, /55/. Pe baza acestei ipoteze intervine cadrul înlocuitor simetric echivalent cadrului real cu montanții inegali ca rigiditate și deschideri inegale (fig.2.6).

Caracteristicile cadrului înlocuitor sunt :

- rigiditatea stîlpului la distorsiune este egală cu suma rigidităților stîlpilor cadrului real;
- rigiditatele rilelor sunt egale cu dublul sumei rigidităților rilelor cadrului real, la fiecare nivel.

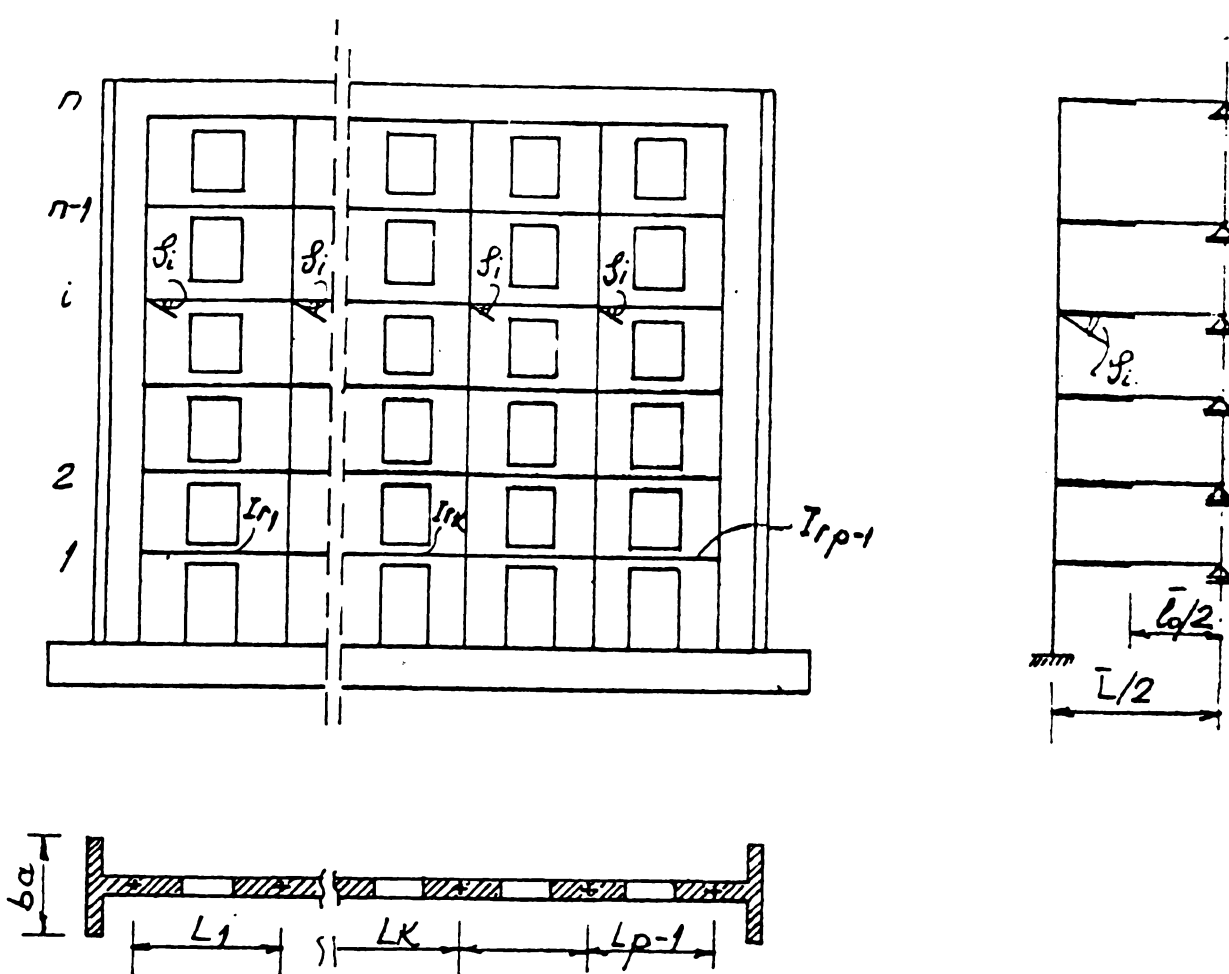
Acste caracteistică se exprimă prin următoarele relații:

Pentru rile :

$$\bar{f}_r = 2(f_{r1} + f_{r2} + \dots + f_{rk} + \dots + f_{rp-1}) \quad (2.17)$$

în care  $f_{rk}$  corespunde unei rile, din sirul de goluri K a diafragmei.

Pentru montanți :



Fig(2.6)

$$\bar{f}_m = f_{m1} + f_{m2} + \dots + f_{mp} = \frac{\sum_{k=1}^p I_{mk}}{h} \quad (2.18)$$

$$\text{și } \bar{\lambda} = \frac{\bar{f}_r}{\bar{f}_m} \quad (2.19)$$

La diafragmele cu mai multe şiruri de goluri, efectul deformaţiilor axiale ale montanţilor este mic, şi poate fi neglijat  $\gamma = 1 / 561, 141, 121$ .

Totuşi, la diafragmele înguste se poate admite să se țină seama de deformabilitatea axială a montanţilor extremi prin coeficientul supraunitar  $\gamma$  care se calculează cu relația :

$$\gamma = 1 + \frac{\sum_{k=1}^p I_{mk}}{\left(\sum_{k=1}^{p-1} L_k\right)^2} \left[ \frac{1}{A_{m1}} + \frac{1}{A_{mp}} \right] \quad (2.20)$$

Momentele încovoicitoare la capetele barelor cadrului înlocuitor se calculează la fel ca pentru o diafragma cu un şir de goluri simetrice, rezolvând sistemul de ecuații (2.13) având caracteristicile , calculate cu relațiile (2.19) respectiv (2.20).

Momentele încovoietoare în montanții diafragmei reale se deduc apoi din momentele montanților cadrului înlocuitor  $\bar{M}$ , repartizîndu-le proporțional cu rigiditățile la distorsiune sau cu momentele de inertie  $I_{mK}$ .

Pentru o diafragma cu p siruri de goluri, momentele încovoietoare în montanți sunt :

$$M_{m1} = 2 \bar{M} \frac{I_{m1}}{\sum I_m}$$

$$M_{m2} = 2 \bar{M} \frac{I_{m2}}{\sum I_m}$$

$$\vdots \quad \vdots \quad \vdots$$

$$M_{mp} = 2 \bar{M} \frac{I_{mp}}{\sum I_m}$$
(2.21)

#### 2.1.4. Metoda structurii continue echivalente.

2.1.4.1. Prezentarea generală a metodei. În această metodă, în locul structurii reale cu legături orizontale aşezate la intervale finite egale cu înălțimea etajului, se consideră o structură fictivă echivalentă cu legături continue pe toată înălțimea acesteia. Prin acest procedeu se ajunge la o singură ecuație diferențială liniară cu coeficienți constanti, prin rezolvarea căreia se obțin forțele tăietoare în buiandruși. Acest procedeu a fost realizat de Albigès și Goulet /4/ și completat în alte lucrări întocmite de Mîrșu O. /64/ și Topa N. /86/.

2.1.4.2. Diafragma cu un singur sir de goluri. Se consideră o diafragma avînd un singur sir de goluri aşa cum este arătată în fig.2.7.

Pentru stabilirea ecuației diferențiale a diafragmei se pune condiția de compatibilitate a săgeților generate în buiandruși, la un nivel oarecare "i". Aceste săgeți produse la cota "x" se datorează momentelor încovoietoare din elementele verticale ale diafragmei, forțelor axiale din montanți și forțelor tăietoare din buiandruși. Deci ecuația de compatibilitate a deplasărilor la cota "x" devine :

$$d_1 = d_2 + d_3 \quad (2.22)$$

unde :  $d_1$  este deplasarea produsă din acțiunea momentelor încovoietoare :

$$d_1 = y'L \quad (2.23)$$

$d_2$  deplasarea produsă de acțiunea forțelor axiale :

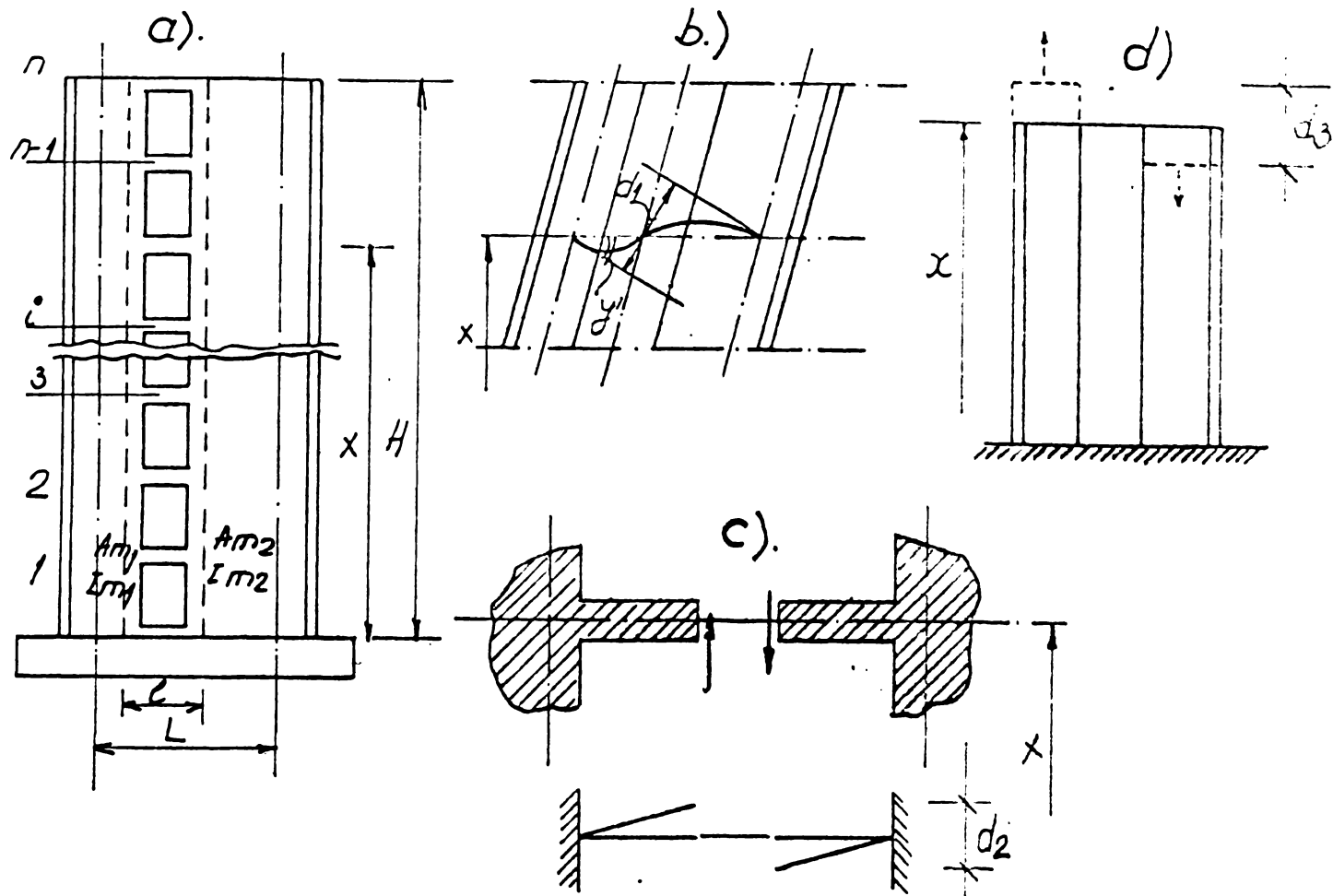


Fig.(2.7).

$$d_2 = \frac{1}{E_b} \left[ \frac{1}{A_{m1}} + \frac{1}{A_{m2}} \right] \int_0^x N(x) dx \quad (2.24)$$

Tinind seama atât de deplasările din încovoiere cât și cele din lunecare :

$$d_3 = \frac{2 l^3}{3 E_r I_r^e} t_r(x) \quad (2.25)$$

prin înlocuirea relațiilor (2.23), (2.24) și (2.25) și (2.22), derivarea ecuației rezultante, considerarea ipotezei repartizării uniforme a forței tăiatore din buiandruși și folosirea relațiilor cunoscute din rezistența materialelor pentru fiecare montant, se ajunge la o ecuație diferențială având ca variabilă forța tăiatore în buiandruși :

$$t_r''(x) - \omega^2 t_r(x) = -\omega^2 \frac{A_s h}{I} t(x) \quad (2.26)$$

în care :  $\omega$  este un coeficient ce depinde de caracteristicile geometrice și elastice ale diafragmelor cu goluri și este definit cu următoarea relație :

$$\omega = \sqrt{12} \gamma \frac{E_r}{E_b} \cdot \frac{1}{I_{m_1} + I_{m_2}} \cdot \frac{I_r^e L^2}{h l^3} \quad (2.27)$$

în care :  $A_s$  este momentul static al secțiunii fiecărui element vertical (montant) al diafragmei, în raport cu centrul de greutate al ansamblului de diafragmă;

$I = I_{m_1} + I_{m_2} + L \cdot A_s$  momentul de inertie total al diafragmei în raport cu axa ce trece prin centrul ei de greutate;

$T(x)$  este forța tăiestoare la cota  $x$ ;

$t_r(x)$  este forța de lunecare generată în buiandrug la cota  $x$ .

Această metodă s-a discutat detaliat în lucrările /4/, /64/, /86/, /52/, /56/.

Cu ajutorul coeficientului  $\omega$  se poate defini coeficientul de monolitism  $\alpha$  pe baza căreia se determină caracterul diafragmei, influența golurilor asupra comportării diafragmei la acțiunea încărcărilor exterioare laterale și modul de calcul al acestora:

$$\alpha = H \cdot \omega = n \sqrt{\gamma \lambda} \quad (2.28)$$

In lucrarea /4/ în funcție de valoarea coeficientului de monolitism  $\alpha$ , diafragmele cu goluri sunt clasificate după cum urmează :

a) Diafragme cu goluri mici  $\geq 10$ .

b) Diafragme cu goluri mari  $\leq 1$ .

c) Diafragme cu goluri mijlocii  $1 < \alpha < 10$ .

a) Diafragme cu goluri mici. La aceste diafragme, calculul eforturilor se face ca pentru o diafragmă plină având aceleasi dimensiuni geometrice.

- In cazul unei încărcări uniform distribuite cu intensitate  $V$ ; momentul încovoietor și forța tăiestoare produse într-o secțiune aflată la nivelul  $\xi = x/H$  față de secțiunea de încastrare a diafragmei se calculează cu următoarele relații :

$$M_v(\xi) = V H^2 \frac{(1-\xi)^2}{2} = V H^2 k_v(\xi) \quad (2.29)$$

unde :  $K_v^M = \frac{(1-\xi)^2}{2}$  (2.30)

$t_v(\xi) = V \cdot H (1-\xi) = V \cdot H \cdot K_v^t(\xi)$  (2.31)

unde :  $K_v^t = (1-\xi)$  (2.32)

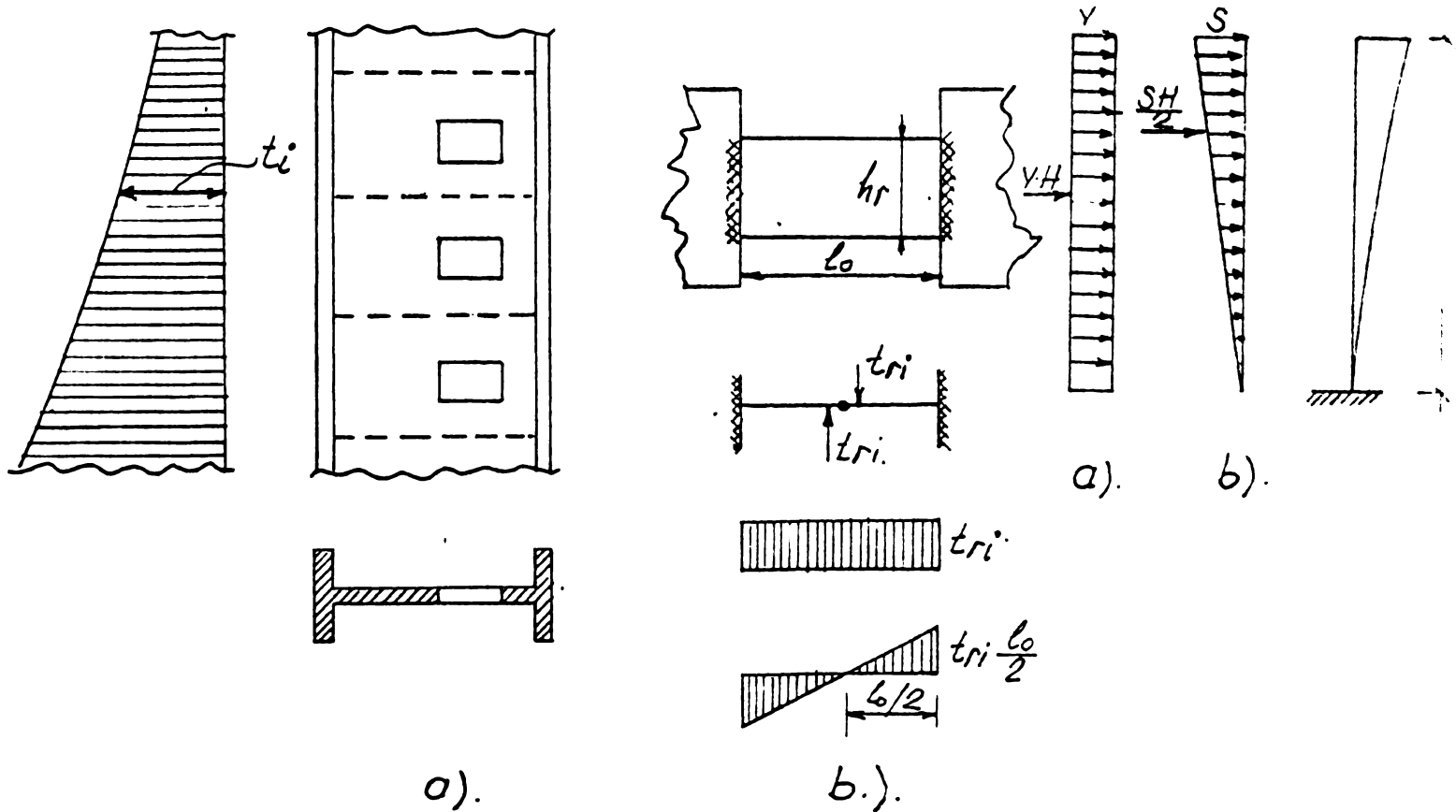


Fig. (2.9).

• In cazul unei încărcări distribuite triunghiular (fig. 2.29b), avînd valoarea maximă la vîrf ( $S$ ), momentul încovoierelor și forța tăietoare se calculează cu relațiile :

$$M_s(\xi) = S H^2 \frac{2 - 3\xi + \xi^3}{6} = S H^2 K_s^M(\xi) \quad (2.33)$$

unde :  $K_s^M(\xi) = \frac{2 - 3\xi + \xi^3}{6}$  (2.34)

$$t_s(\xi) = \frac{S \cdot H}{2} (1 - \xi) = \frac{S \cdot H}{2} K_s^t \quad (2.35)$$

unde :  $K_s^t = 1 - \xi^2$  (2.36)

Săgeata la o distanță oarecare de la baza diafragmei,  $x = \xi \cdot H$ , produsă de momentele încovoiatoare și forțele tăietoare este :

- In cazul unei încărcări uniforme distribuite din vînt :

$$Y_v(\xi) = \frac{VH^4}{24E_b I_m} \xi^2 (\xi^2 - 4\xi + 6) + \frac{VH^2}{GA'2} \xi \left(1 - \frac{\xi}{2}\right) \quad (2.37a)$$

$$Y_v(\xi) = \frac{VH^4}{E_b I_m} \phi_v^M(\xi) + \frac{VH^2}{GA'2} \phi_v^T(\xi) \quad (2.37b)$$

unde:  $\phi_v^M(\xi) = \frac{\xi^2(\xi^2 - 4\xi + 6)}{24}$  (2.38)

și  $\phi_v^T(\xi) = \xi \left(1 - \frac{\xi}{2}\right)$  (2.39)

- In cazul unei încărcări distribuite triunghiular, avînd la nivelul ultimului planșeu valoarea "S" :

$$Y_s(\xi) = \frac{SH^4}{120E_b I_m} \xi^2 (\xi^3 - 10\xi + 20) + \frac{SH^2}{2GA'2} \xi \left(1 - \frac{\xi^2}{3}\right) \quad (2.40a)$$

$$Y_s(\xi) = \frac{SH^4}{120E_b I_m} \phi_s^M(\xi) + \frac{SH^2}{2GA'2} \phi_s^T(\xi) \quad (2.40b)$$

unde :  $\phi_s^M(\xi) = \frac{\xi^2(\xi^3 - 10\xi + 20)}{60}$  (2.41)

și  $\phi_s^T(\xi) = \xi \left(1 - \frac{\xi^2}{3}\right)$  (2.42)

Coeficientul  $\gamma$  se introduce pentru a se ține seama de influența eforturilor locale din jurul golorilor și se calculează cu următoarea relație :

$$\gamma = 1 - 1,25 \sqrt{\frac{\text{aria golorilor}}{\text{aria diafragmei}}} \quad (2.43)$$

Calculul eforturilor în buiandrugi se face după cum urmează :

Forța tăietoare  $t_{ri}$  generată în buiandrugul de la nivelul i (fig.2.8) se poate calcula cu relația :

$$t_{ri} = \frac{t_i \cdot A_{sh}}{I_m} \quad (2.44)$$

în care :  $t_i$  este forța tăietoare exteroară la nivelul buiandrugului i;  $A_{sh}$  momentul static al secțiunii care trebuie să luneze în

raport cu centrul de greutate al secțiunii diafragmei;  $I_m$  momentul de inertie al secțiunii transversale a diafragmei cu gol, în raport cu axa ce trece prin centrul de greutate al secțiunii.

Momentul încovoiator în secțiunea de încastrare a buian-drugului i, va fi :

$$M_{ri} = \frac{t_{ri} \cdot l_0}{2} \quad (2.45)$$

b) Diafragme cu goluri mari. În cazul acestor diafragme, buian-drugii nu pot realiza decât legături pendulare ale montanților astfel încât mențin distanțele dintre elementele verticale asigurând deplasări egale ale acestora.

În această ipoteză, diafragma cu goluri lucrează ca o consolă plină, având secțiunea transversală egală cu suma secțiunilor transversale ale montanților, iar momentul de inertie, egal cu suma momentelor de inertie ale montanților.

c) Diafragme cu goluri mijlocii. Este de remarcat în primul rînd faptul că, metoda structurii continue echivalente este aplicabilă numai acestor tipuri de diafragme.

Dacă forța tăietoare  $t_r(\xi)$  la cota relativă  $\xi = x/H$ , se exprimă ca o funcție de forță tăietoare  $t_o$  de la baza diafragmei, adică  $t = t_o f(\xi)$  și se introduc relațiile :

$$F_o = \frac{A_s h}{I} t_o \quad (2.46)$$

unde :  $I = I_{m_1} + I_{m_2} + L A_s \quad (2.47)$

și  $A_s = \frac{L}{\frac{1}{A_{m_1}} + \frac{1}{A_{m_2}}} \quad (2.48)$

Ecuatia (2.26) devine :

$$t_r(\xi) - \omega^2 t_r(\xi) = -\omega^2 F_o f(\xi) \quad (2.49)$$

Realizarea ecuației (2.49) considerînd funcția  $f(\xi)$  care depinde de tipul de încărcare exterioară, se face cu ajutorul soluției generale care satisface condițiile de margine ale structurii. Rezultă valoarea forței tăietoare în buian-drugii :

$$t_r(\xi) = F_o \phi(\alpha, \xi) \quad (2.50)$$

- În cazul încărcării distribuite uniform (vînt) :

$$F_{oy} = \frac{V H h}{\gamma} \quad (2.51)$$

$$\phi_v(\alpha, \xi) = 1 - \xi - \frac{ch\alpha(1-\xi)}{ch\alpha} + \frac{1}{\alpha} \frac{sh\alpha}{ch\alpha} \xi \quad (2.52)$$

- In cazul încărcării distribuite triunghiular (seism) (fig.2.10b) :

$$F_{OS} = \frac{SH}{2} \cdot \frac{h}{\delta L} \quad (2.53)$$

$$\phi_s(\alpha, \xi) = \left(1 - \frac{2}{\alpha^2}\right) \left[1 - \frac{ch\alpha(1-\xi)}{ch\alpha} + \frac{2sh\alpha}{ch\alpha} \xi - \xi^2\right] \quad (2.54)$$

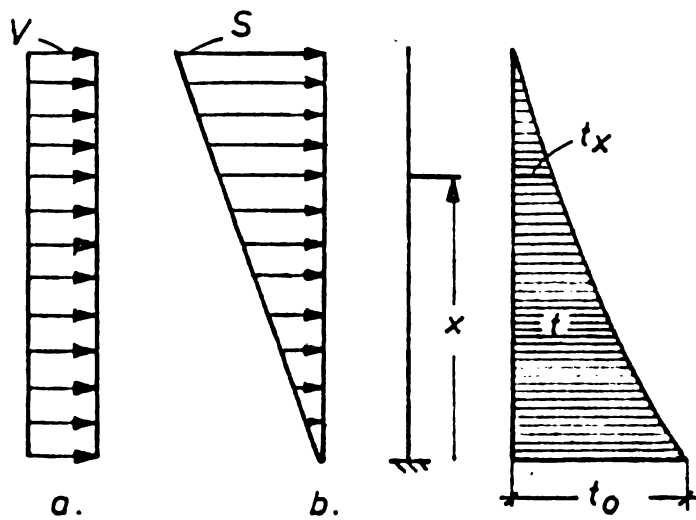


FIG. 2.10

Momentele încovoietoare care revin fiecărui element vertical al diafragmei  $M_{ml}(x)$ ,  $M_{m2}(x)$ , se calculează utilizând condiția egalității săgeții celor doi montanți aflată la cota "x" rezultând următoarele relații finale de calcul :

- Pentru încărcarea uniformă distribuită :

$$M_{m1} = \frac{Im_1}{Im_1 + Im_2} VH^2 \left[ K_y^M(\xi) - \frac{1}{\delta} \psi_v(\alpha, \xi) \right]$$

$$M_{m2} = \frac{Im_2}{Im_1 + Im_2} VH^2 \left[ K_y^M(\xi) - \frac{1}{\delta} \psi_v(\alpha, \xi) \right] \quad (2.55)$$

în care :  $\psi_v(\alpha, \xi) = \frac{1}{H} \int_x^H \phi_v(\alpha, \xi) dx$  (2.56)

- Pentru încărcări distribuite triunghiular avind valoarea maximă la vîrf S :

$$M_{m1} = \frac{Im_1}{Im_1 + Im_2} \frac{SH^2}{2} \left[ K_S^M(\xi) - \frac{1}{\delta} \psi_s(\alpha, \xi) \right] \quad (2.57)$$

$$M_{m2} = \frac{Im_2}{Im_1 + Im_2} \frac{SH^2}{2} \left[ K_S^M(\xi) - \frac{1}{\delta} \psi_s(\alpha, \xi) \right]$$

în care :  $\psi_S(\alpha, \xi) = \frac{1}{H} \int_x^H \phi_S(\alpha, \xi) dx$ . (2.58)

2.1.4.3. Diafragme cu mai multe şiruri de goluri. Calculul este similar cu cel al diafragmelor cu un singur şir de goluri.

Coefficientul de monolitism se determină cu relația :

$$\alpha = \omega H = \sqrt{12 \gamma \frac{E_r}{E_b} \cdot \frac{1}{h(I_{m_1} + I_{m_2} + \dots + I_{m_p})}} \sum_{k=1}^{p-1} \frac{I_{F_k}^c \cdot l_k^2 \cdot H}{l_k^3} \quad (2.59)$$

$$\alpha = n \sqrt{\bar{\lambda} \cdot \gamma}$$

în care  $\gamma$  se calculează cu relația (2.20).

Forța tăietoare  $t_r(\alpha, \xi)$  la nivelul  $\xi = x/H$  pentru fiecare şir de goluri și momentele încovoietoare pentru fiecare montant al diafragmei se determină cu următoarele relații :

a) Cazul încărcării uniform distribuite (vînt) :

Forțele tăietoare în buiandruși :

$$t_{r1}(\alpha, \xi) = F_{OV_1} \phi_V(\alpha, \xi)$$

$$t_{r2}(\alpha, \xi) = F_{OV_2} \phi_V(\alpha, \xi)$$

$$\vdots$$

$$t_{r(p-1)}(\alpha, \xi) = F_{OV(p-1)} \phi_V(\alpha, \xi) \quad (2.60)$$

unde  $t_{r1}, t_{r2}, \dots, t_{r(p-1)}$  corespund primului, respectiv celui de al doilea şir de goluri, la nivelul cu ordonata relativă  $\xi = x/H$

$$F_{OV_1} = \frac{V \cdot H \cdot h}{\gamma} \cdot \frac{I_{F_1}^c L_1}{\sum_{k=1}^{p-1} \frac{I_{F_k}^c L_k^2}{l_k^3}}$$

$$F_{OV_2} = \frac{V \cdot H \cdot h}{\gamma} \cdot \frac{I_{F_2}^c L_2}{\sum_{k=1}^{p-1} \frac{I_{F_k}^c L_k^2}{l_k^3}} \quad (2.61)$$

$$F_{OV(p-1)} = \frac{V \cdot H \cdot h}{\gamma} \cdot \frac{I_{F(p-1)}^c L_{(p-1)}}{\sum_{k=1}^{p-1} \frac{I_{F_k}^c L_k^2}{l_k^3}}$$

Momentele încovoietoare din montanți :

$$M_{m_1} = \frac{I_{m_1}}{I_{m_1} + I_{m_2} + \dots + I_{m_p}} \cdot V \cdot H^2 \left[ K_V^M(\xi) - \frac{1}{\gamma} \psi_V(\alpha, \xi) \right]$$

$$M_{m_2} = \frac{I_{m_2}}{I_{m_1} + I_{m_2} + \dots + I_{m_p}} \cdot V \cdot H^2 \left[ K_V^M(\xi) - \frac{1}{\gamma} \psi_V(\alpha, \xi) \right] \quad (2.62)$$

$$\vdots$$

$$M_{m_p} = \frac{I_{m_p}}{I_{m_1} + I_{m_2} + \dots + I_{m_p}} \cdot V \cdot H^2 \left[ K_V^M(\xi) - \frac{1}{\gamma} \psi_V(\alpha, \xi) \right]$$

b) In cazul încărcării distribuite triunghiular (seism) avind valoarea maximă la vîrf "S".

Forțele tăietoare în buiandragi :

$$\begin{aligned} t_{r1}(\alpha; \xi) &= F_{OS1} \phi_S(\alpha, \xi) \\ t_{r2}(\alpha; \xi) &= F_{OS2} \phi_S(\alpha, \xi) \\ &\vdots \\ t_{r(p-1)}(\alpha; \xi) &= F_{OS(p-1)} \phi_S(\alpha, \xi). \end{aligned} \quad (2.63)$$

unde  $t_{r1}, t_{r2}, \dots, t_{r(p-1)}$  corespund primului, respectiv celui de al doilea sir de goluri, la nivelul cu ordonata relativă :

$$\begin{aligned} F_{OS1} &= \frac{\delta H \cdot h}{2\gamma} \cdot \frac{I_{r1}^e L_1}{\sum_{K=1}^{p-1} \frac{I_{rK}^e L_K^2}{\ell_K^3}} \\ F_{OS2} &= \frac{\delta H \cdot h}{2\gamma} \cdot \frac{I_{r2}^e L_2}{\sum_{K=1}^{p-1} \frac{I_{rK}^e L_K^2}{\ell_K^3}} \\ &\vdots \\ F_{OS(p-1)} &= \frac{\delta H \cdot h}{2\gamma} \cdot \frac{I_{r(p-1)}^e L_{p-1}}{\sum_{K=1}^{p-1} \frac{I_{rK}^e L_K^2}{\ell_K^3}} \end{aligned} \quad (2.64)$$

Momentele încovoiatoare din montanți :

2.1.4.4. Calculul deplasărilor orizontale la diafragme cu goluri mijlocii  $[1 < \alpha < 10]$ . Folosind schema structurii continue înlocuitoare, săgeata la un nivel oarecare  $\xi$ , a unei diafragme cu goluri mijlocii din acțiunea momentelor încovoiatoare, a forțelor tăietoare și a forțelor axiale este dată de relațiile [3], /101/ :

- Pentru încărcarea uniformă distribuită "V" :

$$\begin{aligned} Y_V(\xi) &= \frac{\sqrt{H}^4}{\alpha^2(\gamma-1)E_b I_0} \left[ \psi_V(\alpha, \gamma) - \psi(\alpha, \xi) \right] + \frac{\sqrt{H}^2}{E_b I_0} \phi_V^T(\xi) \\ &+ \frac{\sqrt{H}^2}{G \sum A'm_K} \phi_V^T(\xi). \end{aligned} \quad (2.65)$$

În care :

$$I_0 = \frac{\gamma}{\gamma-1} \sum_1^p I_{mK} \quad (2.66)$$

2.1.4.5. Precizari. Se precizează că cele două metode simplificate de calcul (metoda structurii continue echivalente și metoda cadrelor), sunt echivalente din punct de vedere teoretic datorită existenței unei relații dintre ecuația diferențială care stă la baza metodei structurii continue echivalente și ecuațiile cu diferențe finite corespunzătoare metodei cadrelor.

Este important de subliniat că atât metoda structurii continue echivalente cât și metoda cadrelor sunt riguros aplicabile numai pentru diafragmele monotone simetrice cu un singur sir de goluri dispuse pe axa diafragmei și solicitate antisimetric cu forțele orizontale deoarece numai în acest caz, momentele încovoiatoare la mijlocul deschiderii buiandrugilor sunt nule.

Pentru ca cele două metode să poată fi aplicabile la diafragmele monotone cu un singur sir de goluri dispuse nesimetric față de axa diafragmei sau la cele cu mai multe siruri de goluri, se face aproximarea suplimentară și anume că rotirile tuturor nodurilor la fiecare nivel sunt egale și de același sens la ambele capete ale buiandrugilor.

Această aproximare suplimentară permite să se efectueze calculul diafragmelor monotone cu un singur sir de goluri nesimetrice și a celor cu mai multe siruri de goluri, pe o structură înlocuitoare simetrică cu un singur sir de goluri. Însă, această aproximare ar putea introduce abateri la starea de eforturi, valorile abaterilor depinzând de raportul dintre rigiditatea montanilor diafragmei. Ca valori numerice, cele două metode se apropiă între ele cu atât mai mult cu cât numărul de niveluri ale structurii este mai mare. Deci este recomandabilă utilizarea metodei cadrelor la structuri cu diafragme cu mai puțin de 7 niveluri care dă o soluție mai exactă decât cea a metodei structurii continue echivalente. Aceste metode sunt aplicabile numai cind încărcările orizontale exterioare au o distribuție simplă pe verticală.

Pentru simplificarea calculului manual s-au întocmit abace și tabele astfel încât se obțin valorile eforturilor secționale în diafragme în timp scurt.

Totuși, cind există posibilitatea efectuării calculelor la un calculator electronic, se recomandă și pentru calculul diafragmelor monotone cu goluri sub acțiunea încărcărilor orizontale, folosirea metodelor mai exacte ca și cele de complexitate redusă sau cele analitice cum ar fi metoda elementelor finite.

## 2.2. Metode de complexitate medie.

### 2.2.1. Generalități.

Având în vedere domeniul limitat al aplicării metodelor simplificate care se aplică numai anumitor tipuri de structuri întrucât nu țin seama de conlucrarea spațială dintre elementele verticale și rezistență ale structurii, se folosesc alte metode mai analitice cum ar fi cele de complexitate medie.

In timpul unui cutremur, mișcarea terenului împrină structurii o mișcare oscilantă complexă în urma căreia iau naștere în fiecare elemente de rezistență, forțe de inertie rapid variabile ca direcție, sens și intensitate. Calculul structurilor la seism trebuie să țină seama de efectul dinamic al acestor forțe și de conlucrarea spațială a ansamblului structural la acțiunea forțelor laterale generate.

Aspectele dinamic și spațial ale acestor metode constau în determinarea eforturilor în secțiunile elementelor componente ale structurii pe baza unor forțe statice echivalente acțiunii dinamice și în luarea în considerare a conlucrării spațiale a elementelor de rezistență la aceste acțiuni.

- Cînd grupul de elemente verticale de rezistență cuprinse între două planșee consecutive prezintă importante variații geometrice și elastice, sub acțiunea forțelor laterale, planșeul superior manifestă o deplasare complexă compusă din două translații față de două axe perpendiculare și o rotație în jurul unui punct numit centrul de rigiditate al elementelor verticale.

Așadar, momentele de torsion produse datorită neconcordanței punctului de aplicare al forței laterale cu centrul de rigiditate, modifică, în mod esențial, modul de distribuire al forțelor laterale la diferitele elemente verticale.

### 2.2.2. Metoda rigidităților relative de nivel 185/149/.

Determinarea eforturilor sectionale pentru ansamblul structurii la diferite nivele, forță tăietoare  $T_i$ , momentul de torsion  $M_t$  și momentul încovoiator  $M_i$  comportă în prealabil, schematicarea structurală geometrică și elastică a structurii spațiale cuprinză:

- a) Precizarea elementelor de rezistență (elemente verticale, elemente orizontale, legături dintre ele, modul de rezemare);
- b) Determinarea caracteristicilor geometrice, (axe geom-

trice, arii, momente de inertie, centre de rigiditate, centre de greutate, rigidități relative de nivel, rigidități relative principale ale fiecărui element vertical);

c) Distribuția maselor pe înălțimea construcției.

La baza calculului spațial stă metoda centrului de rigiditate /49/, /61/, /85/ considerînd structura multietajată cu planșee indeformabile în planul lor.

Prin noțiunea de rigiditate relativă de nivel a unui element se înțelege forța tăietoare corespunzătoare unei deplasări relative de nivel egală cu unitatea (fig.2.11):

$$R_i = \frac{T_i}{\Delta_i} \quad (2.67)$$

Rigiditatea relativă de nivel depinde de încărcarea laterală și de deformata ansamblului structural. Rigiditatea relativă totală la nivelul  $i$  a unei structuri compuse din  $P$  elemente verticale de rezistență (cadre, diafragme) este egală cu suma rigidităților relative ale acestor elemente la nivelul "i".

2.2.2.1. Succesiunea operațiilor în calculul după metoda rigidității relative de nivel. Cunoașterea rigidităților relative de nivel este necesară atât pentru determinarea deplasărilor orizontale ale elementelor verticale și ale construcției în ansamblu, cât și pentru distribuția forței tăietoare totale de nivel,  $T_i$ , elementelor portante ale structurii.

Pentru schematizarea calculului structura spațială se descompune în sisteme simple (diafragme, cadre). Pentru diafragme monotone cu goluri, calculul deplasărilor și rigidităților relative de nivel se face pe un cadru înlocuitor echivalent redus la un stilp echivalent.

Calculul rigidităților relative de nivel se face pe

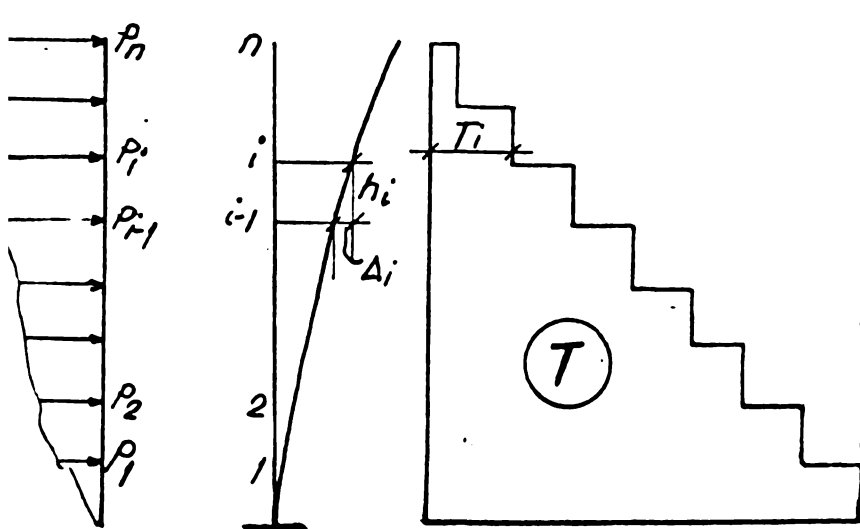


Fig. (2.11)  
un cadru înlocuitor echivalent redus la un stilp echivalent.

a) Calculul structurii la încărcări seismice. Încărcările orizontale dinamice la fiecare nivel al structurii sunt proporționale cu încărcările gravitaționale ce revin nivelului respectiv,

coeficientul de proporționalitate depinzind de deformarea structurii la solicitarea respectivă.

Intr-o primă aproximare, se pot considera coeficienții de proporționalitate ca fiind unitari și deci în această etapă se va încărca construcția pe direcția orizontală cu sarcinile gravitaționale de nivel,  $P_i$ , pentru care se vor obține forțele tăietoare la fiecare nivel " $T_i^K$ ".

Cu aceleași forțe de nivel  $P_i$  se încarcă și fiecare diafragmă verticală portantă K și se determină în prima aproximare deformata, deplasările relative de nivel, (ținând seama de efectul momentelor încovoietoare, forțelor tăietoare, forțelor axiale și rectirea fundației) și valorile forței tăietoare  $T_i^K$  la fiecare nivel (fig.2.12).

Se calculează rigiditățile relative de nivel în prima aproximare cu formula :

$$R_i^K = \frac{T_i^K}{\Delta_i}$$

Forța tăietoare de ansamblu la fiecare nivel,  $T_i$ , se distribuie diferențelor diafragme verticale proporțional cu rigiditățile relative de nivel  $R_i^K$ .

Deplasările relative de nivel  $\Delta_i$  ale construcției (care sunt egale cu cele ale fiecărei diafragme) se stabilesc conform

relației (2.67). Cu forțele tăietoare  $T_i^K$  și deplasările relative de nivel  $\Delta_i$ , astfel obținute se calculează din nou rigiditățile relative de nivel ale fiecărei diafragme cu relația :

$$R_i^K = \frac{T_i^K}{\Delta_i}$$

Cumulind deplasările relative de nivel se găsesc deplasările totale la nivelul i " $Y_i$ " ale construcției

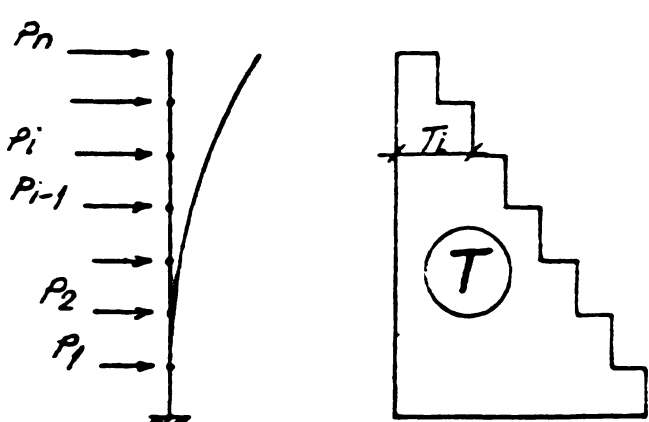


Fig. (2.12)

In această aproximare se admite un coeficient de proporționalitate a încărcărilor orizontale  $\xi_i = Y_i/Y_n$  ( $Y_n$  săgeata la vîrful structurii). Acest coeficient multiplică încărcările gravitaționale de nivel și se obține  $P_i = \xi_i \cdot P_i$  (fig.2.13).

Cu încărcările  $P_i$  se refac calculul de mai înainte obțin-

nind o nouă axă deformată a ansamblului structurii.

Se repetă operațiile în aceeași succesiune pînă cînd deformările calculate în două aproximății consecutive de ordinul N-1 și N sănt sensibil egale. În continuare se calculează forța tăietoare la baza structurii din acțiunea forțelor convenționale cu relația:

$$T_{0,N} = \sum_i^n P_i \xi_{i,N} \quad (2.68)$$

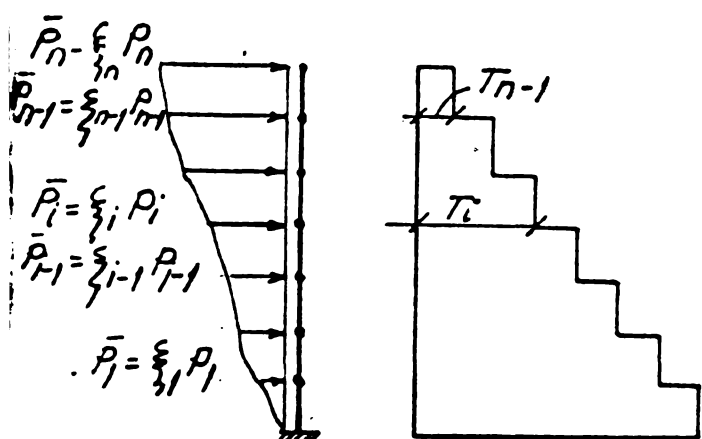


Fig. (2.13).

Apoi, se calculează forța tăietoare simetrică la baza structurii în modul (l) de vibrație  $S_1$  și se face distribuția acesteia pe înălțimea construcției cu relația:

$$\frac{S_1}{T_{0,N}} P_i \xi_{i,N} = m P_i \xi_{i,N} \quad (2.69)$$

în care :  $m = \frac{S_1}{T_{0,N}}$

Această metodă se aplică structurilor care au o distribuție simetrică a maselor și rigidităților.

Dacă structura nu este simetrică, se determină centrele de rigiditate la nivelul fiecărui planșeu pe baza rigidităților relative de nivel și se corectează în fiecare etapă de calcul, forțele aferente fiecărui element prin metoda centrului de rigiditate /52/ /49/.

2.2.2.2. Calculul deplasărilor relative de nivel la diferite tipuri de diafragme. Diafragmele pline în funcție de raportul H/B se pot clasifica în următoarele categorii :

- a)  $2 \leq \frac{H}{B} \leq 5$  diafragme mijlocii la care trebuie să se țină seama și de deformațiile de luncare.
- b)  $\frac{H}{B} > 5$  diafragme lungi, la care se pot neglija deformațiile de luncare, fiind mici în comparație cu cele de încovoiere.

Calculul deplasărilor sub acțiunea forțelor laterale de distribuție carecare se face ca pentru o consolă încastrată în fundație.

Pentru diafragme monotone cu goluri, deplasările relative de nivel se pot determina pe cadrul înlocuitor calculat prin distorsiuni cu ajutorul relației :

$$\chi_i = (\varphi_{i-1} - \varphi_i) / 2 \quad (2.70)$$

iar deplasările relative cu relația (fig. 2.14) :

$$\Delta_{i-1} = h_i \cdot \chi_i \quad (2.71)$$

Distorsiunile  $\varphi_i$ , se pot determina din ecuațiile de echilibru ale etajelor (2.16), introducind în aceste ecuații ca necunoscute, momentele la capetele rglelor  $M_{ri} = -\bar{K}_r \cdot \varphi_i$  și considerind o încărcare orizontală fictivă avînd aproximativ aceeași distribuție pe înălțimea clădirii, ca cea reală. Valorile deplasărilor relative de nivel obținute în acest fel, se vor folosi ca valori inițiale într-un calcul iterativ repetat de atîtea ori, pînă cînd rigiditățile de nivel calculate în două aproximări succesive săn sensibil egale.

lă fictivă avînd aproximativ aceeași distribuție pe înălțimea clădirii, ca cea reală. Valorile deplasărilor relative de nivel obținute în acest fel, se vor folosi ca valori inițiale într-un calcul iterativ repetat de atîtea ori, pînă cînd rigiditățile de nivel calculate în două aproximări succesive săn sensibil egale.

2.2.2.3. Precizări. Metoda rigidităților relative de nivel prezintă avantajul că nu necesită rezolvarea unui sistem de ecuații de condiție pentru aflarea repartiției forțelor orizontale între diafragme, deci este o metodă adecvată calculelor manuale. Este de subliniat că întrucît forțele orizontale repartizate fiecarei diafragme componente a unei structuri rezultă distribuite astfel decît uniform sau triunghiular. Determinarea eforturilor sectionale în diafragmele cu goluri necesită un calcul în care în general nu se poate beneficia de tabele sau abace.

### 2.2.3. Metoda deformațiilor impuse /100/ 1971 1241.

2.2.3.1. Prezentare generală a metodei. Metoda deformațiilor impuse tratează calculul structurilor multietajate supuse sarcinilor orizontale ținînd seama de conlucrarea spațială a elementelor structurale (diafragme pline, diafragme cu goluri și diafragme cu cadre). Principalele ipoteze care se au în vedere în calculul cu această metodă sunt următoarele :

- Calculul se efectuează în domeniul elastic, considerind materialul omogen și isotrop, diafragmele cu caracteristici geome-

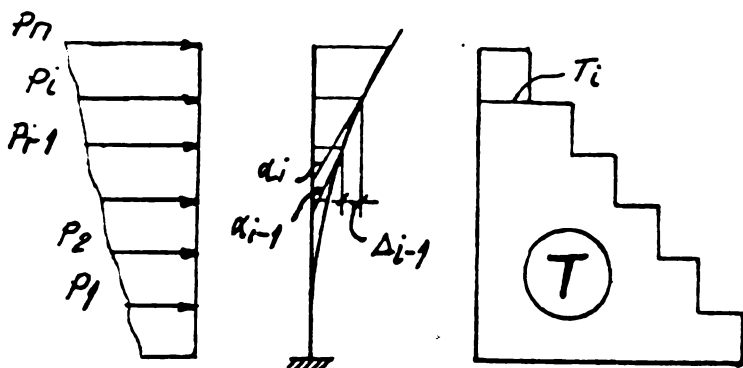


Fig. (2.16).

trice și elastice constante pe toată înălțimea lor și aceleasi deformații în fundații pentru toate elementele verticale.

- La diafragme cu goluri; toate elementele verticale cu aceleasi rotiri la nivelul buiandrugilor. Punctele de moment nul se consideră pe aceeași verticală la mijlocul deschiderii (lumină) buiandrugilor. Se ține seama de mărirea elasticității buiandrugilor datorită: încastrării lor elastice în montanți, forțelor tăietoare în buiandrugi și fisurării mai puternice a buiandrugilor față de montanți.

Planșele sunt indeformabile în planul lor și în consecință, toate elementele verticale ale structurii vor avea aceleasi deformații în dreptul planșelor. Pentru calculul deformațiilor se admite distribuția de eforturi dată de formulele Navier și Juravsky.

Structura de rezistență a unei construcții se schematizează din punct de vedere ingineresc și a necesităților de calcul, la o structură alcătuită dintr-o serie de elemente distințe: diafragme și cadre diafragme. Aceste elemente sunt alcătuite din două tipuri de elemente verticale.

a) Elemente independente lucrînd ca niște console încastrate în fundație.

b) Elemente legate între ele cu rigle orizontale (buiandrugi) formînd unitățile numite diafragme cu goluri (sau cadre, cadre-diafragme) care de asemenea sunt încastrate în fundație.

2.2.3.2. Metoda generală. O construcție multietajată cu  $n$  nivele, se asimilează în calcul, cu o consolă "echivalentă" cu  $n$  mase concentrate în dreptul fiecăruia nivel.

Pentru a efectua trecerea de la structura reală la consola echivalentă care să aibă aceeași matrice a deformațiilor, se pune condiția de egalitate a deplasărilor la fiecare nivel, pentru toate elementele verticale ale structurii trecînd în următoarele trei etape:

I. Calculul forțelor de reacțiiune datorite unei deformații impuse.

II. Calculul forțelor de lunecare în buiandrugi.

III. Calculul forțelor orizontale corespunzătoare celor de lunecare în buiandrugi aducînd structura la forma inițială.

În etapa (I) de calcul, se alege o consolă fictivă avînd caracteristici geometrice și elastice cunoscute și încărcată cu

un sistem de forțe concentrate cunoscute (pentru simplificarea calculului este indicat a se alege o consolă fictivă ( $\alpha^f = \beta^f$ ), ceea ce înseamnă că efectul forței tăietoare provenite din forță unitară ( $p = 1$ ) aplicată succesiv la cele  $n$  nivele la mărirea săgeții unui tronson având înălțimea unui etaj, este neglijabilă. Dacă se aplică la nivelul  $i$ , pe consola fictivă aleasă, o forță unitară concentrată  $P_i^f = 1$ , se produce deformata  $y_j^f$ , căreia îi corespunde pe elementul  $K$ , din cadrul structurii, o deformată  $y^K = y_{ij}^K$ . Forțele tăietoare  $T_{ij}^{LK}$  pe elementul  $K$ , corespunzătoare deformatiei impuse  $y^K$ , se obțin din relațiile de recuranță obținute impunind însă unei diafragme  $K$ , deformata consolei fictive încărcate cu forță unitară  $P_i^f = 1$  și aplicată la nivelul  $i$ .

Acest sistem de recurență are  $n$  ecuații cu  $n$  necunoscute :

- Pentru nivelul curent  $i$  :

$$T_{i+1,j}^{LK}(1-\gamma^K) + 2T_{ij}^{LK}\delta^K + T_{i-1,j}^{LK}(1-\gamma^K) \quad (2.72)$$

- Pentru ultimul nivel,  $n$  :

$$T_{n,j}^{LK}(1+\gamma^K) + T_{n-1,j}^{LK}(1-\gamma^K) \quad \Rightarrow 0 \text{ sau } 2\delta^K$$

- Pentru primul nivel,  $1$  :

$$T_{2,j}^{LK}(1-\gamma^K) + T_{1,j}^{LK}(3\gamma^K - 1)$$

în care  $\gamma^K$  este un coeficient prin care se introduce influența deformațiilor de luncere a elementului și se definește cu următoarea relație  $\gamma^K = \frac{\beta^K}{\alpha^K}$

$\beta^K$  și  $\alpha^K$  reprezintă deformațiile elementului  $K$ , pe înălțimea  $\delta^K$  este raportul unui tronson  $h$ , din acțiunea unei forțe orizontale concentrată  $P = 1$ , respectiv din acțiunea unui moment de inertie al secțiunii elementului  $K$ , aplicat concentrat  $M = h$  (fig.2.15);  $I^K$  și momentul de inertie al secțiunii consolei fictive  $I^f$ .

Termenul liber al sistemului de ecuații este zero, dacă  $i > j$  și  $2\delta^K$  dacă  $i \leq j$ .

In etapa II de calcul, structura se consideră blocată la deplasări orizontale, pe deformata impusă și în această situație se scrie condiția de egalitate a deplasărilor pe verticală pentru fiecare riglă. Aceasta înseamnă că am obligat elementele verticale considerate independente să ia o anumită deformată impusă pe consolă fictivă și am găsit forțele tăietoare  $T_{rj}^{2K}$  generate în riglele care se leagă cu elementele verticale.

Pentru a aduce elementele verticale legate în rigle, la

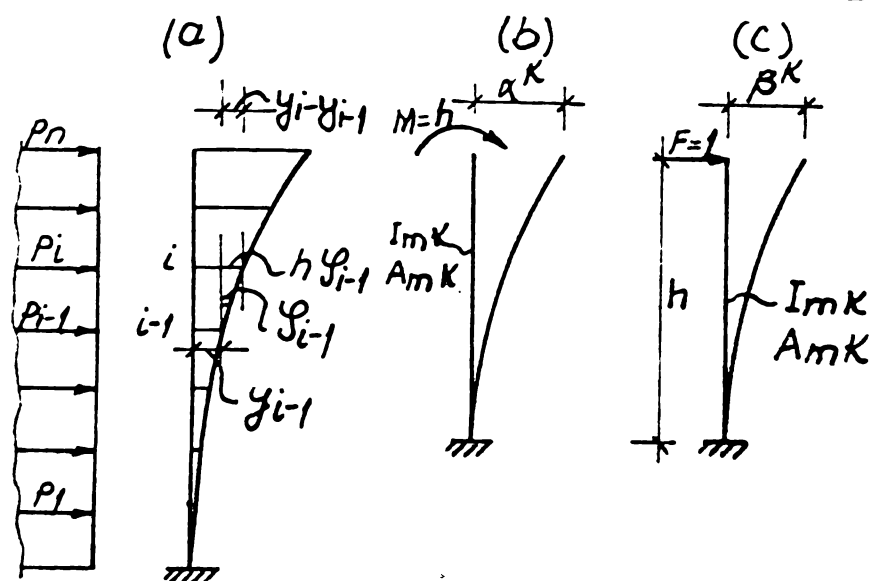


Fig. (2.15).

deformata impusă în prima etapă,  $Y_f$ , se calculează (etapa III) pentru fiecare din aceste lamele, forțele tăietoare orizontale  $T_{ij}^{2K}$  static echivalente cu lunecările  $t_{ri}$ , din rigle. Însumind toate forțele obținute din prima etapă ( $T_{ij}^{1K}$ ) și a celor din a treia etapă ( $T_{ij}^{2K}$ ), după elementul vertical

"K" rezultă forțele  $T_{ij}^K$  corespunzătoare direct sistemului de încărcare  $P_j = 1$  a consolei fictive și indirect deformează consolei fictive, deformată ce a fost impusă elementului K.

Făcând suma forțelor obținute pe toate elementele structurii, rezultă forțele  $T_{ij}$ , care reprezintă deci forțele tăietoare la nivelul i, din tipul J de încărcare a consolei fictive ca element al matricei  $[T]$ .

Fie  $F_1, F_2, \dots, F_n$  un sistem de forțe tăietoare ce acționează asupra structurii. Din condiția de echilibru de forțe de nivel, rezultă sistemul :

$$x_1 T_{11} + x_2 T_{12} + \dots + x_n T_{1n} = F_1$$

$$x_2 T_{21} + x_2 T_{22} + \dots + x_n T_{2n} = F_2 \quad (2.73)$$

$$\vdots$$

$$x_n T_{n1} + x_2 T_{n2} + \dots + x_n T_{nn} = F_n$$

în care  $x_i$  sunt necunoscute cu care ar trebui înmulțiti vectorii unitari de încărcare pentru a avea echilibru între reacțiuni și forțele exterioare. Astfel, se ajunge, în final la o ecuație matricială de forma :  $[T_{ij}] \{x_i\} = \{F_i\}$

care rezolvă problema direct în metoda deplasărilor obținindu-se eforturile secționale generate în structură pentru o deformată impusă.

Se subliniază faptul că matricea  $[T]$  se calculează pe consola fictivă.

Pentru elementele verticale nelegate cu buiandruji (diafragme pline), se însumează numai forțele din prima etapă întrucât etapele II și III se referă numai la diafragmele cu goluri.

2.2.3.3. Metoda simplificată. Această metodă este bazată pe cea generală având un caracter de complexitate și particularizată pentru calculul diafragmelor monotone cu unul sau mai multe giruri de goluri, considerate independente și acționate de încărăci orizontale considerate.

In prima etapă, calculul eforturilor secționale se face pe un cadru înlocuitor simetric exact ca la metoda cadrelor obținându-se momentele încovoietoare maxime în rigle,  $M_{ri}$  cu relația (2.16) sau folosind metoda structurii continue echivalente cu următoarea relație :

$$2M_r(\xi) = \bar{L} t_r(\xi) = T_0 h \phi(\alpha, \xi) \quad (2.74)$$

în care  $\bar{L}$  este distanța între axele celor doi stâlpi ai cadrului înlocuitor.

Etapa a doua pentru repartizarea solicitărilor se face în modul următor :

a) Se determină pentru cadrul înlocuitor forțele orizontale concentrate la nivelul rигелор corespunzătoare lunecărilor din rigle și care sunt aproximativ static echivalente cu momentele concentrate  $M_{ri}$  (fig. 2.16).

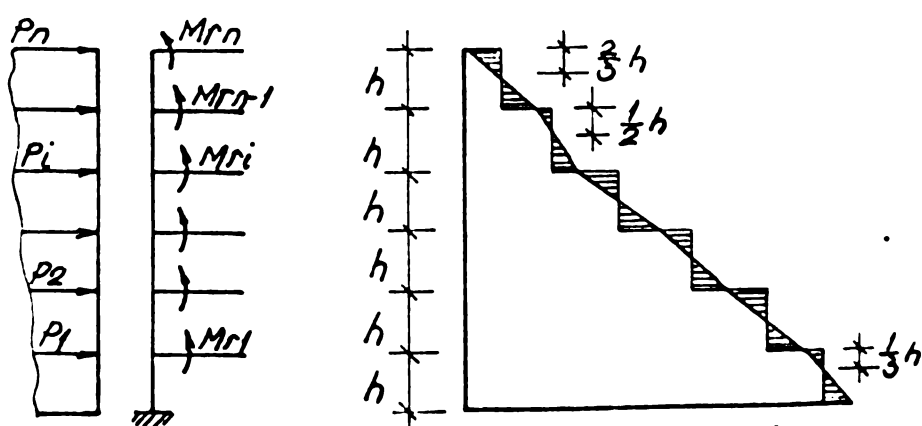


Fig. (2.16).

$M_{ri}$  reprezintă suma celor două momente egale care acționează la capetele rигелор cadrului înlocuitor.

b) Se separă montanții diafragmei cu goluri în două categorii în funcție de coeficienții  $\gamma$  apropiati, se încadrează în aceeași categorie și se sumează momentele lor de inertie

pe cele două categorii  $\sum I_m^1$  respectiv  $\sum I_m^2$ . Se notează :

$$\frac{\sum I_m^2}{\sum I_m'} = m'$$

c) Se determină forțele tăietoare  $T_i^1 = (T_i - \Delta T_i)^1$  și  $T_i^2 = (T_i - \Delta T_i)^2$  ce revin fiecărei categorii de montanți, rezolvând un sistem de ecuații obținut prin aplicarea unor relații de recurență, care exprimă continuitatea deplasărilor orizontale a două elemente verticale în dreptul planșelor la fiecare nivel. Sistemul de ecuații este :

$$\begin{aligned} & [m'(1-\gamma') + 1-\gamma^2]T_{i-1}^1 + 2[(m'\gamma' + \gamma^2)]T_i^1 + [m'(1-\gamma') + 1-\gamma^2]T_{i+1}^1 = \\ & (1-\gamma^2)(T_{i-1} - \Delta T_{i-1}) + 2\gamma^2(T_i - \Delta T_i) + (1-\gamma^2)(T_{i+1} - \Delta T_{i+1}) \end{aligned} \quad (2.75)$$

în care  $T_i$  este forța tăietoare la nivelul  $i$ , din încărcările exterioare pe diafragmă, iar  $\gamma'$  și  $\gamma^2$  media aritmetică a coeficienților  $\gamma^K$  din grupa respectivă.

Ecuatia primului nivel se obține punind atât în membrul drept cît și în membrul stîng al relației (2.75),  $T_0 - \Delta T_0 = -(T_1 - \Delta T_1)$  respectiv  $T_0^1 = T_1^1$  iar ecuația ultimului nivel, punind  $(T_{n+1} - \Delta T_{n+1}) = (T_n - \Delta T_n)$  respectiv  $T_{n+1}^1 = T_n^1$ .

Forțele tăietoare  $T_i^1$  și  $T_i^2$ , astfel determinate, se repartizează apoi între montanții aceleiași categorii, fie proporțional cu momentele de inertie, fie, dacă coeficientii  $\gamma^K$  în cadrul aceleiași categorii diferă mult, separind acești montanți din nou în două categorii și rezolvând pentru aceste două categorii, sistemul de ecuații (2.75).

Este de subliniat că, în general, la diafragmele cu goluri mijlocii ( $1 < \alpha < 10$ ), montanții se pot încadra într-o singură categorie, nemaifiind necesară rezolvarea sistemului de ecuații (2.75).

Forța tăietoare  $(T_i^1 - \Delta T_i)^K$  se obține prin repartizarea forței exterioare  $(T_i - \Delta T_i)$  proporțional cu momentele de inertie ale fiecărui montant.

Se calculează momentele concentrate,  $M_{ri}^K$ , care revin fiecărui montant  $K$ , din acțiunea forțelor tăietoare din buiandruzi, repartizând momentele  $M_{ri}$  (2.74) mai întîi la deschiderile diafragmei reale în raportul cu rigiditățile practice  $2 \sum \bar{\gamma}_r$  (relația 2.17), iar apoi la capetele riglelor, în raport cu distanțele de la mijlocul deschiderii (lumină) - punctul de moment nul al buiandrugului - la axele montanților adiacenți.

d) Se repartizează forțele tăietoare  $\Delta T_i$ , calculate pe cadrul înlocuitor, la montanții diafragmei reale, proporțional cu momentele încovoietoare concentrate  $M_{ri}^K$ , ce revin fiecărui montant, iar forțele tăietoare  $(\Delta T_i)^K$ , rezultate din această repartizare, se adună la forțele tăietoare  $(T_i - \Delta T_i)^K$  obținute mai înainte pe montantul K, prin repartizarea forțelor tăietoare  $T_i - \Delta T_i$ .

e) Se calculează fiecare element vertical K considerat ca o consolă încărcată cu forțele tăietoare aferente  $(\Delta T_i)^K + (T_i - \Delta T_i)^K$  și cu momentele concentrate  $M_{ri}^K$  determinate anterior.

2.2.3.4. Precizări. Metoda deformațiilor impuse aplicată calculului spațial al structurilor multietajate prezintă o serie de avantaje cum sunt :

- Din punct de vedere matematic, pe baza ipotezelor admise, această metodă este exactă.

- Se poate urmări fiecare etapă de calcul foarte ușor din punct de vedere fizic.

- Introducerea, scoaterea sau modificarea unui element nu necesită reluarea calculului de la început.

- Această metodă permite o sistematizare a calculelor beneficiind de diagrame și abace.

- Calculul cu metoda deformațiilor impuse se face cu ajutorul calculatoarelor electronice care permite mărirea preciziei calculului cât și realizarea unei rapidități mari de calcul.

- Metoda simplificată este recomandabilă la calculul manual al structurilor multietajate uniforme și cu deformații egale la bază, unde nu există posibilitatea unui calcul automat.

Dezavantajul metodei constă însă în ipoteza indeformabilității planșelor.

Totuși, calculul după această metodă pare a fi acoperitor și constituie în principiu, un bun îndrumător.

### 2.3. Metoda elementelor finite.

#### 2.3.1. Generalități.

Proiectarea modernă a unei structuri multietajate presupune evaluarea prin calcul a gradului de siguranță a unei structuri sub acțiunea diferitelor grupări de încărcări posibile.

Verificarea performanței unei soluții structurale se face

pe baza analizei eforturilor și deplasărilor produse în elementele structurale în diferite stadii de încărcare.

Rezolvarea analitică a acestor probleme folosind teoria elasticității este imposibilă datorită complexității formei structurii și stării de solicitare.

Unele soluții analitice exacte sunt atât de greoale încât sunt greu de manevrat în vederea obținerii de valori numerice pentru starea de solicitare.

Pe de altă parte, evaluarea încărărilor exterioare într-o funcție continuă exactă este foarte greu de realizat. Motivele enumerate fac ca în rezolvarea problemelor practice să fie avantajoasă adoptarea metodelor numerice adecvate calculului automat cu metoda elementelor finite.

### 2.3.2. Metoda elementelor finite /89/ /69/ /88/ /46/.

2.3.2.1. Prezentarea generală a metodei. Metodele moderne de analiză a structurilor cu diafragme, le consideră ca un solid elastic continuu. Folosind procedeul de discretizare și anume idealizarea structurii reale printr-un model matematic care poate aproxima cât mai precis proprietățile geometrice și elastice ale structurii reale și permitînd într-o cât mai mare măsură eliminarea dificultăților matematice pe care le comportă analiza.

Discretizarea structurii cu diafragme, folosind metoda elementelor finite se face prin împărțirea structurii elastice continue într-un număr arbitrar, dar finit, de regiuni de substructuri, cu dimensiuni mai mici dar de asemenea finite. Aceste substructuri reprezintă elementele finite și pot avea diverse forme geometrice, iar proprietățile lor elastice pot fi diferite de la unul la altul.

Forma geometrică și numărul elementelor finite depinde atât de cadrul problemei cât și de gradul de precizie urmărit. După discretizare, structura elastică continuă, se prezintă sub forma unei rețele de elemente finite; se pune problema modului cum trebuie să fie realizată legătura dintre acestea pentru a modela cât mai fidel structura unitară inițială.

Se consideră, că legătura dintre elementele finite adiacente nu se realizează dealungul întregii frontiere comune ci numai în anumite puncte ale acestora, denumite noduri.

Este important de menționat că pentru o anumită structură se pot alege mai multe tipuri de elemente finite, după numărul nodurilor cu care sunt prevăzute și poziția lor în cadrul elementelor finite.

Tipurile cele mai utilizate de elemente finite sunt elementele finite liniare care pot avea forma de triunghi sau dreptunghi. La aceste elemente, nodurile sunt amplasate numai la vîrfurile lor, astfel că fiecare dintre muchiile acestora este prevăzută cu cîte două noduri. Această amplasare a nodurilor este suficientă pentru ca elementele finite adiacente să fie confortabile pe frontierele lor.

Avînd în vedere că deformația unei substructuri (element finit) sub acțiunea unui sistem de încărcări date, este perfect determinată, dacă se cunosc deplasările unui punct arbitrar care îi aparține, ca funcții continue de punctul considerat (teoria elasticității).

Deci pentru fiecare element finit se adoptă o funcție analitică simplă care stabilește corespondența dintre deplasările unui punct curent al elementului și deplasările nodurilor. Funcțiile de deplasări ale elementelor finite liniare sunt de gradul întîi, iar numărul de termeni al fiecărei din acestea depinde de forma geometrică a elementului finit. Condiția necesară și suficientă ca un element finit liniar să fie confortabil, este ca funcțiile sale de deplasări să fie polinoame liniare și să conțină fiecare un număr de termeni egal cu numărul de noduri ale elementului.

Starea de deformații se determină în orice punct dorit în elementul finit cu ajutorul expresiilor analitice ale acestuia și se exprimă sub o formă unitară dependență dintre deformații și deplasări. Starea de tensiuni se deduce folosind principiul generalizat al lui Hooke.

Ecuatiile de echilibru sau de mișcare ale unei structuri alcătuite în echilibru static sau dinamic, sub acțiunea unui sistem de încărcări date se bazează pe principii analitice (ca folosirea lucrului mecanic virtual).

Formularea matriceală a principiului lucrului mecanic virtual pentru un element finit, este stabilită cu următoarea expresie:

$$\int_V \{V\}^T \{\delta E\} dV = \int_V \{\mu\}^T \{\delta u\} dV + \int_S \{P\}^T \{\delta u\} dS \quad (2.76)$$

unde  $V$  este forța masică exterioară pe unitatea de volum a elementului finit;  $P$  este forța exterioară de suprafață pe unitatea de suprafață a elementului finit.

Scriind cîmpul de deplasări pentru fiecare dintre nodurile

elementului finit se obține următoarea relație :

$$\{U\} = [A] \{\alpha\} \quad (2.77)$$

unde  $\{U\}$  este matricea deplasărilor elementului finit.

$[A]$  este matricea caracteristicilor geometrice ale elementului finit.

$\{\alpha\}$  este matricea parametrilor  $\alpha$ ; ai cîmpului de deplasări.

Pe de altă parte, se poate scrie relația dintre matricea de deformații specifice ale elementului finit și matricea de deplasări :

$$\{\varepsilon\} = [N] \{\alpha\} \quad (2.78)$$

Inversind relația (2.77) :

$$\{\alpha\} = [A]^{-1} \{U\} \quad (2.79)$$

Inlocuind cu relația (2.79) în relația (2.78) se obține:

$$\{\varepsilon\} = [N][A]^{-1}\{U\} = [B]\{U\} \quad (2.80)$$

$$\text{In care : } [B] = [N][A]^{-1} \quad (2.81)$$

Relația (2.80) exprimă deformațiile elementului finit în funcție de deplasările nodurilor.

Legea lui Hooke se scrie sub forma :

$$\{F\} = [D] \{\varepsilon\} \quad (2.82)$$

Unde  $[D]$  este matricea de elasticitate a elementului finit. Dacă făcîndu-se înlocuirea relațiilor (2.80) și (2.82) în relația (2.76) se obține următoarea relație :

$$\int_V \{\delta U\}^T [B]^T [D] [B] \{U\} = \int_V \{\delta U\}^T \{\mu\} dv + \int_S \{P\}^T \{\delta U\} ds \quad (2.83)$$

considerînd :

$$[K] = \int_V [B]^T [D] [B] dv \quad (2.84)$$

Matricea de rigiditate a elementului finit ale cărui caracteristici geometrice și elastice le conține, este o matrice patrată și simetrică.

Pie :

$$\{F\} = \int_V \{\mu\} dv + \int_S \{P\} ds \quad (2.85)$$

$\{F\}$  fiind matricea încărcărilor care solicită elementul finit (matricea forțelor nodale echivalente).

Relația (2.83) devine :

$$[K] \{U\} = \{F\} \quad (2.86)$$

Necunoscuta ecuației (2.86) este matricea deplasărilor nodale  $\{U\}$ .

Caracteristicile geometrice și elastice ale elementului finit sunt cunoscute, iar încărcările sale exterioare sunt de asemenea cunoscute, deci în această metodă, se pune problema determinării unui sistem de forțe concentrate care să echivaleze încărcările reale, oricare ar fi distribuția acestora și care să acționeze la nodurile elementelor finite. Principiul de calcul este următorul :

Lucrul mecanic produs de forțele reale, datorită deplasării punctelor lor de aplicație într-o direcție arbitrară, este egal cu lucrul mecanic produs de forțele nodale echivalente datorită deplasării nodurilor în aceeași direcție. Acest principiu este general.

Expresia lui pentru cazul unui element finit cu n noduri este :

$$\sum_{i=1}^n F_{i\Delta} \cdot U_{i\Delta} = \int_V \mu_\Delta(x, y) U_\Delta(x, y) dv + \int_S P_\Delta(x, y) U_\Delta(x, y) ds \quad (2.87)$$

$F_{i\Delta}$  = forță nodală echivalentă din nodul (i) în direcția  $\Delta$  ;

$U_{i\Delta}$  = este deplasarea nodului (i) în direcția ( $\Delta$ ) ;

$U_\Delta(x, y)$  este deplasarea punctului de aplicație al forței reale, masică sau de suprafață în direcția ( $\Delta$ ) ;

$\mu_\Delta(x, y)$  este forță masică pe unitatea de volum, într-un punct curent și în direcția ( $\Delta$ ) ;

$P_\Delta(x, y)$  este forță distribuită pe unitatea de suprafață, într-un punct curent și în direcția ( $\Delta$ ) .

Cîmpul de deplasări adoptat permite să se exprime deplasarea  $U_\Delta(x, y)$  al unui punct curent al elementului finit în funcție de deplasările  $U_{i\Delta}$  ale nodurilor elementului finit. Înlocuind relațiile astfel obținute în ecuația de mai sus și egalind coeficienții deplasărilor cu aceleasi nume din cei doi membri ai săi, se obțin forțele nodale echivalente în direcția ( $\Delta$ ) .

Intrucît relația de mai sus, este valabilă pentru o direcție arbitrară ( $\Delta$ ), ea se aplică succesiv pentru direcțiile axelor OX și OY ale sistemului de referință local.

### 2.3.2.2. Succesiunea etapelor de calcul ale metodei elementelor finite.

a) Se alege tipul și forma geometrică a elementului finit cu

care se va lucra.

b) Se discretizează structura, astfel ca rețeaua de elemente finite să fie mai densă în acsele regiuni care prezintă un interes deosebit.

c) Se stabilește cîmpul de deplasări ale elementului finit ales, astfel ca să fie conformabil.

d) Se calculează matricea de rigiditate pentru fiecare element finit în parte.

e) Se calculează matricea forțelor nodale echivalente pentru fiecare element finit în parte.

f) Se formează matricea de rigiditate a structurii, prin asamblarea matricilor de rigiditate ale tuturor elementelor finite cu ajutorul unor reguli simple și precise.

g) Se formează matricea forțelor nodale echivalente a întregii structuri, prin asamblarea matricilor forțelor nodale echivalente ale tuturor elementelor finite.

h) Se inversează matricea de rigiditate a structurii.

i) Se calculează deplasările nodale ale structurii prin efectuarea produsului matricial.

$$\{U\}_S = [K]_S^{-1} \{F\}_S \quad (2.88)$$

j) Se calculează tensiunile normale cît și cele principale și direcțiile lor pe baza teoriei elasticității.

### 2.3.3. Aplicarea metodei elementelor finite la analiza structurii cu diafragme /88/ /46/ /81/ /51/.

2.3.3.1. Ipoteze și principii. Schema de aplicare a metodei elementelor finite are un caracter general, pentru un număr mare de probleme ale fizicii matematice, în particular, metoda este aplicabilă problemelor teoriei elasticității.

In cele ce urmează este abordată problema studiului stării statice de tensiune sub acțiunea unor forțe date (sau eventual, a unor variații de temperatură sau deplasări, de rezistențe date), în structurile cu diafragme.

Admitînd următoarele principale ipoteze care stau la baza aplicării metodei elementelor finite :

- planșele sunt indeformabile în planul lor, asigurînd elasticitatea deplasărilor peretilor portanți la nivelul planșelor;

- pentru caracterizarea comportării unei diafragme verticale în cadrul ansamblului structurii, se adoptă, drept parametri, deplasările orizontale în planul diafragmei la nivelul planșelor; se negligează efectul forțelor de inerție asupra alurii deformatei diafragmelor între două planșee.

Se admite că, în cazul unui cutremur, mișcarea seismică a terenului se poate asimila cu mișcarea unui solid rigid, acceptându-se că forțele de inerție sunt concentrate în dreptul planșelor.

Pentru determinarea stării de solicitări statice în diafragme se pleacă de la principiul energiei potențiale totale :

$$E - L = \min. \quad (2.89)$$

unde : E reprezintă energia de deformare a corpului studiat;

L reprezintă lucrul mecanic al forțelor exterioare prin deplasările corpului.

Mărimile care intervin în relația precedentă au următoarea expresie :

$$E = \frac{1}{2} \int_V (\bar{\nu}_x \varepsilon_x + \bar{\nu}_y \varepsilon_y + \bar{\tau}_{xy} \delta_{xy}) dv \quad (2.90a)$$

$$L = \int_V (U_x \mu_x + U_y \mu_y) dv + \int_S (U_x P_x + U_y P_y) ds \quad (2.90b)$$

În aceste expresii :

$(\bar{\nu}_x, \bar{\nu}_y, \bar{\tau}_{xy}), (\varepsilon_x, \varepsilon_y, \delta_{xy}), (U_x, U_y), (x, y)$  și  $(\mu_x, \mu_y)$  sunt respectiv notațiile curente pentru tensiuni, deformații, deplasări, forțe de volum și forțe de contur.

Prezența unei variații de temperatură  $\theta(x, y)$  este echivalentă cu apariția unui cîmp suplimentar de tensiune.

$$\bar{\nu}_{xt} = \frac{E \alpha}{1 - \mu^2} \theta \quad (2.91)$$

În ipoteza deplasărilor împiedicate.

Prezența unor deplasări de rezemă impuse, compatibile cu cîmpul de deplasări  $(U_d(x, y), V_d(x, y))$  este echivalentă cu apariția unui cîmp suplimentar de tensiune.

$$\bar{\nu}_{xd} = \frac{E}{1 - \mu^2} \left( \frac{\delta U_x d}{\delta x} + \mu \frac{\delta U_y d}{\delta y} \right)$$

$$\bar{\nu}_{yd} = \frac{E}{1 - \mu^2} \left( \frac{\delta U_y d}{\delta y} + \mu \frac{\delta U_x d}{\delta x} \right) \quad (2.92)$$

$$\bar{\tau}_{xyd} = \frac{E}{2(1 + \mu)} \left( \frac{\delta U_x d}{\delta y} - \frac{\delta U_y d}{\delta x} \right)$$

Oricare din cîmpurile suplimentare de tensiune enumerate, notate cu  $\tilde{U}_{xS}$ ,  $\tilde{U}_{yS}$ ,  $\tilde{U}_{xys}$  este echivalent cu niște forțe de volum care asigură echilibrul.

$$X_S = - \frac{\delta \tilde{U}_{xS}}{\delta x} - \frac{\delta \tilde{U}_{xys}}{\delta y} \quad (2.93)$$

$$Y_S = - \frac{\delta \tilde{U}_{xys}}{\delta x} - \frac{\delta \tilde{U}_y}{\delta y}$$

Expresiile (2.90a) și (2.90b) pun în evidență faptul că mărimele care intervin în ecuația de bază (2.89) reprezintă integrale pentru întregul domeniu ocupat de corpul studiat.

In cazul unei discretizări a corpului, în elemente "e" (care vor fi considerate, pentru calcule ulterioare, drept elemente triunghiulare și dreptunghiulare), oricare din mărimele definite prin relațiile (2.90a) și (2.90b) vor fi o sumă a unor mărimi omologe  $E_e$ ,  $L_e$  calculate pentru cîte un singur element.

2.3.3.2. Expresii matriciale referitoare la elementele finite triunghiulare. Ipoteza de bază adoptată pentru elementul liniar triunghiular "e" este că există o expresie liniară care determină deplasările oricărui punct curent al elementului în funcție de coordonatele acestuia în raport cu un sistem de referință local. Deci, dacă se cunosc valorile lor în nodurile elementului finit, ele sint perfect determinante.

Notîndu-se prin  $(X_{1,e}; Y_{1,e})$ ,  $(X_{2,e}; Y_{2,e})$  și  $(X_{3,e}; Y_{3,e})$  coordonatele nodurilor unui element "e" și ca  $(U_{x1/e}, U_{y1/e})$ ,  $(U_{x2/e}, U_{y2/e})$  și  $(U_{x3/e}, U_{y3/e})$  valorile deplasărilor nodurilor respective, starea de forfecare și de tensiuni este perfect determinată de vectorul coloanei de dimensiune "6"

$$\{U_e\} = \begin{Bmatrix} U_{x1/e} \\ U_{y1/e} \\ U_{x2/e} \\ U_{y2/e} \\ U_{x3/e} \\ U_{y3/e} \end{Bmatrix} \quad (2.94)$$

Dacă se definește :

$$A_{oe} = \frac{1}{\begin{vmatrix} x_1 & y_1 \\ x_2 & y_2 \\ x_3 & y_3 \end{vmatrix}} \begin{vmatrix} x_1 & y_1 & x_1 & y_1 & x_1 & y_1 \\ x_2 & y_2 & 0 & x_2 & y_2 & 0 \\ x_3 & y_3 & 0 & x_3 & y_3 & 0 \\ x_1 & y_1 & x_1 & y_1 & x_1 & y_1 \\ 0 & x_2 & y_2 & 0 & x_2 & y_2 \\ 0 & x_3 & y_3 & 0 & x_3 & y_3 \end{vmatrix}$$

(2.95)

Atunci deplasările într-un punct curent pot fi exprimate sub formă matricială :

$$\begin{bmatrix} U_{xe}(x,y) \\ U_{ye}(x,y) \end{bmatrix} = A_{oe}(x,y) U_e \quad (2.96)$$

Deformațiile sunt legate de deplasări prin relațiile diferențiale :

$$\begin{aligned} \varepsilon_x &= \frac{\delta u}{\delta x} \\ \varepsilon_y &= \frac{\delta u}{\delta y} \\ \gamma_{xy} &= \frac{1}{2} \left( \frac{\delta u}{\delta y} + \frac{\delta u}{\delta x} \right) \end{aligned} \quad (2.97)$$

Pe această bază, dacă se introduce matricea :

$$e = \frac{1}{\begin{vmatrix} x_1 & y_1 \\ x_2 & y_2 \\ x_3 & y_3 \end{vmatrix}} \begin{vmatrix} y_2 - y_3 & 0 & y_3 - y_1 & 0 & y_1 - y_2 & 0 \\ 0 & x_2 - x_3 & 0 & x_3 - x_1 & 0 & x_1 - x_2 \\ \frac{x_3 - x_2}{2} & \frac{y_2 - y_3}{2} & \frac{x_1 - x_3}{2} & \frac{y_3 - y_1}{2} & \frac{x_2 - x_1}{2} & \frac{y_1 - y_2}{2} \end{vmatrix} \quad (2.98)$$

Deformațiile (constante pentru element) vor fi date de expresia:

$$\begin{bmatrix} \varepsilon_{xe} \\ \varepsilon_{ye} \\ \gamma_{xye} \end{bmatrix} = A_{Ee} U_e \quad (2.99)$$

Tensiunile sînt legate de deformații prin relațiile :

$$\begin{aligned} \sigma_x &= \frac{E}{1-\mu^2} (\varepsilon_x + \mu \varepsilon_y) \\ \sigma_y &= \frac{E}{1-\mu^2} (\varepsilon_y + \mu \varepsilon_x) \\ \tau_{xy} &= -\frac{E}{1+\mu} \gamma_{xy} \end{aligned} \quad (2.100)$$

Dacă se introduce matricea :

$$A_H(x, y) = \frac{E(x, y)}{1-\mu^2} \begin{bmatrix} 1 & \mu & 0 \\ \mu & 1 & 0 \\ 0 & 0 & 2(1-\mu) \end{bmatrix} \quad (2.101)$$

Tensiunile sînt date de expresia :

$$\begin{bmatrix} \sigma_{xe} \\ \sigma_{ye} \\ \tau_{xye} \end{bmatrix} = A_H(x, y) \cdot U_e \quad (2.102)$$

pentru considerarea efectelor termice, este utilă introducerea matricii :

$$A_T = \alpha(x, y) \begin{Bmatrix} 1 \\ 1 \\ 0 \end{Bmatrix} \quad (2.103)$$

2.3.3.3. Expresii matriceale referitoare la elementul finit dreptunghiular. Teoria elementului finit dreptunghiular aplicată structurilor cu diafragme din beton armat a fost tratată în lucrarea /51/. Determinarea matricilor caracteristice a elementului finit triunghiular expusă anterior.

Diferența constă în faptul că ipoteza de bază adoptată pentru elementul finit triunghiular "e" în considerarea deplasărilor punctului curent, funcție de coordonatele x și y :

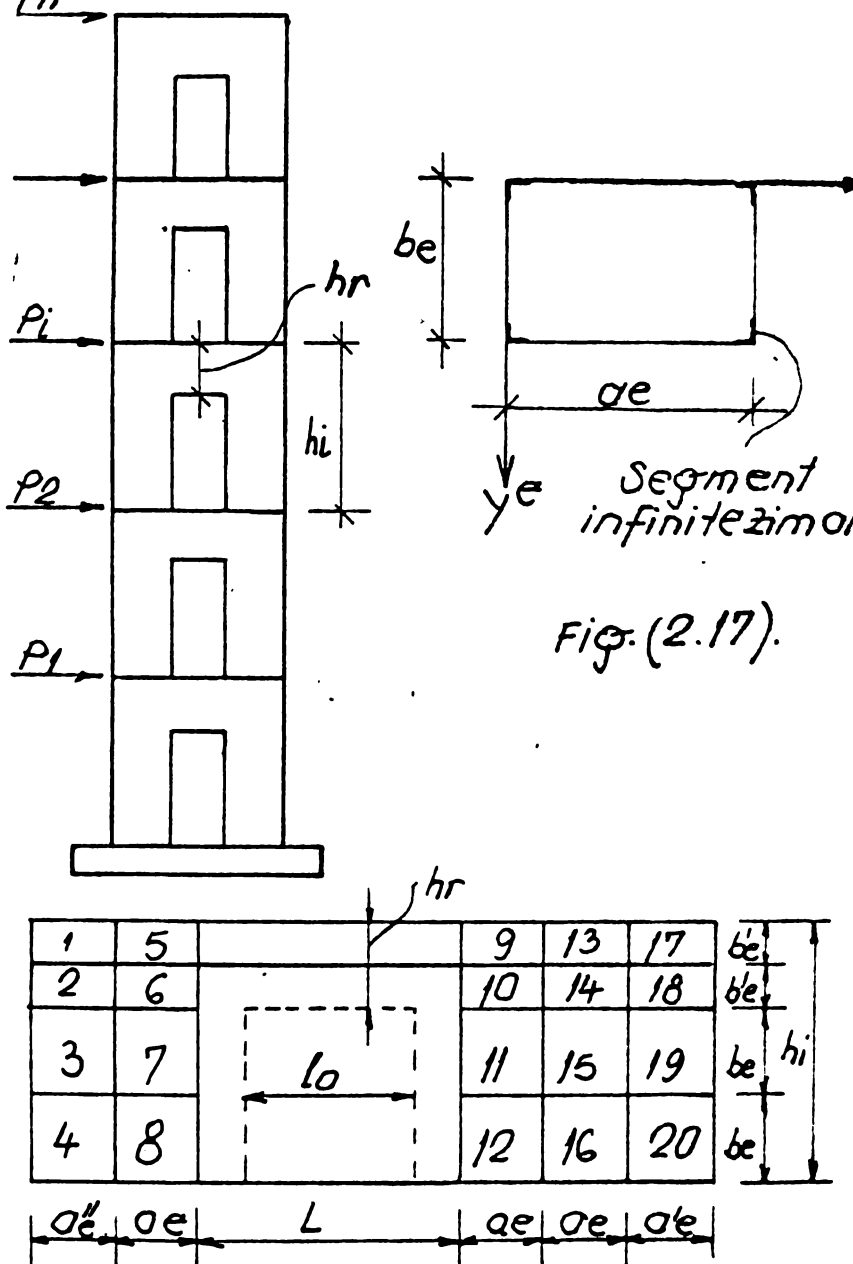
$$U_x = \alpha_1 + \alpha_2 x + \alpha_3 y + \alpha_4 xy + \alpha_5 y^2 + \alpha_6 x y^2$$

$$U_y = \alpha_7 + \alpha_8 x + \alpha_9 y + \alpha_{10} xy + \alpha_{11} x^2 + \alpha_{12} x^2 y \quad (2.104)$$

Acstea funcții au fost astfel alese, încât să fie respectate riguros condițiile de compatibilitate geometrică pe conturul elementelor adiacente. Cei 12 termeni care intervin în expresiile (2.104) arată că, în cazul ipotezei admise există 12 parametri independenți care determină starea de deformare a materialului într-un element e.

Cești parametri sunt cîte trei pentru fiecare vîrf al elementului (două deplasări și o rotire). Rotirea este aceea a unui segment infinitesimal solidar cu materialul orientat, alternativ în lungul axei ox sau oy (fig. 2.17).

Deformările specifice  $\epsilon_x$ ,  $\epsilon_y$ ,  $\gamma_{xy}$ , în interiorul elementului e, au următoarele expresii :



$$\epsilon_x = \alpha_2 + \alpha_4 y + \alpha_6 y^2 \quad (2.105)$$

$$\epsilon_y = \alpha_9 + \alpha_{10} x + \alpha_{12} x^2$$

$$\gamma_{xy} = \alpha_3 + \alpha_8 + (\alpha_4 + 2\alpha_{11})x + (\alpha_{10} + 2\alpha_5)y + 2(\alpha_6 + \alpha_{12})xy$$

Aplicarea legii lui Hooke permite determinarea stării de turi unitare  $\Gamma_x$ ,  $\Gamma_y$ ,  $\Gamma_{xy}$ , avînd expresii similare expresiilor (2.100).

#### 2.3.3.4. Expresii matriciale referitoare la bara de cadru.

Drept parametrii de bază ai comportării barelor se adoptă deplasările liniare și unghiulare ale secțiunii transversale în centrul de greutate al acesteia. Aceste deplasări sunt raportate la un sistem de referință a cărei primă axă coincide cu axa bazei, având originea la unul din capetele barei, celelalte axe sunt ortogonale și sunt paralele cu axele principale de inertie ale secțiunii transversale curente.

Se admite că, în cursul oricărui tip de deformare a structurii, o bară având aceeași deformată ca în cazul cînd ea s-ar deforma static, elastic, exclusiv sub acțiunea deplasărilor capetelor.

a) Cazul deformării axiale.

Ecuatia diferențială de echilibru are forma :

$$\frac{dN}{dx} = 0 \quad (2.106)$$

Deci, forța axială  $N(x)$  este constantă.

Legătura între deplasare și forță axială este :

$$\frac{dU(x)}{dx} = -\frac{N}{EA} \quad (2.107)$$

unde : A este aria secțiunii; E - modulul de elasticitate al materialului.

In cazul forței axiale constante, deplasarea este o funcție liniară de x, care poate fi exprimată matricial sub forma :

$$U(x) = A_U(x) \cdot U \quad (2.108)$$

unde : U reprezintă vectorul deplasărilor capetelor.

$$U = \begin{Bmatrix} U_1 \\ U_2 \end{Bmatrix} \quad (2.109)$$

iar  $A_U(x)$  reprezintă vectorul liniar :

$$A_U(x) = \left[ \frac{\ell-x}{\ell}, \frac{x}{\ell} \right] \quad (2.110)$$

Deformația specifică are expresia :

$$\varepsilon = A_E \cdot U \quad (2.111)$$

unde  $A_E$  are forma :

$$A_E(x) = \frac{dA_U(x)}{dx} = \left[ -\frac{1}{\ell}, \frac{1}{\ell} \right] \quad (2.112)$$

In consecință, forțele axiale au expresia :

$$N = E_A \cdot A_{\varepsilon(x)} \cdot U \quad (2.113)$$

Forțele aplicate capitelor barei, reprezentate de vectorul  $F_B$  :

$$F_B = \begin{Bmatrix} -N_1 \\ N_2 \end{Bmatrix} \quad (2.114)$$

au expresia :

$$F_B = A_K U = A_i^T \cdot N \quad (2.115)$$

unde :  $A_K$  este matricea de rigiditate a barei cu expresia :

$$A_K = A_i^T E A \cdot A_E = \begin{bmatrix} \frac{EA}{\ell} & -\frac{EA}{\ell} \\ -\frac{EA}{\ell} & \frac{EA}{\ell} \end{bmatrix} \quad (2.116)$$

Dar matricea auxiliară  $A_i$  are forma :

$$A_i = \ell A_E = \begin{bmatrix} -1, 1 \end{bmatrix} \quad (2.117)$$

In cazul existenței unei variații uniforme de temperatură, solicitările care apar sunt egale cu cele corespunzătoare unei deformații impuse echivalente :

$$\varepsilon = -\alpha t \quad (2.118)$$

unde  $\alpha$  este coeficientul dilatației termice.

b) Cazul deformării de lunecare - încovoiere în plan.

Ecuatiile diferențiale de echilibru au forma :

$$\frac{dQ}{dx} = 0 \quad (2.119a)$$

$$\frac{dM}{dx} - Q = 0 \quad (2.119b)$$

Legătura între deplasările  $\varphi(x)$  și  $v(x)$  și eforturile  $Q(x)$  și  $M(x)$  are forma :

$$\frac{dv}{dx} - \varphi = \gamma = \frac{K \cdot Q}{G \cdot A} \quad (2.120a)$$

$$\rho = \frac{d\varphi}{dx} = \frac{M}{EJ} \quad (2.120b)$$

unde  $\gamma$  reprezintă lunecarea echivalentă;  $\rho$  reprezintă curbura; iar  $K$  reprezintă coeficientul de formă.

Dacă se notează prin  $U$  vectorul :

$$U = \begin{Bmatrix} U_1 \\ \varphi_1 \\ U_2 \\ \varphi_2 \end{Bmatrix} \quad (2.121)$$

și cu  $V(x)$  vectorul care în cazul absenței forțelor concentrate și a variațiilor de temperatură au expresia :

$$V(x) = \begin{Bmatrix} V(x) \\ \varphi(x) \end{Bmatrix} \quad (2.122)$$

$$V(x) = A_{V(x)} \cdot U \quad (2.123)$$

unde matricea  $A_{V(x)}$  are expresia rezultată din integrarea relațiilor (2.119) și (2.120) :

$$\begin{aligned} A_{V(x)} &= \frac{1}{\frac{\ell^3}{12EI} + \frac{K\ell}{GA}} \left[ \frac{\ell^3 - 3\ell x^2 - 2x^3}{12EI} + \frac{K(\ell-x)}{GA}; \frac{\ell^3 x - 2\ell^2 x^2 + \ell^3 - 4\ell^2 x^3}{12EI} \right. \\ &+ \frac{K(\ell-x)}{GA}; - \frac{x(\ell-x)}{2EI} + \frac{Kx(\ell-x)}{2GA}; \frac{3\ell x^2 - 2x^3}{12EI} + \frac{Kx}{GA}; \frac{x(\ell-x)}{2EI} \\ &- \left. \frac{\ell x^2 (\ell-x)}{12EI} - \frac{Kx(\ell-x)}{2GA}; - \frac{\ell x(2\ell - 3x)}{12EI} + \frac{Kx}{GA} \right] \end{aligned} \quad (2.124)$$

Deformațiile de lunecare și încovoiere la mijlocul barei formează vectorul :

$$D = \begin{Bmatrix} V_2 - V_1 & -\left(\frac{-\varphi_1 + \varphi_2}{2}\right) \\ \varphi_2 - \varphi_1 \end{Bmatrix} \quad (2.125)$$

Care au, în acest caz, expresia :

$$D = A_E \cdot U \quad (2.126)$$

unde matricea  $A_E$  are forma :

$$A_E = \begin{bmatrix} 1 & -\frac{1}{2} & \frac{1}{2} & -\frac{1}{2} \\ 0 & -\frac{1}{2} & 0 & -\frac{1}{2} \end{bmatrix}$$

(2.127)

In consecință eforturile la mijlocul deschiderii, care formează vectorul R :

$$R = \begin{bmatrix} Q\left(\frac{\ell}{2}\right) \\ -M\left(\frac{\ell}{2}\right) \end{bmatrix} \quad (2.128)$$

cu expresia :

$$R = A_V \cdot D = A_V \cdot A_H \cdot U \quad (2.129)$$

unde matricea  $A_H$  are expresia :

$$A_H = \begin{bmatrix} 1 & 0 \\ \frac{\ell}{12EI} + \frac{K}{GA} & EI \end{bmatrix}. \quad (2.130)$$

Forțele aplicare capetelor barei, reprezentate de vectorul  $F_B$  :

$$F_B = \begin{Bmatrix} -Q(0) \\ M(0) \\ Q(\ell) \\ -M(\ell) \end{Bmatrix} \quad (2.131)$$

au expresia :

$$F_B = A_K \cdot U = A_i^T \cdot R \quad (2.132)$$

unde matricea de rigiditate  $A_K$  a barei are expresia :

$$A_K = A_i^T \cdot A_H \cdot A_R = \begin{bmatrix} \frac{1}{\frac{\ell^3}{12EI} + \frac{K\ell}{GA}} & \frac{1}{2\left(\frac{\ell^2}{12EI} + \frac{K}{GA}\right)} & \frac{1}{\frac{\ell^3}{12EI} + \frac{K\ell}{GA}} & \frac{1}{\frac{\ell^2}{12EI} + \frac{K}{GA}} \\ \frac{1}{2\left(\frac{\ell^2}{12EI} + \frac{K}{GA}\right)} & \frac{\frac{\ell}{3} + \frac{KEI}{GA}}{\frac{\ell^2}{12EI} + \frac{K}{GA}} & \frac{1}{2\left(\frac{\ell^2}{12EI} + \frac{K}{GA}\right)} & \frac{\ell}{6} - \frac{KEI}{GA} \\ \frac{2\left(\frac{\ell^2}{12EI} + \frac{K}{GA}\right)}{\frac{\ell^3}{12EI} + \frac{K\ell}{GA}} & \frac{\frac{\ell^2}{12EI} + \frac{K}{GA}}{2\left(\frac{\ell^2}{12EI} + \frac{K}{GA}\right)} & \frac{2\left(\frac{\ell^2}{12EI} + \frac{K}{GA}\right)}{\frac{\ell^3}{12EI} + \frac{K\ell}{GA}} & \frac{\frac{\ell^2}{12EI} + \frac{K}{GA}}{2\left(\frac{\ell^2}{12EI} + \frac{K}{GA}\right)} \\ -\frac{1}{\frac{\ell^3}{12EI} + \frac{K\ell}{GA}} & -\frac{1}{2\left(\frac{\ell^2}{12EI} + \frac{K}{GA}\right)} & -\frac{1}{\frac{\ell^3}{12EI} + \frac{K\ell}{GA}} & -\frac{1}{2\left(\frac{\ell^2}{12EI} + \frac{K}{GA}\right)} \\ \frac{1}{2\left(\frac{\ell^2}{12EI} + \frac{K}{GA}\right)} & \frac{\frac{\ell}{6} - \frac{KEI}{GA}}{\frac{\ell^2}{12EI} + \frac{K}{GA}} & -\frac{1}{2\left(\frac{\ell^2}{12EI} + \frac{K}{GA}\right)} & \frac{\frac{\ell}{3} + \frac{KEI}{GA}}{\frac{\ell^2}{12EI} + \frac{K}{GA}} \end{bmatrix} \quad (2.133)$$

iar matricea  $A_i$  are expresia :

$$A_i = \mathcal{L} A_E \quad (2.134)$$

In cazul acțiunii în punctul de abscisă, a unei forțe concentrante  $F_0$  și a unui cuplu exterior,  $N_0$ , care formează vectorul :

$$F_C = \begin{Bmatrix} F_0 \\ N_0 \end{Bmatrix} \quad (2.135)$$

Eforturile  $Q(x)$  și  $M(x)$ , care formează vectorul :

$$\rho(x) = \begin{Bmatrix} Q(x) \\ M(x) \end{Bmatrix} \quad (2.136)$$

cum expresiile :

$$\rho(x) = A_C(x, \alpha) F_C \quad (2.137)$$

iar forțele aplicate reazemelor care formează vectorul  $F_R$  :

$$F_R = \begin{Bmatrix} Q(0) \\ -M(0) \\ -Q(l) \\ M(l) \end{Bmatrix} \quad (2.138)$$

au expresia :

$$F_R = A_R(\alpha) \cdot F_C \quad (2.139)$$

unde matricea  $A_R(\alpha)$  are forma :

$$R(\alpha) = \frac{1}{\frac{l^3}{12EI} + \frac{Kl}{GA}} \begin{bmatrix} \frac{l^3 - 3l^2\alpha^2 + 2\alpha^3}{12EI} + \frac{K(l-\alpha)}{GA} & \frac{3l^2 - 2\alpha^2}{12EI} & \frac{K\alpha}{GA} & -\frac{\alpha(l-\alpha)}{2EI} & \frac{\alpha(l-\alpha)}{2EI} \\ \frac{\alpha^3 - 2l^2\alpha^2 + l\alpha^3}{12EI} & \frac{K\alpha(l-\alpha)}{2GA} & \frac{l\alpha^2 - l^2\alpha^2}{12EI} & -\frac{K\alpha(l-\alpha)}{2GA} & \frac{l^3 - 4l^2\alpha^2 + 3l\alpha^3 + K(l-\alpha)}{12EI} & \frac{3l\alpha^2 - l^3}{12EI} & \frac{K(l-\alpha)}{GA} \end{bmatrix} \quad (2.140)$$

iar matricea  $A_C(x, \alpha)$  are forma : pentru  $x < 0$

$$C(x, \alpha) = \frac{1}{\frac{l^3}{12EI} + \frac{Kl}{GA}} \begin{bmatrix} \frac{l^3 - 3l^2\alpha^2 + 2\alpha^3}{12EI} + \frac{K(l-\alpha)}{GA} & -\frac{\alpha(l-\alpha)}{2EI} \\ -\frac{l^3 - 2l^2\alpha^2 + l\alpha^3}{12EI} - \frac{K\alpha(l-\alpha)}{2GA} & \frac{l^3 - 2l^2\alpha^2 + 3l\alpha^3 + K(l-\alpha)}{12EI} & \frac{K(l-\alpha)}{GA} & \frac{3l\alpha^2 - l^3}{12EI} \end{bmatrix}$$

iar pentru  $x > a$ , forma:

$$I_c(x,0) = \frac{1}{\frac{l^3}{12EI} \frac{Kc}{GA}} \begin{cases} \frac{3l\alpha^2 - 2l_0^2\alpha^2}{12EI} - \frac{Ka}{GA} \\ \frac{l_0^3 - l^2\alpha^2}{12EI} - \frac{Ka(1-\alpha)}{2GA} + \left[ \frac{3l\alpha^2 - 2l_0^3}{12EI} + \frac{Ka}{GA} \right] (l-x) \end{cases} - \frac{\alpha(l-a)}{2EI}$$

(2.140b)

In cazul existentei unei variații a diferenței de temperatură  $\Delta T$ , care are o dependență liniară de abscisa în lungul barei, cu valoarea medie  $\Delta T_m$  și creșterea de la origine la extremitatea  $t$ , solicitările care apar sunt legate cu cele corespunzătoare unei deformații impuse echivalente :

$$D = K \begin{bmatrix} \frac{l \delta \Delta T}{12h} \\ \frac{\Delta T_m}{h} \end{bmatrix} \quad (2.141)$$

(Variația diferenței de temperatură,  $\Delta T$ , este pozitivă atunci cînd creșterea de temperatură este mai mare la fața inferioară decît la fața superioară;  $h$  reprezintă înălțimea secțiunii).

In acest caz eforturile  $S(x)$  au forma :

$$S(x) = A_T(x) \cdot A_H \cdot D \quad (2.142)$$

unde matricea  $A_T(x)$  are expresia :

$$A_T(x) = \begin{bmatrix} 1, & 0 \\ x, & -\frac{l}{2}-1 \end{bmatrix} \quad (2.143)$$

Intrucît calculul cu metoda elementelor finite nu poate fi practic abordabil decît cu utilizarea calculatoarelor electronice, la INCERC București s-a elaborat un sistem de programe /81, /51, /46/ pentru calculul structurilor cu diafragme sau în cadre diafragme.

Cu aceste programe se poate realiza automat calculul complet (perioadele și formele proprii de vibrație, încărcările seismice și starea de eforturi în pereti verticali portanți) ale structurilor cu diafragme sau cu cadre - diafragme, pentru următoarele tipuri de încărcări : forțe concentrate aplicate în noduri, forțe distribuite, deplasări de rezonanță, variații de temperatură.

#### 2.3.4. Precizări.

Metoda elementelor finite aplicată calculului structurilor multietajate cu diafragme sau cu cadre diafragme reprezintă cîteva avantaje deosebite, cum ar fi :

a) Posibilitatea de a alege, în vederea discretizării, elemente finite cu forme geometrice cît mai simple, cărora le corespund cele mai rationale moduri fundamentale pentru descrierea comportării locale a structurii. Deci, inginerul are posibilitatea de a concepe o rețea de elemente finite adaptabilă structurilor cu cele mai complexe configurații geometrice. De exemplu, o discretizare în elemente finite dreptunghiulare a structurii cu diafragme permite obținerea unui grad relativ de precizie /5/.

b) Posibilitatea de a adopta descrierea matematică a caracteristicilor fizice ale structurii, printre care se numără schimbarea de orientare a liniilor de forță, golurile locale, repartițiile de sarcini exterioare complicate.

c) Capacitatea metodei de a ține seama de neliniaritățile elastice și de neomogenitățile structurii (structuri din beton armat lucrînd în stadii diferite de solicitare) astfel încât proprietățile elastice pot fi diferite de la un element finit la altul.

d) Acceptarea celor mai variate condiții de contur și a celor mai complicate încărcări, probleme ce nu au putut fi pînă în prezent rezolvate prin formulări analitice exacte.

e) Capacitatea metodei de a se adapta calculului automat datorită caracterului ei numeric.

Dezavantajul pe care îl prezintă această metodă constă în necesitatea definirii condițiilor care urmează să asigure legăturile corecte dintre elementele finite.

De exemplu în modelul deplasării pure, în general condițiile de compatibilitate sunt respectate, în schimb, nu sunt respectate condițiile de echilibru. Totuși, aceste legături sunt concepute astfel încît permite o convergență numerică bună spre soluția exactă.

### 3. CALCULUL ELASTICO-PLASTIC AL DIAFRAGMELOR

#### 3.1. Introducere.

Comportarea structurilor înalte cu diafragme, a constituit tema unor numeroase cercetări realizate în ultimul deceniu. Majoritatea lor au fost concentrate asupra comportării elastice a diafragmelor sub acțiunea încărcărilor laterale.

Proiectarea modernă a structurilor cu diafragme tinde să defalce concepția de ansamblu în procese succesive de proiectare pentru a reflecta cît mai aproape de realitate comportarea structurilor și cunoașterea mai exactă a răspunsului acestora sub diferite acțiuni exterioare.

La construcțiile multietajate trei acțiuni exterioare rămân prioritare : acțiunea gravitațională de natură statică și acțiunile vîntului și seismică de natură dinamică.

In fiecare caz, cîmpul eolian, respectiv seismic se va suprapune peste cîmpul gravitațional și va duce la un efect rezultant format dintr-o parte fixă și una variabilă de scurtă durată.

Caracterizarea celor două acțiuni dinamice este relativ complicată deoarece în ambele acțiuni sunt puse în interacțiune trei corpuri de proprietăți diferite. Astfel, în cazul acțiunii seismice participă structura, fundația și terenul. În cazul acțiunii vîntului participă structura propriu-zisă, relieful terenului și aerul în mișcare. Pentru scopuri practice de proiectare, este posibilă și suficient de exactă evidențierea principaliilor parametrii, care intervin în caracterizarea unei acțiuni complexe (A), pe un model dinamic, valoarea acțiunii "A" putind fi exprimată totdeauna printr-un produs de funcție  $A = f_1 \cdot f_2 \cdot f_3 \cdot \dots$ . Fiecare funcție introduce un parametru sintetic, care influențează valoarea acțiunii.

Printr-o analiză aprofundată a problemei se arată că oricît de complexă ar fi acțiunea exterioară ea poate fi caracterizată calitativ și cantitativ funcție de trei clase de parametrii, care în final pot fi separați :

$f_1$  = clasa de parametrii naturali, implicabili, asupra cărora se poate acționa (energia seismică, viteza vîntului);

$f_2$  = clasa de parametrii de concepție, asupra cărora se poate acționa direct pentru a micsora valoarea acțiunii exterioare

(rigiditatea sau flexibilitatea de ansamblu a structurii de rezistență, ductilitatea materialelor și a structurii în cazul unor acțiuni dinamice puternice);

$P_3$  = parametrii cvasinaturali, asupra căror se poate acționa parțial.

Prin examinarea comportării reale a structurilor cu diafragme la acțiunea unor cutremure naturale care au avut loc în mai multe zone pe glob, s-a constatat faptul că structura supusă la o mișcare seismică, manifestă o comportare elasto-plastică. Deci o concepție perfect elastică a proiectării structurilor cu diafragme din beton armat nu reflectă comportarea reală a structurilor neîndeplinindu-se condițiile economice și de siguranță.

Având în vedere capacitatea structurilor de absorbție a energiei, prin deformații elasto-plastice, prin amortizare, prin reducerea progresivă a rigidității lor datorită procesului de fizurare, mărindu-și perioada proprie de vibrație, s-a creat posibilitatea unei proiectări antiseismice mai adecvate a structurilor cu diafragme.

Este important de subliniat că încărcările laterale exteroare calculate convențional conform normelor adoptate, sunt mult mai reduse decât încărcările rezultate din calcul teoretic elasic /27/, /40/. Energia absorbită prin deformații postelastice reprezintă o mare parte din energia absorbită de structură, și în consecință o proiectare eficientă antiseismică trebuie să prevadă structurii o ductilitate suficientă /26/.

Pentru evaluarea răspunsului structurilor cu diafragme la acțiunea unei mișcări seismice puternice, este necesară examinarea comportării lor elasto-plastice pînă la atingerea capacitatii portante.

In acest capitol se urmărește evaluarea deformațiilor elasto-plastice ale unei diafragme din beton armat cu un singur șir de goluri, evaluarea eforturilor sectionale la diferite stadii de încărcare pînă la atingerea unui mecanism de colaps, evaluarea capacitatii portante a diafragmei, precum și evaluarea ductilității necesare componentelor structurii pînă la atingerea acestui stadiu ultim. Pentru acest scop se folosește un procedeu de calcul bazat pe concepția structurii continue echivalente.

### 3.2. Ipoteze de calcul.

a) Caracteristicile geometrice și de compozitie ale dia-

fragmelor sunt constante pe toată înălțimea lor.

b) Materialele folosite prezintă curbe caracteristice ideale.

- c) Înălțimile etajelor sunt egale.
- d) Golurile sunt suprapuse și egale la toate nivelele.
- e) Deformațiile axiale în buiandruși sunt neglijate.
- f) Încărcările exterioare pot fi exprimate printr-o funcție continuă (fig.3.2).

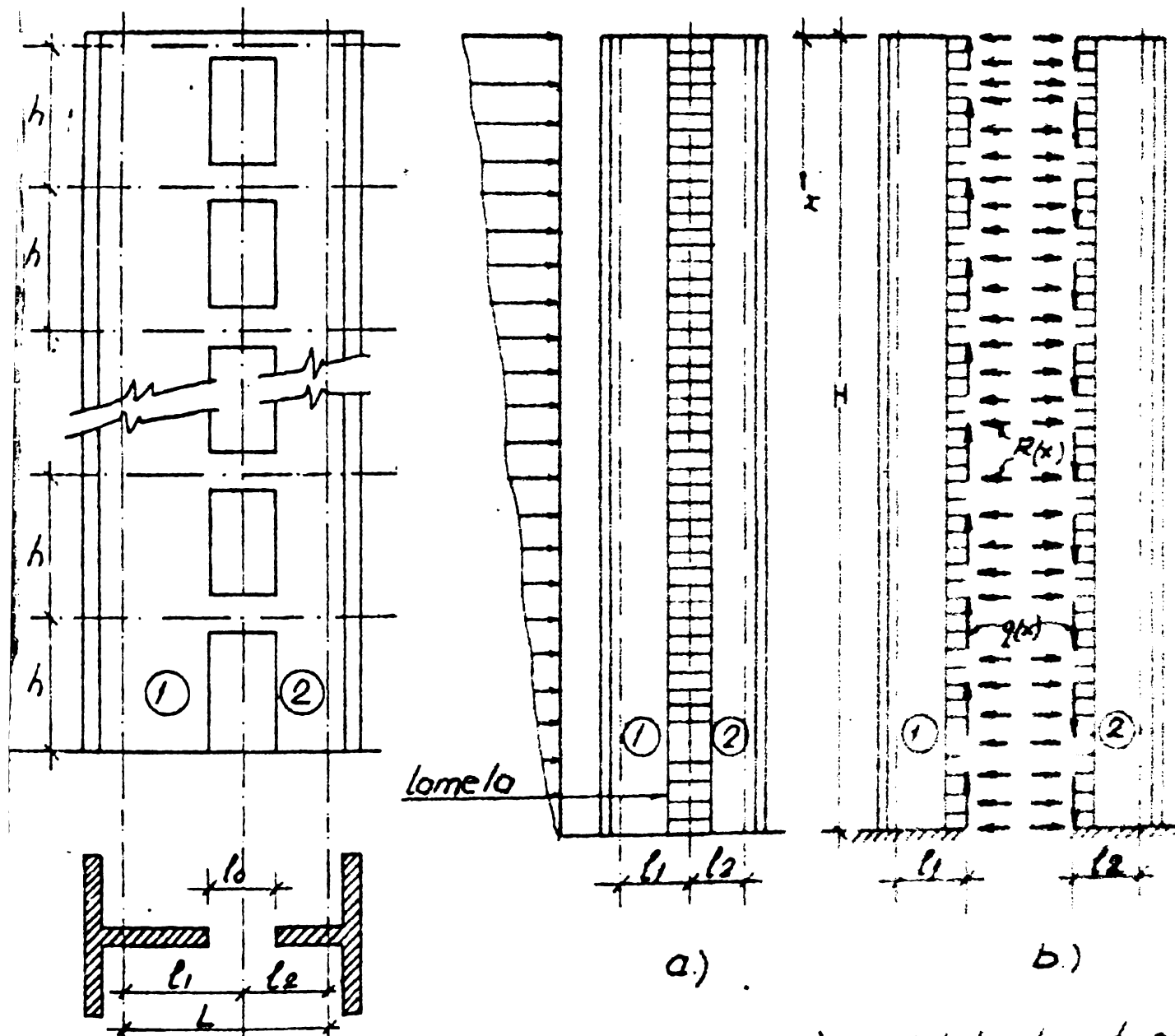


Fig.(3.1). Caracteristicile geometrice ale diafragmei.

Fig.(3.2) Modelul structural

### 3.3. Modelul structural.

Structura arătată în fig. (3.1) este înlocuită cu un model structural echivalent. Astfel, în locul structurii reale cu legături orizontale (buiandruși) la intervale finite  $h$ , se consideră în calcul o structură echivalentă cu legături continue (la-

mele) pe zona golurilor (fig.3.2a). Fiecare lameletă posede următoarele caracteristici :

$$\text{Aria lamelei} = \frac{A_r}{h} dx$$

$$\text{Momentul de inertie} = \frac{I_r}{h} dx$$

unde  $A_r$ ,  $I_r$ , reprezintă aria și momentul de inertie al buiandru-gului.

Pentru calcul, sistemul înlocuitor se împarte în două console verticale încastrate la baza lor. Fiecare consolă este încărcată cu o parte din încărările exterioare orizontale, cu forțe tăietoare verticale static nedeterminate  $q(x)$ , precum și cu forțe orizontale  $R(x)$  de asemenea static nedeterminate (fig.3.2b). Determinarea acestor solicitări interioare se face folosind condiția de compatibilitate a deformațiilor în mijlocul deschiderii lamelei la fiecare nivel.

### 3.4. Calculul diafragmei.

#### 3.4.1. Încărările și deformațiile montanților.

3.4.1.1. Încărările exterioare aplicate unei diaframe pot fi distribuite celor două console punîndu-se condiția de egalitate a săgeților lor la fiecare nivel.

$S$  = Încărcarea exterioară totală.

$T_o(x)$  = forță tăietoare totală la nivelul  $x$ .

$M_o(x)$  = momentul exterior total la nivelul  $x$ .

$I_{m1}$ ,  $I_{m2}$  = momentele de inertie ale montanților 1, 2

$$I_o = I_{m1} + I_{m2}$$

Deci încărările exterioare se distribuie la cei doi montanți cu ajutorul următoarelor relații :

$$S_1 = \frac{I_{m1}}{I_o} S$$

și

$$S_2 = \frac{I_{m2}}{I_o} S$$

$$T_{1,O} = \frac{I_{m1}}{I_o} T_o$$

și

$$T_{2,O} = \frac{I_{m2}}{I_o} T_o$$

$$M_{1,O} = \frac{I_{m1}}{I_o} M_o$$

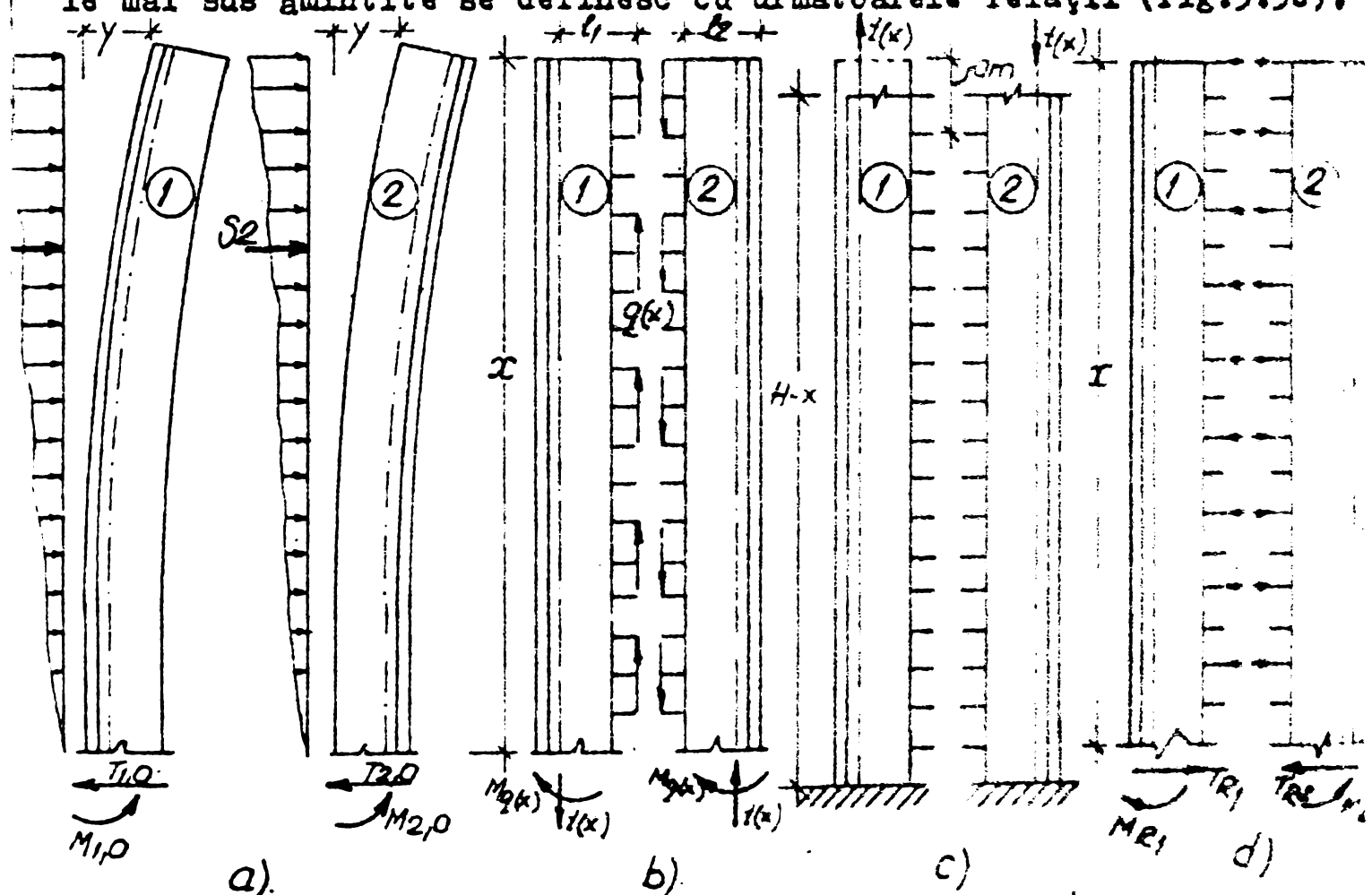
și

$$M_{2,O} = \frac{I_{m2}}{I_o} M_o \quad (31)$$

unde  $S_1$ ,  $S_2$  sunt încărcările exteroare aferente montantului (1) și respectiv montantului (2).  $T_{1,0}$ ,  $T_{2,0}$  sunt forța tăietoare aferentă montantului (1) la baza sa și respectiv montantului (2).  $M_{1,0}$ ,  $M_{2,0}$  sunt momentul încovoiator aferent montantului (1) la baza sa și respectiv montantului (2).

### 3.4.1.2. Solicitările generate în montanți.

Acstea sunt forța axială  $t(x)$ , momentul încovoiator ( $M_q$ ) și se dătoresc forței tăietoare specifice  $q(x)$ . Solicitările mai sus amintite se definesc cu următoarele relații (fig.3.3b):



3.(3.3). Solicitările generate în montanți de încărcări exterioare.

(3.2)

$$t_1(x) = t_2(x) = t(x) = \int_0^x q(x) dx$$

$$M_{Q_1} = l_1 t(x) \quad \text{și} \quad M_{Q_2} = l_2 t(x) \quad (3.3)$$

unde  $l_1, l_2$  sunt distanța dintre axa ce trece prin mijlocul deschiderii buiandrugilor și centrul de greutate al montantului (1) respectiv acea ce trece prin mijlocul deschiderii buiandrugilor și centrul de greutate al montantului (2).

Datorită forțelor axiale în montanți, deplasarea relativă dintre ei este :

$$dm = \frac{1}{E_b} \left( \frac{1}{A_1} + \frac{1}{A_2} \right) \int_x^H t(x) dx \quad (3.4)$$

unde  $E_b$  este modulul de elasticitate al montantului;

$A_1, A_2$  sunt aria montantului (1) respectiv a montantului (2).

In mod general, deplasările datorate momentelor încovoiatoare create de forța axială  $t(x)$ , la mijlocul deschiderii lamelelor sunt inegale cu excepția cazului în care :

$$\text{cind } \ell_1 I_{m_2} = \ell_2 I_{m_1} \quad \frac{d^2y_1}{dx^2} = \frac{\ell_1 t(x)}{E_b I_{m_1}} = \frac{\ell_2 t(x)}{E_b I_{m_2}} = \frac{d^2y_2}{dx^2}$$

Deci pentru îndeplinirea condiției egalității deplasărilor la mijlocul deschiderii lamelelor se introduc momente de corecție generate de forțe orizontale  $R(x)$  din lamele și care sunt necunoscute.

### 3.4.1.3. Forțele axiale generate în lamele.

Din (fig. 3.3d) se poate scrie :

$$T_{R_1} = T_{R_2} \quad \text{și} \quad M_{R_1} = M_{R_2} = M_R$$

### 3.4.2. Condițiiile de echilibru și compatibilitate ale celor doi montanți.

Ecuațiile de echilibru la baza diafragmei (fig. 3.3) se scriu :

$$M_1 = M_{1,0} - M_{2,1} - M_{R,1} = M_{1,0} - \ell_1 t(x) - M_R \quad (3.5a)$$

$$M_2 = M_{2,0} - \ell_2 t(x) + M_R \quad (3.5b)$$

$$T_1 = T_{0,1} - T_R \quad \text{și} \quad T_2 = T_{0,2} + T_R. \quad (3.4c)$$

Condiția de compatibilitate este :

$$\frac{M_1}{E_b I_{m_1}} = \frac{M_2}{E_b I_{m_2}} \quad (3.6)$$

Introducind (3.5a) și (3.5b) în (3.6) se obține :

$$(I_{m_1} + I_{m_2})M_R = (I_{m_2}M_{1,0} - I_{m_1}M_{2,0})t(I_{m_1}\ell_2 - I_{m_2}\ell_1).$$

Din relația (3.1)  $I_{m_2}M_{1,0} - I_{m_1}M_{2,0} = 0$

Notând :

$$C = \frac{I_{m_1}\ell_2 - I_{m_2}\ell_1}{I_0} \quad (3.7)$$

momentele de corecție pot fi determinate cu relația :

$$M_R = C \cdot t(x). \quad (3.8)$$

Inlocuind cu relația (3.8) în ecuațiile (3.5a și 3.5b) se obține :

$$M_1 = \frac{I_{m_1}}{I_0} [M_0 - L t(x)] \quad (3.9a)$$

$$M_2 = \frac{I_{m_2}}{I_0} [M_0 - L t(x)]. \quad (3.9b)$$

$$\text{unde } L = \ell_1 + \ell_2 \quad (3.9c)$$

### 3.4.3. Solicitările interioare și deplasările lamelelor.

Se pune condiția egalității deplasărilor la mijlocul deschiderii lamelelor, pentru determinarea solicitărilor interioare în diafragmă.

#### 3.4.3.1. Deplasarea produsă din încovoierea montantului.

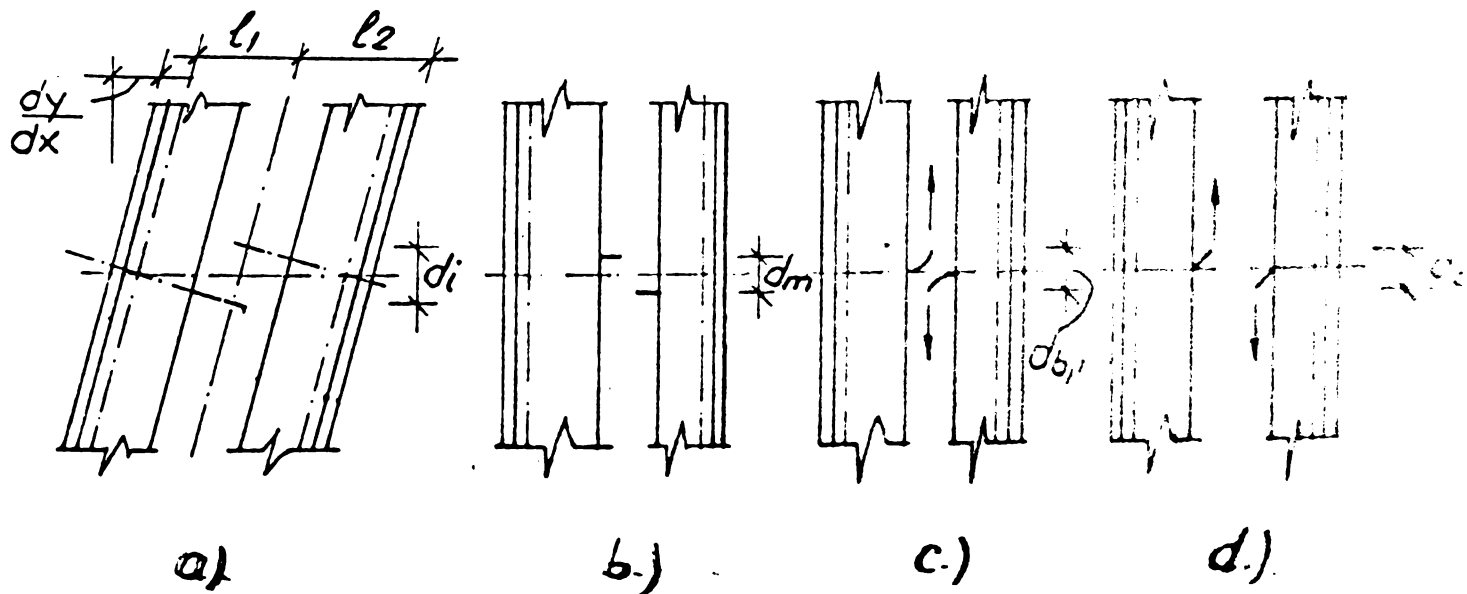


Fig. (3.4). Deplasările lamelelor la mijlocul deschiderilor

$$d_i = \ell_1 \frac{dy}{dx} + \ell_2 \frac{dy}{dx} = L \frac{dy}{dx}$$

$$\text{dor: } \frac{dy}{dx} = \int_x^H \frac{M_1}{E_b I_{m_1}} dx = \frac{1}{E_b I_{m_1}} \int_x^H \frac{I_{m_1}}{I_0} [M_0 - L t(x)] dx$$

$$\text{și } d_i = \frac{L}{E_b I_0} \int_x^H M_0 dx - \frac{L^2}{E_b I_0} \int_x^H t(x) dx$$

(3.10)

3.4.3.2. Deplasarea produsă de încovoierea lamelei echivalente, ținând seama și de deplasarea din lunecare este :

$$d_b = \frac{h \cdot \ell_0^3}{12 E_b I_r} \left[ 1 + \frac{12 E_b I_r K}{G A_r \ell_0^2} \right] q(x). \quad (3.11)$$

în care :  $K$  = coeficient de formă;

$G$  = modul de elasticitate transversal.

Considerind :

$$I_{re} = \frac{I_r}{1 + \frac{12 E_b I_r K}{G A_r \ell_0^2}} \quad (3.12)$$

relația (3.11) devine :

$$d_b = \frac{h \cdot \ell_0^3}{12 E_b \cdot I_{re}} q(x). \quad (3.13)$$

#### 3.4.4. Ecuția diferențială a solicitărilor interioare.

$$d_i - d_b - d_m = 0 \quad (3.14)$$

Substituind ecuațiile (3.10), (3.13) și (3.4) în ecuația (3.14) :

$$\frac{L}{E_b I_0} \int_x^H M_0 dx - \frac{L^2}{E_b I_0} \int_x^H t(x) dx - \frac{1}{E_b} \left( \frac{1}{A_1} + \frac{1}{A_2} \right) \int_x^H q(x) dx - \frac{h \ell_0^3}{12 E_b I_{re}} = 0$$

Derivând această ecuație în raport cu  $x$  :

$$-\frac{L}{E_b I_0} M_0 + \frac{1}{E_b} \left( \frac{1}{A_1} + \frac{1}{A_2} + \frac{L^2}{I_0} \right) q(x) - \frac{h \ell_0^3}{12 E_b I_{re}} \frac{dq(x)}{dx} = 0$$

Forța axială rezultă din acumularea forței tăietoare specifică așa cum a fost arătat în ecuația (3.2) :

$$\frac{dq(x)}{dx} = \frac{d^2t(x)}{dx^2} \quad (3.15)$$

înd:  $\delta^2 = \left( \frac{1}{A_1} + \frac{1}{A_2} + \frac{L^2}{I_0} \right) \left( \frac{12 I_{re}}{h l_0^3} \right)$  (3.16)  
și

$$\gamma^2 = \frac{12 L I_{re}}{I_0 h l_0^3} \quad (3.17)$$

ecuația diferențială finală devine :

$$\frac{d^2t(x)}{dx^2} - \delta^2 t(x) = -\gamma M_0 \quad (3.18)$$

Soluția acestei ecuații are următoarea formă :

$$t(x) = A \sinh \delta x + B \cosh \delta x + C \quad (3.19)$$

A și B se determină cu ajutorul condițiilor de margine. C este o soluție particulară.

#### 3.4.5. Condiții de margine.

a)  $t(x) = 0$  pentru  $x = 0$

b)  $q(x) = 0$  pentru  $x = H$ .

Rezultă :

$$A = \frac{1}{\beta^2} \left[ \left( \frac{2}{\beta^2} - 1 \right) \frac{1}{\sinh \beta} + \frac{2}{\beta} \frac{\sinh \beta}{\cosh \beta} \right] \quad (3.20)$$

$$B = -\frac{2}{\beta^2} \quad (3.21)$$

$$C = -\frac{1}{\beta^2} \left[ \frac{\xi^3}{3} - \xi + \frac{2}{\beta^2} (\xi - 1) \right] \quad (3.22)$$

în care :  $\beta = H \cdot \delta$  (3.23)

#### 3.4.6. Încărcările exterioare.

Considerind încărcările exterioare produse din seism cu o distribuție triunghiulară funcția momentului este :

$$M_0 = S \cdot H \left( \xi - \frac{\xi^3}{3} \right) \quad (3.24)$$

### 3.4.7. Solicitări intericare și săgeți.

Forța axială se calculează cu relația :

$$t(\xi) = \frac{YH^3S}{\beta^2} \left[ \frac{2}{\beta^2} th\beta sh\beta \xi + \frac{sh\beta}{ch\beta} \xi \left( \frac{2}{\beta^3} - \frac{1}{\beta} \right) - \frac{2}{\beta^2} ch\beta \xi - \frac{\xi^3}{3} + \xi + \frac{2}{\beta^2} (1 - \xi) \right] \quad (3.25)$$

Forța tăietoare specifică în lamele este :

$$(x) = \frac{YH^2S}{\beta} \left[ \frac{2}{\beta^2} th\beta ch\beta \xi + \frac{ch\beta}{ch\beta} \xi \left( \frac{2}{\beta^3} - \frac{1}{\beta} \right) - \frac{2}{\beta^2} sh\beta \xi + \frac{1}{\beta} (2\xi - \xi^2) - \frac{2}{\beta^2} \right] \quad (3.26)$$

Forțele de corecție generate în lamele sunt :

$$R(x) = YHCS \left[ \frac{2}{\beta^2} th\beta sh\beta \xi + \frac{sh\beta}{ch\beta} \xi \left( \frac{2}{\beta^3} - \frac{1}{\beta} \right) - \frac{2}{\beta^2} ch\beta \xi + \frac{2}{\beta^2} (1 - \xi) \right] \quad (3.27)$$

Săgeata laterală a diafragmei este calculată folosind relația :

$$E_b I_o \frac{d^2 y}{dx^2} = M_0 - L t(x)$$

$$y(\xi) = \frac{SH^3}{E_b I_o} \left\{ \frac{1}{60} \left( \frac{YL}{\delta^2} - 1 \right) \left[ \xi^5 - 5\xi^4 + 15\xi^3 - 11 \right] - \frac{YL}{\delta^2 \beta^2 ch\beta} \left[ (sh\beta \xi - sh\beta) \right. \right. \\ \left. \left. (2sh\beta + \frac{2}{\beta} - \beta) - 2ch\beta (ch\beta \xi - ch\beta) - \frac{\beta^2 ch\beta}{3} (\xi^3 - 3\xi^2 + \frac{6}{\beta} (\xi - 1) + 2) \right] \right\} \quad (3.28)$$

Săgeata în vîrful structurii este :

$$y_0 = \frac{SH^3}{E_b I_o} \left\{ \left( 1 - \frac{YL}{\delta^2} \right) \left( \frac{11}{60} \right) - \frac{YL}{\delta^2 \beta^4} \left[ 2ch\beta - th\beta (2sh\beta + \frac{2}{\beta} - \beta) - \frac{2}{3} \beta^2 \right] \right\} \quad (3.29)$$

### 3.5. Calculul diafragmei folosind metoda diferențelor finite.

#### 3.5.1. Introducere

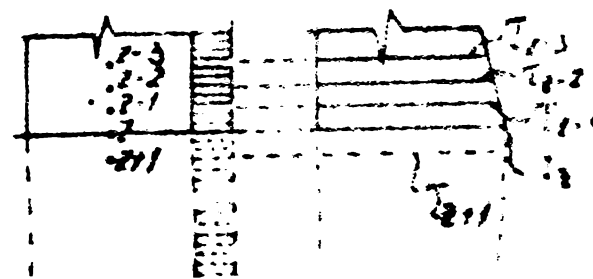
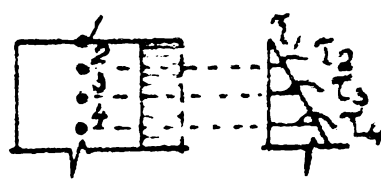
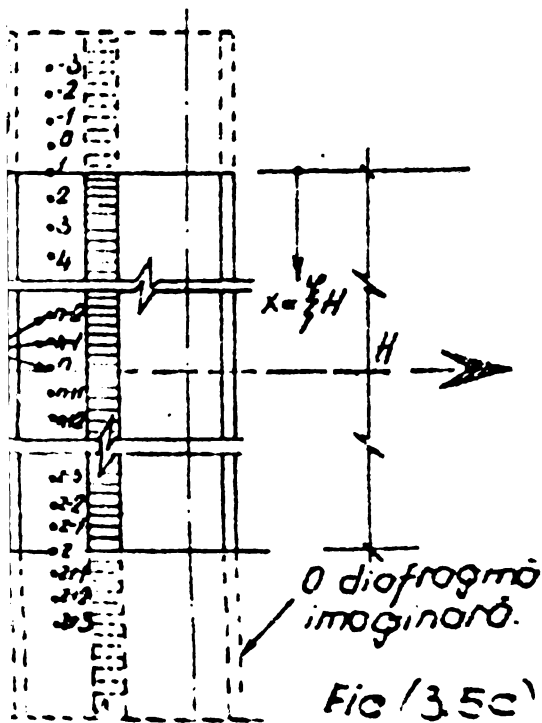
Metoda structurii continue echivalente în forma prezentată, are o aplicare limitată și anume numai la structurile cu diafragme cu caracteristici elastice și geometrice uniforme pe toată lățimea lor. În realitate structurile cu diafragme sunt fisurate, datorită mai multor cauze chiar la un stadiu de încărcare redus, astfel încât proprietățile diferitelor secțiuni ale diafragmei nu mai sunt uniforme și ca urmare aplicarea acestei

metode devine necorespunzătoare. Cu toate că această metodă s-a dezvoltat luând în considerare mai multe variații ale unor caracteristici pe înălțimea structurii, a fost necesară găsirea unei metode generale care să țină seama de toate variațiile caracteristicilor, reflectîndu-se astfel cît mai corect comportarea reală a structurii sub acțiunea încărcărilor exterioare la diferite stadii de încărcare..

Una dintre metodele aplicate calculului diafragmei este metoda diferențelor finite. Ecuăția diferențială a acestei metode se obține din condiția de compatibilitate a deplasărilor lamelelor, în mijlocul deschiderii lor, la fiecare nivel. Această ecuație este :

$$\frac{L}{E_b I_0} \int_x^H M_0 dx - \frac{L^2}{E_b I_0} \int_x^H t(x) dx \cdot \frac{1}{E_b} \left( \frac{1}{A_1} + \frac{1}{A_2} \right) \int_x^H q(x) dx \cdot \frac{h^3 a_2^3}{12 E_b I_0} = 0 \quad (3.30)$$

Această ecuație ține seama de variabilitatea proprietăților montanților și lamelelor. Deci, această acțiune se poate transforma într-o ecuație de recurență, incluzind ca necunoscute forțele axiale  $t_{(n)}$  concentrate în nodurile structurii (fig.3.5).



#### 3.3.2. Ecuații de rezonanță.

Ecuăția (3.30) poate fi modificată prin introducerea proprietăților variabile ale materialelor.

$$\int_x^H \frac{Lx M_0 dx}{Emx I_{ox}} - \int_x^H \frac{L^2 t(x) dx}{Emx I_{ox}} - \int_x^H \frac{1}{Emx} \left( \frac{1}{A_{1x}} + \frac{1}{A_{2x}} \right) t(x) dx - \frac{h_x l_{ox}^3}{12 E_{bx} I_{rex}} q(x) = 0$$

(3.31)

$E_{mx}$  = modulul de elasticitate al montantului la nivelul  $x_0$

$E_{bx}$  = modulul de elasticitate al buiandrugului la nivelul  $x$ ;

$A_{1,x}$ ;  $A_{2,x}$ ;  $I_{ex}$ ;  $I_{rex}$  = sunt proprietățile geometrice ale montanților și buiandrugilor la nivelul ( $x$ ).

Derivând ecuația (3.31) în raport cu  $x$  se obține :

$$- \frac{M_0 l_{ox}}{Emx I_{ox}} + \frac{1}{Emx} \left( \frac{1}{A_{1x}} + \frac{1}{A_{2x}} + \frac{L_x^2}{I_{ox}} \right) t(x) - K \frac{dt(x)}{dx} - q(x) \frac{dx}{dx} = 0$$

(3.32)

unde :

$$K = \frac{h_x l_{ox}^3}{12 E_{bx} I_{rex}}$$

(3.33)

Prin rearanjarea ecuației (3.32) se obține :

$$\frac{d^2 t(x)}{dx^2} + \left( \frac{dx}{K} \right) \left( \frac{dt(x)}{dx} \right) - \delta^2 t(x) = - \gamma M_0$$

(3.34)

$$\text{unde : } \delta^2 = \left( \frac{1}{A_{1x}} + \frac{1}{A_{2x}} + \frac{L_x^2}{I_{ox}} \right) \left( \frac{12 I_{rex}}{h_x l_{ox}^3} \right)$$

(3.34a)

și :

$$\gamma = \frac{12 L_x I_{rex}}{l_{ox} h_x l_{ox}^3}$$

(3.34b)

Relația (3.34) este o ecuație diferențială având ca variabile  $K$ ,  $\delta$ ,  $\gamma$ ,  $M_0$  și  $t$ , care sunt funcții de  $x$ .

La punctele nodale, (fig.3.5a)  $K$ ,  $\delta$ ,  $\gamma$ ,  $M_0$  sunt cunoscute. Singura necunoscută fiind  $t$ .

Ecuația (3.34) poate fi transformată într-o ecuație de recurență inclusindu-se forțele axiale  $t$  ca necunoscute la punctele nodale discrete, astfel :

$$t_{n+1} \left[ \mu \left( \frac{K_{n+1} - K_n - L_x^2}{h_x l_{ox}^3} \right) \right] + t_n \left[ \mu - L_x^2 \delta^2 \right] + t_{n-1} \left[ \mu \left( \frac{K_{n-1} - K_n}{h_x l_{ox}^3} \right) \right] = - L_x^2 \delta^2 M_0$$

(3.35)

$h_0$  = distanța dintre punctele nodale.

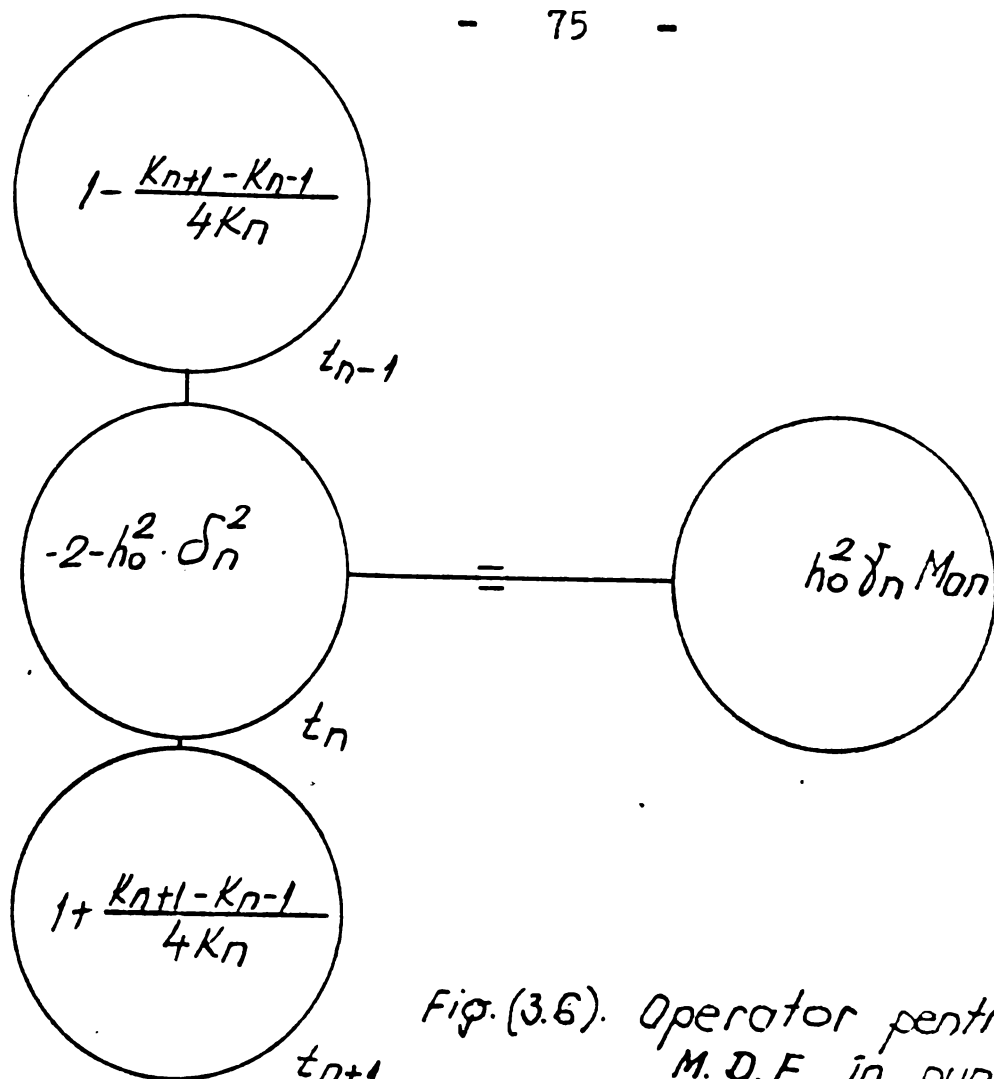


Fig.(3.6). Operator pentru aplicarea M.D.F. în punctul „n”.

Figura 3.6 arată un operator pentru aplicarea metodei în punctul "n".

Etapele de calcul sunt :

- Aplicarea ecuației (3.35) la toate punctele nodale  $l = z$ , obținindu-se z ecuații liniare.
- Introducerea condițiilor de margine în sistemul de ecuații liniare.
- Rezolvarea sistemului de ecuații pentru a se obține forțele axiale în cele z puncte nodale.
- Calculul celorlalte eforturi sectionale ale structurii la toate punctele nodale folosind ecuații de echilibru.

### 3.5.3. Încărcarea exterioară.

Momentul din încărcarea exterioară, distribuită triunghiular, poate fi exprimat de următoarea funcție :

$$M_{0n} = \frac{S_n^2 \cdot H}{3z^3} (3z - n). \quad (3.36)$$

$z$  = numărul punctului nodal la baza montantului;

$n$  = numărul punctului nodal pentru care se calculează momentul.

### 3.5.4. Condiții de margine.

Condițiile de margine întâlnite mai des în practică sunt :

- a) Condițiile de margine la vîrful structurii (fig.3.5b)  
(liber la vîrf)  $n = 1$  ;  $t_1 = 0$  (3.37)
- b) Condițiile de margine la baza diafragmei (fig.3.5c)  
(încastrat în bază).

$$n = z ; \quad q_z = 0 ; \quad \Rightarrow t_{z+1} = t_{z-1} \quad (3.38)$$

### 3.6. Mecanismul de colaps.

Capacitatea maximă a unei diafragme este atinsă cînd intervine un mecanism de colaps, în care se formează articulații plastice necesare pentru ca diafragma să atingă starea limită. Aceste articulații plastice trebuie să aibă o capacitate suficientă de rotire pentru a menține forțele constante în timpul curgerii.

Unele lucrări analizînd colapsuri produse ca urmare a unor

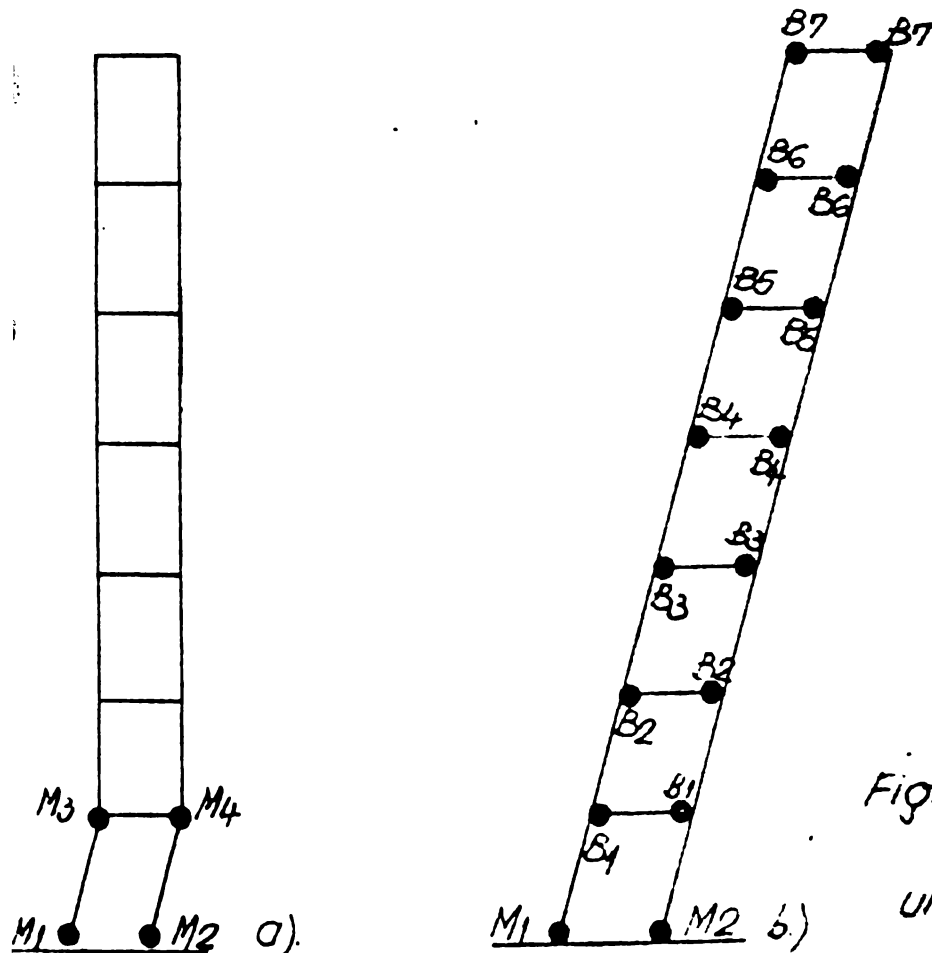


Fig.(3.7) Mecanismul de colaps probabil de  
unei diafragme.

Cutremure naturale /192/ /71/ /40/ au arătat că un mecanism de colaps prin alunecare (fig.3.7a) se dezvoltă numai în cazul structurilor cu diafragme avînd un partea elastic, și o rîrită variație bruscă a rigidității la acest nivel.

In majoritatea cazurilor, mecanismul de colaps la diafragme cu un sir de goluri s-a produs prin formarea articulațiilor plastice la capetele buiandrugilor, ulterior formându-se articulații plastice la bazele montanților, (fig.3.7b). Numărul articulațiilor plastice necesare formării unui asemenea mecanism de colaps ar fi de numărul etajelor. Sunt necesare cîte două articulații la fiecare buiandru și cîte o articulație la baza fiecărui montant. Prin urmare procedența pas cu pas s-a evaluat comportarea elastică - plastică a diafragmelor la diferite stadii de încărcare (fig.3.8).

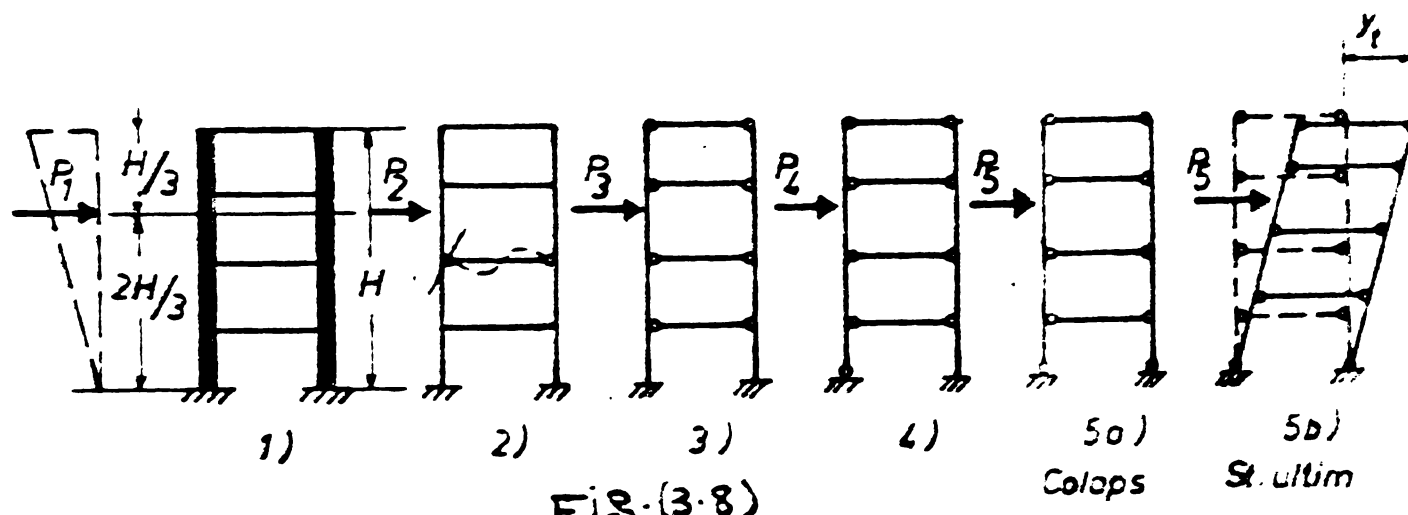


FIG.(3.8)

- 1) Fîrta exterioară acționează pe structura elastică (fig.3.8.1).
  - 2) Buiandruul cel mai încărcat atinge limitea de curgere a armăturii (fig.3.8.2).
  - 3) Plastificarea totală a buiandrugilor (fig.3.8.3).
  - 4) Atingerea limitei de curgere a armăturii în suport (1) (fig.3.8.4).
  - 5) Atingerea limitei de curgere a armăturii în suport (2) (fig.3.8.5).
  - 6) Atingerea deformării maxime a structurii mecanice de colaps. Acest stadiu reprezintă stadiul ultim (fig.3.8.6).
- Este important ce subliniază că, formarea articulațiilor plastice la toate capetele buiandrugilor înseamnă că zonă de atingere limitei de curgere, este o cerință foarte importantă.

proiectarea modernă antiseismică a diafragmelor pentru asigurarea unui capacitate mare de disipare a energiei prin deformarea port-elastică a buiandrugilor și printr-o linie elastică având o rigiditate suficientă. Astfel se limitează volumul de avarii produs sub acțiunea unor cutremure moderate și structura poate supraviețui la un cutremur violent. Remedierea distrugerilor la buiandru- gi se poate face relativ ușor și mai puțin costisitor. Începerea curgerii la montanți ar însemna începerea unui distrugeri totale a structurii și deci remedierea ar fi dificilă și în același timp costisitoare.

Succesiunea formării articulațiilor plastice la diafragme depinde de caracteristicile elastice și geometrice ale componentelor diafragmelor. La diafragmele care au buiandragi cu o rigiditate relativ mare, în momentul în care secțiunea de la baza montantului atinge limita de curgere, o plastificare parțială s-a dezvoltat la capetele buiandrugilor și pe zona cea mai solicitată a diafragmei. Deci analiza descrisă anterior care impune succesiunea formării articulațiilor, nu poate fi aplicată la toate tipurile de diafragme.

In lucrarea /47/ s-au obținut expresii pentru evaluarea deformațiilor elasto-plastice ale buiandrugilor la o diafragmă care prezintă o plastificare parțială a buiandrugilor în momentul cînd montantul atinge limita de curgere.

In starea ultimă a diafragmei se va produce un mecanism de colaps ca și cel arătat în fig. 3.7b. Se va prezenta în continuare un calcul elasto-plastic al diafragmelor folosind proce- deul pas cu pas și metoda diferențelor finite. Succesiunea formării articulațiilor plastice se va cunoaște utilizînd creșterea treptată a încărcării exterioare. Calculul se face ținînd seama de fisurarea buiandrugilor și montanilor.

### 3.7. Definirea rotirilor și ductilităților.

Structurile cu diafragme din beton armat, nu prezintă în realitate o relație liniară elasto - plastică ideală între forță și deplasare, datorită degradării considerabile a rigidității pe durata încărcării progresive. In consecință este greu de precizat punctul de la care începe dezvoltarea deformațiilor plastice, pe baza relației forță - deplasare.

Ductilitatea în ansamblu a unei structuri cu diafragme este strîns legată de stabilirea acestui punct. Pentru realizarea

unui calcul elasto - plastic al structurilor cu diafragme, este importantă stabilirea unor definiții privind rotirile și ductilitățile componentelor diafragmei.

a) Definirea rotirii unui buiandrug  $\theta_b$  este arătată în fig.3.9. Se presupune că buiandrugul are o relație liniară elasto - plastică (fig.3.10). Rotirea unui buiandrug  $\theta_b$  reprezintă

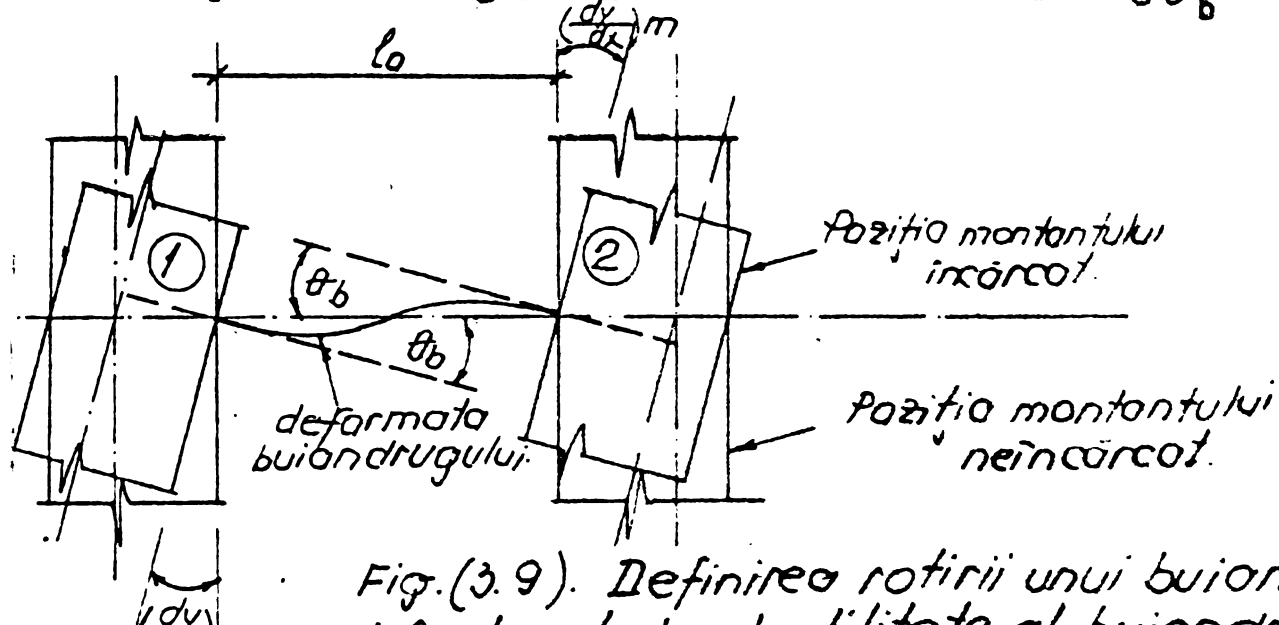


Fig.(3.9). Definirea rotirii unui buiandrug și factorul de ductilitate al buiandrugului.

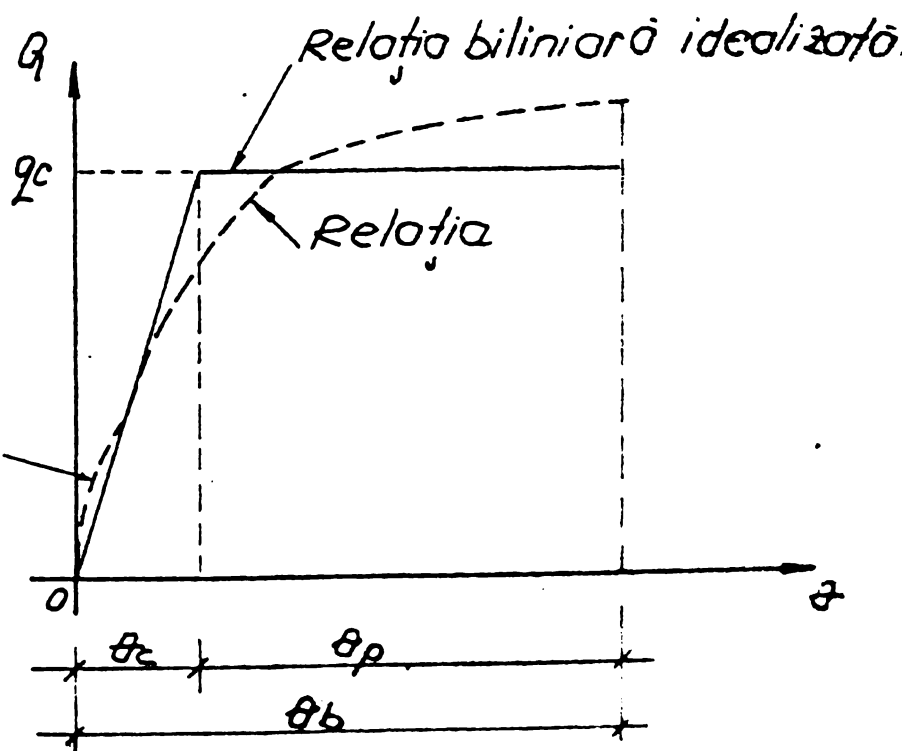


Fig.(3.10). Relația forță-rotire elasto - plastică a buiandrugului

o rotire elastică pînă la atingerea limitei de curgere  $\theta_c$ . După limita de curgere, această rotire este alcătuită dintr-o rotire de curgere  $\theta_c$  și o rotire plastică  $\theta_p$  astfel:

$$\theta_b = \theta_c + \theta_p \quad (3.39)$$

Se pune condiția de compatibilitate a deplasării verticale la mijlocul deschiderii buiandrugului,

$$d_i = d_b + d_m.$$

unde

$$d_i = L \frac{dy_1}{dx} = L \frac{dy_2}{dx} = L \frac{dy}{dx} \quad (3.40)$$

$\frac{dy}{dx}$  = rotirea montantului

$$d_b = l_o \theta_b \quad (3.41)$$

Ecuatia de compatibilitate devine :

$$\theta_b = \frac{L}{l_o} \left( \frac{dy}{dx} \right)_m - \frac{d_m}{l_o} \quad (3.42a)$$

Factorul de ductilitate  $\mu_b$  este definit ca raportul dintre rotirea buiandrugului  $\theta_b$  la orice stadiu de încărcare și rotirea de curgere a buiandrugului  $\theta_c$ , considerindu-se o relație (forță ~ deplasare) biliniară pentru buiandrug.

$$\mu_b = \frac{\theta_b}{\theta_c} \quad (3.42b)$$

b) Rotirea montantului este definită cu relația :

$$\theta_m = \int_a^H \varphi dx \quad (3.43)$$

unde  $\varphi$  este curbura montantului.

$\theta_m$  = unghiul dintre tangentă deformației și virful structurii la un stadiu de încărcare, și poziția inițială a ei (fig.3.11).

Pînă la atingerea limitei de curgere la baza montanților, curbura nu variază semnificativ la o creștere mică a încărcărilor exterioare. Rotirea montantului  $\theta_m$ , la atingerea limitei de curgere se numește rotirea de curgere  $\theta_{mc}$ .

Interacțiunea forță - moment - rotire pentru secțiunea montantului este arătată în fig.3.12. Pentru evitarea rostirii extințantului  $\theta_{mc}$  la atingerea limitei de curgere se ia în considerare efectul fisurării astfel :

$$\theta_{mc} = \int_a^H \frac{M_x}{Ebm \cdot Imf} dx.$$

(3.44)

$M_x$  = momentul ce acționează montantul la nivelul  $x$  cind secțiunea lui critică atinge limita de curgere a armăturii. Pentru  $x = H \Rightarrow M_x = M_{\max}$ .

Rotirea de curgere  $\theta_{mc}$  este arătată în fig. (3.13a). Săgeata la vîrful montantului cind secțiunea critică la baza lui atinge limita de curgere este  $y_{mc}$ . Se consideră ipoteza încastrării perfecte la baza montantului pînă la atingerea limitei de curgere. Fig. 3.13b arată deformata montantului la un stadiu de încărcare depășind limita de curgere la baza lui.  $\theta_m = \theta_{mc} + \theta_{mp}$

(3.45)

Interacțiuneo  
S-M-θ idealizată.

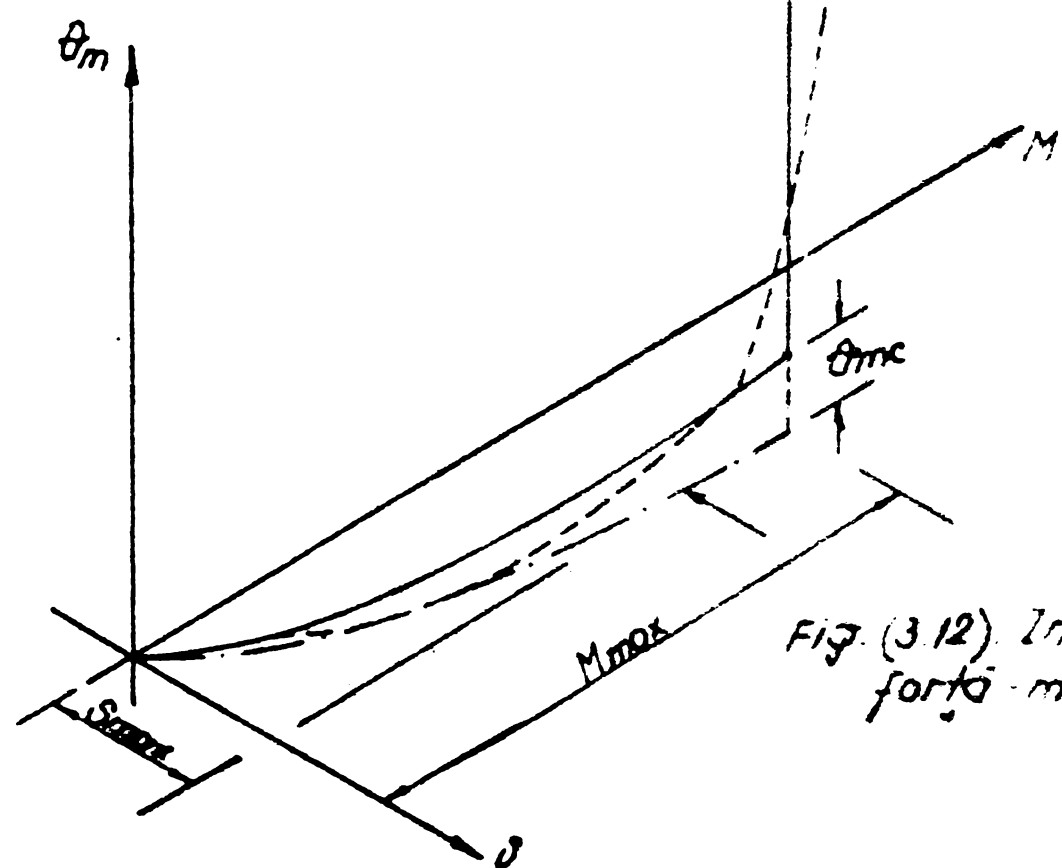


Fig. (3.12) Interacțiuneo  
forță-moment-rotre

$\theta_m$  = rotirea totală definită, în fig. 3.11;

$\theta_{mc}$  = rotirea de curgere a montantului;

$\theta_{mp}$  = rotirea plastică dezvoltată după atingerea limitei de curgere la baza montantului.

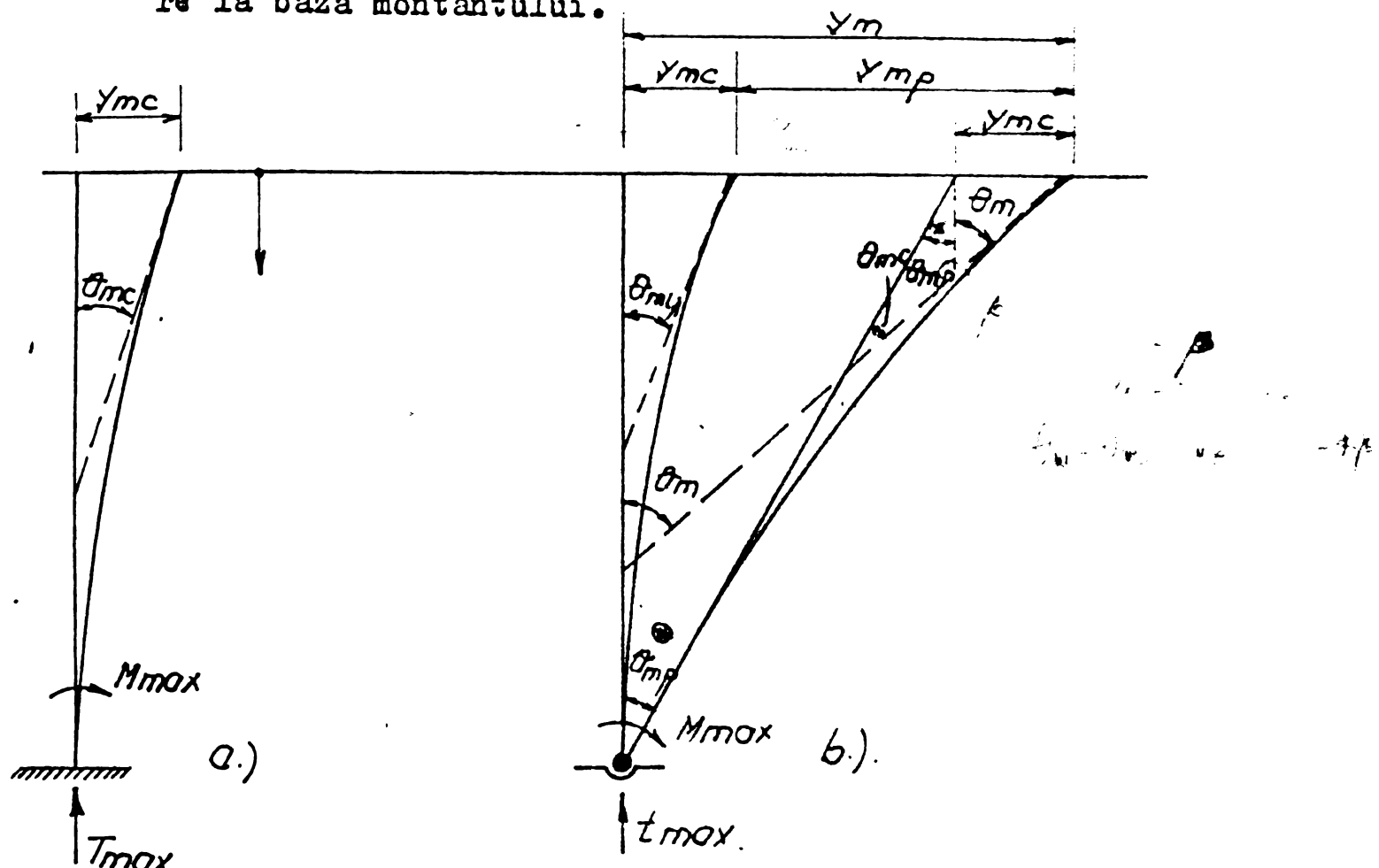


Fig. (3.13). Rotirea unui montant.

Factorul de ductilitate a montantului este definit ca raportul dintre rotirea montantului  $\theta_m$  la un anumit stadiu de încărcare și rotirea lui  $\theta_{mc}$ .

$$\mu_m = \frac{\theta_m}{\theta_{mc}} \quad (3.46)$$

Este important de subliniat, că folosirea noțiunii de factor de ductilitate prin rotire, în locul factorului de ductilitate prin deplasare la vîrful structurii, are drept scop de a face deseabilă între <sup>intens</sup> ductilitatea montantului și ductilitatea celui comprimat.

c) Factor de ductilitate prin deplasare  $\mu_o$ .

Deplasarea vîrfului unui diafragmă supusă la încărcări lu-

terale crescătoare, după plastificarea celui mai solicitat buian-drug se numește deplasare de curgere  $y_{oc}$  (fig.3.14).

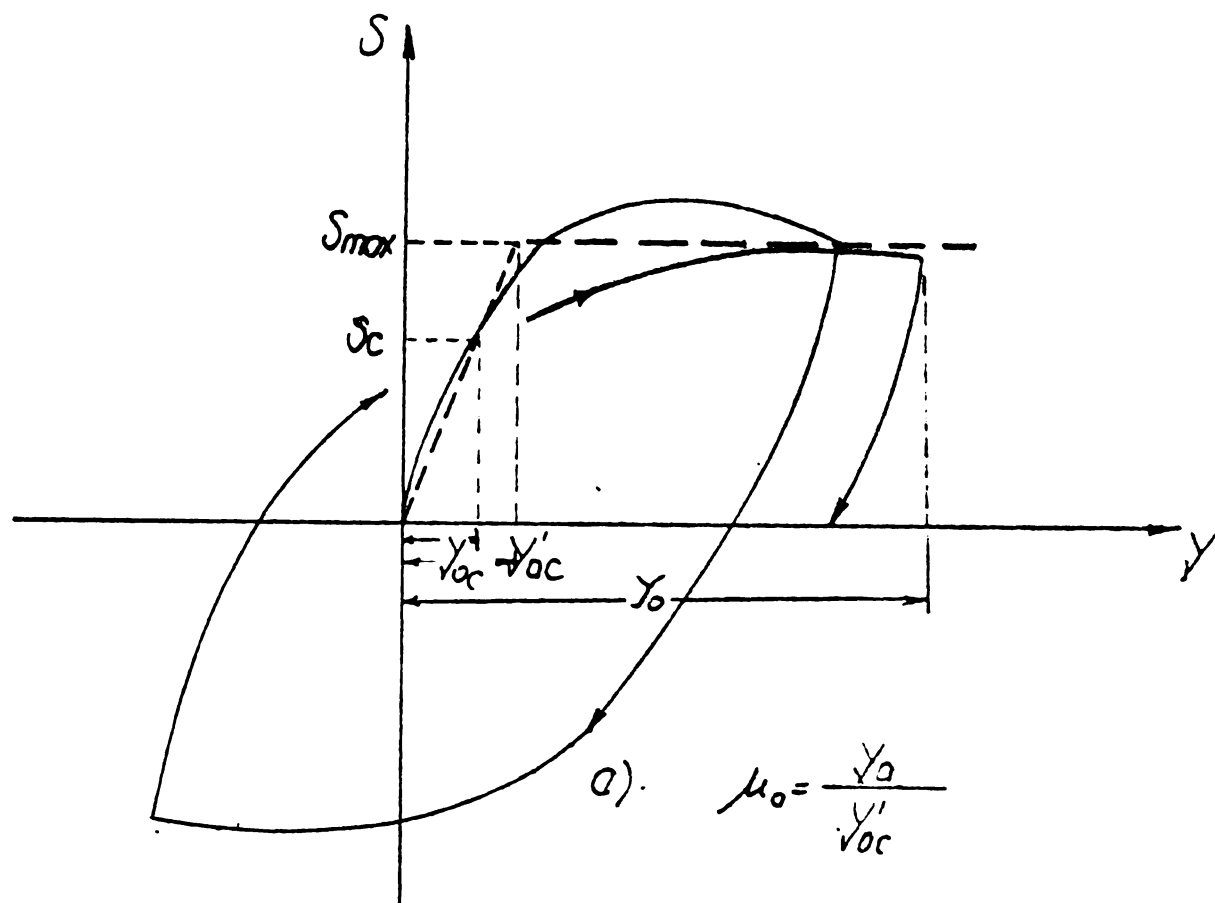


Fig. (3.14). factorul de ductilitate prin deplasare a unei diafragme.

Se poate însă idealiza relația  $(S - y)$  obținindu-se  $y'_{oc}$ . Factorul de ductilitate prin deplasare  $\mu_o$  se definește ca raportul dintre deplasarea vîrfului structurii la un stadiu dat de încărcare și deplasarea de curgere.

$$\mu_o = \frac{y_o}{y'_{oc}} \quad (3.47)$$

### 3.8. Stadiile de calcul elastico-plastic. / 73 / 70 / 8.

Acest studiu are drept scop punerea în evidență a ductilității necesare buiandrugilor și montanților unei diafragme aflate sub acțiunea unui cutremur violent, la atingerea stării ultime a ei. Se urmărește comportarea diafragmei sub acțiunea încărcărilor laterale care cresc progresiv pînă se atinge starea ultimă în diafragmă.

Se disting următoarele stadii de încărcare :

- a) Structura lucrează în domeniul elastic sub acțiunea încărcărilor exterioare convenționale rezultate din calcul.
- b) Buiandrugul cel mai solicitat atinge limita de curgere a armăturii.
- c) Buiandrugul J atinge limita de curgere a armăturii.
- d) Buiandrugul ultim atinge limita de curgere a armăturii.
- e) Montantul întins (1) atinge limita de curgere a armăturii.
- f) Montantul comprimat (2) atinge limita de curgere a armăturii.
- g) Atingerea deformăției maxime a acestui mecanism de colaps.

a) În acest stadiu de calcul, structura este supusă la încărcări exterioare evaluate convențional conform normelor de calcul. Eforturile secționale și deformațiile diafragmei de calculează după metode elastice de calcul.

b) Se presupune că buiandrugii sunt caracterizați de o relație (forță – deplasare) elastico – plastică biliniară.

$F_{ie}$

$q_{max}$  – forță tăietoare în cel mai solicitat buiandrug

$q_c$  – forță tăietoare la care acest buiandrug atinge limita de curgere

$$S_e = \frac{q_c}{q_{max}} \cdot S \quad (3.48)$$

c) În acest stadiu, o plastificare parțială se produce la cei mai solicitati buiandrugi care nu mai pot prelua forțe tăietoare suplimentare.

d) Buiandrugii sunt plastificați în totalitate astfel că ei nu mai pot prelua nici o forță suplimentară și orice creștere a încărcării exterioare este preluată de montanți.

Ecuatia (3.42) se poate scrie sub următoarea formă :

$$\theta_p = \frac{L}{l_0} \theta_m - \frac{d_m}{l_0} - \theta_c \quad (3.49)$$

Este evident că lamela inferioară nu poate curge datorită încărcării perfecte a diafragmei la baza ei. Pe de altă parte s-a constatat că prin încercări faptul că buiandrugii inferior și superior /23/ nu ating limita de curgere. Pentru scopuri practice, dacă n este numărul buiandrugilor se consideră că (n-1) buiandrugii ating limita de curgere.

Deci :  $t_{max} = \frac{(n-1)}{n} \cdot q_c \cdot H$

$$\theta_p = \frac{L}{l_0 E_b I_0} \int_x^H (M_0 - L q_c x) dx - \frac{1}{l_0 E_b} \left( \frac{1}{A_1} + \frac{1}{A_2} \right) \int_x^H q_c x dx - \theta_c. \quad (3.50)$$

Cunoscând ecuația momentului :

$$M_0 = S \cdot H \left( \frac{\xi^2}{3} - \frac{\xi^3}{3} \right)$$

Rotirea de curgere a lamelelor devine :

$$= \frac{L H^2}{l_0 E_b I_0} \left\{ S_c \left[ \frac{1}{4} + \frac{\xi^4}{12} - \frac{\xi^3}{3} \right] - \frac{L q_c}{2} (1 - \xi^2) \right\} - \frac{q_c H^2}{2 l_0 E_b} \left( \frac{1}{A_1} + \frac{1}{A_2} \right) (1 - \xi^2) - \theta_c \quad (3.51)$$

Considerindu-se practic  $\theta_b = \theta_c$  cind  $\xi = 0,9$ , rezultă :

$$S_c = \frac{L_0 E_b I_0 (1+0,19Z)}{0,062 L H^2} \cdot \theta_c. \quad (3.52)$$

$$\text{în care } Z = \frac{q_c H^2}{2 l_0 E_b \theta_c} \left[ \frac{1}{A_1} + \frac{1}{A_2} + \frac{L^2}{l_0} \right] \quad (3.53)$$

Deci factorul de ductilitate a buiandrugilor se obține înlocuind în ecuația (3.51) ecuația (3.52)

$$\frac{\theta_p}{\theta_c} = \frac{1+0,19Z}{0,062} \left[ \frac{1}{4} + \frac{\xi^4}{12} - \frac{\xi^3}{3} \right] - Z (1 - \xi^2) - 1 \quad (3.54)$$

a).  $\frac{\theta_p}{\theta_c} = 0 \Rightarrow \xi = 0,9$ .

b).  $\frac{\theta_p}{\theta_c} = -1 \Rightarrow \xi = 1,0$

Relația (3.54) s-a obținut considerind o plastificare cu cel puțin 90 % din înălțimea structurii. (această ipoteză este acceptabilă pentru diafragmele având mai puțin decât 11 nivele). Dar această ipoteză trebuie verificată punindu-se condiția de margine la vîrful structurii.

$$\frac{\theta_p}{\theta_c} \geq 0 \text{ chiar dacă } \xi = 0$$

Din ecuația (3.54) rezultă că :

$$Z \leq 12,5 = Z_c. \quad (3.55)$$

Cînd  $z > z_c$  buiandrugii superioiri nu mai ating limita de curgere. În această situație, dacă se pune condiția atingerii limitei de curgere

$$\text{cînd } \xi = 0 \Rightarrow \theta_b = \theta_c \text{ și } \theta_p = 0$$

Din ecuația (3.51) se obține :

$$S'_c = \frac{4 \ell_0 E_b I_0 (2+1)}{L H^2} \cdot \theta_c. \quad (3.56)$$

Rotirile postelastice sunt determinate de ecuația :

$$\frac{\theta_p}{\theta_c} = \frac{4(Z+1)}{1} \left[ \frac{1}{4} + \frac{\xi^4}{12} - \frac{\xi^3}{3} \right] - Z(1-\xi^2) - 1 \quad (3.57)$$

$$a). \frac{\theta_p}{\theta_c} \geq 0 \Rightarrow \xi = 0$$

$$b). \frac{\theta_p}{\theta_c} \geq 0 \Rightarrow \xi = 0,9$$

$$c). \frac{\theta_p}{\theta_c} = -1 \text{ cînd } \xi = -1.$$

In acest procedeu, se consideră că montanții se mențin în domeniul elastic pînă la atingerea plastificării totale a buiandrugilor. Atunci structura este supusă la o încărcare exterioară totală  $S_c$  sau  $S'_c$ . Deplasarea diafragmei se calculează cu următoarea relație :

$$= \frac{H^3}{E_b I_0} \left\{ S_c \left[ \frac{11}{60} - \frac{\xi^5}{60} + \frac{\xi^4}{12} - \frac{\xi^3}{3} \right] - \frac{g_c L}{2} \left( \frac{\xi^3}{3} + \frac{2}{3} \right) \right\} \quad (3.58)$$

Deplasarea maximă la vîrful diafragmei :

$$y_{oc} = \frac{H^3}{E_b I_D} \left[ S_c \frac{11}{60} - \frac{q_c}{3} L \right] \quad (3.59)$$

e) Încărcarea de curgere în montantul "1". Orice creștere a încărcării exterioare este preluată de montanți care mai lucrează în domeniul elastic. Încărcarea exterioară necesară atingerii limitei de curgere în montantul "1" este "S". Deci momentele generate în ambii montanți în stadiul atingerii limitei de curgere în montantul "1"

$$M_1(\xi) = \frac{H I_m 1}{I_D} \left[ (S_c + \Delta S) \left( \xi^2 - \frac{\xi^3}{3} \right) - L q_c \xi \right] \quad (3.60a)$$

$$M_2(\xi) = \frac{I_m 2}{I_m 1} M_1(\xi) \quad (3.60b)$$

Momentele maxime la baza montanților devin :

$$M_{1(1)} \leq \frac{H I_m 1}{I_D} \left[ (S_c + \Delta S) \left( \frac{2}{3} - 0,9 q_c L \right) \right] = M_{max,1} \quad (3.61)$$

$$M_{2(1)} \leq \frac{I_m 2}{I_m 1} M_{max,1} \leq M_{max,2} \quad (3.62)$$

unde :  $M_{max,1}$  și  $M_{max,2}$  sunt momentele de curgere ale montanților.

Rotirea elastică a diafragmei datorită încărcării suplimentare  $\Delta S$

$$\theta'_m = \frac{\Delta S \cdot H^2}{E_b \cdot I_D} \left[ \frac{1}{4} - \frac{\xi^3}{3} + \frac{\xi^4}{12} \right] \quad (3.63)$$

Acstea rotiri elastice în montanți, provoacă rotiri plasticice suplimentare în buiandruși

$$\theta'_p = \frac{L}{l_0} \theta'_m \quad (3.64)$$

Săgeata elastică suplimentară la vîrful structurii :

$$y'_0 = \frac{\Delta S \cdot H^3}{E_b I_D} \left[ \frac{11}{60} \right] \quad (3.65)$$

f) Încărcarea de curgere în montantul "2". Se consideră că momentul suplimentar este preluat numai de montantul "2". Pie  $\Delta S'$  încărcarea exterioară suplimentară necesară ca montantul "2" să atingă limita de curgere. Momentele ce apar în montantul "2" sunt :

$$M_2(\xi) = \frac{H I_m 2}{I_D} \left[ \left( S_c + \Delta S + \Delta S' \frac{l_0}{I_m 2} \right) \frac{2}{3} - 0,9 q_c L \right] \leq M_{max,2} \quad (3.66)$$

Momentul maxim la baza montantului "2" :

$$M_{2(1)} = \frac{H I_{m_2}}{I_o} \left[ S_c + \Delta S + \Delta S' \frac{I_o}{I_{m_2}} \right] \frac{2}{3} - 0,99 q_c H \leq M_{max,2} \quad (3.67)$$

Rotirea elastică suplimentară în diafragmă :

$$\theta_m'' = \frac{H^2 \Delta S'}{E_b I_{m_2}} \left[ \frac{1}{4} + \frac{\frac{1}{4}}{12} - \frac{\frac{1}{3}}{3} \right] \quad (3.68)$$

Rotirea suplimentară în buiandruji :

$$\theta_p'' = \frac{L}{l_o} \theta_m'' \quad (3.69)$$

Deplasarea suplimentară maximă în vîrful diafragmei :

$$y_0'' = \frac{\Delta S' H^3}{E_b I_{m_2}} \frac{11}{60} \quad (3.70)$$

g) Starea limită a diafragmei. Încărcarea totală exterioară care provoacă mecanismul de colaps este :

$$S_{max} = S_c + \Delta S + \Delta S' \quad (3.71)$$

Această încărcare ar trebui să fie :

$$S_{max} \geq \frac{3}{2H} \left[ M_{1max} + M_{2max} + 0,99 q_c \cdot H \right] \quad (3.72)$$

pentru ca să producă mecanismul de colaps.

Este important de subliniat că orice rotire suplimentară a articulațiilor plastice formate la baza diafragmei  $\theta_{mp}$  duce la ro-

rotiri suplimentare în buiandruji.

$$\theta_{bp} = \frac{L}{l_o} \theta_{mp} \quad (3.73)$$

Cu ajutorul acestor relații se poate calcula factorul de ductilitate necesar fiecărui buiandrug la atingerea mecanismului de colaps a diafragmei.

### 3.9. Rezolvarea problemei cu ajutorul metodei diferențelor finite.

Calculul rotirilor pentru componente din diafragmă la diferite stadii de încărcare se face cu metoda diferențelor finite. În primul stadiu de încărcare, cînd diafragmă este supusă la incărcări exterioare calculate convențional după normele de calcul, determinarea eforturilor și rotirilor în diferite secțiuni se face considerind diafragma în domeniul elastic.

Stadiul al doilea se produce cînd buiandrugul cel mai solicitat atinge limita de curgere. Folosind proceful prin iteracîie, încărcarea exterioară suplimentară necesară formării unui alt set de articulații plastice la capetele buiandrugilor sau a articulațiilor plastice la baza diafragmei, depinde de articulațiile plastice formate anterior. Există trei cazuri, arătate în fig.3.15, care ar putea interveni. Distanțele  $\xi_1 H$ ;  $\xi_2 H$  variază între limitele

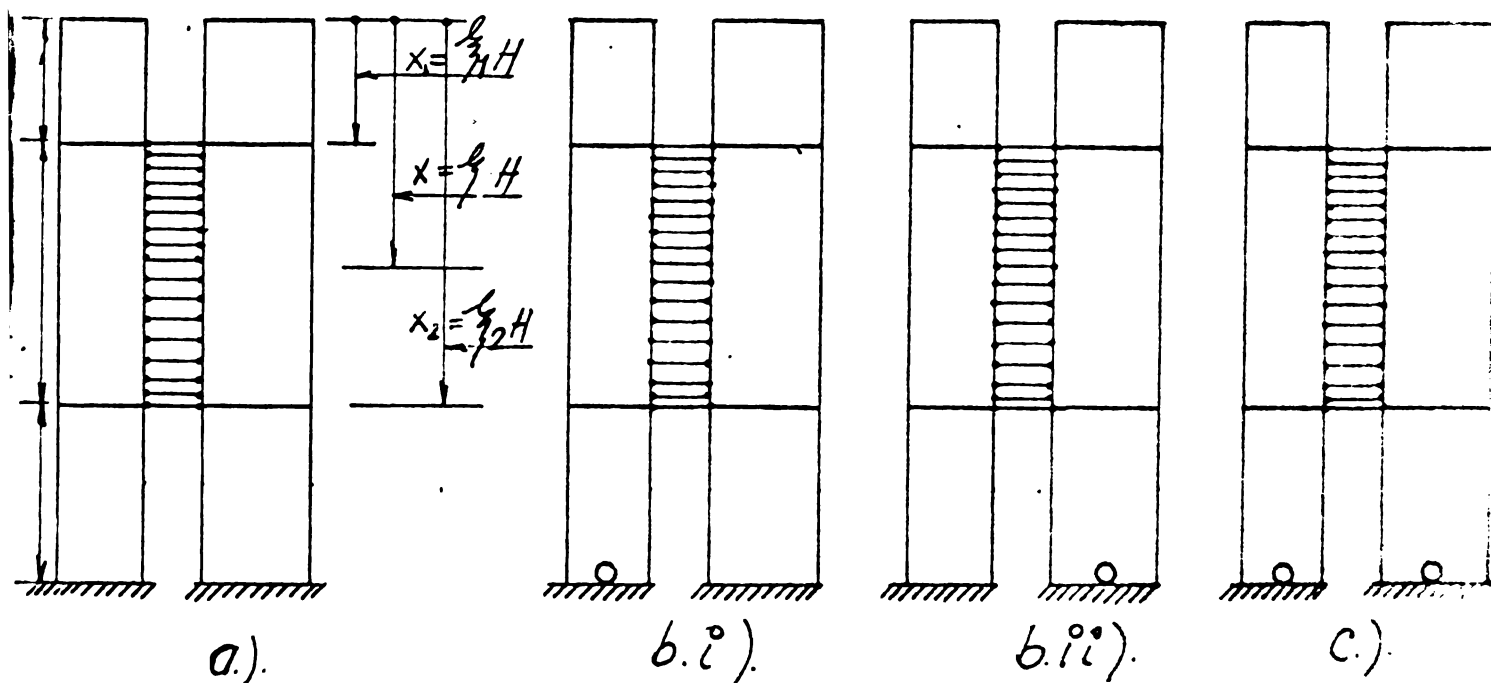


Fig.(3.15).

$0 \div H$  funcție de zona în care buiandrugii ating limita de curgere.

Cazul a). Buinadrugii aflați în zona  $\xi_1 H < x < \xi_2 H$  (fig. 3.15a) ating limita de curgere și nu mai pot prelua forțe tăietoare suplimentare. Pentru stadiile următoare de încărcare se consideră momentul de inertie al zonei plastificate egal cu zero la determinarea eforturilor sectionale pentru o anumită crățtere a încărcării exterioare  $[\Delta S]$ .

Cazul b). Unul dintre montanți sau ambi ar putea atinge limita de curgere înainte de plastificarea totală a buiandrugilor (fig.3.15b). Se folosesc ecuațiile diferențiale (3.35) punindu-ne condiții noi de margine la baza montantului. Diferența între deplasările laterale ale celor doi montanți se produce datorită alungirilor diferite ale buiandrugilor. Însă aceste alungiri sunt mici

astfel încât se pot neglija. Deci înclinarea celor doi montanți se consideră egală la orice nivel.

Când un montant atinge limita de curgere, orice încărcare exterioară suplimentară este preluată de celălalt montant. Datorită egalității rotirilor în cei doi montanți, formarea articulațiilor ei plastice la baza unui montant conduce la accelerarea formării celeilalte, astfel încât cele două articulații se formează imediat una după cealaltă.

i) Formarea articulației plastice la baza montantului (1) (fig.3.15.b.i).

Se folosește condiția de margine a unei fundații flexibile la baza montantului. Modelul matematic care include resurse echivalente ce caracterizează rigiditatea axială și de rotație a montanților 1 respectiv 2, la baza lor, este arătat în fig.3.16a.

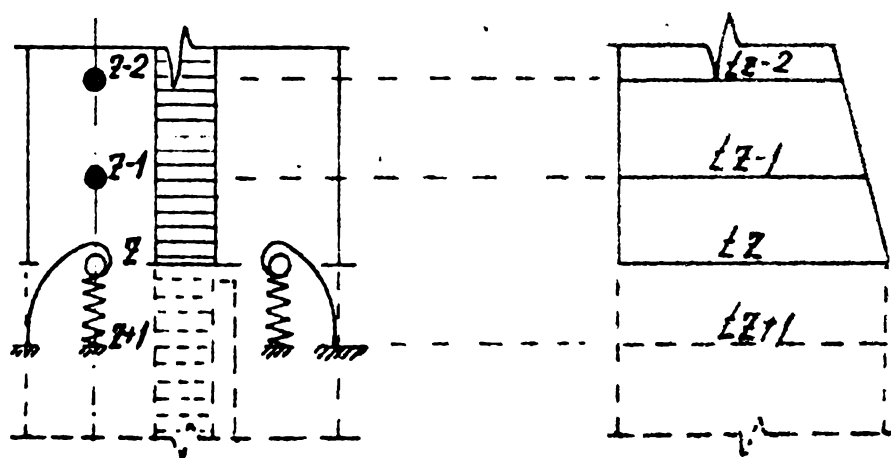


Fig. (3.16). Modelul matematic care caracterizează rigiditatea montanților.

Deoarece, bazele montanților sunt prevăzute să rămână la același nivel, rigiditatea axială a lor

$$R_{\theta_1} = R_{\theta_2} = \infty$$

Când montantul 1, atinge limita de curgere, pierde rigiditatea la rotație

$$R_{\theta_1} = 0 \quad R_{\theta_2} \neq 0$$

Deci ecuația de recurență (3.35) ținând seama de condiția de margine devine :

$$t_{2+1} = t_{2-1} - 2h_0 \left( \frac{L^2}{R_{\theta_2}} \right) t_2 + 2h_0 \left( \frac{L}{R_{\theta_2}} \right) M_0 \quad (3.74)$$

unde :  $R_{\theta_2} = \frac{M_2}{\theta_{mc}}$  (3.75)

ii) Formarea articulației plastice la baza mantantului "2" (fig. 3.15.b.ii).

Similar cazului anterior  $R_{\theta_1} = R_{\theta_2} = 0$

$$R_{\theta_1} \neq 0 \quad R_{\theta_2} = 0$$

Ecuția de recurență devine :

$$t_{2+1} = t_{2-1} - 2h_0 \left( \frac{L^2}{R_{\theta_1}} \right) t_2 + 2h_0 \left( \frac{L}{R_{\theta_1}} \right) M_0. \quad (3.76)$$

Cazul c) Formarea celor două articulații la baza mon- tanților (fig. 3.15c).

Orice moment suplimentar la baza disfragmei  $M_c$  este preluat de componenta "L.t"

Ecuția de recurență corespunzătoare condiției de margine

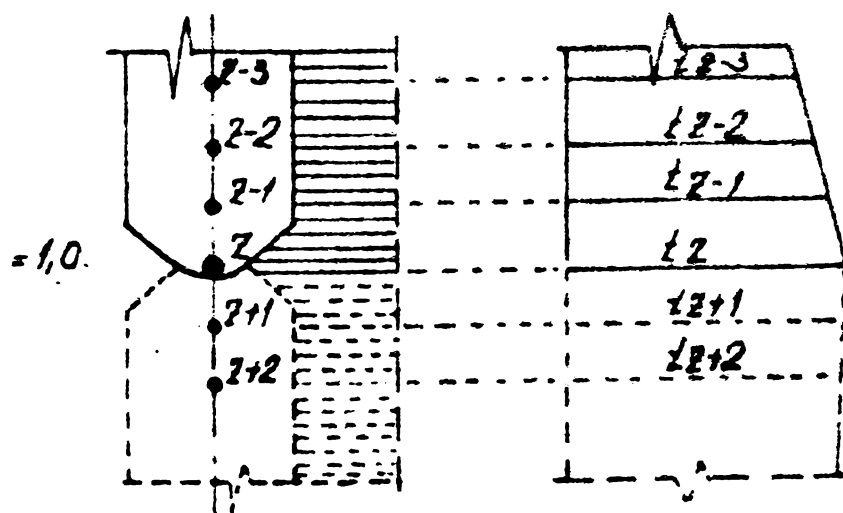


Fig. (3.17). Formarea articulațiilor plastice la baza montantilor.

devine (fig.3.17) :

$$t_{z+1} = t_{z-1} + \frac{2h_0L}{Em_z I_{oz}} (M_{oz} - L t_z). \quad (3.77)$$

### 3.10. Calculul elastic-plastic al diafragmelor cu goluri.

Concepția de proiectare și alcătuire a diafragmelor care se bazează pe comportarea elastică a structurii, valabilă în multe țări, poate conduce la ideea că mărirea caracteristicilor geometrice și creșterea cantității de armătură contribuie la sporirea capacitatei portante a diafragmelor, lucru care nu întotdeauna este valabil, aceste modificări schimbând uneori nefavorabil mecanismul de rupere. Cunoașterea comportării postelastice a diafragmelor sub acțiunea încărcărilor (fig.3.8) indică felul în care trebuie modificată geometria și armarea diafragmelor pentru sporirea capacitatei lor portante cu păstrarea, eventual chiar mărirea coeficientului de siguranță necesar.

Cedarea diafragmelor prin atingerea succesivă a etapelor prezentate în punctul 3.8 constituie un caz optim care trebuie impus printr-o proiectare corespunzătoare a diafragmelor. Aceasta se poate realiza prin utilizarea criteriului de ductilitate, care reprezintă cea mai modernă concepție de proiectare a diafragmelor. Conform acestui criteriu, elementele diafragmei (buiandruși și montanți) trebuie astfel proiectate încât pe lîngă atingerea rezistenței necesare să aibă o ductilitate suficientă care să asigure transformarea tuturor buiandrugilor în penduli înaintea formării articulațiilor plastice la baza montanților, sub acțiunea unui cutremur moderat și totodată să păstreze integritatea structurii sub acțiunea unui cutremur violent.

Relațiile de verificare în metoda de calcul elastic-plastic sunt :

$$\mu_{b,ef} \geq \mu_{b,nec}. \quad (3.78)$$

$$\mu_{m,ef} \geq \mu_{b,nec}. \quad (3.79)$$

$$\mu_0 = 4...6. \quad (3.80)$$

In cadrul metodei se parcurg următoarele etape :

- Se calculează solicitările (forțe tăietoare și momente

încovoietoare) în buiandruji și montanți, după metoda elastică;

- Se armează toți buiandrugii identic, ca elemente de beton armat;

- Se armează montanții, ca elemente de beton slab armat, luând momente majorate față de cele rezultate din calculul elastic. Coeficientii de majorare vor avea valori cuprinse între 1,5 și 2. Se presupune că majorarea momentelor de dimensionare a montanților asigură transformarea buiandrugilor în penduli înaintea formării articulațiilor plastice la baza montanților. La dimensionare se va ține seama de caracterul alternant al încărcării orizontale exterioare;

- Se stabilesc factorii de ductilitate efectivi pentru fiecare element al diafragmei, luat independent ca element liniar de beton armat supus la încărcări alternante;

- Se stabilesc factorii de ductilitate necesari conform pct. 3.10.1;

- Se verifică relațiile (3.78), (3.79) și (3.80).

- Se corectează caracteristicile geometrice și de armare a elementelor diafragmei, în cazul în care relațiile de verificare nu sunt îndeplinite și se repetă calculul pînă cînd se obține verificarea relațiilor impuse.

Se menționează că acest calcul este valabil la diafragmele cu un sir de goluri, cu buiandrugi lungi la care ductilitățile efective ale elementelor diafragmei se pot evalua ca și la grinzi încovoiate din beton armat supuse la încărcări alternante și la care efectul forțelor tăietoare asupra caracterului ruperii se poate îndepărta.

3.10.1. Calculul automat al ductilităților necesare,  
pentru elementele diafragmei cu un sir de goluri  
mijlocii.

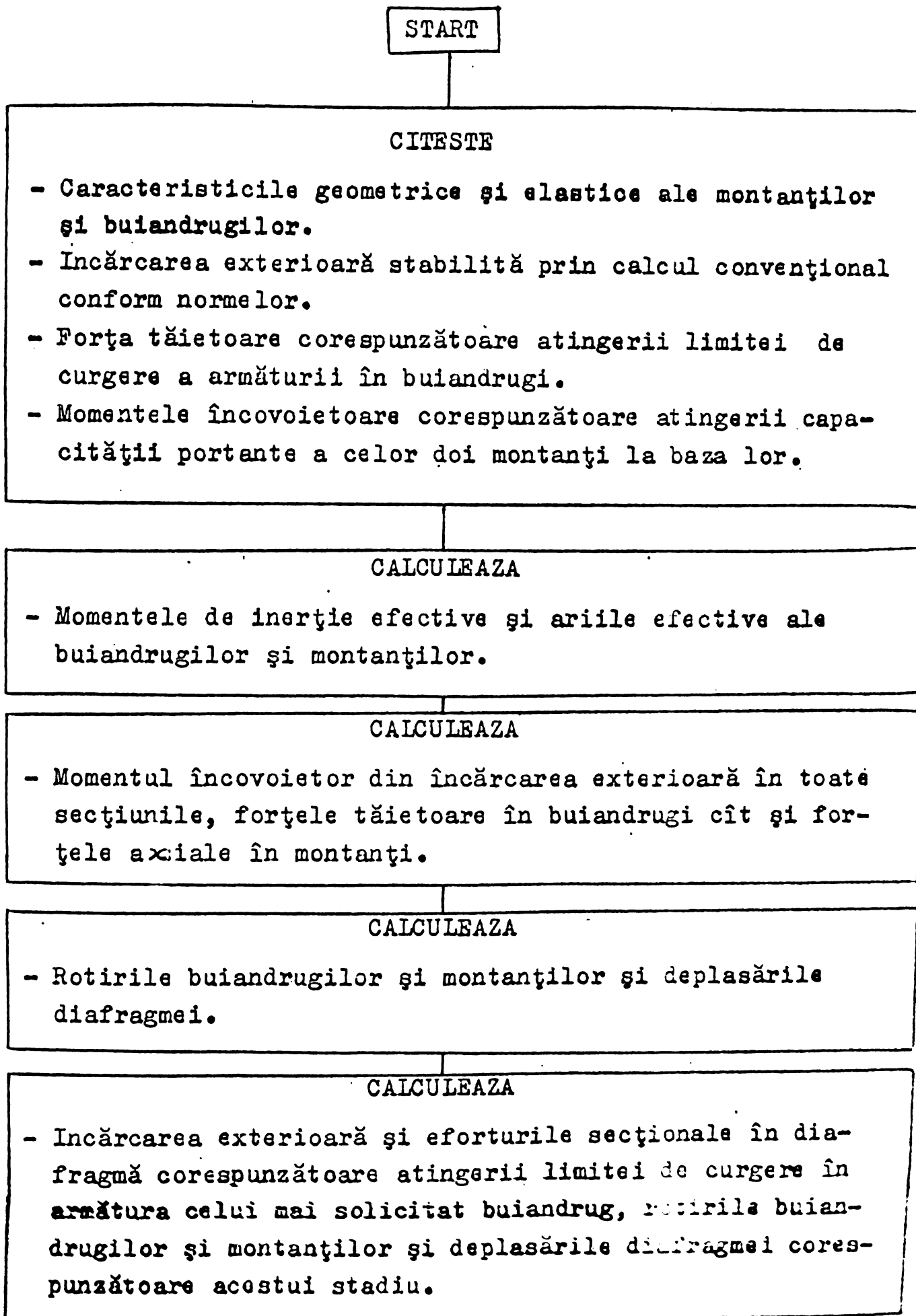
Calculul presupune că sub acțiunea încărcărilor exterioare orizontale se formează, mai întîi, articulații plastice la capetele tuturor buiandrugilor și pe urmă la baza montanților.

Eforturile secționale și rotirile intr-o diafragmă cu buiandrugii armăți la fel pe toate nivelurile se pot obține utilizând schema logică prezentată în fig.3.19.

Succesiunea etapelor de calcul, conform schemei logice, este următoarea :

- Calculul caracteristicilor geometrice și elastice ale buiandrugilor și montanților;
  - Determinarea momentului încovoietor, a eforturilor sectionale în buiandrugi și montanți și a deplasărilor diafragmei sub acțiunea încărcărilor exterioare calculate convențional, conform normelor în vigoare (structura lucrează în domeniul elastic);
  - Calculul eforturilor sectionale și a deplasărilor, corespunzătoare atingerii limitei de curgere a armăturii în cel mai solicitat buiandrug;
  - Calculul încărcării exterioare, a deplasărilor diafragmei și a rotirilor buiandrugilor și montanților, corespunzătoare atingerii limitei de curgere în armătura tuturor buiandrugilor;
  - Calculul încărcării exterioare suplimentare, a deplasărilor diafragmei și a rotirilor buiandrugilor și montanților suplimentare, corespunzătoare formării articulației plastice la baza unui montant;
  - Calculul încărcării exterioare suplimentare, a deplasărilor diafragmei și a rotirilor buiandrugilor și montanților suplimentari, corespunzătoare formării articulației plastice la baza celuilalt montant.
  - Calculul deplasărilor suplimentare ale diafragmei și a rotirilor suplimentare ale buiandrugilor și montanților corespunzătoare trecerii diafragmei din mecanismul de colaps în stadiul ultim.
  - Calculul factorilor de ductilitate ai buiandrugilor, montanților și a diafragmei în ansamblu cît și a coeficientilor de siguranță, corespunzători diferitelor stadii subliniate anterior.
- Datele de intrare ale programului sunt :
- caracteristicile geometrice și elastice ale montanților și buiandrugilor;
  - forța tăietoare corespunzătoare atingerii limitei de curgere a armăturii buiandrugilor;
  - capacitatea portantă a celor doi montanți, la baza lor.
- Datele de ieșire ale programului sunt :
- factorii de ductilitate ai buiandrugilor, montanților și diafragmei, la diferite stadii de încărcare;
  - coeficientii de siguranță la diferite stadii de încărcare.
- Ipotezele adoptate în acest calcul sunt :

- materialele sunt omogene și izotrope;
- capacitatea portantă a montanților se calculează ca și la elemente liniare din beton slab armat



1

CALCULEAZA

- Încărcarea exterioară corespunzătoare atingerii limitei de curgere a armăturii tuturor buiandrugilor, rotirile buiandrugilor și montanților și deplasările diafragmei, corespunzătoare acestui stadiu de încărcare.

CALCULEAZA

- Încărcarea exterioară suplimentară, rotirile buiandrugilor și montanților și deplasările diafragmei suplimentare, corespunzătoare atingerii limitei de curgere a armăturii la baza unui montant.

CALCULEAZA

- Încărcarea exterioară suplimentară, rotirile buiandrugilor și montanților și deplasările diafragmei suplimentare, corespunzătoare atingerii limitei de curgere a armăturii la baza celuilalt montant.

CALCULEAZA

- Rotirile buiandrugilor și montanților și deplasările diafragmei suplimentare, corespunzătoare atingerii deformației ultime (stadiul ultim) a mecanismului de colaps.

CALCULEAZA

- Factorii de ductilitate ai buiandrugilor, montanților și ai diafragmei și coeficientii de siguranță corespunzătoare diferitelor stadii.

SCRIE

- Factorii de ductilitate ai buiandrugilor, ai montanților și ai diafragmei și coeficientii de siguranță corespunzători diferitelor stadii de încărcare.

Fig.3.18. Schema logică a calculului elasto - plastic al diafragmelor cu un sir de goluri.

### 3.11. Performanța structurilor cu diafragme la acțiuni dinamice.

Analizînd istoria dezvoltării tipurilor de structuri multietajate în ultimele două decenii în multe țări / 40/ se poate observa că singura soluție structurală care a fost utilizată, a fost cea în cadre, avîndu-se în vedere flexibilitatea mare a structurii, cît și ductilitatea sporită, ceea ce face ca în timpul unui seism să se absoarbă o cantitate considerabilă de energie introdusă prin formarea articulațiilor plastice la noduri / 90 / / 106/.

Acstea caracteristici ale cadrelor corespund concepției moderne de proiectare a construcțiilor multietajate, concepție ce admite unele avarii în elementele nestructurale și chiar în cele structurale sub acțiunea unui cutremur violent, cu condiția asigurării supraviețuirii construcției.

Fintel, M., a analizat comportarea mai multor structuri în cadre care au fost verificate de cutremure naturale / 40/ ajungînd la următoarea concluzie :

– admiterea deformațiilor mari ale structurii și neglijarea conlucrării dintre elementele structurale și cele nestructurale conduce la distrugerea casantă a elementelor nestructurale și deci la pagube materiale mari mai ales la construcțiile civile și administrative la care elementele nestructurale costă 80 % din costul total al construcțiilor.

Pe de altă parte odată cu tendința actuală de industrializare în construcții și de reducere a consumului de oțel și lemn la minimum necesar se critică utilizarea soluțiilor în cadre la construcții cu pînă la 20 etaje ca fiind neeficiente.

In ultimii ani specialistii au căutat alte sisteme structurale mai eficiente, care pot răspunde mai bine la anumite cerințe.

Sistemul structural cu diafragme datorită mai multor avantaje pe care le prezintă a căpătat o utilizare răspîndită în realizarea structurilor multietajate.

Structurile cu diafragme oferă o mare diversitate de rezolvări structurale bazate pe ideea disponerii peretilor pe două sau mai multe direcții, în special la construcții de locuințe, hoteluri și spitale la care compartimentarea volumului este impusă (soluții fagure sau celulară).

Ariile plane mari pe care le oferă diafragmele se pretează

ză la o execuție industrializată (panouri mari, glisare, cofra, refolosibile) ducind la o mare productivitate și la reducerea consumului de material lemnos la minimum necesar.

Diafragmele au rigiditate mare la încărcările laterale acționând în planul lor rezultând în mod obișnuit o armare constructivă. Totuși structurile cu diafragme au unele neajunsuri care necesită o rezolvare mai atentă și anume :

- a) Încărcarea gravitațională mare depășind  $12 \text{ KN/m}^2$ .
- b) Rigiditatea diafragmelor este foarte mare ceea ce conduce la secțiuni slab armate la care ruperea se produce casant.

Este foarte important de a face deosebirea între structurile cu diafragme proiectate la acțiuni din vînt și cele proiectate la acțiuni seismice.

Asupra primei categorii se poate afirma că frecvența vînturilor puternice fiind mai mare decât cea a cutremurilor puternice, problemele de rigiditate, de admitere a deformațiilor plastice, se abordează în mod cu totul diferit.

Deci din considerente de confort există condiții severe de rigiditate laterală, depășirea limitelor de elasticitate fiind interzisă prin condiții severe de calcul astfel încât criteriul de ductilitate a structurii nu mai este un criteriu principal, ceea ce corespunde performanțelor excelente ale diafragmelor la acțiunile din vînt.

In ceea ce privește a doua categorie, de mult timp performanțele structurilor cu diafragme sub acțiunea unor mișcări seismice au fost tratate tradițional cu suspiciune.

O concepție strict elastică a comportării structurilor reale sub acțiunea unor cutremure violente, nu poate constitui un criteriu eficient al siguranței sau al rațiunii economice în proiectarea structurilor aflate în zone seismice.

Laboratoarele naturale au arătat că în timpul unui cutremur puternic, comportarea în ansamblu a unei structuri nu este totdeauna perfect elastică depășind cîmpul elasticității în ambele sensuri.

Intr-o vizionă modernă, acțiunea seismică trebuie privită ca un proces continuu de alimentare cu energie în timpul unui cutremur.

Adevărată siguranță se obține prin modul în care structura absorbe, disipă și restituie (înapoi în teren) toată energia introdusă /26/.

Conceptul energetic introdus în proiectarea modernă a :-

seismică poate fi intuit cel mai bine prin interpretarea ecuației globale de energie realizată de G.W. Housner / 50/ :

$$E_t = E_C + E_P + E_Q + E_d. \quad (3.81)$$

în care :  $E_t$  = energia cu care a fost alimentată structura de la începutul cutremurului pînă în momentul considerat "t";

$E_C$  = energia cinetică existentă în structură în momentul considerat;

$E_p$  = energia potențială în structură în momentul considerat;

$E_d$  = energia disipată prin amortizare vîscoasă în intervalul 0-t;

$E_Q$  = energia absorbită prin deformații plastice în intervalul 0-t.

Rezultă deci că energia totală introdusă în structură,  $E_t$ , ar trebui să fie redusă pe cît este posibil prin intermediul unor concepții corecte de proiectare.

Micșorarea energiei cu care a fost alimentată structura se poate face pe două căi :

- prin asigurarea unei astfel de legături sol structură, încît o bună parte din energie să fie predată pămîntului;

- prin introducerea în structură a unor baraje de disipare a energiei prin plastificarea unor linii cu condiția păstrării pînă în final a stabilității structurii, considerînd întotdeauna o linie finală elastică.

Se poate constata că excursiile plastice s-au dovedit a fi un excelent absorbant de energie, introdusă în structură de mișcarea seismică.

Noțiunea de ductilitate a unei structuri caracterizează capacitatea ei de a absorbi energia mecanică prin deformații plastice.

Trecerea controlată în domeniul neelastic de lucru a unei structuri cu diafragme, sub acțiunea unei încărcări seismice, este o necesitate vitală, structura putînd absorbi o cantitate din energia introdusă, aceasta ducînd implicit la atenuarea răspunsului structurii la acțiuni seismice. Totodată se poate controla voluarea avariilor produse sub acțiunea unor cutremure moderate și supraviețuirea structurii sub acțiunea unui cutremur violent.

In cele ce urmează se vor analiza factorii esențiali care

influențează ductilitatea diafragmelor.

### 3.12. Ductilitatea diafragmelor pline.

Diafragma plină este caracterizată prin zveltețe, care este raportul dintre înălțime (H) și lățimea ei (b). În funcție de acest raport depinde modul de cedare a diafragmei, avind următoarele cazuri :

$$a) \frac{H}{b} < 2,5$$

Diafragmele sunt scurte și aportul forței tăietoare este esențial astfel încât ruperea se produce în secțiunea înclinată având caracter casant.

$$b) 2,5 < \frac{H}{b} < 5$$

Aceste diafragme sunt medii și trebuie ținut seama atât de efectul momentului încovoierelor cît și de cel al forțelor tăietoare. Cea mai sensibilă zonă a acestor diafragme este baza lor. Trebuie acordată prin proiectare o atenție deosebită pentru evitarea ruperii casante datorită lunecării și eforturilor principale sub acțiunea încărcărilor alternante care reduc în mod esențial capacitatea portantă estimată prin calcul.

$$c) \frac{H}{b} > 5$$

Aceste diafragme sunt lungi, efectul momentului încovoier este predominant, dar trebuie ținut totuși seama și de efectul forței tăietoare pentru a evita ruperea casantă. Este important de remarcat faptul că diafragmele pline sunt elemente slab armate și ca urmare ruperea lor are un caracter casant.

Sub acțiunea încărcărilor alternante de intensitate ridicată, secțiunea diafragmei la baza ei se fisurează atât datorită încovoierii cît și datorită eforturilor principale.

Fisurile sunt normale pe axa elementului sau inclinate sub un unghi diferit; la anumite trepte de încărcare aceste fisuri se întâlnesc conducind la degradarea secțiunii în special în zonele de margine.

Aceste degradări conduc la reducerea capacitatei portante a elementelor prin reducerea brațului de pîrghie a caplului interior sau la dislocări, lunecări ale secțiunii de incastrire.

Pentru a evita ruperea casantă și asigurarea unei ductilități mai bune a elementului trebuie să se țină seama de principali factori care influențează ductilitatea diafragmelor.

- Pentru evitarea unei ruperi casante așteptate din efectul forțelor tăietoare, trebuie ca secțiunea periculoasă să fie astfel proiectată încât forța tăietoare intervenită cînd secțiunea de încastrare atinge capacitatea maximă prescrisă prin calcul, să fie preluată complet de armătura transversală, betonul neparticipind la preluarea forței tăietoare;
- folosirea betoanelor de calitate superioară mai ales în zona de încastrare;
- folosirea unei armături de calitate moderată care prezintă palier de curgere;
- frântarea betonului în zona încastrării diafragmei folosind etrieri închisi;
- dispunerea armăturilor din încovoiere în mai multe rînduri;
- folosirea armăturii inclinate dacă s-ar găsi o soluție de alcătuire astfel încît să nu fie impiedicat procesul tehnologic de fabricație.

### 3.13. Ductilitatea diafragmelor cu goluri.

La o diafragmă cu goluri sub acțiunea unui cutremur puternic, prima linie de plastificare se formează la capetele buiandrugilor constituind articulații plastice, urmată de plastificarea montanților la bază formînd astfel mecanismul de colaps.

Trebuie însă menționat faptul că aceste zone au în general proporțiile elementelor de structură sensibile la efectele nefavorabile ale forțelor tăietoare, forfecării, dislocării în secțiuni inclinate.

S-au efectuat multe programe experimentale privind comportarea buiandrugilor la diafragme cuplate cît și comportarea diafragmelor în ansamblu, în mai multe țări ajungîndu-se la anumite rezultate ce se vor prezenta în cele ce urmează.

Sub acțiunea încărcărilor dinamice buiandrugii diafragmei sunt obligați să se rotească și să se deplaseze de o așa manieră la capete încît plastificarea lor devine inevitabilă, formînd o sursă de absorbție și disipare a energiei cu condiția esențială ca proiectarea și alcătuirea acestor buiandrugi să fie astfel concepute și realizate încît să se formeze articulații plastice cît mai ductile (cu capacitate maximă de deformare plastică înainte de cedarea lor).

Astfel, acești buiandrugi lucrează ca niște penduli, păstrând condiția de conlucrare a montanților și ca disipatori de energie de mare capacitate, în timp ce montanții trebuie să lucreze în domeniul elastic, conferind structurii stabilitate și evitând colapsul sub acțiunea unui cutremur puternic. Performanța buiandrugilor sub acțiunea încărcărilor seismice a fost obiectul a numeroase studii teoretice și experimentale în ultimul timp /70, /71, /73, /82, /84/.

În aceste programe s-au variat dimensiunile relative în plan, procentele de armare precum și modurile de armare; elementele au fost supuse la încărcări alternate crescînd progresiv de la zero la stadiul ultim de rupere.

S-a urmărit comportarea lor și influența tuturor parametrilor asupra răspunsului la încărcări seismice provenite din secțiuni seismice.

Parametrul cel mai important este cel care ține seama de dimensiunile relative ale buiandrugilor. Din acest punct de vedere, buiandrugii se pot clasifica în :

a) buiandrugi lungi la care  $\frac{lo}{hr} \geq 2$ .

b) buiandrugi scurți la care  $\frac{lo}{hr} < 2$ .

3.13.1. Buiandrugi lungi.  $\frac{lo}{hr} \geq 2$ .

Capacitatea portantă a acestor elemente poate fi calculată folosind teoria elementelor liniare încovoiate. Datorită încărcărilor alternante, aceste elemente se armează la încovoiere, simetric. Capacitatea maximă a secțiunii se calculează cu următoarea relație:

$$M_C = B \cdot b \cdot h^2 \cdot R_C \quad (3.82)$$

unde : B depinde de marca armăturii și betonului precum și de procentul de armare, nedepășind valoarea de 0,5;

b, h - sunt lățimea secțiunii buiandrugului respectiv înălțimea sa;

$R_C$  - rezistența betonului de calcul la compresiune.

Pe de altă parte forța tăietoare preluată de beton prevăzută prin STAS 1CIC7/3-76 este :

$$Q_b = \frac{0,8 \cdot b \cdot h^2 \cdot R_t}{\lambda_i} \sqrt{\mu \%} \left( 1 + \frac{Q_b}{M} \right). \quad (3.83)$$

Unde :  $R_t$  este rezistența betonului la întindere, și este proporcională cu rezistența la compresiune.

fisurii inclinate pe orizontală;

$\mu$  este procentul de armare;

$Q, M$  - sunt forța tăietoare în secțiunea de încastrare a buiandrugului respectiv momentul încovoietor în aceeași secțiune.

Valoarea maximă a forței tăietoare preluată de beton pentru buinadrugii lungi cu procent de armare longitudinal moderat ( $1 - 1,2 \%$ ) fiind :

$$Q_{bmoy} \approx 26 \cdot h_0 \cdot R_t$$

(3.84)

Rezultatele experimentale /82/ /70/ /18/ au arătat faptul că buinadrugii supuși la încărcări alternante de mare intensitate fisurează la marginile zonelor de încastrare, astfel că fisurile străbat toată secțiunea de încastrare ajungîndu-se la situația ca forța tăietoare să fie preluată de armătura longitudinală, de interacțiunea dintre agregate precum și prin rezistență la forfecare a agregatelor. La fiecare ciclu de încărcare - descărcare se produce o lunecare locală între cele două fețe ale unei secțiuni fisurate astfel încât reînchiderea fisurii nu se mai face perfect, conducînd la concentrări de eforturi și în consecință, la degradări succesive, în secțiunile periculoase producîndu-se inevitabil o rupere casantă prin alunecare. Această fisură normal dezvoltată, care provoacă ruperea prin alunecare, este paralelă cu strierii astfel încît strierii ies brusc din lucru, conducînd la o rupere accidentală care se produce înainte de atingerea capacitatii maxime a elementului și de atingerea ductilității cerute. Deci epuizarea capacității maxime și a ductilității secțiunii, prin participarea betonului cît și a armăturii transversale la preluarea forței tăietoare, nu se obține. Pentru evitarea ruperii parțiale prin lunecare, se recomandă ca forța tăietoare maximă corespunzătoare limită de curgere să fie preluată de strieri. Deci procentul de armare transversală minim ( $P_t = A_e/b \cdot a$ ) satisface această relație:

$$P_t \geq \frac{Q_{max} \cdot 100}{b \cdot R_o \cdot S_i} \quad (3.85)$$

unde :  $Q_{max}$  este forța tăietoare maximă corespunzătoare atingerii limitei de curgere în secțiunea de încastrare a buinandrugului.

Se menționează că în momentul în care armătura transversală începe să curgă deformîndu-se în mod continuu, nu se mai poate impiedica ruperea prin alunecare, limitîndu-se ductilitatea elementului.

Pentru evitarea fenomenului de rupere casantă prin ulucare, se prevede limitarea procentului de armare longitudinală a buiandrugilor, astfel încât forța tăietoare să nu depășească valoarea de  $2 b h_o R_t$ . Dacă se respectă această condiție elementul poate să atingă, mai întîi, limita de curgere în armătura întinsă, în secțiunea de încastrare, fără ca să se producă ruperea prin forță tăietoare în secțiunea înclinată.

$$P_{long} \leq \frac{R_t \cdot l_o \cdot 100}{R_a(h_o - d)} \quad (3.86)$$

### 3.13.2. Buiandragi scurți avînd raportul $l_o/h_r < 2$ ,

Dat fiind raportul, în general redus între lungimea  $l_o$  și înălțimea  $h_r$  a buiandrugului, comportarea acestuia nu mai respectă teoria elementelor încovoiate liniare.

In lucrarea /24/ se asemănă comportarea acestor buiandragi cu cea a unor console scurte. Armarea lor la încovoiere se face ca și la elementele încovoiate avînd momentul încovoiator maxim de calcul în secțiunea de încastrare teoretică.

Armarea lor la eforturi principale se face cu relațiile pentru console scurte, în acest caz, admitîndu-se înlocuirea barelor de armătură inclinate, cînd acestea rezultă ca necesare, cu bare orizontale intermediare, dispuse între armăturile de la partea inferioară și superioară a secțiunii buiandrugului.

Secțiunea barelor de armătură orizontale intermediare se determină cu relația :

$$A_{oi} = \frac{Q_{max} \cdot l}{5h_o \cdot R_a} \quad (3.87)$$

Tinînd seama de concentrările de eforturi care se produc în buiandrugi, se recomandă limitarea mărimii forței tăietoare în buiandrugi, astfel încît această valoare să nu depășească  $2bh_o R_t$ .

Este important de menționat că considerarea buiandrugilor ca console scurte are un caracter apreciativ, mai ales admiterea înlocuirii barelor inclinate, cu bare orizontale, datorită lipsei datelor suficiente care confirmă această ipoteză.

Concluzia esențială pe care trebuie să o menționăm este efectul mare al forței tăietoare asupra comportării acestor buiandragi.

Din observațiile efectuate pe buiandrugii unor construcții care au suferit în urma unor cutremure naturale / 17 / , / 40 / , / 102 /, cît și din rezultatele experimentale obținute / 70 / , / 82 / s-a putut constata că ruperea buiandrugilor scurți neavînd armătură transversală suficientă se produce după diagonala principală împărțind grinda în două console triunghiulare. Apariția unei astfel de ruperi casante la o structură cu diafragme este nefericită conducînd la avarii explozive fără nici un aviz și ca urmare la pierderi materiale și umane mari ceea ce nu este permis.

Dacă acest mecanism de cedare al buiandrugilor ar putea fi eliminat, structura ar căpăta o rezistență suficientă cît și o ductilitate adecvată pentru a absorbi cantitatea de energie provenită din acțiunea seismică limitîndu-se pagubele materiale din acțiunea cutremurilor moderate și obținîndu-se o supraviețuire ai ei la acțiunea cutremurilor puternice.

Deci la buiandrugii avînd armătură tradițională (longitudinală și etrieri), forța tăietoare trebuie să fie preluată în întregime de armătura transversală îndeplinîndu-se relația (3.85) iar procentul de armare longitudinal al buiandrugilor trebuie să fie limitat conform relației (3.86).

Pentru îmbunătățirea performanței buiandrugilor scurți T. Paulay / 70 / , / 74 / , / 81 / , / 82 / a inventat un mod de armare și anumite așezarea armăturii care preia atît momentul încovoietor cît și forța tăietoare, pe diagonalele principale ale buiandrugilor.

Pe baza programelor experimentale care s-au efectuat privind comportarea acestor buiandrugi cu armătura dispusă pe diagonală, sub acțiunea încărcărilor alternante, variind de la zero la valoarea de rupere și comparînd-o cu a buiandrugilor asemănători cu armătură longitudinală și etrieri, s-a ajuns la următoarele concluzii :

a) ductilitatea buiandrugilor cu armătura diagonală este mult mai mare decît a buiandrugilor cu armătură longitudinală și etrieri și avînd aceleasi caracteristici;

b) degradarea lor este mult mai redusă, în comparație cu același element avînd armătură longitudinală și etrieri sub același încărcări alternante;

c) capacitatea de absorbție a energiei de către elementele cu armătură în diagonală este mult mai mare decît a elementului cu armătură longitudinală și etrieri;

d) deformațiile din lunecare ale elementelor cu armătura în diagonală sunt mult mai mici decât cele ale elementelor cu armătură longitudinală și etrieri;

e) pierderea de rigiditate a elementelor cu armătură în diagonală este mult mai mică decât a elementelor cu armătură longitudinală și etrieri și având aceleasi caracteristici;

f) avariile produse pe elemente având armătura în diagonală - cînd ating stadiile de rupere - sunt mult mai mici decât cele ale elementelor cu armătură conventională și având aceleasi caracteristici;

g) există o dificultate legată de execuția elementelor cu armătura în diagonală privind compactarea betonului mai ales în partea inferioară a buiandrugilor. Această problemă se rezolvă prin alegerea adecvată a aşezării armăturii diagonale precum și a proprietăților betonului;

h) sub acțiunea încărcărilor alternante, armătura în diagonală care a depășit limita de curgere (la întindere) ar flamba dacă ar fi supusă la compresiune (în ciclul următor). De aceea ea trebuie să fie susținută de niște etrieri dispuși la distanțe adecvate (se recomandă la buiandrugii scurți armarea în diagonală cu stîlpisori cu etrieri închiși).

Acest fenomen s-a observat la modelele încercate, însă nu constituie un factor esențial care să ducă la pierderea stabilității buiandrugilor, mai ales la elementele reale, datorită conlucrării planșeului cu diafragma.

Modul de calcul al buiandrugilor având armătura în diagonală :

- capacitatea portantă a acestor buiandrugi se deduce din ecuațiile de echilibru.♦

Din figura 3.19 se poate scrie :

$$Q_{max} = 2A_Q \cdot R_Q \cdot \sin \alpha \quad (3.88)$$

Momentul înlăuțitor  $M_{max}$  se calculează cu relația :

$$M_{max} = A_Q \cdot R_Q \cdot l_0 \cdot \sin \alpha. \quad (3.89)$$

### 3.13.3. Ductilitatea montanilor.

Montanii diafragmăi sunt în general elemente structurale având dimensiuni relativ neobișnuite. Aceste elemente sunt expuse simultan la combinații între cele trei tipuri de încărcări, ad-

mentul încovoietor - forță axială și forță tăietoare. Această interacțiune  $M - N - Q$  pînă în prezent este puțin cunoscută.

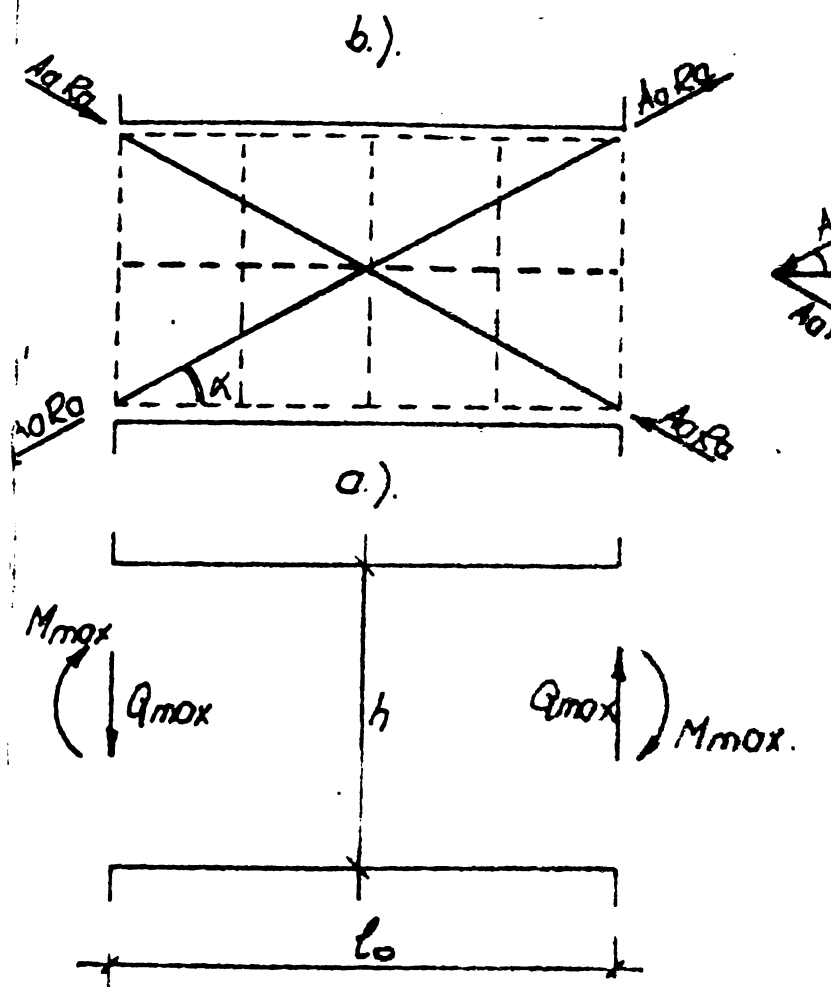


Fig. (3.19).

Forța tăietoare la aceste elemente are un efect foarte periculos, conducînd la o rupere casantă, nepermîtînd secțiunii să se deformeze plastic.

Sub acțiunea încărcărilor alternante progresive, fisurile normale cît și celelalte se dezvoltă pe toate marginile zonei de incastrire ducînd în final la unirea lor, ceea ce are ca efect reducerea considerabilă a participării betonului la prilejarea eforturilor principale.

Pe de altă parte deschiderea și reîn-

chiderea imperfectă și succesivă a fețelor secțiunilor fisurate, datorită lunecării relative locale în cursul încărcării progresive conduce la degradarea progresivă a acestor secțiuni, la reducerea capacitatei portante a montanților prin reducerea brațului de pîrghe a cuplului interior / 23 / 24 / 182 /.

Deci pentru evitarea acestor ruperi casante, armătura transversală la baza montanților trebuie să preia toată forță tăietoare maximă corespunzătoare atingerii diafragmei mecanismului de colaps (înînd senza și de creșterea suplimentară a capacitații portante a montanților, fiind elemente slab armate, datorită intrării armăturii longitudinale în zona de consolidare).

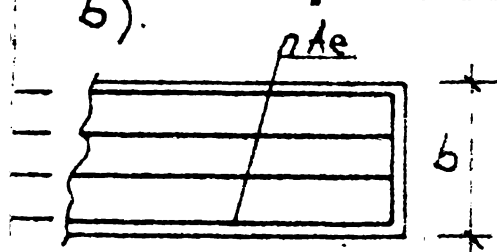
Pe baza experimentelor efectuate cît și a observațiilor

pe diafragme care au avut de suferit în urma cutremurilor naturale, s-a remarcat dezvoltarea fisurilor inclinate la baza diafragmelor cu unghiuri mai mici de  $45^\circ$  datorită variației continue a raportului  $(M/N)$ , ceea ce a condus ca, în realitate, numărul strierilor care intersectează o fisură înclinată să fie mai mic decât cel prescris prin calcul.

Folosirea unei cantități suficiente de armătură transversală conduce la îmbunătățirea curbei caracteristice a betonului ( $\bar{V}-\varepsilon$ ) datorită frecării betonului cu strierii.

In lucrarea /28/ se propun relații experimentale pentru evaluarea creșterii rezistenței betonului la compresiune și deformabilității ultime datorită frotării obținute din armătura transversală astfel :

b). Cresterea rezistenței la compresiune :



$$R_f = R_c [1 + 0,5 \rho_e \%] \quad (3.90)$$

în care :

$$\rho_e \% = \frac{n A_e 100}{b \cdot a} \cdot R_a \quad (3.91)$$

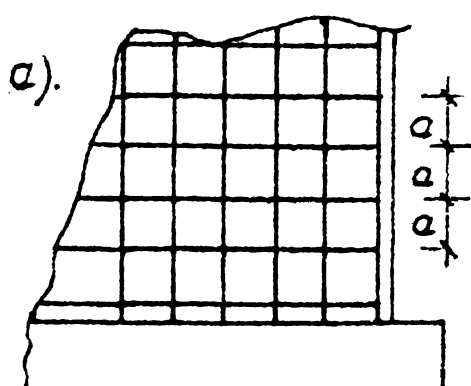


Fig. (3.20).

unde  $R_c$  este rezistența de calcul la compresiune a betonului.

Cresterea deformabilității ultime :

$$\varepsilon_f = \varepsilon_b [1 + \sqrt{\rho_e \%}] \quad (3.92)$$

unde  $\varepsilon_b$  este deformația specifică de calcul a betonului.

La acțiunile încărcărilor orizontale alternante în montanții diafragmelor apar solicitările  $\pm N$ ,  $\pm T$ ,  $\pm N$  care produc eforturi ce se suprapun peste eforturile din încărcările verticale existente în diafragme în timpul exploatarii lor.

Avariile care pot apărea în montanții reflectă în mare măsură preponderența unei anumite solicitări.

Cel mai frecvent întâlnită sunt montanții zwilgi simetrii ( $M/N \geq 2,5$ ) la care efectul predominant îl are încovoiarea.

Avariile caracteristice în acest caz constă în formarea articulațiilor plastice la baza montanților. Aceste articulații își conservă individualitatea și capacitatea de rotire ductilă

$$\% P_t \geq \frac{n A_e}{a \cdot b} 100 \quad (3.95)$$

-  $s > 0,5$  ductilitatea este foarte mică și trebuie să se iei în considerare diafragma.

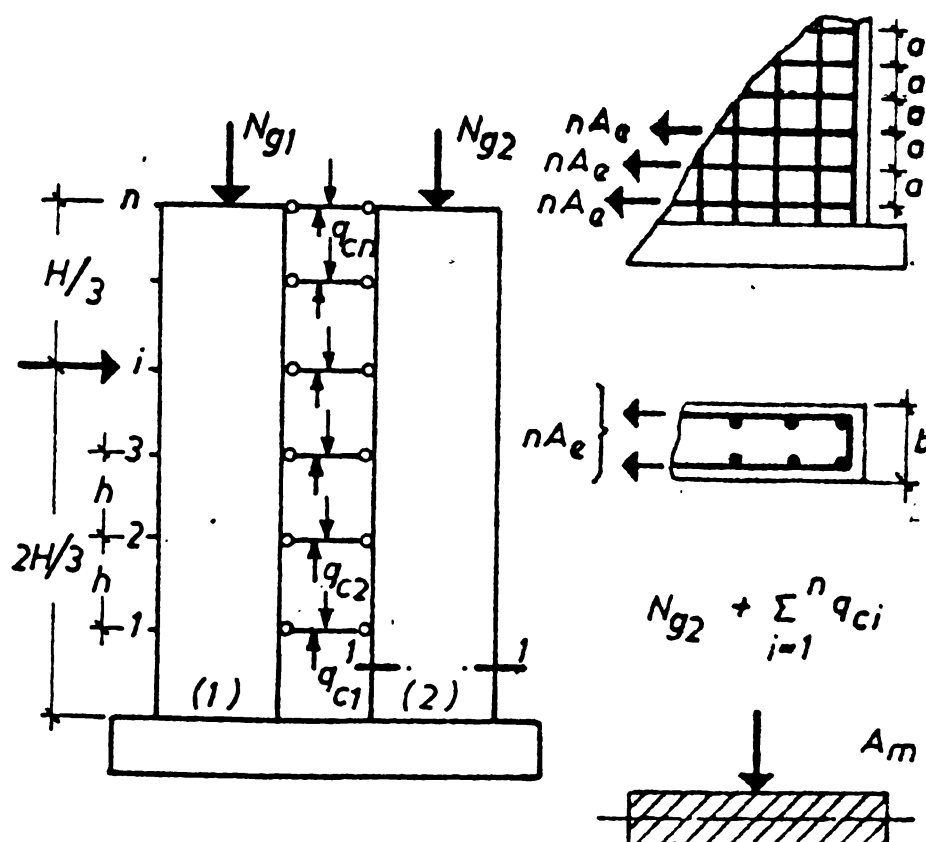


FIG. 3.22

toare maximă generată de încărcările exterioare la baza montantului corespunzătoare stadiului ultim al diafragmei.

Diafragmele fiind slab armate, pentru a evita o degradare locală pronunțată la marginile bazei montantilor, sub acțiunea încărcărilor alternante mari, se recomandă dispunerea armăturii longitudinale pe mai multe rânduri.

#### 3.13.4. Ductilitatea diafragmei în ansamblu.

Ductilitatea unei diafragme este caracterizată prin factorul de ductilitate care este definit ca raportul dintre săgeata maximă la vîrful diafragmei cînd se atinge stadiul ultim de ruperi și săgeata de curgere, cînd cel mai solicitat uiandrug atinge limita de curgere.

b) Evitarea unei ruperi casante datorită forței tăietoare.

Acest lucru se poate realiza prin punerea condiției că forța tăietoare maximă care apare la baza diafragmei în stadiul ultim să fie integral preluată de armătura transversală (fig. 3.23).

$$nA_e R_a \frac{s_i}{a} = Q_{max} \quad (3.96)$$

unde  $s_i$  este proiecția pe verticală a fizurii inclinate;

$Q_{max}$  este forța tăietoare maximă.

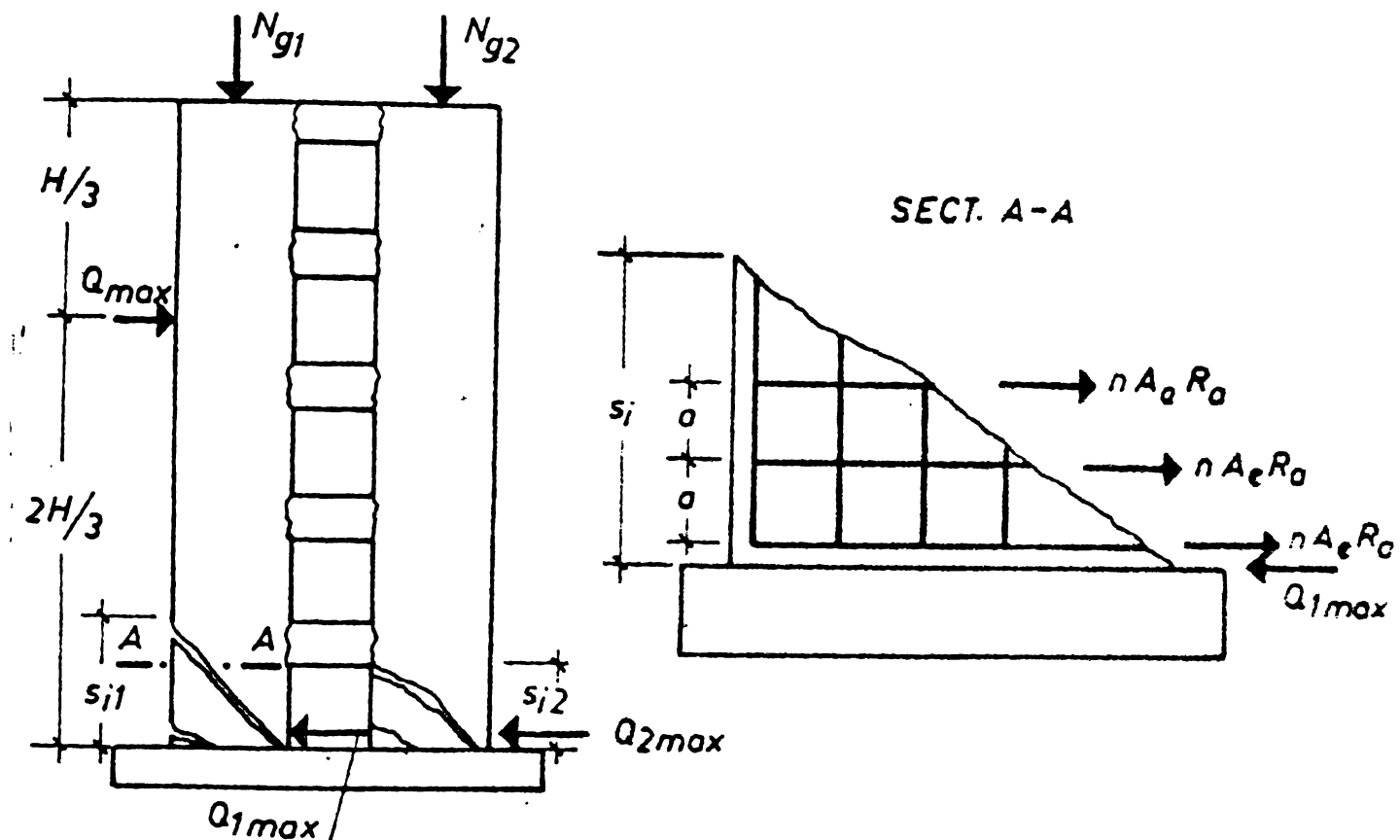


FIG. 3.23

Pentru scopuri practice se consideră o diafragmă ductilă dacă are coeficient de ductilitate  $\geq 4$ , ceea ce impune ca buiandrugii să aibă un factor de ductilitate  $\geq 10$ .

Rezultatele programelor experimentale / 18 / / 20 / / 22 / au arătat că acest factor este obținut la buiandrugii lunghi cu armătură longitudinală și strieri, iar la buiandrugii cu armătura în diagonală, s-a obținut un factor de ductilitate mai mare decât 16, ceea ce arată performanța superioară a diafragmelor cu buiandrugi cu armătura în diagonală, în comparație cu cele cu buiandrugi cu armătură longitudinală și strieri / 21 / sub acțiunea încărărilor alternante.

#### 4. PROPUNERI DE PREVEDERI PRIVIND ALCATUIREA STRUCTURILOR

##### CU DIAFRAGME REALIZATE MONOLIT DIN BETON ARMAT IN SIRIA

###### 4.1. Prevederi cu caracter general privind alcătuirea diafragmelor.

Structurile etajate din diafragme, deși prezintă o gamă foarte variată de forme, constituie o categorie distinctă de construcții, având trăsături comune.

Din cauza numărului mare de tipuri și forme, elaborarea unor principii de alcătuire, apare dificilă. Totuși, datorită faptului că sunt caracterizate printr-o conformare similară, ele se pot încadra în niște principii generale de alcătuire. În aplicarea acestor principii trebuie să se țină seama și de cerințe de ordin funcțional, estetic, tehnologic și de confort, care duc la rezultate diferite. În această situație, proiectantul este pus în față cu concesii.

Soluțiile cele mai economice și rationale se obțin prin sigurarea continuității pe verticală a diafragmelor începînd de la fundații și pînă la ultimul nivel chiar o decalare foarte mică, de ordinul centimetrelor, este total nerecomandabilă. În cazul în care o decalare a planului diafragmei este absolut necesară, diafragma nivelului superior se consideră ca o grindă perete, ce se desarcă pe alte elemente verticale, diferite de diafragma inferioră (fig.4.1).

Comportarea diafragmei la sarcini verticale nu este neîncăzătă, esențial, de golurile pentru uși și ferestre, dacă acestea se suprapun; odată cu decalarea acestor goluri apar importante concentrări de eforturi, atât sub acțiunea sarcinilor verticale cât și a celor orizontale (fig.4.2).

Fenomenul de concentrare a eforturilor se accentuează prin suprimarea totală a unor pereti portanți la nivelul parterului și înlocuirea lor cu stîlpi (structura cu parter elastic) (fig.4.3).

O îmbunătățire a comportării zonei de la baza diafragmei se realizează prin prelungirea stîlpilor de la ultimul nivel elastic la primul nivel rigid. Datorită sarcinilor orizontale, în zonele de variație bruscă a rigidității (capetele stîlpilor nivelului elastic) se produc eforturi principale cu valori deosebite de mari. Valoarea sporului de forță tăietoare, care trebuie luat în considera-

erare la calculul stălpilor nivelului elastic, este o problemă insuficient clarificată; se recomandă o sporire a forței tăistoare de calcul cu cel puțin 100%.

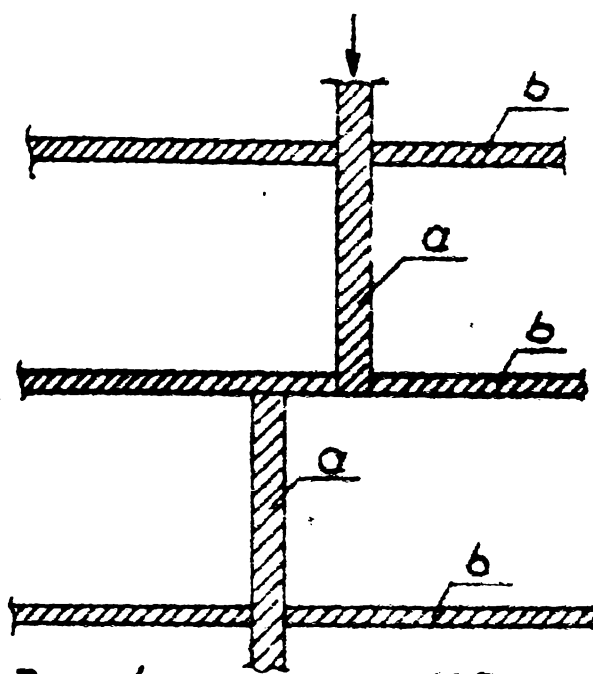


fig.(4.1). Decolarearea nepermisă a planului acțiune a diafragmelor. a.-diafragma b.-planșeu

Prin mărirea numărului de nivele elastice, sau prin menținerea unor diafragme la nivelul parterului, de obțin reduceri ale concentrărilor de eforturi. De obicei aceste diafragme sunt dispuse în jurul casii scării.

Se recomandă ca centrul de rigiditate al elementelor verticale de la parter să corespundă, sau să nu difere mult de centrul ansamblu. Golurile pentru uși sau ferestre e bine să se suprapună, eventual decalaje să nu depășească 30 cm (fig.4.4). Dispunerea golurilor pe același verticală, asigură o bună transmitere a lor cărărilor. Soluția este necesară săi

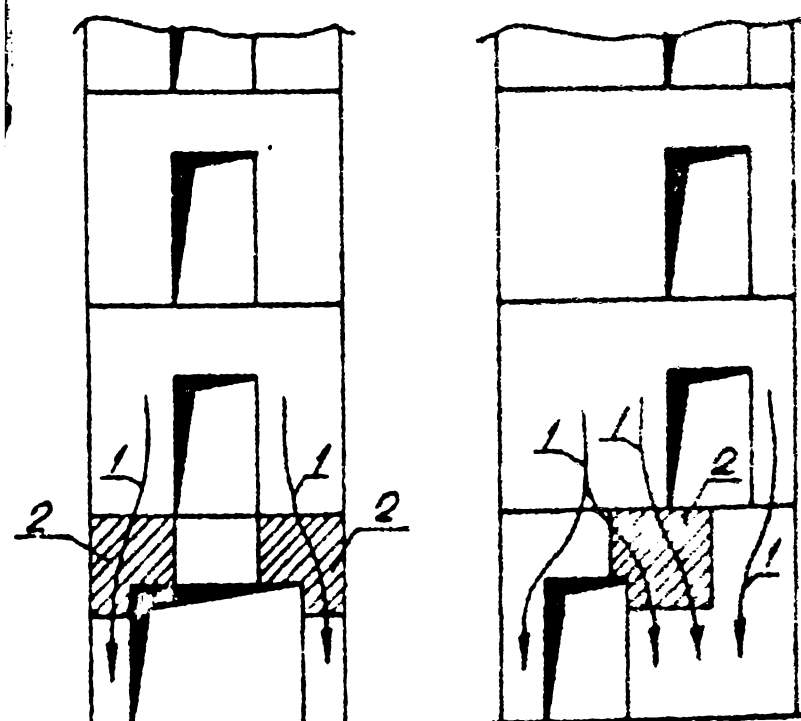


fig.(4.2). Scurgerea eforturilor în diafragme cu uși. a. gol mare la primul nivel  
b. gol decalat la primul nivel  
linii de scurgere a efortului.  
zone avind concentrații de eforturi

ales la structurile cu multe niveluri, la care eforturile unitare de compresiune au valori importante. Se recomandă ca rigiditățile de ansamblu ale structurii după cele două direcții să fie de valori apropiate, și diafragmele ce asigură contravîntuirea construcției trebuie dispuse în consecință.

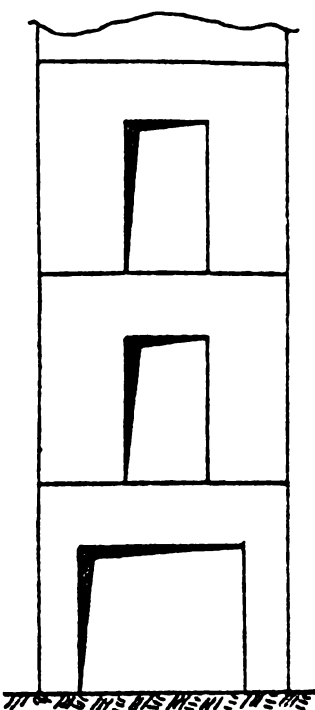


Fig.(4.3). Diafragme rezemate pe stîlpi.

Dispunerea în plan a diafragmelor este bine să fie concepută astfel, încât centrul de rigiditate al fiecărui nivel să corespundă cu centrul de greutate al masei nivelului respectiv. Necorespondența celor două puncte dă naștere, în cazul acțiunilor laterale, la efecte de torsion ce solicită suplimentar diafragmele, în special pe cele perimetrale. Pentru a evita acest fenomen, construcția se fragmentează în tronsoane prin

practicarea de rosturi. În cazurile cînd nu se poate evita apariția unei excentricități importante, este indicat să se asigure disponerea unor diafragme la distanțe suficient de mari. În acest fel, torsionea generată este preluată în cea mai mare parte prin cuplurile rezistente formate din aceste diafragme, forțele suplimentare ce le revin fiind cu atît mai reduse cu cît cresc distanțele lor pînă la centrul de greutate al structurii (fig.4.5).

La alcătuirea unei structuri, trebuie să se evite utilizarea unor diafragme sau elemente de diafragmă suprascalitate, a căror rezistență condiționă stabilitatea întregii construcții (fig.4.6).

Se recomandă ca diafragmele să fie dispuse, în plan, la

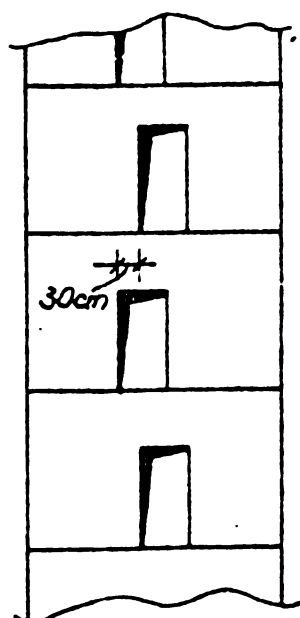


Fig.(4.4). Decolare o admisă a pozitiei golurilor la diafragme.

rente de diafragmă suprascalitate, a căză stabilitatea întregii construcții (fig.4.6).

distanțe egale după ambele direcții principale. Trebuie să se acorde o atenție deosebită conformației, ancorării și leziunilor diafragmelor care preiau forțe orizontale importante.

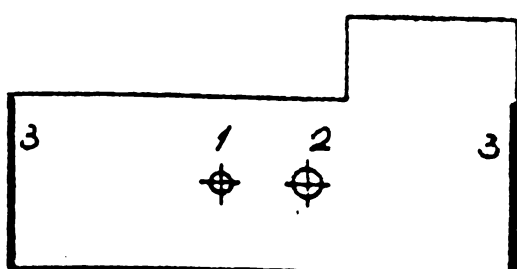


Fig.(4.5). Structura solicitată la torsionare generală.

1. centrul masic.
2. centrul de greutate.
3. diafragme avind poziție favorabilă pîr. prelarea torsionii

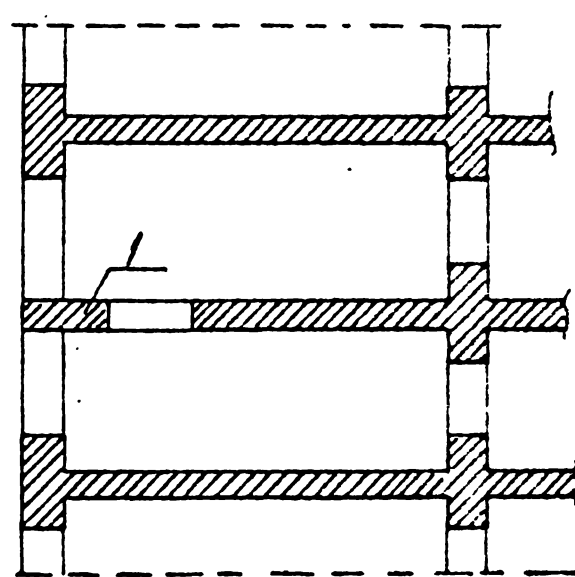


Fig.(4.6). Montaj de diafragmă cu goluri, puternic încărcat (1).

Se vor evita diafragmele pline sau montanții diafragmelor cu goluri în care sub acțiunea încărcărilor verticale permanente, apar eforturi uniare de compresiune cu valori mari în comparație cu elementele învecinate, deoarece capacitatea lor de a prelua solicitări suplimentare provenite din încărcările orizontale este redusă. Pe de altă parte, elementele verticale puternic încărcate, au deformații mai mari decât elementele învecinate, rezultînd solicitări importante în elementele orizontale de legătură, care ar trebui să fie solicitate numai de încărcările orizontale.

Transmiterea sarcinilor orizontale la diafragmele verticale se realizează prin șaiba orizontală formată de planșe. La

structurile cu diafragme dese de tip fagure, solicitările în golurile orizontale sunt mici. La structurile cu diafragme rare, sau la structurile cu diafragme intrerupte la unele niveluri, apar transferuri de forțe orizontale pe distanțe relativ mari ceea ce conduce la solicitări importante în șaiba și diafragme. De aceea se limitează distanța maximă între diafragme la maximum 15 m.

La structurile cu diafragme din beton armat, apar eforturi

nterioare și datorită variațiilor de temperatură și contractiei troncului, de care trebuie să se țină seama la proiectare. Este important să se diminueze aceste eforturi prin măsuri privind alătuirea generală a structurii.

In acest sens, o prevedere importantă este micșorarea distanței între rosturi. Se limitează lungimea tronsoanelor între două rosturi la 30 m și recomandă prevederea unei armări generale a diafragmelor cu sporirea procentului de armare în zonele mai puțernic influențate de acțiunea temperaturii și contractiei.

La amplasarea diafragmelor de contravîntuire longitudinale trebuie să se aibă în vedere că aceste elemente, având o rigiditate foarte mare, reprezintă zone practic nedeplasabile ale structurii, iar la apariția unor deplasări datorită contractiei și variațiilor de temperatură, aceste diafragme pot constitui puncte fixe. In cazul amplasării diafragmelor numai spre una din extremitățile tronsoanelor (fig.4.7a) apar deplasări și deci și solici-

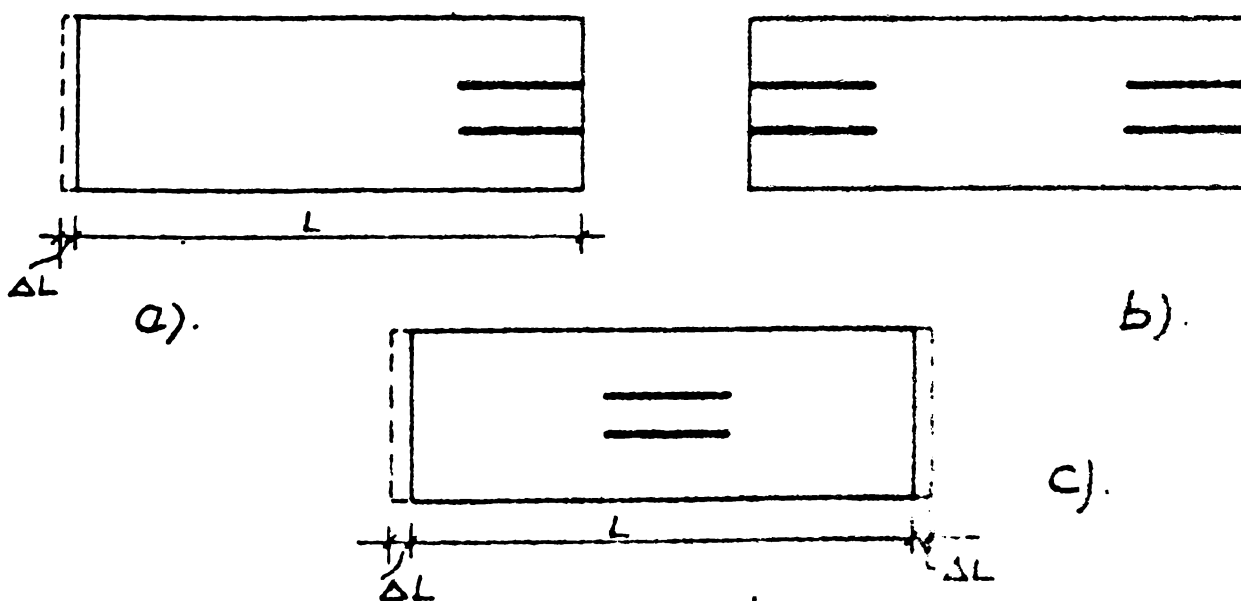


Fig. (4.7). Dispoziția diafragmelor longitudinale în construcție. a; b - poziții norecomandabile; c - poziție recomandabilă.

ri importante în extremitatea opusă. Amplasarea unor diafragme rigide la ambele extremități ale troncului introduce solicitări interne atât în plancele cât și în diafragmele respective (fig. 7b). O rezolvare favorabilă se obține prin aşezarea diafragmelor

de contravîntuire longitudinale în zona centrală a tronsonului (fig.4.7c).

#### 4.2. Prevederi constructive privind alcătuirea diafragmelor monolite de beton armat.

Prevederile constructive pentru alcătuirea diafragmelor monolite de beton armat sunt impuse pentru satisfacerea unor necesități rezultate din crearea posibilităților de execuție corectă a elementelor de construcție și asigurarea unei capacitați portante minime.

In cele ce urmează sunt indicate prevederile de ordin constructiv pentru tipurile de structuri cu diafragme monolite.

##### 4.2.1. Dimensiunile geometrice ale diafragmelor.

Grosimea curentă a diafragmelor din beton se alege de 15 - 20 cm. In zonele de capăt (la fațade) diafragmele se pot termina fără îngroșări. Folosirea diafragmelor fără bulbi se limitează în structurile cu solicitări reduse și medii. Bulbii realizează un spor de secțiune, în zonele în care apar concentrări de eforturi din acțiunea încărcărilor orizontale și verticale. Pentru execuție, bulbii crează unele dificultăți, dacă se utilizează cofraje plane, motiv pentru care, cind este posibil trebuie evitați, sau să se alegă procedee tehnologice adecvate.

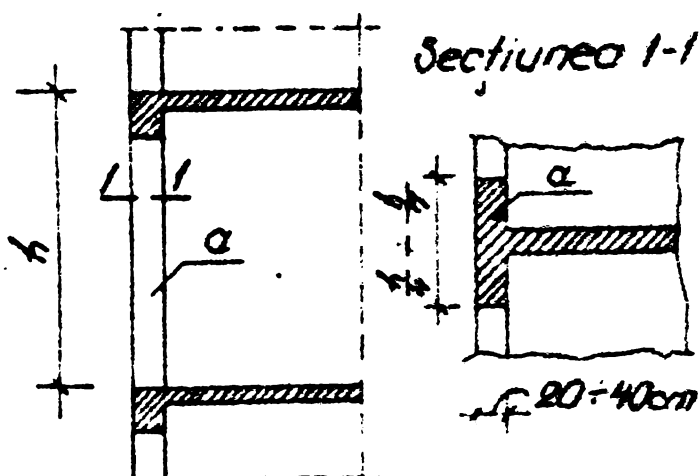


Fig. (4.8). Conformatia bulbilor(a) de la capetele diafragmelor.

Cofrurile amplasate în apropierea capătelor de diafragme pot crea spații cu secțiune redusă. Înțind seama de concentrările de eforturi ce se produc în zonele de capăt, se recomandă ca

lățimea bulbilor variază de obicei între 1/7 - 1/4 din lățimea etajului iar grosimea lor de 20-40 cm (fig.4.8).

Portiunea de diafragmă situată între două goluri de uși este recomandabil să aibă o lățime de minimum 50 cm (fig.4.9a).

lățimea acestor spații să nu coboare sub 75 cm (fig.4.9b).

#### 4.2.2. Armarea diafragmelor

##### 4.2.2.1. Armătura constructivă. În zonele în care calcu-

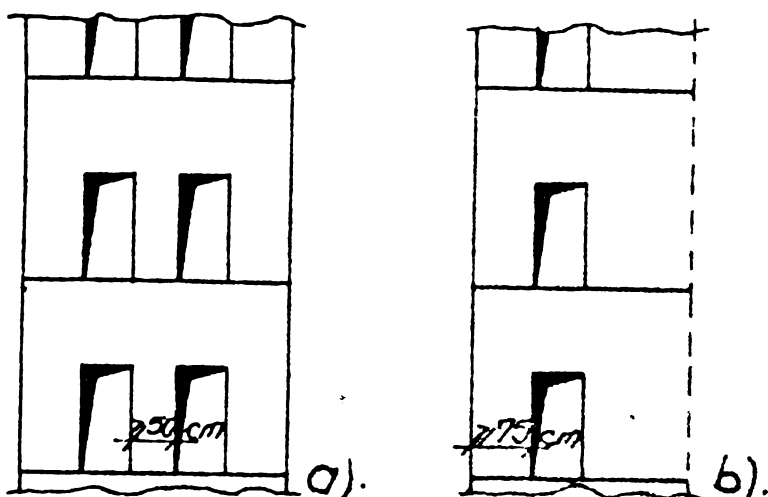


Fig.(4.9) Dimensiuni minime recomandate pentru montanți: b-montant de margine  
a-montant intermedian

lul nu indică necesitatea prevederii unor armături de rezistență, diafragmele se armează cînstructiv. Armăturiile constructive sunt menite să preia, parțial sau total, eforturile de întindere care apar local, limitînd deschiderea fisurilor și asigurînd continuitatea diafragmei în zonele fisurate.

Armăturile constructive se prevăd pentru următoarele solicitări :

- împiedicarea, de către fundație, a deformațiilor din contractia betonului, la nivelurile inferioare ale clădirii;
- împiedicarea parțială a deformațiilor din contractia betonului de către planșecele intermediare;
- împiedicarea, de către diafragmele verticale, a dilatării planșeului terasei, expus direct însoririi în perioadele de vară;
- diferența de deformație între betoanele diafragmelor exterioare și interioare, datorită diferenței în regimurile lor de umiditate, temperatură și expunere la însorire;
- diferențele de deformație între montanți și zonele de diafragme cu eforturi unitare de compresiune diferite, datorită înăcrăcîrîlor inegale.

##### a) Armarea curentă a diafragmelor.

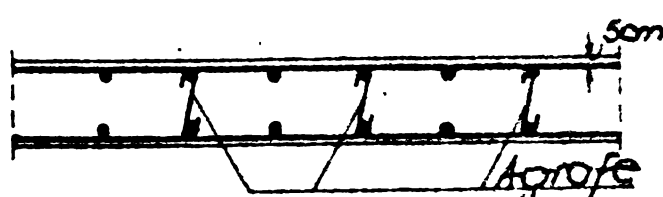
În legătură cu armarea diafragmelor de beton există, pînă în prezent, două opinii diferite.

- i) - Prevederea unei armături locale, restul cîmpului diafragmei rămînînd nearmat (fig.4.10).
- ii) - Prevederea unei armături continue duble pe toată suprafața diafragmei (fig.4.11).

i)- Este important de menționat că experiența aplicării armării discontinue, arată că în cursul explorației apar un număr mare de fisuri în zonele de beton nearmat, datorită contractiei și variațiilor de temperatură. S-a considerat că aceste fisuri sunt nepericuloase. Problema influenței acestor fisuri asupra capacitatei portante a diafragmelor, în cazul unor solicitări suplimentare, rămâne deschisă datorită lipsei datelor experimentale și soluției teoretice corecte.

*Fig. (4.10). Armarea discontinuă fără centuri intermedioare a diafragmelor.*

Folosirea armării discontinue e recomandată la structurile cu solicitări reduse, soluția având avantajul unui consum redus de oțel și a compactării mai bune a betonului.



*Fig. (4.11). Secțiune orizontală printr-o diafragmă armată cu rețea dublă.*

Armarea discontinuă se realizează pe verticală cu stîlpisori alcătuși din 4-6 bare cu diametrul minim de  $\varnothing 8 - \varnothing 10$ , dispusi la

o distanță de 2 - 2,5 m. Pe orizontală, în afara centurilor de la nivelul planșelor, se prevede o centură intermedie de cel puțin 2  $\varnothing 10$ , reducind astfel suprafața nearmată a diafragmelor.

ii)- Performanța acestui tip de armare este superioară armării discontinue datorită reducerii fisurilor de contractie și a unei mai bune posibilități de preluare a eforturilor unitare principale.

Se obține un consum mai mare de oțel și o compactare mai slabă datorită plaselor de armătură care stinjenesc vibrarea.

Soluția de armare continuă se recomandă la diafragme cu solicitări mari, sau la cele așezate pe terenuri cu un grad ridicat de compresibilitate. Armarea continuă se recomandă în următoarele zone ale diafragmelor :

- nivelurile inferioare - primul nivel la clădirile pînă la 5 niveluri, primele două niveluri la clădirile cu

5-10 niveluri, și primele n=8 niveluri la clădirile cu mai mult de 10 niveluri;

- ultimul nivel;
- montanții de dimensiuni reduse - mai înguști de 75 cm.

Armarea continuă se realizează cu două plase. În fiecare plană, barele orizontale se agază spre exteriorul secțiunii, iar cele verticale spre interior. Cele două plase sunt legate între ele cu agrafe Ø 6, cel puțin 6 bucăți pe  $m^2$ .

In zonele unde armarea curentă este constructivă, se recomandă să se respecte procentele minime de armare de mai jos :

- în cazul armării cu bare independente, armătura verticală va fi cel puțin Ø 6/35, iar cea orizontală Ø 6/25; procentele minime de armare vor fi 0,10 și respectiv 0,15%;
- în cazul armării cu plase sudate, armătura minimă va fi după ambele direcții Ø 6/20; procentele minime de armare vor fi 0,08 și respectiv 0,13%.

b) Armarea intersecțiilor de diafragme.

Datorită rigidității sporite, în aceste zone apar concentrări de eforturi pentru care se prevede o armare suplimentară formată din bare verticale și etrieri orizontali (fig.4.12). În

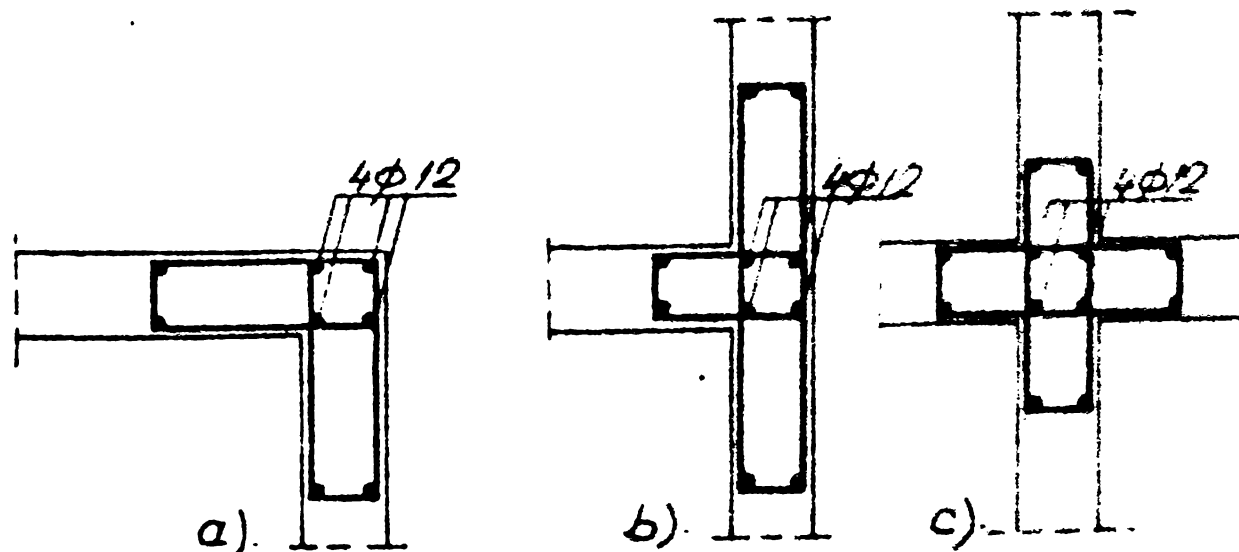


Fig. (4.12). Intersecții de diaframe în formă de L, T și + cu armare discontinuă.

cazul armării continue cu bare independente, se poate renunța la etrierii orizontali, barele verticale fiind susținute de piese. Armăturile verticale vor fi cel puțin  $4 \phi 12$  (fig.4.13).

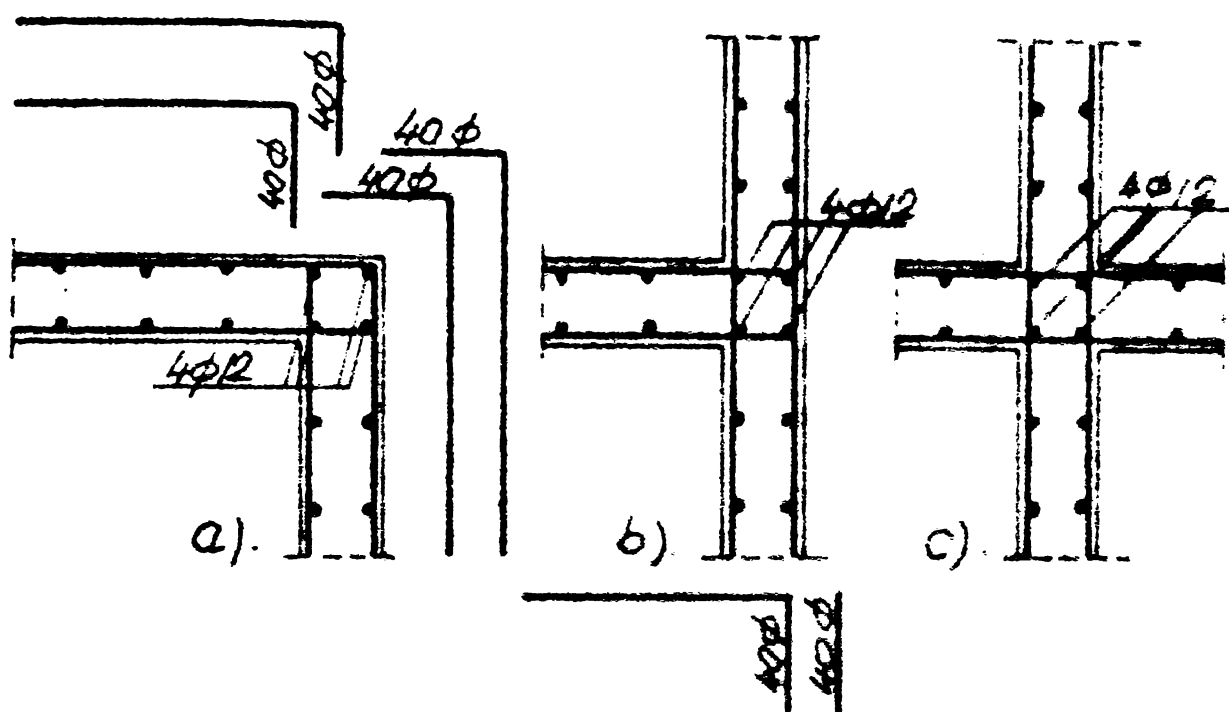


Fig. (4.13). Intersecții de diafragme în formă de L, T și + cu armarea cu rețea din bare independente

In cazul armării continue cu plase sudate, legătura dintre plasele peretilor se face prin intermediu unor carcase și cărora etrieri din  $\phi 6$  se suprapun cu barele plaselor. Barele verticale ale carcaselor vor fi cel puțin  $\phi 10$ .

La armarea discontinuă, intersecțiile se vor arma tot cu carcase ce respectă aceleși prescripții ca în cazul armării continue cu plase sudate.

### c) Armarea capetelor de diafragme.

Capetele diafragmelor prezintă concentrări de eforturi datorită modului de descărcare al planșelor, a reacțiunilor terenului și a acțiunii sarcinilor orizontale. Prevederea, în aceste zone, a armării, îmbunătățește comportarea locală și generală a diafragmelor.

In capatul capelor de diafragme cu îngroșări (bulbi), armarea se va face cu un procent de minim  $0,45$  din aria balonului (fig.4.14a), în timp ce armarea capelor fără bulbi se va face cu un procent de minim  $0,65$  din aria unei armeze (fig.4.14b).

Barele verticale vor avea diametrul minim de  $\phi 10$ , iar

etrierii se vor dispune la distanță de maxim l, g.

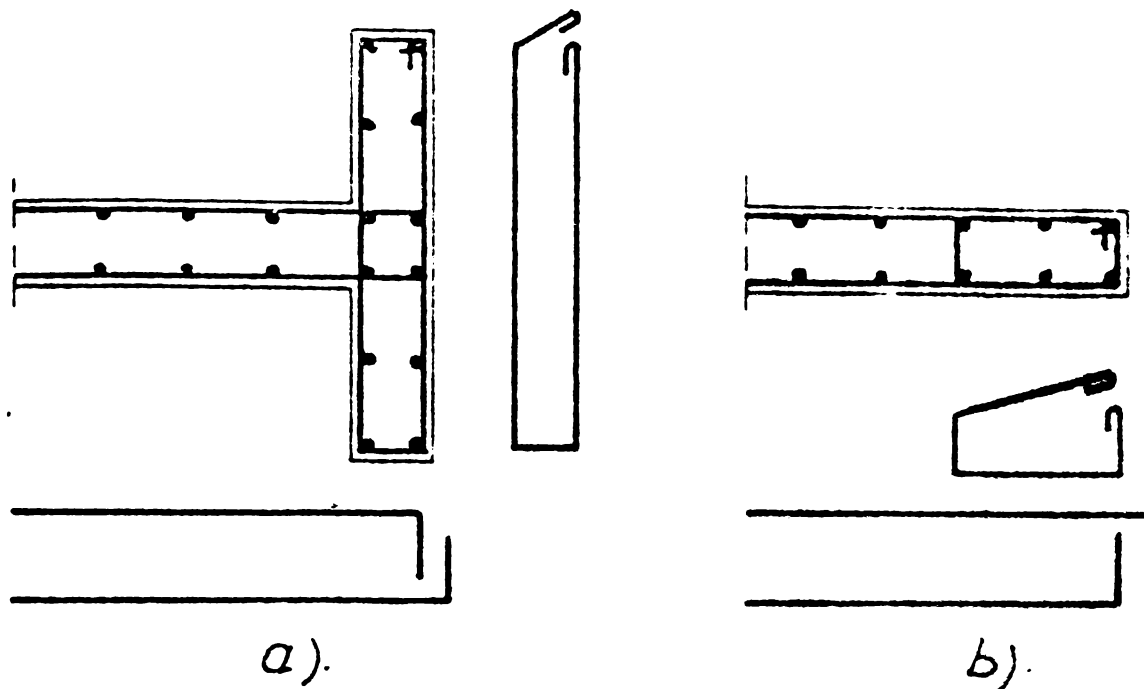


Fig. (4.14). Capete de diafragme cu bulbi și fără bulbi cu armareo cu rețea din bare independente

d) Armarea locală în jurul golurilor.

La elementele de deasupra golurilor (buiandragi), de obi-

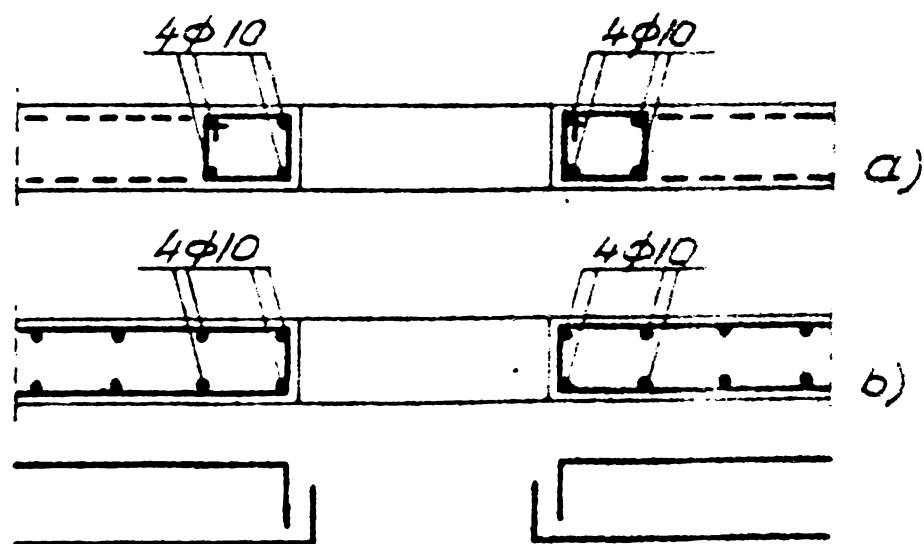


Fig. (4.15). Bondarea golurilor cu diafragme  
 a. - ormarc cu rețea din bare independente  
 b. - ormarc cu plase suscate

cei, armătura rezultă din calcul, detaliile și principiile de alcătuire fiind date în subcapitolul 4.2.2.3.

Diafragma, în zona laterală a golurilor pentru uși și ferestre, se bordează cu armături verticale. Când aceste bare nu rezultă din calculul diafragmei cu goluri, se prevede o armare de cel puțin  $4 \varnothing 10$ , dar nu mai puțin de jumătate din aria armăturii inferioare a buiandrugului (fig.4.15).

#### 4.2.2.2. Armături rezultate din calcul.

Zonele din diafragme în care armăturile rezultă dintr-un calcul de dimensionare sau verificare la eforturile provenite din acțiunea încărcărilor orizontale sau verticale, se armează ca secțiunile din beton armat.

În cazurile curente, din calcule, rezultă armături în următoarele zone ale diafragmelor :

- capetele diafragmelor cu eforturi de întindere;
- buiandrugii solicitați la încovoiere și tăiere.

Mai rar, în beton, pot apărea eforturi de compresiune ce depășind rezistența betonului, impun prevederea de armături. Această situație semnalează, de regulă, o dimensionare insuficientă a secțiunii de beton și recomandă sporirea acestei secțiuni.

##### a) Zonele de diafragme solicitate la întindere.

Armătura se dispune în așa fel încât să fie capabilă să preia întregul efort de întindere ce variază, de regulă, după o diagramă liniară. Barele vor fi de cel puțin  $\varnothing 10$  în zonele de capăt și de  $\varnothing 6$  în zona curentă a diafragmei. Orizontal se vor prevedea etrieri în zonele de capăt și bare de repartiție în zonele curente, distanța dintre aceste bare fiind de cel mult 25 cm. În cazul armării cu plase sudate, în zonele întinse se pot prevedea suplimentar bare independente care completează aria plasei pînă la secțiunea de armătură ce rezultă din calcul.

##### b) Zonele de diafragme solicitate la compresiune.

În aceste zone diametrul minim al armătarilor va fi  $\varnothing 10$ . Procentul minim de armare este 0,4% cu excepția zonei de capăt a diafragmelor fără bulbi unde procentul minim este de 0,8% din aria armată. Agrafele se dispun cîn două în două care, iar barele orizontale se aşază la o distanță ce nu trebuie să depășească de 5 ori diametrul minim al barelor verticale.

c) Armarea buiandrugilor.

Date fiind concentrările de eforturi care apar în aceste elemente, cum și rolul important ce-l au în asigurarea rezisten-

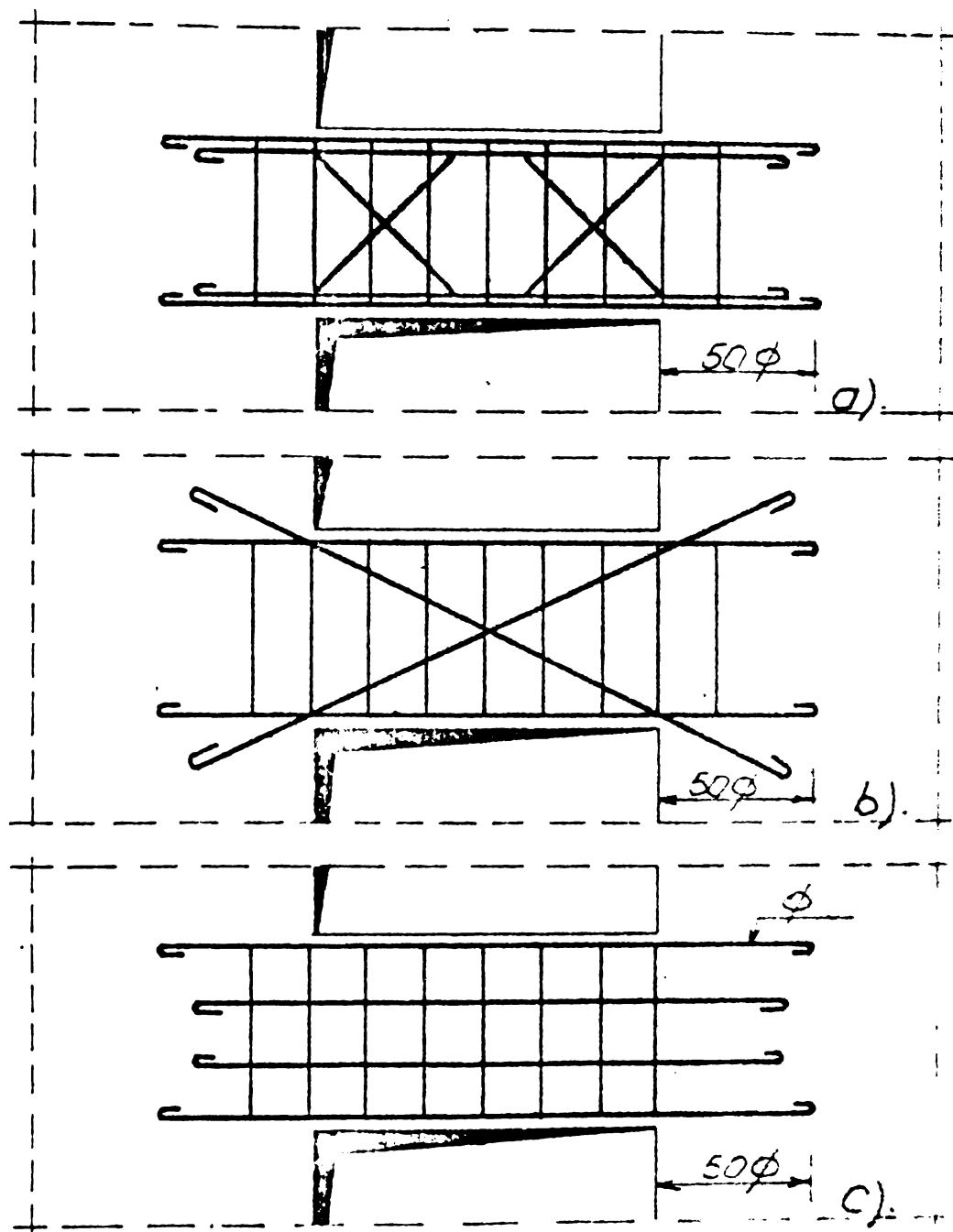


Fig. (4.16). Diverse moduri de armare a buiandrugilor

a, b. – armare cu bore inclinate

c. – armare cu bore orizontale

ței diafragmelor, armătura buiandrugilor are rol esențial de rezistență. Armătura se dispune, de regulă simetrică. Procentaj de armare, atât pentru armătura inferioară, cât și pentru cea superioară va fi de cel puțin  $0,2\%$ . Dacă lățimea secțiunii suan-

rugului este pînă la 20 cm, se dispun cîte două bare la partea interioară și la cea superioară pentru a permite o bună compactare a betonului. Dacă înălțimea buiandrugului este mai mare de 60 cm, se vor dispune bare orizontale de cel puțin  $\varnothing$  8, astfel ca distanța dintre bare să fie cel puțin 30 cm. Dacă nu ridică probleme tehnologice de formare, se recomandă utilizarea armăturilor diagonale (fig.4.16b). Distanța dintre etrieri va fi mai mică de 1,5 diametrii ai barelor longitudinale, dar nu mai mult de 1,5 ori înălțimea buiandrugului.

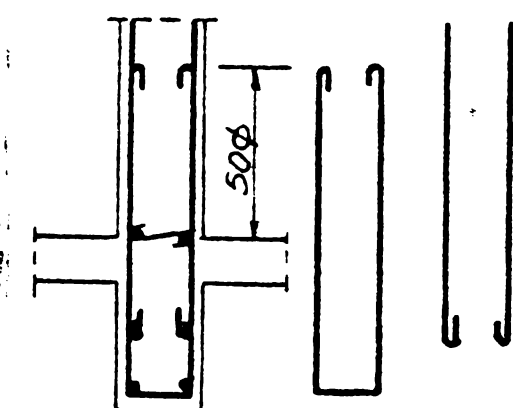


Fig.(4.17). Buiandrug construit continuu la portea superioară cu diafragmă plină.  
diametrii; distanța măsurîndu-se de la marginea golului.

In fig.4.16 se indică trei moduri de armare a buiandrugilor. În cazul cînd golul de la un nivel nu se repetă și la nivelul imediat superior, etrierii buiandrugului se prelungesc sub formă de mustăți, înnădindu-se cu armătura verticală curentă a diafragmei de la nivelul superior (fig.4.17).

Barele orizontale din buiandrug se ancorează în montanții diafragmei pe o lungime de cel puțin 50 cm.

#### 4.2.2.3. Date constructive privind forma, ancorarea și înnădirea barelor.

Armarea diafragmelor se poate face cu toate tipurile de armături care au o ductilitate suficientă. Stratul de acoperire va fi de cel puțin 1,5 cm pentru zonele curente și buiandrugi și de cel puțin 2,5 cm pentru bulbi.

Diametrul barelor nu va depăși 1/10 din grosimea elementului. Eforturile din armătura diafragmelor își schimbă, în multe cazuri sensul, trecînd de la compresiune la întindere, iar în unele situații sensul eforturilor nu poate fi precizat cu certitudine. De aceea se adoptă lungimi de ancorare și înnădire mai mari, corespunzătoare barelor întinse.

Se recomandă ca înnădirea barelor mai mari de  $\varnothing$  20 să se facă prin sudură. Lungimea de înnădire prin suprapunere a barelor îse cu ciocuri sau a barelor cu profil periodic fără ciocuri să ia 40 de diametri, cu excepția buiandrugilor.

Barele lise cu diametrul mai mic de  $\phi 10$  se pot prevedea fără ciocuri, în acest caz, lungimea de înădire se majorează la 50 de diametri.

Inădarea plaselor sudate se face prin suprapunere pe ambele direcții pe o lungime minimă de 1 ochi + 5 cm (fig.4.18).

Pe lungimea înădirii trebuie să se găsească cel puțin cîte două bare transversale din fiecare plasă.

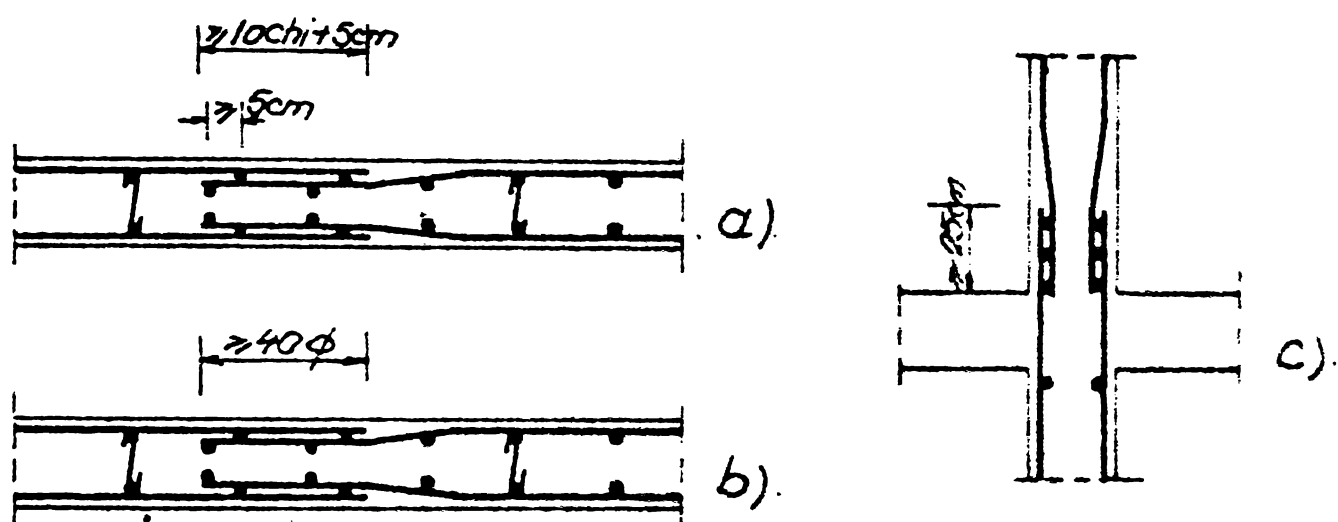


Fig. (4.18) Înădirea plaselor sudate

Dacă lungimea de suprapunere este mai mare de 40 de diametrii, se admite ca pe lungimea respectivă să existe cîte o singură bară transversală din fiecare plasă.

Pe verticală se admit și înădiri cu bare verticale prelungite din plasa de la nivelul inferior, fără bare orizontale pe lungimea de suprapunere, în acest caz lungimea de înădire va fi de cel puțin 40 de diametrii dar nu mai puțin de 25 cm.

Atunci cînd plasele sudate sint supuse la eforturi de întindere cunoscute și cînd valoarea eforturilor unitare depășește 0,5 din rezistența de calcul a otelului, lungimea de suprapunere a plaselor se va majora la 2 ochiuri + 5 cm dar nu mai puțin de 60 de diametrii.

## 5. CERCETARI EXPERIMENTALE PRIVIND RIGIDITATEA,

### DUCTILITATEA SI CAPACITATEA PORTANTA A DIAFRAGMELOR

#### 5.1. Scopul programului.

5.1.1. In prima etapă pentru a urmări comportarea diafragmelor cu goluri, prefisurate din contracția împiedicată, la acțiunea încărcărilor exterioare verticale și orizontale, s-au efectuat încercări statice pe modele la scara 1:6 corespunzând unor structuri întâlnite în practică.

Au fost încercate diafragme cu un sir de goluri mijlocii, o parte fiind prevăzute cu fisuri inițiale, iar altă parte fără fisuri, având aceleasi caracteristici și supuse la aceleasi încărcări exterioare, verticale și orizontale.

Scopul încercărilor acestor diafragme la încărcări verticale și orizontale, prin creșterea celor orizontale, în mod treptătină pînă la ruperea diafragmelor, a fost de a urmări modul cum armarea buiandrugilor și fisurarea inițială din contracție a acestora, se răsfringe asupra caracteristicilor de deformabilitate (rigiditate respectiv asupra capacitatei portante a diafragmelor cu goluri).

5.1.2. In a doua etapă pentru determinarea influenței prefisurării produse din contracția împiedicată asupra capacitatii portante și ductilității diafragmelor, a efectului forței tăiere asupra capacitatii portante și ductilității buiandrugilor la acțiuni alternate, a comportării buiandrugilor lungi și scurți sub acțiunea încărcărilor alternate și a influenței modului de armare buiandrugilor asupra ductilității și capacitatii lor portante, a fost întocmit un program experimental pentru încercarea a 8 elemente, reprezentînd tronsoane dintr-o diafragmă cu un sir de goluri, formate din cîte doi buiandru.

Din cele 8 elemente experimentale, 4 au fost cu buiandru nefisurati și 4 cu buiandru fisurati din contracție.

Armarea buiandrugilor s-a făcut în două moduri : cu armatură longitudinală și etrieri, respectiv cu armătura în diagonali.

Dimensiunile buiandrugilor s-au luat diferit, astfel ca elemente să fie cu buiandru lungi ( $\ell_0/h_r > 2$ ), iar celelalte cu buiandru scurți ( $\ell_0/h_r < 2$ ).

## 5.2. Alcătuirea și execuția elementelor experimentale.

Programul experimental s-a efectuat în două etape.

Prima etapă cuprinde executarea și încercarea următoarelor elemente realizate la scara 1:6 :

- DG1 : diafragmă cu un sir de goluri, fără fisuri inițiale, cu procentul de armare al buiandrugilor de 1,33%;

- DG2 : diafragmă cu un sir de goluri, cu fisuri inițiale la mijlocul tuturor buiandrugilor, cu procentul de armare al buiandrugilor de 1,33%;

- DG3 : diafragmă cu un sir de goluri, cu fisuri inițiale la marginile tuturor buiandrugilor, cu procentul de armare al buiandrugilor de 1,33 %;

- DG4 : diafragmă cu un sir de goluri, cu fisuri inițiale la marginile tuturor buiandrugilor, cu procentul de armare al buiandrugilor de 0,75 %.

Fiecare element reprezintă 2 diafragme cuplate.

Concomitent cu execuția diafragmelor s-au turnat epruvete de control, cuburi cu latura de 10 și 20 cm, pentru determinarea rezistenței la compresiune, prisme de 10 x 10 x 55 cm pentru determinarea rezistenței la întindere din încovoiere și prisme de 10 x 10 x 30 cm pentru stabilirea modulului de elasticitate și a rezistenței prismatice.

Dimensiunile și armarea elementelor experimentale sunt date în fig.5.1 și 5.2. Fiecare element modelează la scară 1:6 două diafragme cu lățimea de 4,5 m și înălțimea de 18 m.

La marginile diafragmelor au fost prevăzute îngroșări (bulbi). Din figura 5.2 rezultă că armarea diferitelor părți componente ale diafragmelor s-a făcut folosind următoarele procente de armare :

- în inima diafragmelor  $\mu = 0,18 \%$  ;
- în îngroșări (bulbi)  $\mu = 0,95 \%$  ;
- în zonele verticale învecinate golurilor  $\mu_{loc} = 1 \%$  ;
- în buiandrugi  $\mu = 1,33\%$  pentru elementele DG1, DG2, DG3 și  $\mu = 0,75 \%$  pentru elementul DG4.

Armarea s-a făcut cu cjeil OB 37.

La turnarea elementelor s-a folosit un octon cu următoare compozitie :

- nisip 0 - 3 mm :  $720 \text{ kg/m}^3$
- nisip 3 - 7 mm :  $1100 \text{ kg/m}^3$

- ciment PZ 400 :  $320 \text{ kg/m}^3$
- apă :  $200 \text{ kg/m}^3$ .

Compactarea s-a făcut prin vibrare. Caracteristicile mecanice pe epruvete de control sunt date în tabelul 5.1. Atât elementele cît și epruvetele de control au fost învelite în folii de masă plastică timp de 7 zile, apoi au fost decofrate și păstrate în aer liber pînă la încercare (4 ... 6 săptămîni de la turnare - vezi tabelul 5.1.).

In elementele DG2, DG3, DG4 fisurile initiale au fost provocate prin interpunerea unei folii de celuloid (0,2 mm) pe întreaga secțiune transversală a buiandrugilor.

A doua etapă cuprinde executarea și încercarea elementelor prezentate în tabelul 5.2.

Elementele experimentale reprezentînd tronsoane de diafragmă formate din cîte 2 buiandrugi s-au executat la scara 1:2. Dimensiunile și armarea elementelor sunt prezentate în tabelul 5. Schițele de armare ale elementelor (buiandrugilor) sunt date în fig.5.3.

La turnarea elementelor s-a folosit un beton cu următoarea compoziție :

- nisip 0 - 3 mm :  $641 \text{ kg/m}^3$  ;
- nisip 3 - 7 mm :  $1140 \text{ kg/m}^3$  ;
- ciment PZ 400 :  $300 \text{ kg/m}^3$  ;
- apă :  $200 \text{ kg/m}^3$ .

Armarea s-a făcut cu oțel OB 37. Caracteristicile fizico-mecanice ale betonului determinate pe epruvete confectionate din aceeași șarjă cu elementele experimentale sunt date în tabelul 5. Compactarea s-a făcut prin vibrare. Atât elementele experimentale cît și epruvetele de control au fost învelite în folii de masă plastică timp de 7 zile, apoi au fost decofrate și păstrate în aer liber pînă la încercare (3 ... 4 săptămîni de la turnare - vezi tabelul 5.4).

### 5.3. Încercarea elementelor experimentale..

In prima etapă elementele DG1, DG2, DG3 și DG4 supuse unei încărcări axiale constată au fost încercate și grăbi si și lăsată cu o forță concentrată aplicată static la mijlocul deschiderii. In acest fel comportarea unei jumătăți de element a fost identică cu solicitarea unei diafragme în consolă, supusă la forțe vu-

ticale și la o forță orizontală concentrată la vîrf.

Forța axială  $N = 83$  tf a fost realizată prin intermediul unui dispozitiv special care a permis repartizarea ei uniform pe secțiunea celor doi montanți, cît și menținerea constantă de la începutul încărcării pînă la ruperea elementului. Efortul unitar de compresiune corespunzător acestei încărcări a fost de  $18,7$   $\text{daN/cm}^2$ , efort ce corespunde încărcărilor verticale a unor structuri în diafragme întîlnite în practică.

Momentul încovoistor, corespunzător celui produs de încărcările orizontale, realizat prin aplicarea la mijlocul deschiderii a unei forțe verticale concentrate, a crescut progresiv de la valoarea "0" pînă la rupere. Forța concentrată a fost aplicată în trepte de 125 sau 250 daN.

In vederea stabilizării deformațiilor, verificării aparaturii de măsurare și eliminării erorilor de măsurare, s-au efectuat inițial două cicluri încărcare - descărcare pînă la forță de 750 daN, respectiv 1000 daN, după care s-a trecut la încărcarea pînă la rupere.

Schema de încărcare a elementelor, poziția aparaturii de măsurare a deformațiilor, înregistrate la diferite trepte de încărcare sunt date în figurile 5.4 pînă la 5.7 și tabelul 5.5 și 5.6. Au fost măsurate săgețile elementelor cu microcomparatoare și fleximetre, deplasările relative (componenta orizontală) ale punctelor omoloage de pe montanți în axele buiandrugilor, deformațiile specifice în zonele cu moment maxim ale buiandrugilor cu tructori electrorezistivi, și deschiderile fisurilor pe buiandru cu microcomparatoare 1:1000. În timpul încărcărilor au mai fost notate treptele de fisurare, ordinea de apariție a fisurilor și evoluția lor. Relevetele fisurilor sunt date în fig.5.8.

In etapa a doua a programului experimental elementele BGNS1, BGFS1, BGNS2, BGFS2, BGNL1, BGFL1, BGNL2, BGFL2, au fost încercate într-un stand conform schiței de încercare din fig.5.9.

Elementele au fost așezate cu montanții în poziție orizontală; un montant a fost fixat de fundația standului iar celuilalt montant i s-au aplicat alternativ încărcări orizontale axiale. Cadrulare buiandrugii au fost solicități la momente de încovoiere : forțe tăietoare similar cu cele provocate de încărcările exterioare reale pe diafragme.

Elementele pe care a fost simulat efectul contractiei în-

piedicate au fost supuse - înainte de aplicarea încărcării exterioare orizontale alternante - la eforturi de întindere axială a buiandrugilor pînă la fisurarea acestora. Deschiderile fisurilor au fost ținute la o valoare constantă, menținînd presile active (vezi fig.5.9b).

Starea de eforturi în armătura longitudinală, în zona de încastrare a buiandrugilor, a fost măsurată prin disponerea de traductori pe armătură, înainte de turnarea elementelor. Elementele cu armătura în diagonală au avut de asemenea aplicați traductori la marginile buiandrugilor în zona de încastrare (fig.5.10).

Starea de eforturi atît la marginile buiandrugilor cît și la mijlocul lor după direcția celor două diagonale au fost măsurat cu traductori tensioactivi fixați pe ambele fețe ale fiecărui buiandrug (fig.5.10). Totodată au fost măsurate deplasările relative ale buiandrugilor prin intermediul a două microcomparatoare (vezi fig.5.9).

Elementele (nefisurate sau fisurate) au fost supuse la încărcări orizontale alternante, aplicate în cicluri crescătoare, astfel încît să fie prinse stadiile de lucru caracteristica. În penultimul ciclu de încărcare, momentul încovoielor produs de încărcările orizontale, realizat la capetele buiandrugilor prin aplicarea unei forțe în axa montanților, a crescut pînă la limita de curgere. S-a descărcat apoi pînă la zero și s-a încărcat elementul în sensul celălalt, în trepte, trecînd prin limita de curgere, pînă la rupere, măsurîndu-se deplasarea corespunzătoare limitei de rupere (zdrobirea betonului comprimat), avînd drept scop determinarea factorului de ductilitate.

#### 5.4. Rezultatele încercărilor și interpretarea lor.

##### 5.4.1. Rezultatele încercărilor primei etape.

###### 5.4.1.1. Rigiditatea de ansamblu a elementelor.

Evoluția săgeților la diferite trepte de încărcare poate fi urmărită în fig. 5.4, 5.5, 5.6, 5.7. Săgețile maxime ale elementelor pentru toate diafragmele sunt date comparativ în fig.5.11. Se constată că pînă la valori ale forței concentrate, aplicată în mijlocul elementului, reprezentînd 50% din forța de rupere, elementele au o comportare elastică. Rigiditățile relative ale elementelor corespunzătoare acestui domeniu sunt date mai jos.

Elementul	Limita domeniului elastic P (daN)	Rigiditatea relativă		Comparativ între rigiditățile experimentale.
		Teor.	Exp.	
Diafragme cu buiandrugi fără fisuri inițiale $\mu = 1,33 \%$ (DG1)	1000	1	0,61	1
Diafragme cu fisuri inițiale la mijlocul buiandrugilor $\mu = 1,33 \%$ (DG2)	1000	1	0,56	0,92
Diafragme cu fisuri inițiale la marginile buiandrugilor $\mu = 1,33 \%$ (DG3)	1000	1	0,42	0,70
Diafragmă cu fisuri inițiale la marginile buiandrugilor $\mu = 0,75 \%$ (DG4)	750	1	0,28	0,65

In urma unui calcul pe baza metodei structurii continue echivalente, considerind betonul ca material perfect elastic, a rezultat că rigiditatea teoretică a diafragmei cu buiandrugi fără fisuri inițiale (DG1), arăți cu un procent  $\mu = 1,33 \%$ , încărcată în domeniul elastic, este mai mare cu 40 % decât rigiditatea experimentală.

Reducerea rigidității se dătoarește fisurării zonei întinse a secțiunilor de încastrare ale buiandrugilor în montanți, buiandrugii lucrând ca elemente din beton armat în stadiul "2".

Deci, pentru diafragmele cu goluri mijlocii ( $1 < \alpha < 10$ ) considerarea unei reduceri a rigidității buiandrugilor cu 40 % conduce la obținerea de rezultate bune în evaluarea eforturilor și deplasărilor acestor diafragme supuse la încărcări care nu depășesc limita de elasticitate.

Încercările au arătat că existența fisurilor inițiale în buiandrugi reduce rigiditatea elementelor, reducerea fiind mai mare în cazul fisurilor inițiale la marginea buiandrugilor.

Cantitatea de armătură din buiandrugii fisurati inițial influențează rigiditatea de ansamblu; diafragmele cu buiandrugii armăți cu un procent de armare mai redus au o rigiditate mai mică, rigiditatea buiandrugilor fiind dependentă - cum este și firesc - de procentul de armare a lor.

#### 5.4.1.2. Ductilitatea diafragmelor.

Prin noțiunea de ductilitate se înțelege capacitatea de deformare plastică a diafragmei și este caracterizată prin factorul de ductilitate prin deplasare " $\psi$ ".

Factorul de ductilitate prin deplasare  $\psi$  este definit ca raportul dintre deplasarea vîrfului diafragmei corespunzătoare atingerii mecanismului de colaps și deplasarea vîrfului diafragmei corespunzătoare atingerii limitei de curgere în cel mai solicitat buiandrug.

Ductilitatea unei diafragme este strîns legată de dimensiunile geometrice relative ale buiandrugilor și montanților și de modul de alcătuire și disponere a armăturii lor.

Observațiile privind ductilitatea elementelor încercate rezultă din examinarea diagrameelor - forță - săgeți maxime (fig. 5.11). Acceptîndu-se că începutul manifestării deformațiilor plastice în mod accentuat corespunde unei săgeți de aproximativ 7 mm pentru toate diafragmele (cu sau fără fisuri inițiale), s-au putut stabili următoarele valori ai factorilor de ductilitate.

Elementul	Factorul de ductilitate	Valori relative ale ductilității.
Diafragmă cu buiandrugi fără fisuri inițiale $\psi = 1,33 \%$ (DG1)	14,2	1
Diafragmă cu fisuri inițiale la mijlocul buiandrugului $\psi = 1,33 \%$ (DG2)	18,1	1,27
Diafragmă cu fisuri inițiale la marginile buiandrugilor $\psi = 1,33 \%$ (DG3)	15,2	1,07
Diafragmă cu fisuri inițiale la marginile buiandrugilor $\psi = 0,75 \%$ (DG4)	13,2	0,93

Valorile mari ale factorilor de ductilitate (13,2 - 18,1) se explică prin procentul de armare relativ redus al zonelor întărite ale elementelor verticale și prin prezența armăturii în zona comprimată.

Deși există o oarecare diferențiere între valorile factorilor de ductilitate se consideră că nu se poate desprinde o concluzie clară în ceea ce privește influența prezenței fisurilor initiale în buiandrugi asupra ductilității diafragmelor, parametrii determinanți fiind procentele de armare ale tălpilor acestora și natura încărcării exterioare, care la elementele încercate au fost într-totul similare cu cei reali, corespunzători unei încărcări exterioare alternante provenite din mișcarea seismică.

Să observă că prezența fisurilor în buiandrugi conduce la grăbirea manifestării deformațiilor plastice a buiandrugilor astfel încât la elementele cu buiandrugii prefisurați deformația plastică la atingerea stadiului ultim (mecanismul de colaps) a fost mai mare. Deci factorul de ductilitate al diafragmei cu fisuri initiale este mai mare decât cel al diafragmei cu buiandrugi fără fisuri initiale. Factorul de ductilitate al diafragmei cu fisuri initiale la mijlocul buiandrugilor este cel mai mare (18,1), datorită alunecării mari dezvoltată la mijlocul buiandrugilor.

Diagramele din fig.5.12, 5.13 și tabelul 5.7, prezintă deplasările relative ale buiandrugilor, care au putut fi înregistrate abea după depășirea domeniului elastic. În continuare, pînă la treapta de încărcare dinaintea ruperii, deplasările relative sunt mai mari la diafragmele cu buiandrugi cu fisuri initiale decît la diafragmele cu buiandrugi nefisurați (de exemplu pentru punctul F4  $\Delta_{DG1} = 1 \text{ mm}$ ,  $\Delta_{DG2} = 3,5 \text{ mm}$ ,  $\Delta_{DG3} = 4 \text{ mm}$ ). Aceste deplasări mari înregistrate la rupere explică natura ruperii buiandrugilor prin alunecare. Acest fapt se observă și din examinarea deschiderii fisurilor buiandrugilor (fig.5.14, 5.15, 5.16 și tabelul 5.8).

#### 5.4.1.3. Capacitatea portantă a diafragmelor.

Din examinarea figurilor 5.14 și 5.16, privind modul de dezvoltare a fisurilor rezultă că indiferent de lipsa sau existența fisurilor initiale în buiandrugi (la mijlocul sau marginile acestora), în apropierea ruperii, buiandrugii s-au transformat în penduli (formîndu-se articulații plastice la toate marginile buiandrugilor) și riscare că cei doi montanți (tălpi) ai diafragmelor au cedat prin curgerea armăturii din zona întinsă (armătura din bulb pentru montantul inferior, respectiv armătura de la marginea golului pentru montantul superior) și zdrobirea betonului în zona comprimată.

Considerînd că formarea articulațiilor plastice la capetele tuturor buiandrugilor și a unei articulații plastice la baza fiecărui montant reprezintă mecanismul de colaps, în urma calculului a rezultat că valorile teoretice ale capacitații portante ale diafragmelor sănt foarte apropiate de valorile experimentale după cum se vede din tabelul de mai jos.

Elementul	Forța de rupere (daN)	Momentul de încovoiere la rupere experimental (daN.m)	Momentul de încovoiere la rupere teoretic (daN.m)
Diafragma cu buiandrugi fără fisuri inițiale ( $\psi = 1,33\%$ DG1)	2125	3970	3912
Diafragma cu fisuri inițiale la mijlocul buiandrugilor ( $\psi = 1,33\%$ DG2)	2125	4187	3912
Diafragma cu fisuri inițiale la marginile buiandrugilor ( $\psi = 1,33\%$ DG3)	2125	4021	3912
Diafragma cu fisuri inițiale la marginile buiandrugilor ( $\psi = 0,75\%$ DG4)	1625	3170	3098

Se constată că prezența fisurilor inițiale în buiandrugi (la mijlocul sau la marginile acestora) nu influențează capacitatea portantă a elementelor. Se menționează că natura încărcării prin folosirea unei forțe exterioare acționînd într-un singur sens nu corespunde naturii încărcării exterioare alternante provenite din seism și de asemenea fisurile inițiale nu au fost însotite de tensiunile corespunzătoare în armătură, așa cum de fapt se întâmplă în realitate.

Totodată, din tabelul de mai sus rezultă că reducerea procentului de armare al buiandrugilor, de la 1,33 la 0,75 %, conduce la o reducere a momentului de rupere cu 30 %.

### 5.4.2. Rezultatele încercărilor etapei a doua.

#### 5.4.2.1. Rigiditatea de ansamblu a elementelor.

##### a) Elementele cu buiandrugi nefisurati.

S-au proiectat elementele BGNS1 și BGNS2, respectiv BGNL1 și BGNL2 astfel încât să aibă aceeași capacitate portantă. BGNS1 și BGNL1 au armătură longitudinală și etrieri și BGNS2 și BGNL2 au armătura în diagonală. Se menționează că la elementele BGNS2 și BGNL2 s-a folosit și armătură de montaj (bare longitudinale și etrieri).

Din examinarea relațiilor, forță - deplasare a elementelor cu buiandrugi scurți, arăți cu armătură longitudinală și etrieri, respectiv cu armătura în diagonală (BGNS1 respectiv BGNS2), arătate în fig. 5.17 și 5.18 și tabelele 5.9 și 5.10, se constată că pînă la treapta de fisurare, cele două elemente s-au comportat la fel, avînd o rigiditate constantă. După fisurarea elementelor, elementul BGNS1 (cu buiandrugi cu armătură longitudinală și etrieri) a început să dezvolte deformații plastice din ce în ce mai mari. La descărcarea elementului, fisurile dezvoltate nu s-au reînchis perfect ceea ce a condus, la încărcarea în sensul celuilalt la concentrări de eforturi și la degradări în beton, după care rigiditatea elementului s-a stabilizat (fig.5.17). În schimb, elementul BGNS2 avînd buiandrugi cu armătura în diagonală a avut după fisurare o rigiditate mai liniară și mai mare datorită faptului că armătura în diagonală după fisurare a preluat în întregime eforturile, și elementul și-a recăpătat caracterul unui material elastic.

Din examinarea relațiilor forță - deplasare ale elementelor cu buiandrugi lungi, arăți cu armătură longitudinală și etrieri, respectiv cu armătura în diagonală (BGNL1 respectiv BGNL2), arătate în fig.5.19 și 5.20 și tabelul 5.11 și 5.12, se constată că pînă la treapta de fisurare cele două elemente s-au comportat la fel, avînd o rigiditate constantă. După fisurarea elementelor, la elementul BGNL1 (cu buiandrugi cu armătură longitudinală și etrieri) s-au dezvoltat deformații plastice din ce în ce mai mari. La descărcarea acestui element, fisurile dezvoltate nu s-au reînchis perfect ceea ce a condus, la încărcarea în sensul celuilalt, la degradări în beton, după care rigiditatea elementului s-a stabilizat (fig.5.19). În schimb, elementul BGNL2 avînd buiandrugi cu armătura în diagonală a avut - după fisurare - o rigiditate

mult mai mare decât cea a elementului BGNL1 (la forță orizontală  $P = 4000 \text{ daN}$ , rigiditatea elementului BGNL2 este de două ori mai mare decât cea a elementului BGNL1) datorită preluării în întregime a eforturilor din armătura în diagonală după fisurarea elementului. Elementul BGNL2 și-a recăpătat - după fisurare - caracterul unui material elastic.

Analizînd relațiile forță - deplasare arătate în fig.5.17, 5.18, 5.19 și 5.20 se remarcă următoarele :

- În domeniul elastic, rigiditățile elementelor cu buiandrugi cu armătura în diagonală (BGNS2 și BGNL2) sunt mai mari decât cele ale elementelor cu buiandrugi cu armătură longitudinală și etrieri. Sporul de rigiditate la elementele cu buiandrugi lunghi este mai mare decât la cele cu buiandrugi scurți aşa cum se vede în tabelul de mai jos.

Elementul	Limita domeniului elastic (daN)	Rigiditatea relativă experimentală
BGNS1	6000	1
BGNS2	6000	1,3
BGNL1	4000	1
BGNL2	4000	2

- Pierderea rigidității buiandrugilor cu armătura în diagonală este mult mai redusă decât cea a buiandrugilor cu armătură longitudinală și etrieri (fig.5.21).

- Capacitatea de absorbție de energie a buiandrugilor cu armătura în diagonală este mult mai mare decât cea a buiandrugilor cu armătură longitudinală și etrieri (fig.5.22 și 5.23). Astfel, la elementul cu buiandrugi scurți armarea în diagonală sporește capacitatea de absorbție de energie de 2 ori iar la cele cu buiandrugi lunghi de 1,5 ori.

#### b) Elemente cu buiandrugi fisurați.

Elementele BGFS1 și BGFS2 respectiv BGFL1 și BGFL2 au fost supuse, înainte de aplicarea încărcării exterioare orizontale alternante, la eforturi de întindere axială a buiandrugilor astfel încât să se fisurarea loculor în secțiunile de încărcare având ca secundă simularea efectului contractiei impiedicate. Deschiderile fisurilor au fost ținute la o valoare constantă (circa 0,15 mm) menținînd presile active.

Elementele BGF1 și BFL1 au armătura longitudinală și etri, iar elementele BGFS2 și BGFL2 au armătura în diagonală.

Examinând relațiile forță - deplasare relativă buiandrugi, prezentate în fig.5.24, 5.25 și tab. 5.13, 5.14, se constată că :

- Prezența fisurilor inițiale în secțiunile de încastrare a buiandrugilor scurți cu armătura longitudinală și etri (elementul BGFS1 - fig.5.24) conduce la o comportare total diferită de cea a elementelor cu buiandrugi nefisurați. Starea de eforturi creată din apariția contractiei împiedicate produce grăbirea curgerii armăturii întinse sub acțiunea încărcărilor exterioare.

Totodată la elementul BGFS1 deformațiile plastice s-au dezvoltat la trepte mici de încărcare, chiar la primele cicluri, ceea ce a condus la refășchiderea imperfectă a fisurilor inițiale și ca urmare la degradarea progresivă a betonului sub acțiunea ciclului de încărcare următor alternant.

- Prezența fisurilor inițiale în secțiunile de încastrare a buiandrugilor scurți cu armătura în diagonală (elementul BGFS2 - fig.5.25) conduce la o reducere a rigidității relative a buiandrugilor, însă elementul cu buiandrugi scurți cu armătura în diagonală își păstrează caracterul său mai liniar datorită participării singure a armăturii în diagonală la preluarea în întregime a eforturilor generate de încărcarea exterioară. Deci se constată comportarea superioară a elementului cu buiandrugi scurți prefisurați cu armătura în diagonală față de cea a elementului cu buiandrugi scurți prefisurați cu armătura longitudinală și etri.

De asemenea, din analiza figurilor 5.16, 5.27 și tab.5.13, 5.16 se observă următoarele :

- Rigiditatea buiandrugilor lungi cu armătură longitudinală și etri este mult influențată de prezența fisurilor inițiale din contractie astfel încât (similar cu elementul cu buiandrugi scurți) la încărcări alternante de mică intensitate apar deformări plastice. Cu toate acestea, elementul cu buiandrugi lungi prefisurați (BFL1) are o comportare mai bună decât elementul cu buiandrugi scurți prefisurați (BGFS1), (vezi fig.5.24, 5.26); la efectul forței tăietoare este hotărîtor.

- Rigiditatea elementului cu buiandrugi lungi (BFL1), prefisurați cu armătură longitudinală și etri și este mult mai dusă decât cea a elementului cu buiandrugi lungi (BGFL2), prefisurați cu armătura în diagonală (fig.5.25, 5.27).

- Pierderea rigidității elementului cu buiandrugi lungi, prefisurați cu armătură în diagonală (BGFL2), sub acțiunea încărcarilor alternante este mult mai redusă decât cea a elementului cu buiandrugi lungi, prefisurați cu armătură longitudinală și etriperi (BGFL1).

- Capacitatea de absorbție de energie a elementului cu buiandrugi cu armătura în diagonală (BGFL2) este mult mai mare decât cea a elementului cu buiandrugi cu armătură longitudinală și etriperi (BGFL1) (fig.5.28, 5.29). La elementul cu buiandrugi scurți, armarea în diagonală sporește capacitatea de absorbție de energie de 2 ori iar cele cu buiandrugi lungi de 1,4 ori.

#### 5.4.2.2. Ductilitatea buiandrugilor.

Prin ductilitatea optimă a unui buiandru se înțelege capacitatea lui de deformare plastică, astfel încât să nu apară ruperi locale în secțiunile de încastrare ale buiandrugilor în montanți înaintea atingerii stadiului ultim al diafragmei (mecanismul de colaps), absorbind o cantitate considerabilă din energia introdusă în diafragmă de acțiunea seismică.

Ductilitatea unui buiandru este caracterizată prin factorul de ductilitate care este definit ca raportul dintre deformarea totală corespunzătoare stadiului ultim de rupere și deformarea corespunzătoare limitei de curgere.

Din examinarea fig.5.17, 5.18, 5.19, 5.20, 5.24, 5.25, 5.26, 5.27 privind relațiile forță - deplasare relativă buiandru ale elementelor BGNS1, BGNS2, BGNL1, BGNL2, BGFS1, BGFS2, BGFL1, BGFL2 se observă că factorii de ductilitate au valorile date în tabelul de mai jos :

Elementul	Factorul de ductilitate
BGNS1	10
BGNS2	20
BGFS1	7
BGFS2	16
BGNL1	19
..	25
BGFL1	13
BGFL2	20

Aceste valori ale factorilor de ductilitate indică urmă-

toarele concluzii :

- Buiandrugii armați cu armătură în diagonală au o ductilitate superioară celor armați cu armătură longitudinală și etri-eri. Această performanță superioară a armăturii în diagonală este mult mai evidentă la buiandrugii scurți la care așezarea avanajoasă a armăturii în diagonală oferă buiandrugilor, ductilitatea oțelului, datorită preluării în întregime a eforturilor de către armătură, după fisurarea buiandrugului.

- Prezența fisurilor inițiale la marginile buiandrugilor reduce ductilitatea buiandrugilor. O reducere considerabilă a ductilității buiandrugilor se produce, datorită prezenței fisurilor din contractie, mai ales la elementele cu buiandragi cu armătură longitudinală și etri-eri.

- Este important de subliniat că ductilitatea elementelor cu buiandragi scurți cu armătură longitudinală și etri-eri este redusă, iar prezența fisurilor inițiale la capetele acestor buian- drugi conduce la o rupere casantă prin alunecare aşa cum s-a ob servat la elementul BGFS1 la care ruperea s-a produs prin alunecare și nu prin zdrobirea betonului în zona comprimată.

#### 5.4.2.3. Capacitatea portantă a buiandrugilor.

Așa cum se observă din fig.5.17, 5.18, 5.19, 5.20, 5.24, 5.25, 5.26, 5.27, s-au obținut următoarele valori ale capacitatii portante :

Elementul	Capacitatea portantă teoretică (daN)	Capacitatea portantă experimentală (daN)
BGNS1	19700	12000
BGNS2		23000
BGNL1	9800	9800
BGNL2		14000
BGFS1	-	6000
BGFS2		17000
BGFL1	-	5000
SGFL		10000

Din analiza tabelului de mai sus se pot desprinde următoarele concluzii :

- Capacitatea portantă sub încărcări alternante a buian-

drugilor lunghi ( $\ell_c/h_o \geq 2$ ), nefisurați, se poate evalua cu suficientă exactitate pe baza teoriei elementelor liniare încovoiante. Elementul BGNL2 are un spor de capacitate portantă de 40% datorită prezenței armăturii de montaj și așezării mai la extreame a armăturii în diagonală (brațul de pîrghie a cuplului interior este mai mare).

- Capacitatea portantă sub încărcări alternante a buiandrugilor lunghi, prefisurați din contracție împiedicată este influențată de prezența fisurilor initiale. La elementul BGFL1 cu buiandrugi lunghi cu armătură longitudinală, reducerea capacitații portante este egală cu 50% față de elementul BGNL1 cu buiandrugi lunghi nefisurați și avînd aceleasi caracteristici, iar reducerea capacitații portante a elementului BGFL2 cu buiandrugi lunghi, prefisurați cu armătură în diagonală este de 25% față de elementul BGNL2 cu buiandrugi lunghi nefisurați cu armătura în diagonală.

- Capacitatea portantă sub acțiunea încărcărilor alternante a buiandrugilor scurți ( $\ell_o/h_o < 2$ ), nefisurați, nu se poate evalua pe baza teoriei elementelor liniare, efectul forței tăietoare fiind predominant, ruperea producîndu-se după una din diagonalele principale, transformînd buiandrugii în două console triunghiulare. Utilizarea, la buiandrugi scurți, a armăturii în diagonală, capabilă să preia momentul încovoiator și forța tăiatore, contribuie la mărirea capacitații portante în mod cu totul deosebit. S-a constatat experimental, aproape o dublare a capacitații portante a elementului BGNS2 față de elementul BGNS1.

- Prezența fisurilor initiale din contracția împiedicată conduce la reducerea capacitații portante a elementelor cu buiandrugi scurți. Capacitatea portantă a elementului BGFS1 se reduce cu 50% față de cea a elementului BGNS1 iar capacitatea portantă a elementului BGFS2 se reduce cu 30% față de cea a elementului BGNS1. Deci, la buiandrugii scurți, ca și la buiandrugii lunghi, armătura în diagonală contribuie la o comportare mult mai bună a buiandrugilor, decît armătura longitudinală și etrieri.

Ansamblul încercării elementelor este redat în fig.5.30.

Aspecte ale elementelor după încercare sunt prezentate fig.5.31, 5.32, 5.33 și 5.34.

Relevările fizurilor sunt arătate în fig.5.35, 5.36, 5.37, 5.38, 5.39, 5.40, 5.41 și 5.42.

Concluziile enunțate la pct. 5.4.2.2 și 5.4.2.3, privind

influența prefisurării din contractia împidicată asupra capacitatei portante și ductilității buiandrugilor nu pot fi generalizate datorită numărului redus de elemente încercate.

## 6. CONCLUZII GENERALE SI RECOMANDARI PRIVIND PROIECTAREA

### DIAFRAGMELOR TINEND SEAMA DE CERINTELE DE DUCTILITATE

#### 6.1. Concluzii generale privind rigiditatea, ductilitatea și capacitatea portantă a diafragmelor.

In ceea ce urmează se rezumă concluziile desprinse din analiza rezultatelor programului experimental propriu - având ca scop clarificarea unuior aspecte legate de rigiditatea, ductilitatea și capacitatea portantă a diafragmelor.

- Rigiditatea diafragmelor cu goluri este influențată în mare măsură de caracteristicile de deformabilitate a buiandrugilor. Deformabilitatea buiandrugilor depinde de fisurarea zonei întinse datorită încărcărilor exterioare cît și de prezența fisurilor inițiale din contractia împidicată. Prezența fisurilor inițiale la capetele buiandrugilor, din contractia împiedicată, are ca efect o reducere a rigidității diafragmei. Această reducere este dependentă de procentul de armare obișnuită cuprinse între 0,75 și 1. Considerarea unei reduceri a rigidității buiandrugilor cu 70%, care ține seama atât de fisurarea zonei întinse a secțiunilor buiandrugilor din încărcările exterioare cît și de efectul contractiei împiedicate, conduce la obținerea de valori apropiate între rigiditățile teoretice și experimentale ale diafragmelor. Deci, pentru scopuri practice se recomandă considerarea unei reduceri a rigidității buiandrugilor cu 80% ( $E_b = 0,2 E_m$ ) datorită fisurilor zonei întinse cît și a efectului contractiei împiedicate, care conduce la rezultate satisfăcătoare în evaluarea rigidității diafragmelor având buiandragi cu procente de armare obișnuite folosite în proiectarea curentă.

Lungi - Capacitatea portantă sub încărcări alternante a buiandrugilor ( $\ell_0/h_r \geq 2$ ) se poate evalua cu suficientă exactitate pe baza teoriei elementelor liniare încovoiate.

- Capacitatea portantă sub acțiunea încărcărilor nute a buiandrugilor scurți ( $\ell_0/h_r < 2$ ) nu se poate evalua pe baza teoriei elementelor liniare încovoiate, efectul forței tăietoare fiind predominant, ruperea producindu-se după una din diagonale.

principale, transformînd buiandrugii în 2 console triunghiulare.

- Utilizarea armăturii în diagonală capabilă să preia moment încovoietor și forță tăietoare, contribuie la mărirea capacitatei portante în mod cu totul deosebit la buiandrugii scurți la care s-a constatat aproape o dublare a capacitatei portante. Deci se recomandă acest tip de armare la buiandrugii scurți. (În anumite situații speciale, este dorită, la buiandrugii scurți, o armare după diagonalele principale cu stîlpișori cu etrieri închisă), mai ales că aşa cum se va cedea ulterior, aceasta contribuie hotărîtor și la mărirea ductilității buiandrugilor.

Prezența fisurilor inițiale la capetele buiandrugilor reduce capacitatea portantă sub acțiunea încărcărilor alternante. Această reducere este mai mare la buiandrugi cu armătură longitudinală și etrieri.

- Ductilitatea buiandrugilor cu armătura în diagonală este mult mai mare decît cea a buiandrugilor cu armătură longitudinală și etrieri pentru aceleași caracteristici geometrice și consum de armătură apropiată.

- Degradarea buiandrugilor cu armătură în diagonală este cu mult mai redusă decît a buiandrugilor cu armătură longitudinală și etrieri.

Prezența fisurilor inițiale, din contractia împiedicată influențează ductilitatea buiandrugilor. Deci, o reducere considerabilă a ductilității buiandrugilor se produce, datorită fisurilor inițiale din contractie, mai ales la elementele cu buiandrugi cu armătură longitudinală și etrieri.

Se menționează că numărul încercărilor efectuate pentru clarificarea efectului contractiei împiedicate asupra ductilității și capacitatei portante a buiandrugilor nu este suficient atât încît să se tragă concluzii certe în acest sens. Deci, se subliniază importanța clarificării acestui aspect prin efectuarea unor studii experimentale mai vaste.

#### 6.2. O propunere privind proiectarea diafragmelor cu șiruri de goluri mijlocii ținînd seama de cerințele de rezistență și durată.

Cunoașterea comportării postelastice a diafragmelor cu acțiunea încărcărilor exterioare, indică modul în care trebuie să se proiecteze diafragmele în vederea asigurării unei comportări

optime la acțiunea încărcărilor alternante.

Pentru proiectarea diafragmelor cu șiruri de goluri mijlocii, pe baza cunoașterii comportării postelastice a diafragmelor ținind seama de cerințele de rezistență și ductilitate se propune următorul mod de calcul.

- Determinarea solicitărilor în buiandrug și montanți, după metoda elastică;

- Armarea diferențiată a buiandrugilor pe înălțime, ținind seama de distribuția forțelor tăietoare obținută din calculul elastic. Acest lucru asigură transformarea buiandrugilor în penduli într-un interval mai strâns decât în cazul armării identice a buiandrugilor pe întreaga înălțime a diafragmei. Procentele de armare longitudinal și transversal se stabilesc după recomandările date la pct. 6.3.2.1.

- Se armează montanții, ca elemente de beton slab armat, luând momente majorate față de cele rezultate din calculul elastic. Coeficientii de majorare vor avea valori cuprinse între 1,5 și 2. Se presupune că majorarea momentelor de dimensionare a montanților asigură transformarea buiandrugilor în penduli înaintea formării articulațiilor plastice la baza montanților. La dimensionare se va ține seama de caracterul alternant al încărcării orizontale exterioare;

- Se calculează forțele tăietoare la bazele montanților corespunzătoare stadiului ultim (fig.6.1), cu relația :

$$Q_{max}^{m,k} = \frac{I_{m,k}}{\sum I_m} P_{max} ; \quad k = 1, 2, \dots, n \dots \quad (6.1)$$

$$P_{max} = \frac{\sum M_{cap}^{m,k} + \sum_{k=1}^{n-1} I_k \cdot L_k}{2 \cdot \frac{H}{3}} \quad (6.2)$$

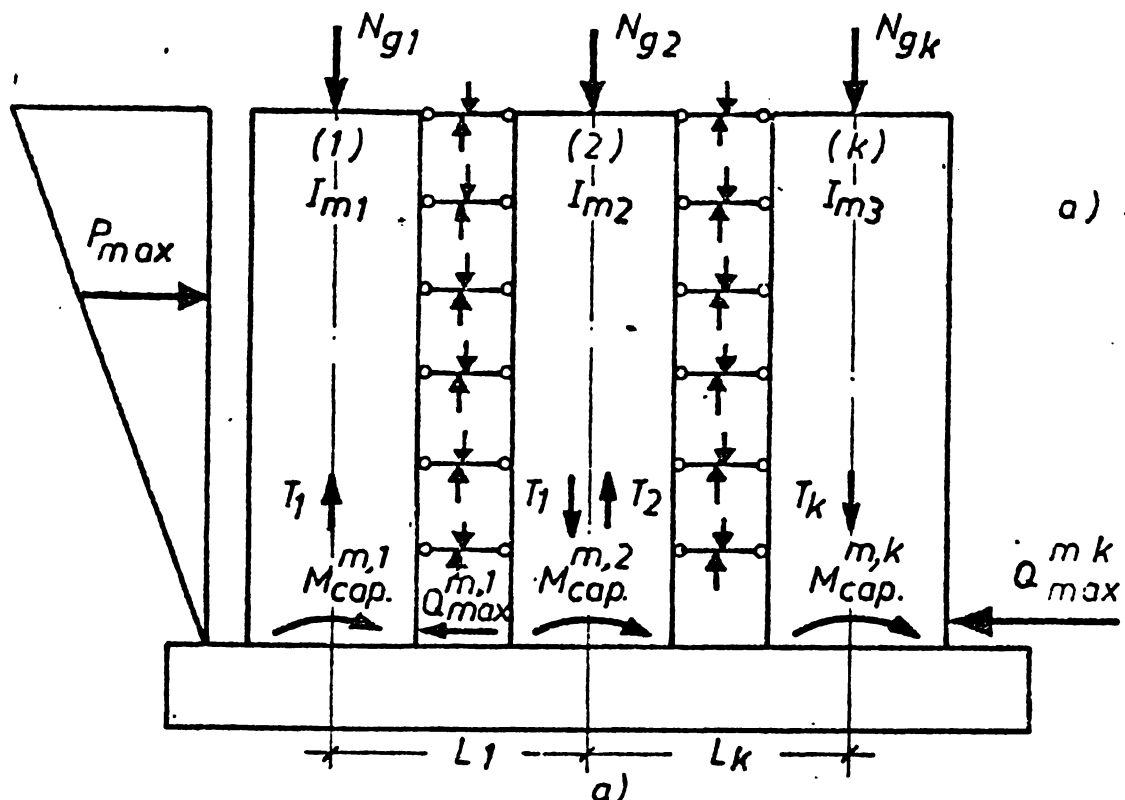
- unde :  $Q_{max}^{m,K}$  - este forța tăietoare maximă la baza montantului K, corespunzătoare atingerii stadiului ultim;
- $P_{max}^{m,K}$  - este încărcarea exterioară maximă necesară atingerii stadiului ultim;
- $M_{cap}^{m,K}$  - momentul capabil la baza montantului K, ține seama de prezența încărcărilor verticale permanente etc și de cel al forțelor axiale în montanți, provenite din plastificarea tuturor buiandrugilor (atingerea limitei de curgere în armătura întinsă a tuturor buiandrugilor);

$T_K$  - este forța axială în montantul K, corespunzătoare plastificării tuturor buiandrugilor pe toată înălțimea diafragmei;

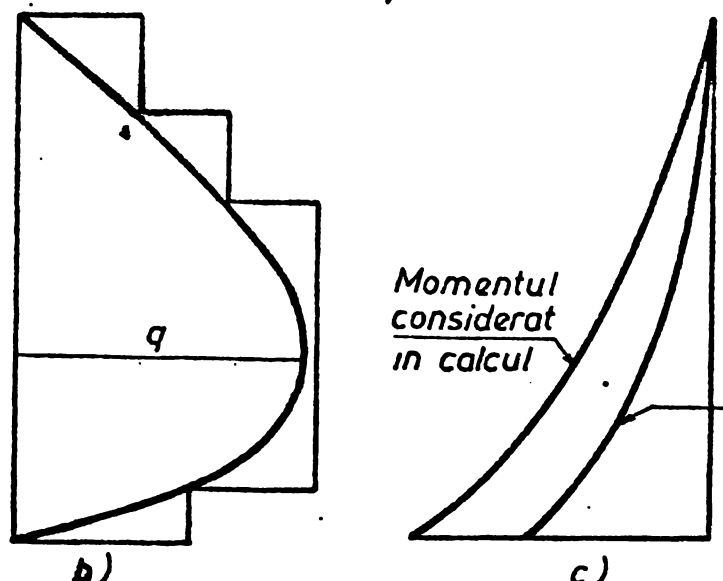
H. - înălțimea diafragmei.

Se calculează armătura transversală în montanți capabila să preia singură forță tăietoare calculată anterior.

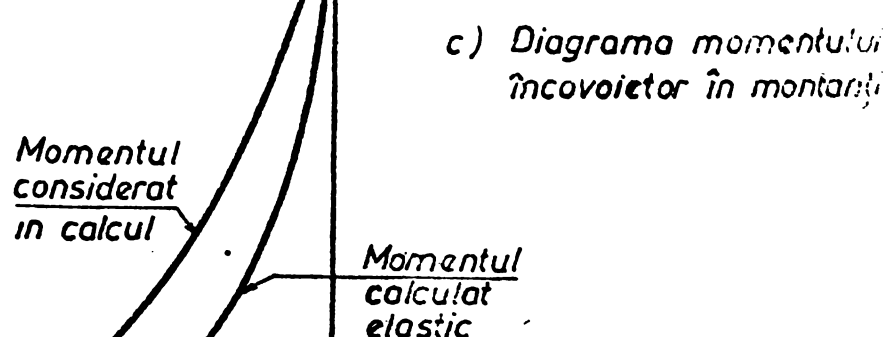
Acest calcul este valabil la diafragmele la care hotărîtor este modul I de vibrație.



a) Schema statică corăspunzătoare stadiului ultim al diafragmei.



b) Diagrama forței tăietoare în buiandrugi



c) Diagrama momentului încovoiator în montanți

FIG. 6.1

### 6.3. Recomandări privind proiectarea diafragmelor ținând seama de cerințele de rezistență și durabilitate.

Proiectarea modernă, antiscismică a structurilor cu diafragme din beton armat presupune asigurarea simultană a cerințelor

rezistență și ductilitate.

Normativul 13/70 privind proiectarea construcțiilor civile și industriale în zone seismice prevede necesitatea conferirii acestor structuri pe lîngă o capacitate de rezistență corespunzătoare, proprietăți de ductilitate minime necesare unei comportări satisfăcătoare, la acțiunea încărcărilor dinamice (vînt, cutremur, explozii). Nu sînt, însă, precizate criterii concrete de proiectare privind ductilitatea.

Pe baza concluziilor desprinse din analiza efectelor unor cutremure naturale asupra structurilor cu diafragme din beton armat /72/ /74/ /82/ /92/ /28/ /73/, din încercările experimentale efectuate în R.S.R. și în străinătate, cît și din încercările experimentale proprii, se pot sintetiza unele recomandări privînd proiectarea și alcătuirea structurilor cu diafragme cu asigurarea simultană a cerințelor de rezistență și ductilitate.

#### 6.3.1. Ductilitatea diafragmelor pline.

La acțiunea încărcărilor orizontale alternante în diafragme apar solicitări  $\pm M$ ,  $\pm T$ ,  $\pm N$ , care produc eforturi ce se suprapun peste eforturile din încărcările verticale existente în diafragmă în timpul explorației ei.

Avariile care pot apărea în diafragme, reflectă în mare măsură preponderența unei anumite solicitări. Cel mai frecvent întîlnite sunt diafragmele zvelte și medii ( $H/B \approx 2,5$ ) la care efortul predominant îl are încovoierea. Avariera caracteristică în acest caz constă în formarea articulațiilor plastice la baza diafragmelor. Aceste articulații plastice și conservă individualitatea și capacitatea de rotire ductilă numai dacă sunt îndeplinite anumite condiții și anume :

a) Intensitatea efortului de compresiune provenit din încărcările verticale permanente să fie moderată. Cu cît deformuția de compresiune va fi mai mare, cu atât ductilitatea va fi mai mică, zdrobirea ultimă a betonului producîndu-se mai devreme.

In funcție de factorul de intensitate a deformațiilor de compresiune centrică "s" definit ca raportul dintre efortul median de compresiune  $G_o$  ( $G_o = N_g/A_m$ ) și rezistența betonului la compresiune "R\_c" (fig.6.2).

$$s = \frac{G_o}{R_c} \quad (6.3)$$

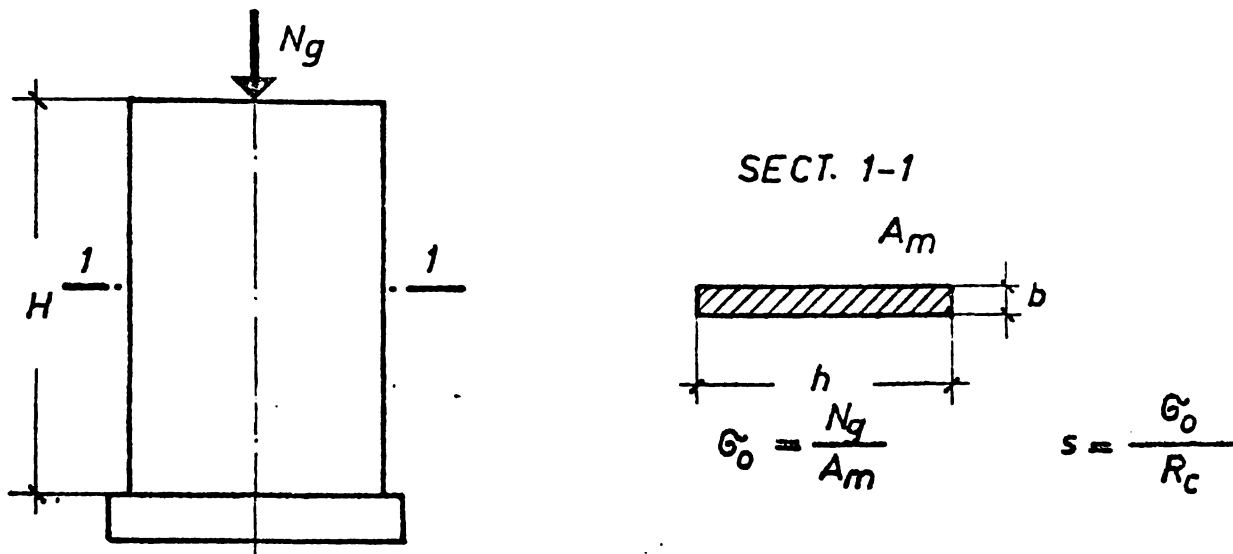


FIG. 6.2

se definesc trei domenii distincte referitoare la ductilitatea diafragmelor de beton armat, cu armătura simetrică :

-  $s \leq 0,3$ . Ductilitatea ultimă a diafragmelor va fi de minimum 2 și nu este necesară o ductilizare artificială, prin utilizarea unei armături transversale suplimentare. În acest domeniu se încadrează marea majoritate a diafragmelor;

-  $0,3 < s \leq s_{max} = 0,5$ . Ductilitatea ultimă a diafragmelor va fi mai mică decât 2 și se impune o ductilizare artificială cu armătură transversală. Procentul minim de armare care asigură o ductilitate mai mare decât 2 se determină aproximativ astfel (fig. 6.

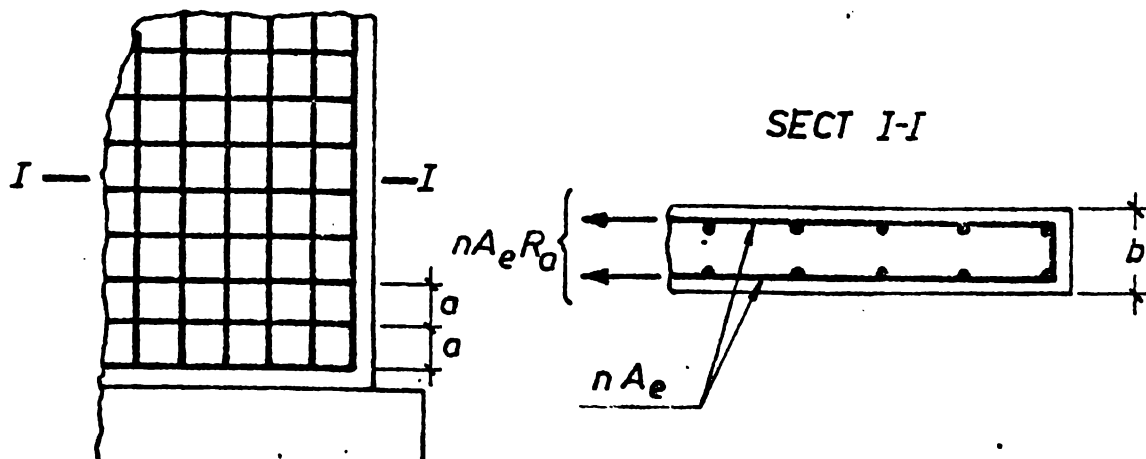


FIG. 6.3

$$\% P_t > (s + 0,1)$$

(6.4)

$$\% P_t \geq \frac{n A_e}{a \cdot b} \cdot 100 \quad (6.5)$$

Acest caz este rar întîlnit la diafragme.

-  $\Delta s = s_{max}$ . Ductilitatea este foarte mică și diafragma trebuie reprojecțată.

b) Evitarea unei ruperi casante datorită forței tăietoare. Acet lucru se poate realiza prin punerea condiției ca forța tăietoare maximă care apare la baza montantului în studiu să fie integral preluată de armătura transversală (fig. 6.4).

SECT. A-A

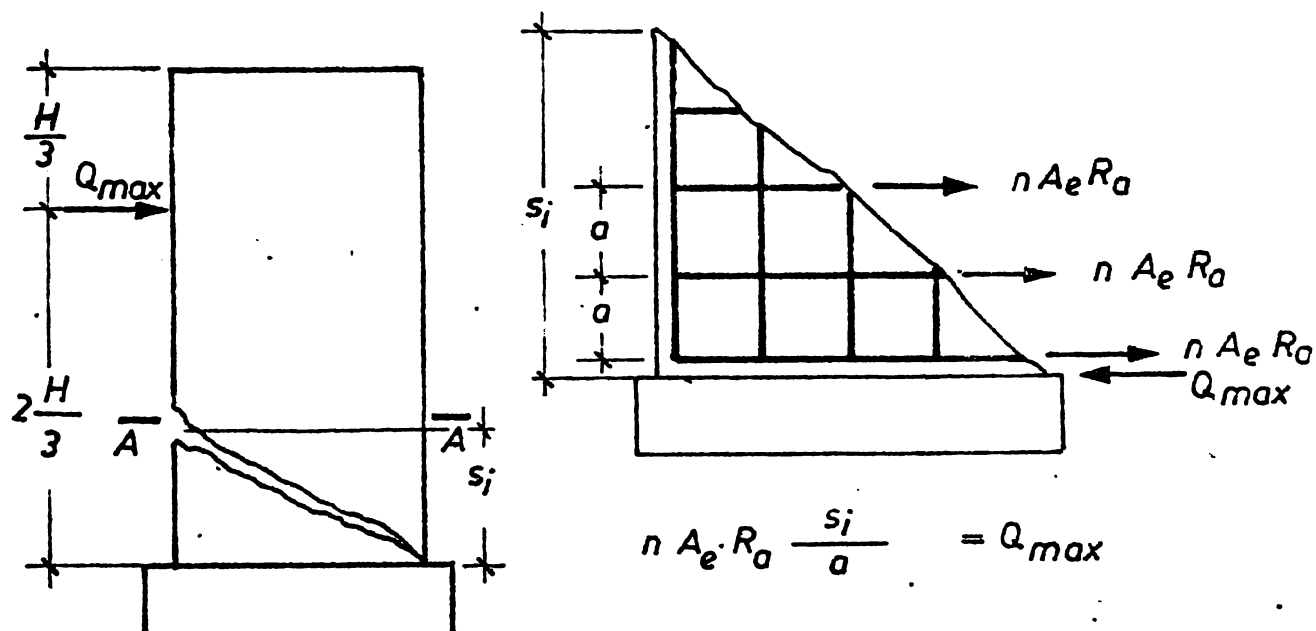


FIG. 6.4

$$n A_e R_a - \frac{s_i}{a} = Q_{max} \quad (6.6)$$

unde :  $s_i$  - este proiecția pe verticală a fisurii înclinate;

$Q_{max}$  - este forța tăietoare corespunzătoare atingerii capacitatii portante a diafragmei la baza ei.

Diafragmele se calculează ca elemente slab armate /38/. Fiind slab armate, pentru a evita o degradare locală pronunțată la marginile bazei diafragmei, sub acțiunea încăr cărilor altitudinale mari, se recomandă dispunerea armăturii la vîndinale pe mai multe rînduri.

### 6.3.2. Ductilitatea diafragmelor cu galuri.

Disiparea energiei introduse în structură de către un c.

tremur trebuie să se facă creind baraje dissipatoare de energie prin plastificare, cu condiția păstrării stabilității structurii, admitînd întotdeauna o linie elastică finală. Astfel, în cazul diafragmelor cu șiruri de goluri, buiandrugii trebuie să lucreze ca dissipatori principali de energie. Ei trebuie astfel concepuți încît la capetele lor să se formeze articulațiile plasticice cît mai ductile fără să apară ruperi locale înaintea formării articulațiilor plasticice și la baza montanților. Păstrarea montanților în domeniul elastic pînă înaintea stadiului ultim, conferă structurii stabilitate.

Ductilizarea structurilor cu diafragme cu șiruri de goluri se face prin ductilizarea elementelor lor componente.

#### 6.3.2.1. Ductilizarea buiandrugilor.

Acțiunea seismică care imprimă diafragmei o mișcare orizontală alternantă, obligă buiandrugii, prin intermediul montanților, să se comporte ca niște grinzi de beton armat supuse la încărcări alternate. Deci, ductilizarea buiandrugilor se face ca și la grinzi de beton armat solicitate alternant.

a) Buiandrugii lungi respectă teoria liniară de încovoiere capacitatea lor portantă putîndu-se evalua ca atare, armarea lor fiind simetrică. Mărirea ductilității lor se face prin îndeplinirea următoarelor condiții :

- limitarea procentului de armare longitudinal astfel încît forța tăietoare să nu depășească valoarea de  $2 b h_0 R_t$ . Dacă se respectă această condiție elementul poate să atingă, mai întîi, limita de curgere în armătura intinsă, în secțiunea de încastrare, fără să se producă ruperea prin forța tăietoare în secțiunea inclinată (fig.6.5).

$$\%P_{long} \leq \frac{R_t l_0}{R_a (h_0 - a')} 100 \quad (6.7)$$

Pentru mărci obisnuite de beton (B 200, B 300) și cîtele le (QB 37) relația (6.7) ar corespunde procentelor (l = 1 - 1,3)%.

- Evitarea efectului forței tăietoare, prin preluarea completă a ei prin intermediul armăturii transversale :

$$\%P_t \geq \frac{Q_{max}}{b R_a s_i} 100 \quad (6.8)$$

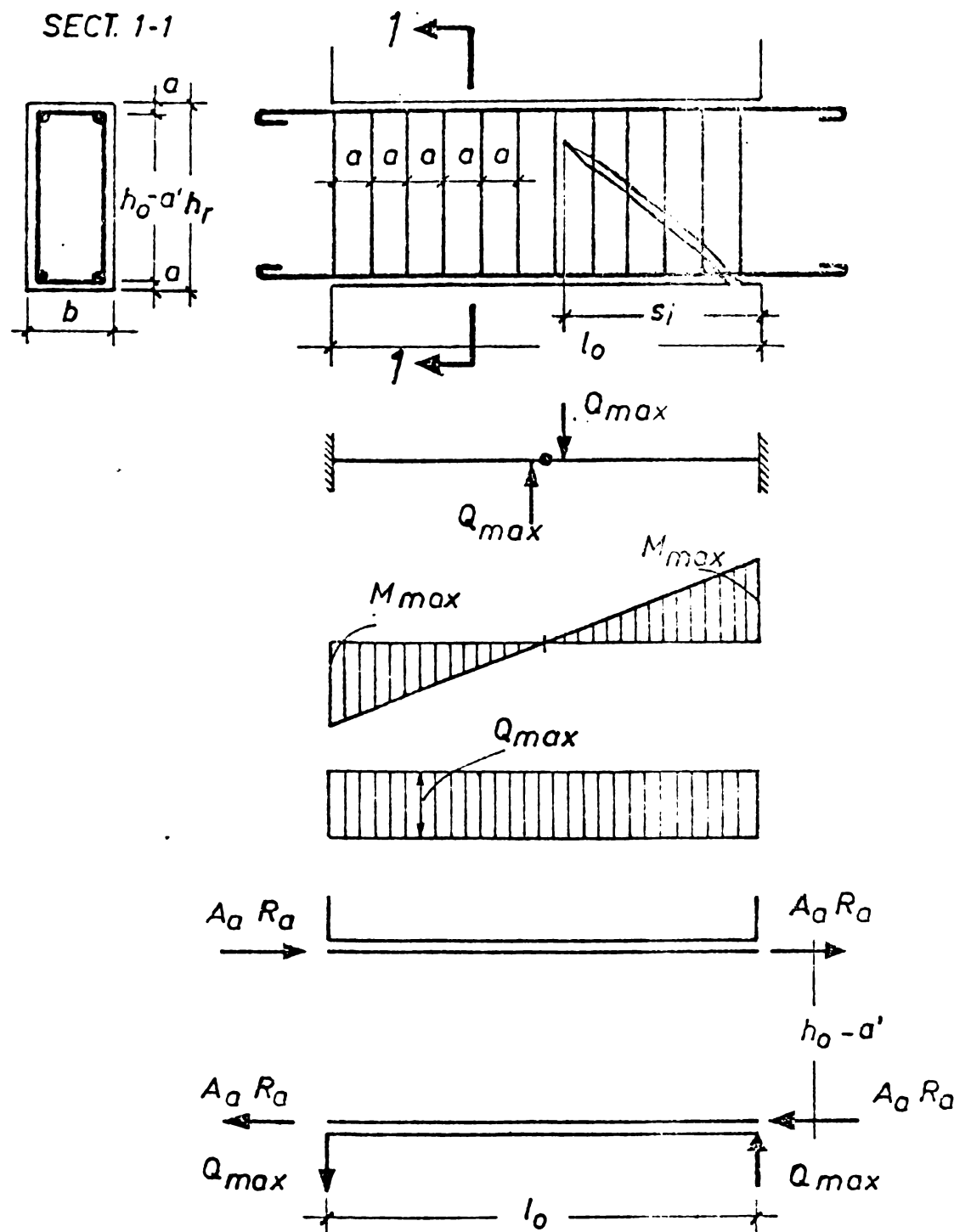


FIG. 6.5

b) Buiandrugii scurți sănătoși sunt foarte sensibili la efectul forței tăietoare, astfel încât o rupere după încercarea unor este inevitabilă. Pentru evitarea acestor accidente și extinderea unor formule adecvate privind capacitatea portată ar trebui efectuat un program experimental vast. Mărirea ductilității acestor elemente se face prin respectarea accelerării recomandării ca și în buiandrugii lungi.

Concluziile programului experimental referitoare la armarea în diagonală a buiandrugilor au scos în evidență performanța acestui mod de armare din punct de vedere al capacitatei și al ductilității. Efectul favorabil al armării în diagonală este mult mai pronunțat la buiandrugii scurți. Deci se recomandă armarea buiandrugilor scurți cu armătura în diagonală după direcționale principale.

Calculul buiandrugilor cu armătura în diagonală se face în modul următor :

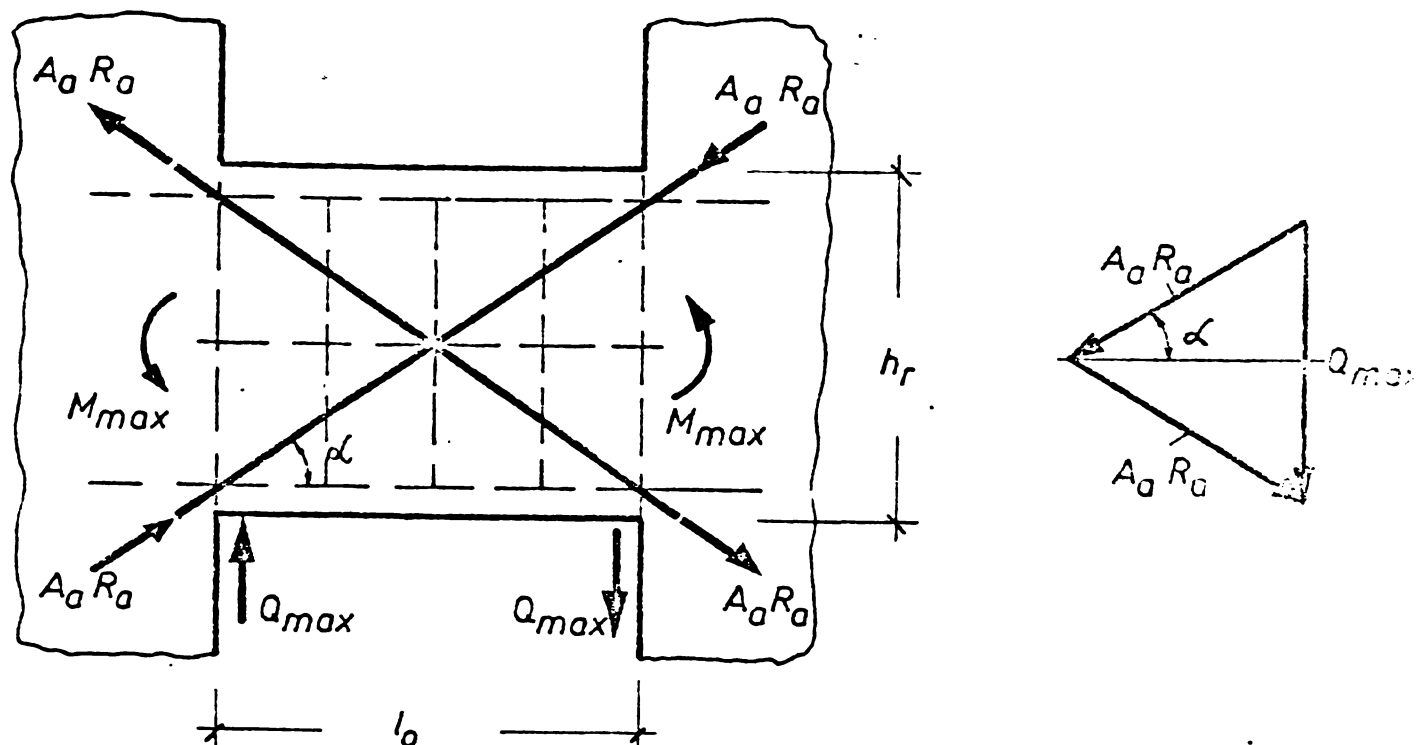


FIG. 6.6

În urma unei ecuații de echilibru a forțelor (fig.6.6) rezultă :

$$A_a = \frac{Q_{max}}{2R_a \sin \alpha}$$

Momentul încovcietor se calculează din ecuația de echilibru a momentelor :

$$M_{max} = A_a R_a l_0 \sin \alpha$$

### 6.3.2.2. Ductilizarea montantilor.

Pentru ductilizarea montantilor diafragmelor cu goluri este necesară respectarea următoarelor condiții :

a) Intensitatea efortului de compresiune, provenit din încărările verticale permanente cît și din încărările provocate din seism, corespunzătoare curgerii armăturii tuturor buiandrilor, să fie moderată (fig.6.7).

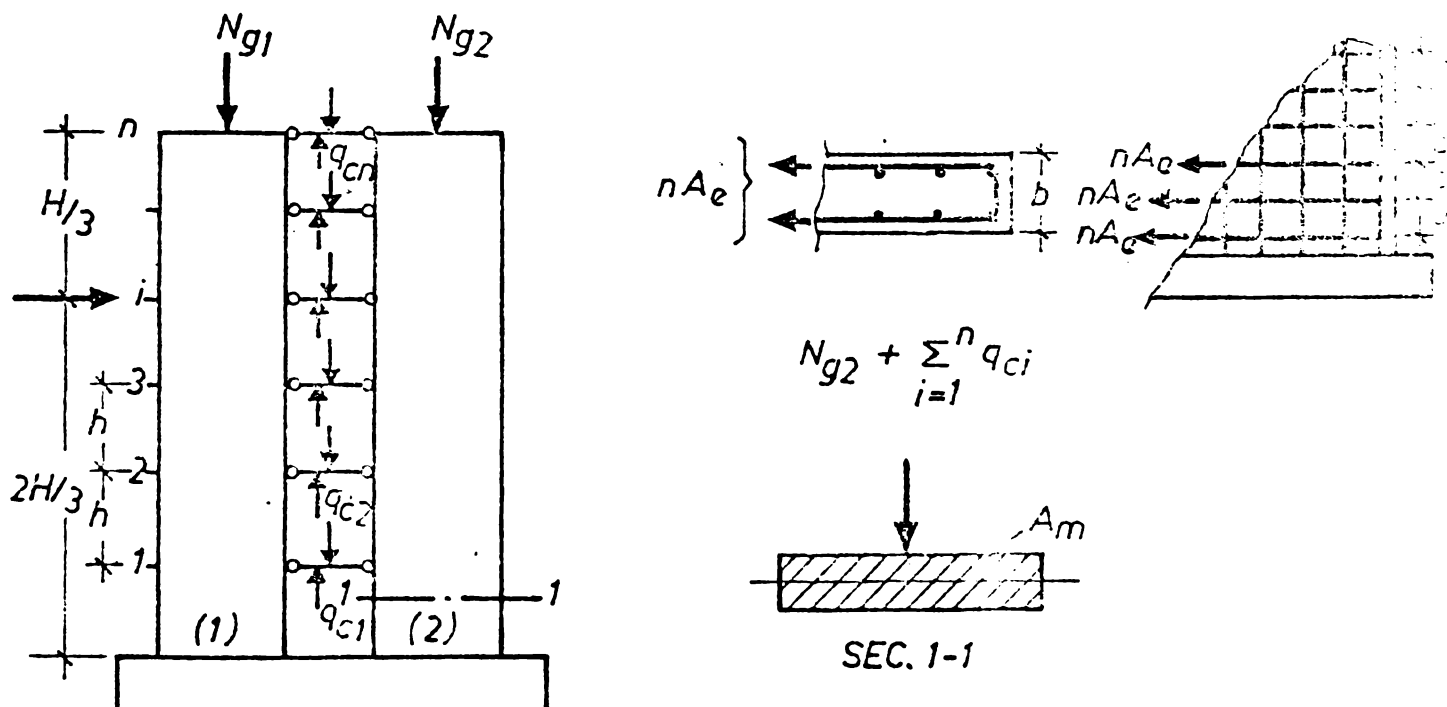


FIG. 6.7

Efortul mediu de compresiune se calculează cu următoarea relație :

$$\sigma_0 = \frac{N_{g2} + \sum_{i=1}^n q_{ci}}{A_m} \quad (6.1')$$

În funcție de factorul de intensitate a deformațiilor în compresiune centrică "s" definit ca raportul dintre efortul median de compresiune " $\sigma_0$ " și rezistența betonului la compresiune :

$$s = \frac{\sigma_0}{R_c} \quad (6.1)$$

Se definește ca și la diafragmele pline (vezi pct.6.3.1) trei doarri distanțe referitoare la ductilizarea diafragmelor beton armat, cu armătura simetrică. Ductilizarea montantilor face exact ca și la diafragmele pline conform pct.6.3.1.

In proiectare se recomandă acordarea unei atenții deosebite.

te montanților extremi (marginali) care sunt în general suprasolicitați din forță axială care reduce ductilitatea lor.

b) Evitarea unei ruperi casante datorită forței tăietoare. Acest lucru se poate realiza prin punerea condiției ca forța tăietoare maximă care apare la baza montantului în stadiul ultim (fig. 6.8) să fie integral preluată de armătura transversală.

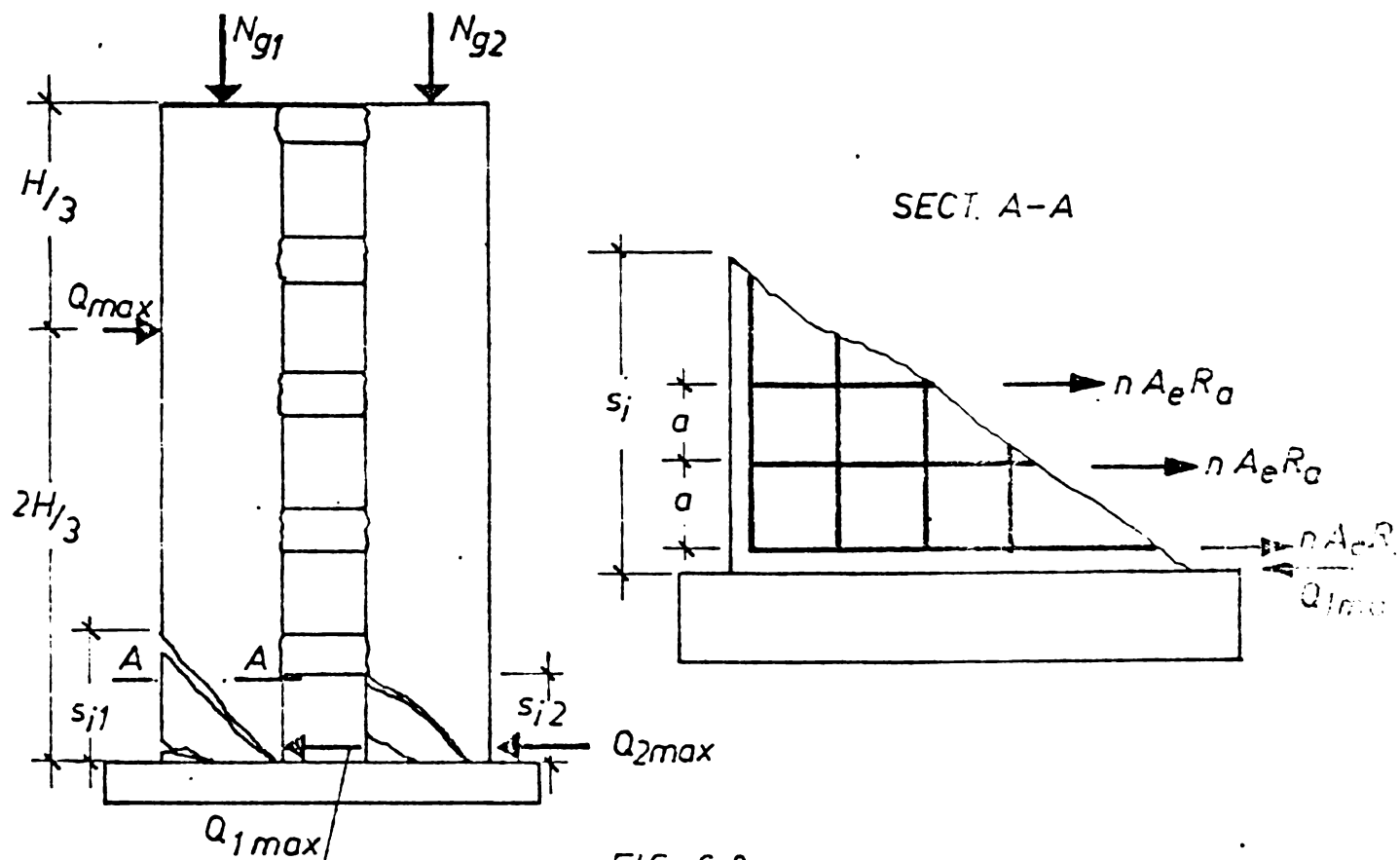


FIG. 6.8

$$n A_e R_c \frac{s_i}{a} = Q_{max} \quad (6.13)$$

unde :  $Q_{max}$  - este forța tăietoare maximă care apare la baza montantului în stadiul ultim.

Se recomandă să se facă verificarea la forță tăietoare toate secțiunile montanților în stadiul ulti mai ales la rezistență de turnare punând condiția că betonul în regiunile răsoare să nu participe la preluarea forței tăietoare.

B I B L I O G R A F I E  
=====

- /1/ Agent, R., Bazile teoretice și aplicațiile utilizării distorsiunilor în calculul cadrelor etajate. În : Revista Construcțiilor și a materialelor de construcții, nr. . . , 1963.
- /2/ Agent, R., Sisteme reticulare nedeterminate, București, Editura Tehnică, 1970.
- /3/ Agent, R. și alții, Calculul rigidităților diafragmelor plane și cu goluri la clădiri etajate, Institutul de Construcții București, 1975.
- /4/ Albiges, M., Goulet, I., Contreventement des bâtiments. Annales de l'Institut Technique du Batiments et des Travaux Publics, No.5, 1960.
- /5/ Arcan, M., Berechnungsverfahren für Windscheiben mit einer Reihe von Öffnungen Spannungsoptische Untersuchung Die Bautechnik, Vol.41, March, 1964, pp.95-100.
- /6/ Arcan, M., O metodă de calculual diafragmelor de rigiditate cu un sir de goluri, Studii și cercetări de mecanică aplicată, nr.2, 1962.
- /7/ Avram, C., Curs de beton armat, partea a II-a, Calculul și alcătuirea elementelor de construcții, Timișoara, Litografia învățământului, 1955.
- /8/ Avram, C. și Filimon, I., Curs de beton armat, partea a III-a, Editura Didactică și Pedagogică, București, 1967.
- /9/ Avram, C., Făcăoaru, I., Filimon, I., Mîrșu, O., Tertea, Rezistențele și deformațiile betonului, București, Editura Tehnică, 1971.
- /10/ Avram, C., Anastasescu, D., Mîrșu, O., Manteanu, I., Cercetări privind calculul și comportarea structurilor în realizate din cadre-diafragme de beton armat supuse sarcini orizontale, Revista Construcțiilor și a materialelor de construcții, nr.5, 1969.
- /11/ Avram, C., Anastasescu, D., Mîrșu, O., Manteanu, I., Cercetări asupra diafragmelor-cadre din beton armat, Revista Construcțiilor și a materialelor de construcții, nr. . .

- X12/ Avram, C., Mirsu, O., Bob, C., Asupra ductilității și energiei de deformare a elementelor de beton armat, în vederea analizei nelineare a structurilor supuse la seism. A III-a Conferință de betoane, Cluj, 1970.
- /13/ Beck, H., Contribution to the analysis of coupled shear walls. Proceedings ACI Journal, Vol.59, august 1962, pp. 1055-1070.
- ✓ 14/ Beck, H., Ein neues Berechnungsverfahren für gegliederte Scheiben dargestellt am Beispiel der Vierendeelträger. Der Bauingenieur, Vol.31, Heft 12, pp.436-443.
- /15/ Beck, H., Ein Beitrag zur Berücksichtigung der Dehnungswertformungen bei Rahmen mit schlanken und gedrungenen Konstruktions Gliedern. Die Bautechnik, Vol.36, Heft May 1959, pp. 178-184.
- /16/ Beck, H., Ein Beitrag zur Berechnung regelmässig gegliederte Scheiben. Ingenieur - archiv, Vol.XVI, 1958.
- /17/ Berg, V.B. and Stratta, I.L., Anchorage and the Alaska earthquake of march 27, 1964, American Iron and Steel Institute, New York, N.Y. 1964.
- ✓ 18/ Binney, I.R., Diagonally reinforced coupling beams, M.S. report, University of Canterbury, Christchurch, New Zealand, feb. 1972.
- /19/ Blume, I.A., New mark, N.M. and Corning, L.H. Design of multistoroy reinforced concrete buildings for earthquakes. Portland cement Association, Chicago, 1961.
- ✓ 20/ Bob, C., Contribuții la studiul articulațiilor plastice structurile de beton armat formate din elemente liniare, teză de doctorat, Timișoara, 1969.
- /21/ Boutin, I.P., Puech, C. și Tran Trong, Etude comparative de calcul des murs en béton armé suivant divers règlements. In Annales de l'Institut technique du bâtiment et des travaux Publics, 1970, juin 1970.
- ✓ 22/ Brînzan, I. și alții, Modèles de diafragmes en béton armé soumis à de fortes sollicitations dynamiques, International Symposium on the effects of repeated loading materials and structural elements, RILEM, Mexico City, 1966.

- /23/ Brînzan, I., Metode de calcul a diafragmelor de beton armat cu un sir de goluri rectangulare, Revista Construcțiilor și a materialelor de construcții, nr.2, 1968.
- /24/ Brînzan, I. și Barbaiani, M., Calculul și alcătuirea structurilor ctajate cu diafragme, București, Editura Tehnică, 1976.
- /25/ Chitty, L., On the cantilever composed of a number of parallel beams interconnected by cross bars, The London Edinburgh and Dublin philosophical magazine and Journal of science, Vol.38, oct. 1947, pp. 685-699.
- /26/ Cișmigiu, A., Titaru, E.M., Velkov, M., Energetic interpretation of the structure behaviour during the earthquake of 26 July 1963 in Skopje and conclusions concerning the elasto - plastic design, University of Skopje 1967 and 1968.
- /27/ Cișmigiu, A., Forțe - materiale - structuri, Revista de arhitectură, nr.3-4, București, 1972.
- /28/ Cișmigiu, A., Proiectarea rezistenței și ductilității zilor și stâlpilor din beton armat, Revista construcțiilor, nr.2, 1976.
- /29/ Coll, A., Puri, A.D. și Tottenham, H., Numerical elastic analysis of coupled shear walls. In : Proceedings of the Institution of Civil Engineering, Vol.55, martie 1973.
- /30/ Csonka, P., Eljárás elmozduló sarkú derékszögű keretek számítására, Budapest, 1950.
- /31/ Csonka, P., Une contribution à la simplification de la méthode de Hardy Cross in technique moderne, Construction no.3, 1952.
- /32/ Dabija, E.F., Aspecte privind ductilitatea și capacitatea de absorbție a energiei de către elementele de beton armat. In : Revista Construcțiilor și a materialelor de construcții, nr.12, 1969.
- /33/ Decauchy, M.A., Contreventement des bâtiments, Annales de l'Institut technique du Bâtiment et des Travaux Publics, Vol.17, No.193, ian. 1964.

- /34/ Dumitrescu, D. și Agent, R., Scheme logice pentru calculul elementelor de beton armat și beton precompresionat (Partea I-a), Institutul de Construcții București, 1973.
- /35/ Dumitrescu, D. și Colmanovici, G., Proiectarea armării elementelor de beton cu plase sudate, Editura Tehnică, București, 1973.
- /36/ Dumitrescu, D. și alții, Principii fundamentale privind siguranța și calculul construcțiilor, raport general, la V-a Conferință de betoane, Timișoara, 1972.
- /37/ Filimon, I., Unele probleme ale betonului slab armat, autoreferat - dizertație, Litografia Institutului Politehnic Timișoara, 1959.
- /38/ Filimon, I., Elemente de beton slab armat solicitate excentric, Buletinul Stiintific și Tehnic al Institutului Politehnic Timișoara, 1959.
- (139) Fintel, M., Response of buindings to lateral forces. In : Journal of the ACI, Vol.68, nr.2, 1971.
- (140) Fintel, M., Ductile shear walls in earthquake resistant multistorey buildings. Proceedings American Concrete Institute Journal, Vol.71, No.6, June 1974, pp.296-309.
- /41/ Florian, V., Calculul diafragmelor cu goluri cu ajutorul calculatoarelor electronice cifrice. In : Revista Construcțiilor și a materialelor de construcții, nr.10-11, 1967.
- /42/ Florian, V., Contribuții privind calculul diafragmelor cu goluri, al diafragmelor cuplate și al cadrelor diafragme. In : Studii și cercetări de mecanică aplicată, nr.6, 1965 și nr.1, 1966.
- (143) Florian, V., Contribuții privind calculul la forțe orizontale al structurilor alcătuite din diafragme. In : Studii și cercetări de mecanică aplicată, nr.6, 1964.
- (144) Friedrich, R., Bazile metodei elementelor finite, curs postuniversitar, Construcții speciale de beton armat, I.P.T. 1972.

- /45/ Frischmann, W.W., Parbhoo, S.S., Toppler, I.F., Multistorey frames and interconnected shear walls subjected to lateral loads. Concrete and constructional Engineering, Vol. 58, 1963.
- /46/ Girijavallabhan, C.V., Analysis of shear walls by finite element method. Proceedings of the Symposium en application of finite methods in civil engineering, Vanderbilt University, Nashville Tennessee, Nov. 1960, pp. 631-641.
- /47/ Gluck, I., Elasto - plastic analysis of coupled shear walls. Proceedings, Structural Division ASCE, Vol.99, No. ST8, Aug. 1973, pp.1743-1760.
- /48/ Green, N., Bracing walls for multistorey buildings, Proceedings ACI Journal, Vol.49, Nov. 1952, pp. 233-284.
- /49/ Hangan, M., Construcții din beton armat, București, Editura Tehnică, 1963.
- /50/ Housner, G.W., Behaviour of structures during earthquake. I.E.M.D. Proc. ASCE, No. EM4, Oct. 1959.
- /51/ Iain, Mc. Leod., A rectangular finit element for the shear walls. Analysis in Journal of the Structural Division, apr. 1969.
- /52/ Ifrim, M., Analiza dinamică a structurilor și inginerie seismică, București, Editura Didactică și Pedagogică, 1973.
- /53/ Kazimi, S.N.A., The analysis of shear wall buildings. Building science, Vol.1, aug. 1966.
- /54/ Keintzel, E., Calculul cadrelor etajate simetrice cu o sic hură deschidere cu stîlpi axial deformabili la forțe zontale. In : Revista Construcțiilor și a materialelor de construcții, nr.1, 1967.
- /55/ Keintzel, E., Calculul simplificat al diafragmelor cu jecuri neсиметрические la sarcini orizontale. In : Revista Construcțiilor și a materialelor de construcții, nr.1, 1968.

- /56/ Keintzel, E., Metode simplificate pentru calculul construc-  
tiilor multietajate, Bucureşti, Editura Tehnică, 1969.
- /57/ Keintzel, E., Calculul spaţial al construcţiilor multietajate ţinînd seama de rigiditatea de răsucire a elemen-  
telor structurale. În : Revista Construcţiilor şi a  
materialelor de construcţii, nr.12, 1971.
- (/58/) Keintzel, E., Calculul în domeniul plastic al construc-  
ţiilor cu diafragme. În : Revista Construcţiilor, nr.7,  
1973.
- /59/ Lerner, E., Asupra calculului diafragmelor la acţiuni se-  
ismice. În : Revista Construcţiilor şi a materialelor  
de construcţii, nr.2, 1968.
- /60/ Lerner, E., Referat privind calculul cu ajutorul calculato-  
rului electronic al structurilor alcătuite din diafrag-  
me de beton armat, supuse la solicitări seismice. În :  
Proiect ISART, Nr. D 35-17C, Bucureşti, oct. 1971.
- /61/ Lin, T.Y., Lateral force distribution in a concrete  
building storey. În : Journal of ACI, nr.12, 1951.
- (/62/) Mateescu, D., Anastasescu, D. şi Gădeanu, L., Calculul  
timpanelor rigide cu un sir de goluri, Revista Construc-  
ţiilor şi a materialelor de construcţii, nr.2, 1962.
- /63/ Mazilu, P., Statica construcţiilor, Vol.II, Bucureşti,  
Editura Tehnică, 1959.
- (/64/) Mîrşu, C., şi Vuc, I., Metode de calcul al diafragmelor la  
acţiuni seismice, Revista Construcţiilor şi a materiu-  
lelor de construcţii, nr.6, 1963.
- /65/ Muto, K., Seismic analysis of reinforced concrete buildings.  
Proc. IWCEE, Berkeley, California, 1956.
- /66/ Negoită, A., Dumitras, M., Parametrii ductilităţii elemen-  
telor încovioate precomprimate, A VIII-a Conferinţă de  
Betoane, Cluj-Napoca, 1976.
- /67/ Negoită, A., şi alții, Cercetări privind optimizarea re-  
ţiei rezistenţă - ductilitate în proiectarea structuri-  
lor antiseismice alcătuite din beton armat uşor şi co-  
poziţie plan 830/1975, contract 11698/1973.

- /68/ Newmark, N.M., Hall, W.Y., Dynamic behaviour of reinforced and prestressed concrete buildings under horizontal forces and the design of joints, AIPC, Publication préliminaire, Huitième Congrès, New York, 9-14 sept. 1968, pp. 584-661.
- /69/ Olteanu, Gh., și Paruv, E., Metoda elementelor finite. Sinteza documentară, Vol.II și III, București, INIO, 1973.
- (170) /70/ Paulay T., The coupling of shear walls. P.H.D. Thesis, University of Canterbury, Christchurch, Newzealand, 1969.
- (171) /71/ Paulay, T., An elasto - plastic analysis of coupled shear walls, Proceedings ACI Journal, Vol. 67, No.11, Nov. 1970, pp. 915-922.
- (172) /72/ Paulay, T., Coupling beams of reinforced concrete shear walls. Journal of the structural Division, ASCE, Vol. 97, ST3, Proc. paper 7984, Mar. 1971, pp. 843-862.
- (173) /73/ Paulay, T., Simulated seismic loading of spandrel beams, Journal of the Structural Division ASCE, Vol. 97, ST 9, Proc. paper 8365, Sept. 1971.
- /74/ Paulay, T., and Binney, I.R., Diagonally reinforced coupling beams, Publication SP-42, ACI, Detroit, March 1974, pp. 579-598.
- /75/ Penzon, I., Elastic - plastic response of idealized multistorey structures subjected to a strong motion earthquake. Proceedings, Second world conference on earthquake engineering, Tokoyo, 1960, Vol.II, pp. 739-760.
- /76/ Przemieniecki, I.S., Theory of matrix structural analysis; McGRAW-HILL, Toronto, 1968.
- /77/ Rosman, R., Die statische Berechnung von Hochhauswänden mit Öffnungsreihe, Bauingenieur Praxis, Heft 65, Wilhelm Ernst and Sohn, Berlin, 1965.
- /78/ Rosman, R., Beitrag zur statischen Berechnung waagrecht belasteter Querwände bei Hochbauten, Der Bauingenieur, part.I, Vol.35, Heft 4, 1960, pp.133-136; part II, Vol. 37, Heft 1, 1962, pp.24-26; part III, Vol.37, Heft 3, 1962, pp.303-308.

- /79/ Rosman, R., Spannungsoptische Untersuchung einer waagrecht belasteten Querwand eines Hochbautes, Der Bauingenieur, Vol.37, Heft 12, 1962, pp.466-469.
- /80/ Sandi, H. și alții, Studiu experimental asupra deformării dinamice a clădirilor înalte, Studii și cercetări INCERC, seria Mecanica construcțiilor, nr.2, 1967.
- /81/ Sandi, H. și alții, Utilizarea experimentală a programelor existente în vederea calculului unei structuri complexe, referat INCERC, sept. 1972.
- /82/ Santha Kumar, A.R., The ductility of coupled shear walls, Thesis presented to the University of Canterbury, At Christchurch, New Zealand, 1974 in Fulfillment of the requirements of the degree of doctor of philosophy.
- /83/ Steinbrugge, K.V., Flores, R.A., The chilean earthquake, of may 1960, A structural engineering viewpoint, Bulletin of the seismological society of America, vol. 53, No.2, feb. 1963, pp. 225-307.
- /84/ Tertea, I. și alții, Proiectarea betonului armat, Editura Didactică și Pedagogică, București, 1977.
- /85/ Titaru, E. și Cișmigiu, A., Calculul dinamic și spațial al construcțiilor la cutremur și la alte acțiuni laterale, Revista construcțiilor, nr.12, 1959.
- /86/ Topa, N., Calculul diafragmelor cu încastrări elastice avînd un singur sir de goluri, Revista Construcțiilor, nr.2, București, 1970.
- /87/ Voletsos, A.S. and New Mark, N.M., Effect of inelastic behaviour on the response of simple systems to earthquake motions, Proceedings, Second world conference on earthquake engineering, Tolyo, 1960, Vol.II, pp.895-912.
- /88/ Weaver, W. and Oakberg, R.G., Analysis of frames with shear walls by finite element methods, Proceedings of the Symposium on application of finite element methods in civil engineering, Nashville, Tennessee, Nov.1969, pp. 567-600.
- /89/ Zienkiewicz, O.K., The finite element method in engineering science, Mc.Craw Hill, London, 1971.

- /90/ x x x ACI 318-71 Building Code Requirements for reinforced Concrete.
- /91/ x x x ACI Commentary on building Code Requirements for reinforced concrete (ACI 318-71).
- /92/ x x x ACI Committee 442. Response of buildings to lateral forces, Journal of ACI, No.2, 1971.
- /93/ x x x The Agadir, Morocco earthquake, February 29, 1960 American Iron and Steel Institute, New York, 1962.
- /94/ x x x Alaska earthquake of 1964 and aftershocks, United States Government Printing Office, Washington, 1967.
- /95/ x x x Cercetări privind efectul contractiei asupra comportării diafragmelor cu goluri din beton armat. Contract nr.4/1976, Referat I.P.T. Timișoara, 1976.
- /96/ x x x Cercetări privind fundamentarea instrucțiunilor tehnice pentru proiectarea structurilor din diafragma de beton armat monolit cu considerarea efectului contractici, Contract I.P.T., nr.23/24.II.1977, Timișoara 1977.
- /97/ x x x Exemplu de calcul a unei structuri de clădiri de locuit alcătuită din diafragme de beton armat, acționată de solicitări seismice conform Indrumăturii IPCT 4203/III. In proiect ISART nr.D-35-14a, oct. 1971.
- /98/ x x x Indicații constructive privind alcătuirea clădirilor realizate cu ajutorul cofrajelor plane universale tip CUP-72, București, INCERC, august 1973.
- /99/ x x x Indicații provizorii pentru proiectarea structurilor cu diafragme din beton armat la clădiri etajate, Proiect ISART, nr.PT-916-91, oct. 1971.
- /100/ x x x Indrumător pentru calculul structurilor multietajate din beton armat la acțiunea sarcinilor seismice In Proiect IPCT, nr.4203/III, 1967.
- /101/ x x x Instrucțiuni tehnice provizorii pentru proiectarea construcțiilor cu diafragme din beton armat monolit. In Proiect ISART, Nr. N-66-2, București, 1973.

- /102/ x x x Limit design of structures to resist earthquakes  
- 1 - w.l.E.E., Berkeley, 1954.
- /103/ x x x P. 13-70 Normativ pentru proiectarea construcțiilor civile și industriale din regiuni seismice.  
In Buletinul constructiilor, nr.5, 1971.
- /104/ x x x Recomandări internaționale unificate CEB, CIB și UETtc pentru calculul și executarea structurilor din panouri mari monolitizate (trad. din l. franceză), CACAS, 1971.
- /105/ x x x The San Fernando, California earthquake of february 9, 1971. United States Government Printing Office, Washington, 1971.
- /106/ x x x Seismic details for special ductile frames.  
Reported by ACI Committee 315, Journal of ACI, may 1970.
- /107/ x x x The Skopje, Yugoslavia earthquake July 26, 1963.  
Ameciran Iron and Steel Institute, New York, 1964.
- /108/ x x x STAS 10107/0-76 Construcții civile și industriale. Calculul și alcătuirea elementelor din beton, beton armat și beton precomprimat.

T A B L A D E L A T E R I I  
=====

Pag.

Cap.1. Introducere . . . . .	2
1.1. Utilizarea structurilor cu diafragme și clasificarea lor . . . . .	1
1.1.1. Dispunerea în plan a diafragmelor . . . . .	1
1.1.2. Forma în plan a clădirii . . . . .	3
1.1.3. Conformația diafragmelor . . . . .	4
1.1.4. Tehnologii folosite pentru execuția structurilor cu diafragme . . . . .	5
1.2. Scurt istoric al dezvoltării metodelor de calcul al structurilor cu diafragme . . . . .	6
1.3. Stadiul actual al problemei . . . . .	11
1.4. Subiectul tezei de doctorat . . . . .	13
Cap.2. Analiza metodelor de calcul ale structurilor cu diafragme . . . . .	15
2.1. Metode simplificate . . . . .	15
2.1.1. Generalități . . . . .	15
2.1.2. Caracteristicile geometrice și de rigiditate	16
2.1.3. Metoda cadrelor . . . . .	20
2.1.4. Metoda structurii continue echivalente . . .	25
2.2. Metoda de complexitate medie . . . . .	35
2.2.1. Generalități . . . . .	35
2.2.2. Metoda rigidităților relative de nivel . . .	35
2.2.3. Metoda deformațiilor impuse . . . . .	39
2.3. Metoda elementelor finite . . . . .	45
2.3.1. Generalități . . . . .	45
2.3.2. Metoda elementelor finite . . . . .	45
2.3.3. Aplicarea metodei elementelor finite la analiza structurilor cu diafragme . . . . .	45
2.3.4. Precizări . . . . .	5
Cap.3. Calculul elastic-plastic al diafragmelor . . . . .	61
3.1. Introducere . . . . .	61
3.2. Ipoteze de calcul . . . . .	61
3.3. Modelul structural . . . . .	61
3.4. Calculul diafragmei . . . . .	61
3.4.1. Încărcaările și deformațiile constanților . . .	61
3.4.2. Condițiile de echilibru și compatibilitate al celor doi montanți . . . . .	61

3.4.3. Solicitările interioare și deplasările lamelelor . . . . .	66
3.4.4. Ecuația diferențială a solicitărilor interioare . . . . .	70
3.4.5. Condiții de margine . . . . .	71
3.4.6. Încărcările exterioare . . . . .	71
3.4.7. Solicitările interioare și săgeți . . . . .	72
3.5. Calculul diafragmei folosind metoda diferențelor finite . . . . .	72
3.5.1. Introducere . . . . .	72
3.5.2. Ecuația de recurență . . . . .	73
3.5.3. Încărcarea exterioară . . . . .	75
3.5.4. Condiții de margine . . . . .	76
3.6. Mechanismul de colaps . . . . .	76
3.7. Definirea rotirilor și ductilităților . . . . .	78
3.8. Stadiile de calcul elasto - plastic . . . . .	84
3.9. Rezolvarea problemei cu ajutorul metodei diferențelor finite . . . . .	
3.10. Calculul elasto plastic al diafragmelor cu goluri . . . . .	92
3.10.1. Calculul automat al ductilităților necesare pentru elementelor diafragmei cu un sir de goluri mijlocii . . . . .	93
3.11. Performanța structurilor cu diafragme la acțiuni dinamice . . . . .	97
3.12. Ductilitatea diafragmelor pline . . . . .	100
3.13. Ductilitatea diafragmelor cu goluri . . . . .	101
3.13.1. Buiandruși lungi . . . . .	102
3.13.2. Buiandruși scurți . . . . .	102
3.13.3. Ductilitatea montanților . . . . .	106
3.13.4. Ductilitatea diafragmei în ansamblu . . . . .	110
Cap.4. Propuneri de prevederi privind alcătuirea structurilor cu diafragme realizate monolit din beton armat în SIRIA . . . . .	111
4.1. Prevederi cu caracter general privind alcătuirea diafragmelor . . . . .	112
4.2. Prevederi constructive privind alcătuirea diafragmelor monolite de beton armat . . . . .	117
4.2.1. Dimensiunile geometrice ale diafragmelor . . . . .	117

4.2.2. Armarea diafragmelor . . . . .	118
Cap.5. Cercetări experimentale privind rigiditatea, ductilitatea și capacitatea portantă a diafragmelor	127
5.1. Scopul programului . . . . .	
5.2. Alcătuirea și execuția elementelor experimentale	128
5.3. Încercarea elementelor experimentale . . . . .	129
5.4. Rezultatele încercărilor și interpretarea lor . .	131
5.4.1. Rezultatele încercărilor primei etape . .	131
5.4.2. Rezultatele încercărilor etapei a doua . .	136
Cap.6. Concluzii generale și recomandări privind proiectarea diafragmelor ținând seama de cerințele de ductilitate . . . . .	142
6.1. Concluzii generale privind rigiditatea, ductili- tatea și capacitatea portantă a diafragmelor . .	143
6.2. O propunere privind proiectarea diafragmelor cu șiruri de goluri mijlocii ținând seama de cerin- țele de rezistență și ductilitate . . . . .	143
6.3. Recomandări privind proiectarea diafragmelor ținând seama de cerințele de rezistență și ductilitate . . . . .	145
6.3.1. Ductilitatea diafragmelor pline . . . . .	146
6.3.2. Ductilitatea diafragmelor cu goluri . . .	148
B i b l i o g r a f i e . . . . .	154

## PLAN COFRAGE DIAFRAGME DG1; DG2; DG3; DG4

Score 1:20

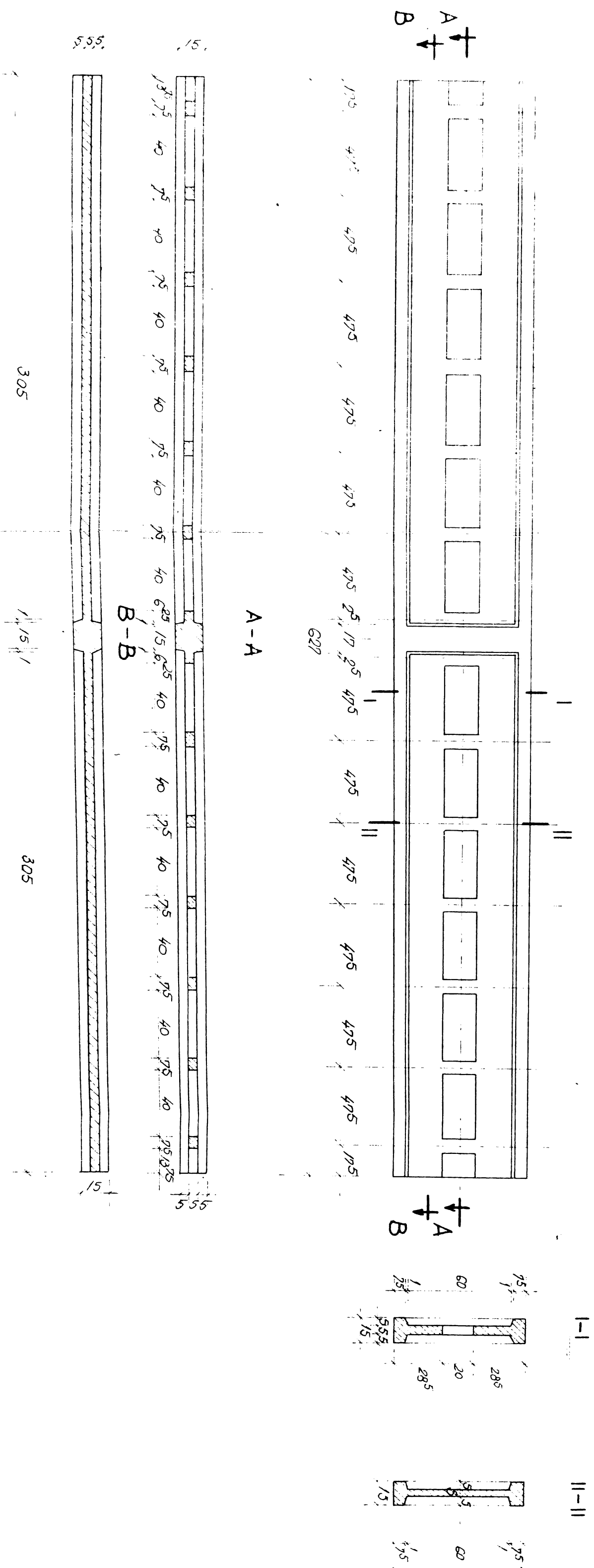


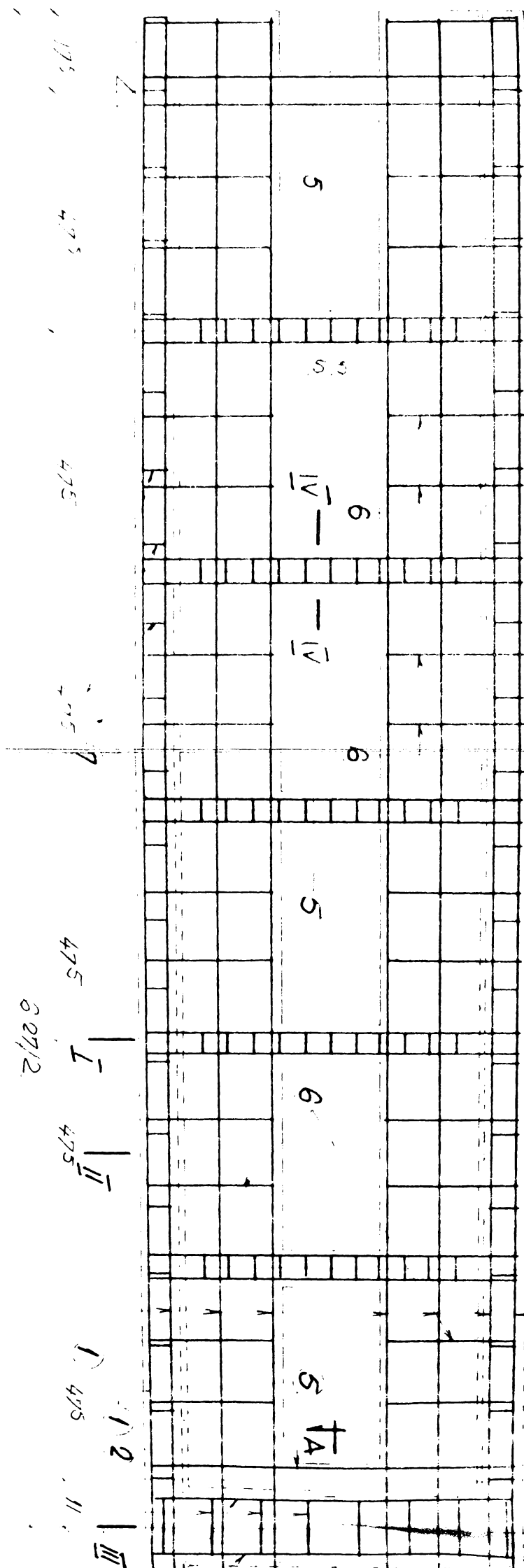
Fig. 5.1.

PLAN ARMARE DIAPRAGME DG1; DG2; DG3; DG4.

Stare / 10

I | II | III | IV

12

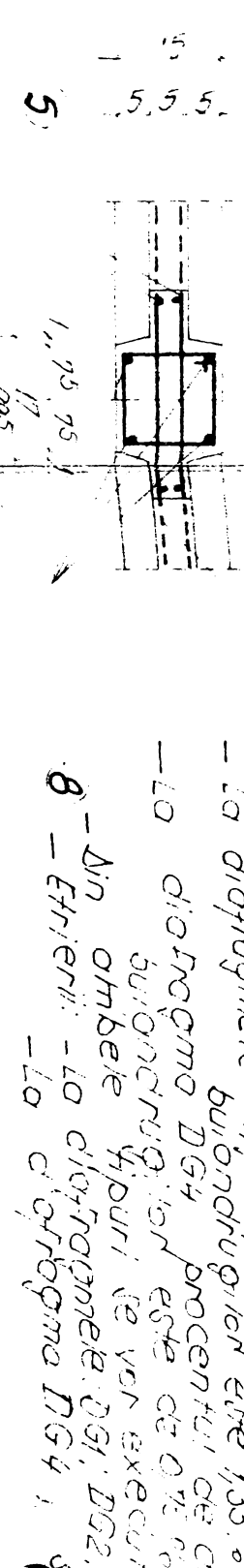


1 125 = 1250

2 475 = 950

3 475 = 1268

A-A  
Scara 1:10

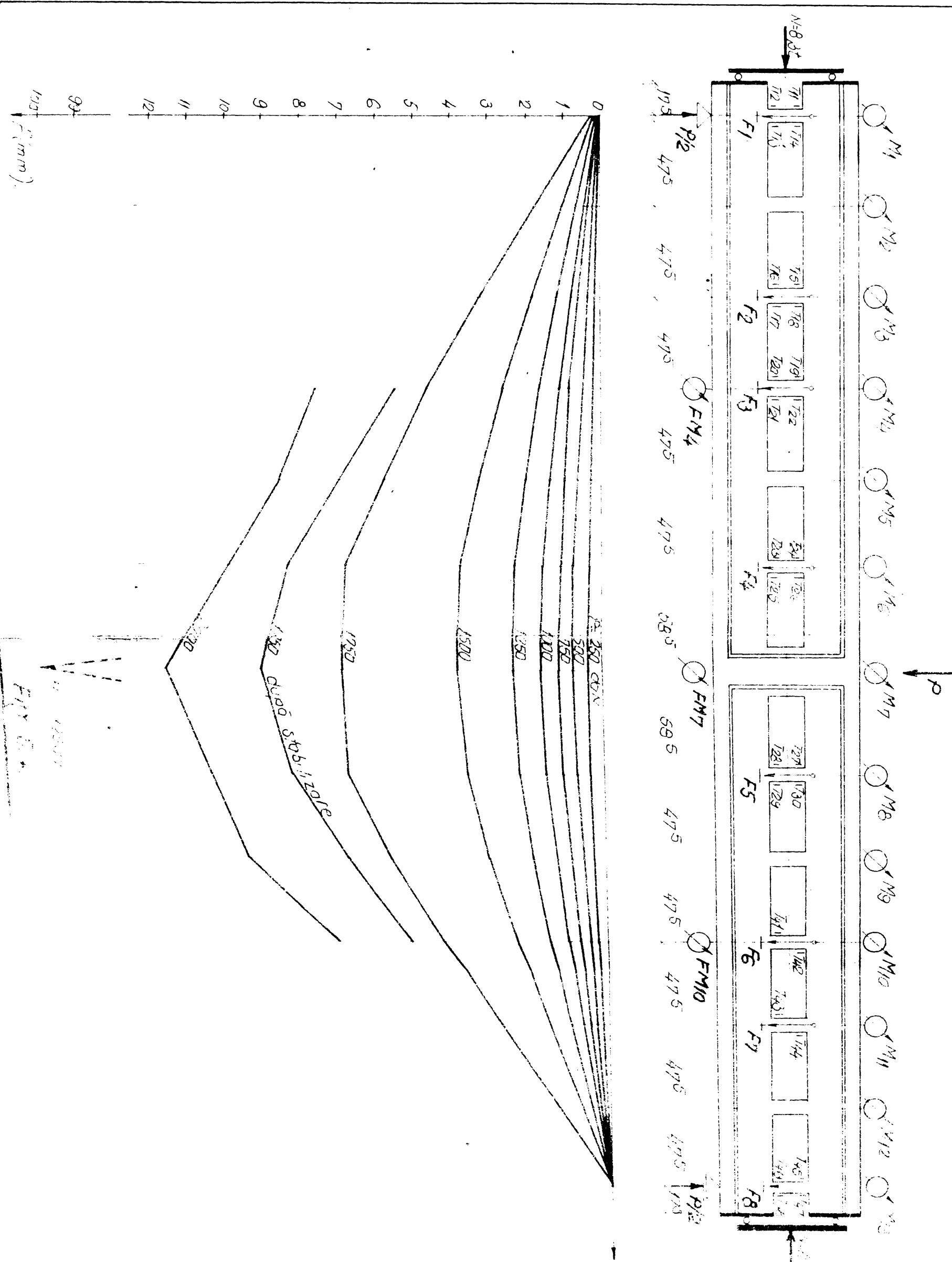


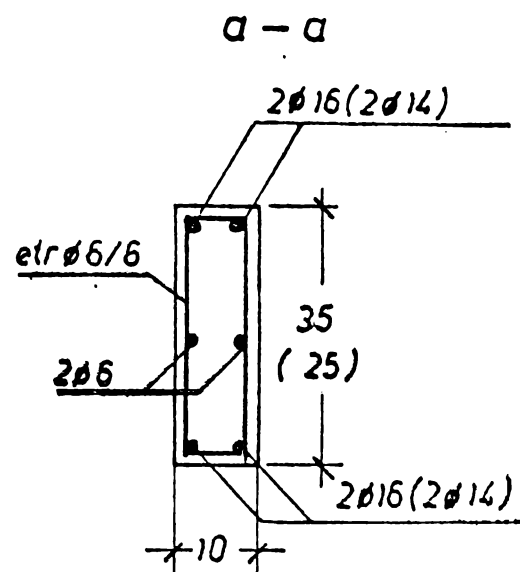
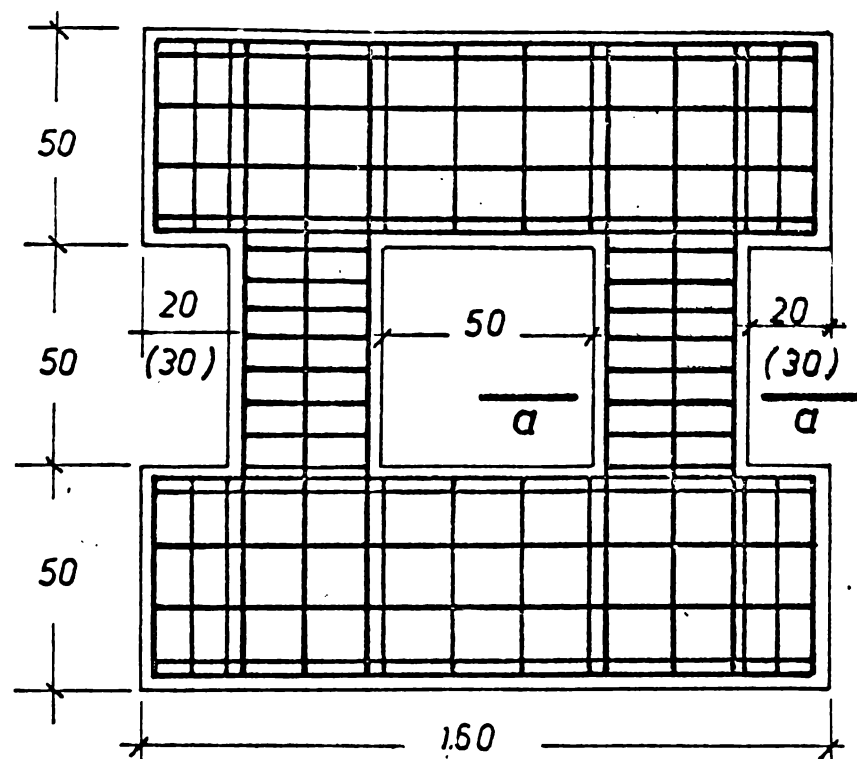
Nota:

- La diafragmele DG1, DG2, DG3, DG4, prezinta un buondru de circa 1,33%.
- DG4 diafragma DG4 prezinta o buondru de circa 1,33%.
- DG1, DG2, DG3 sunt executate din ambele spuse.
- Din spusele DG1, DG2, DG3 sunt executate din spusele DG4.
- DG4 este executata din spusele DG1, DG2, DG3.

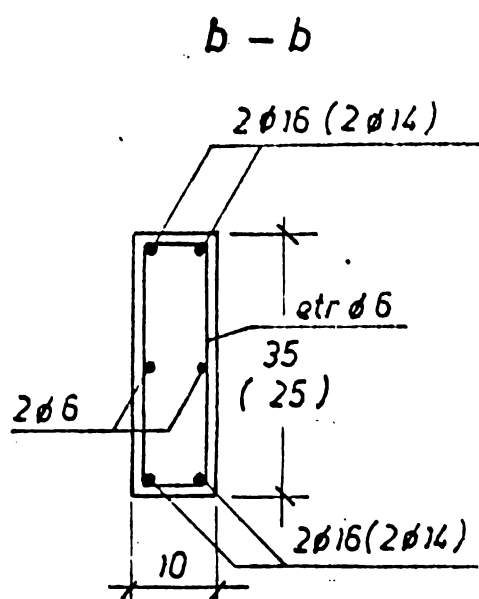
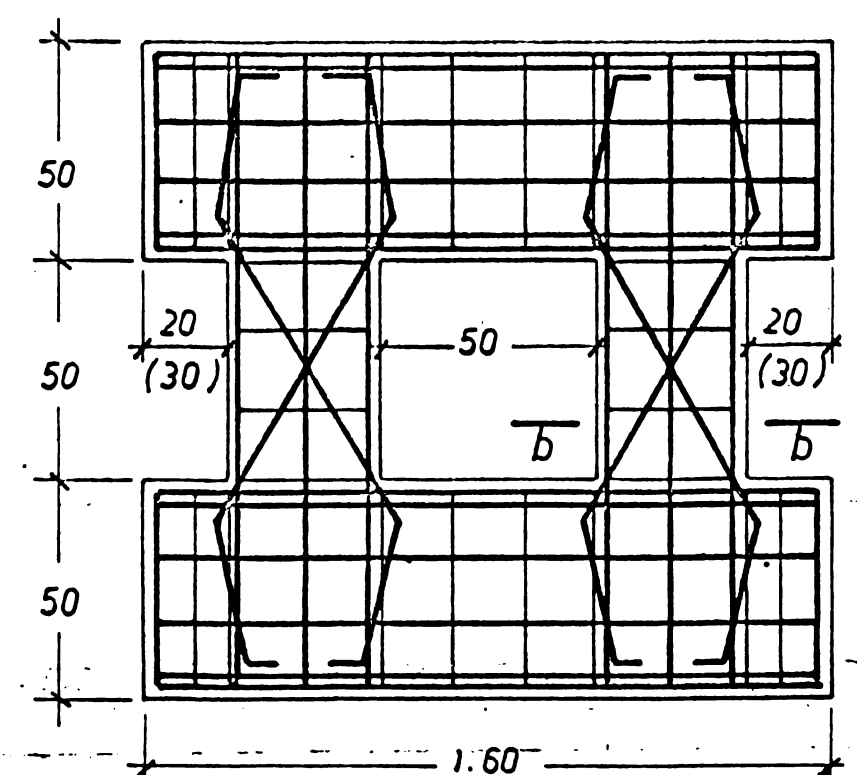
Fig. 5.2.

~~Diagramma di~~  
Diagramma del momento deformante  
d'ogni dei sei elementi.





a. Elemente cu buiaindrugii cu armatura longitudinală  
(BGNS 1, BGNL 1, BGFS 1, BGFL 1 )

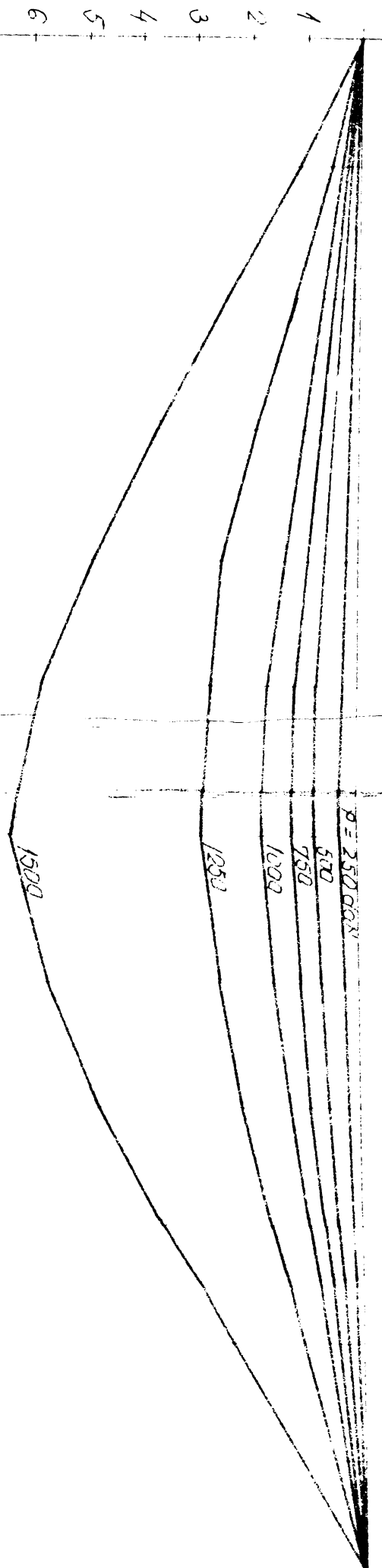
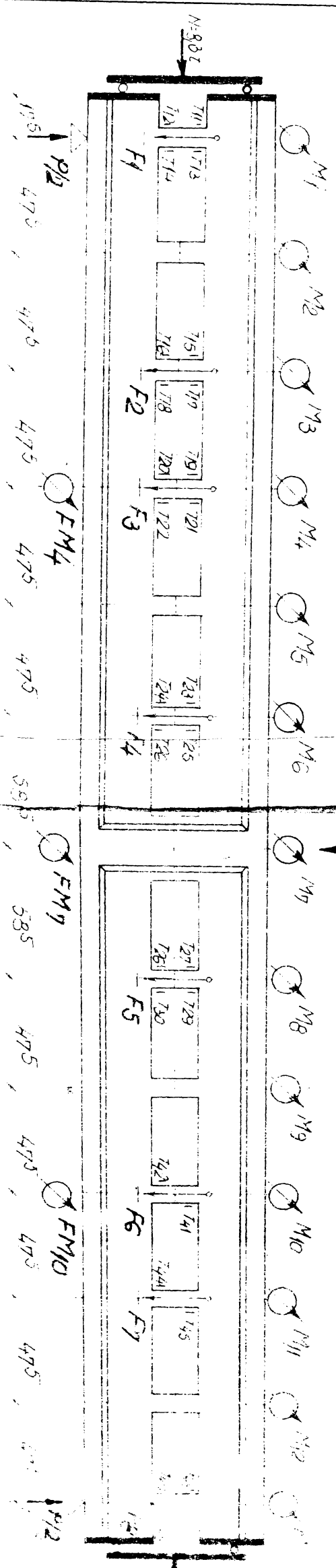


b Elemente cu buiaindrugii cu armatura în diagonală  
(BGNS 2, BGNL 2, BGFS 2, BGFL2)

**VALORILE DIN PARANTEZA SINT VALABILE PENTRU BUIAINDRUGII LUNGI**

12

MATERIALES  
 - Sección de mando  
 - Asentamiento de mando y estribor  
 - Laminación de suelos en la parte superior



### DIAGRAMA LIVELUI

- Schema de incarcare
- Puncte de control de masurare a deformatiilor
- Diagrama de sageti in lungul elementului

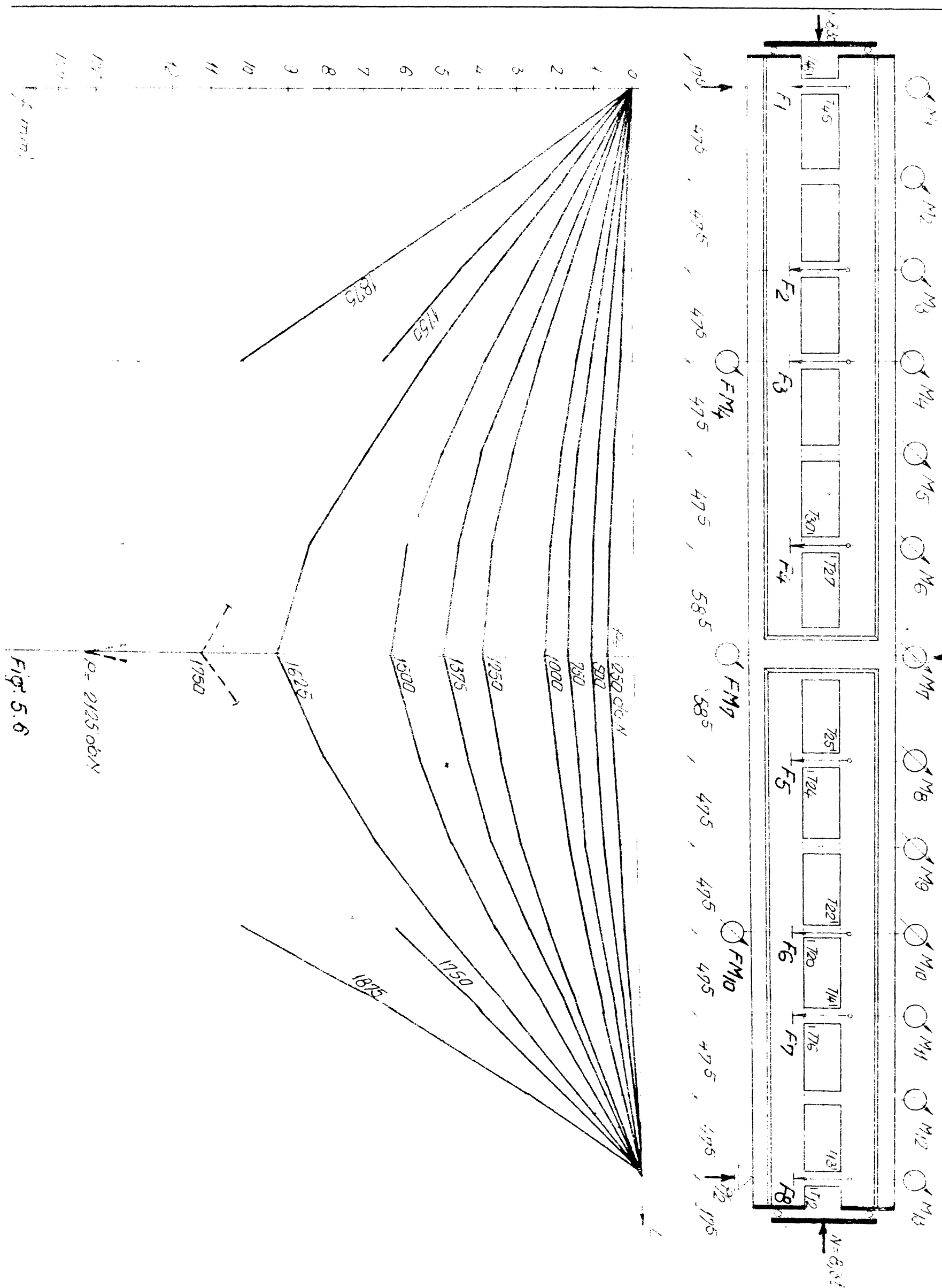


FIG. 5.6

### DIAFRAGMA DG4

- Schema de incarcare
- Raziatia aparatului de măsurare o deformării
- Diagrama de vîrfuri în lungul elementului

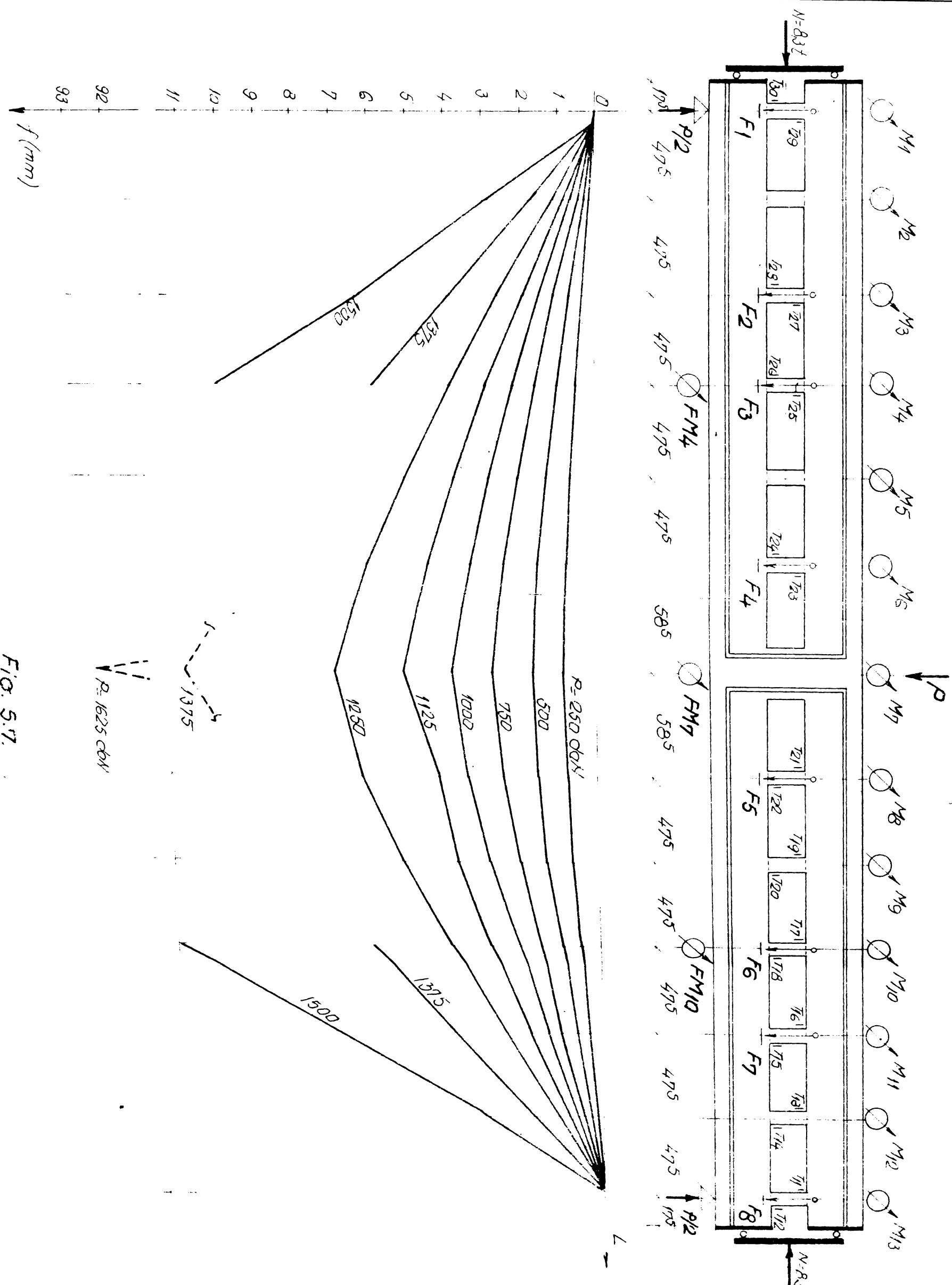


Fig. 5.17.

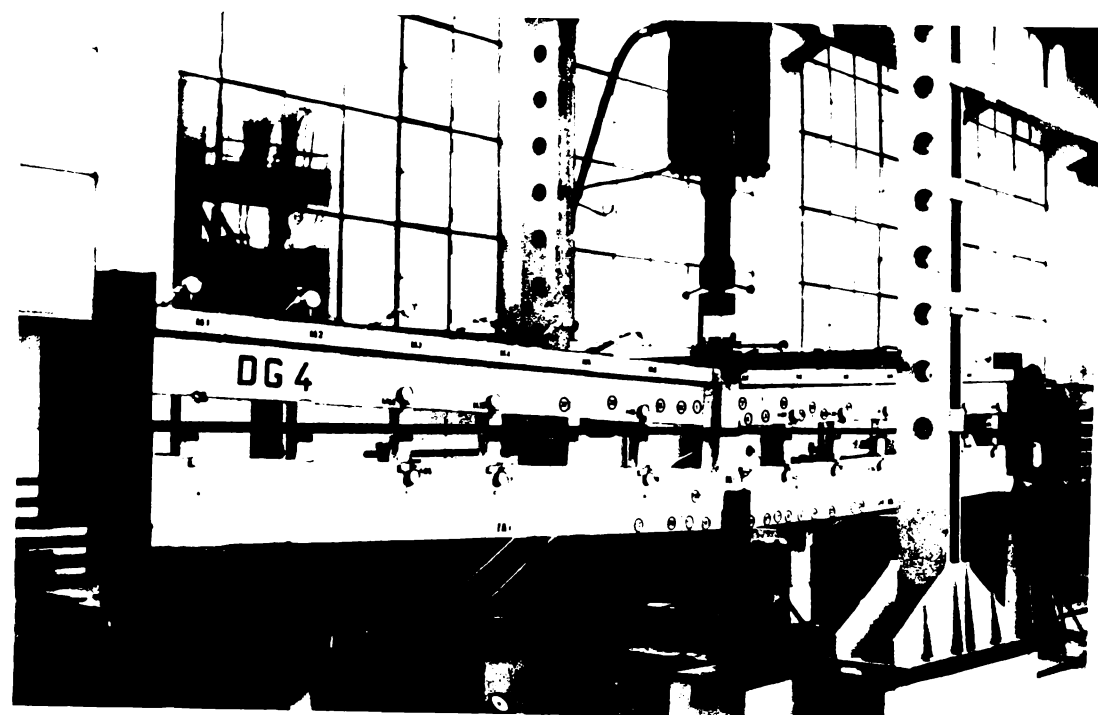
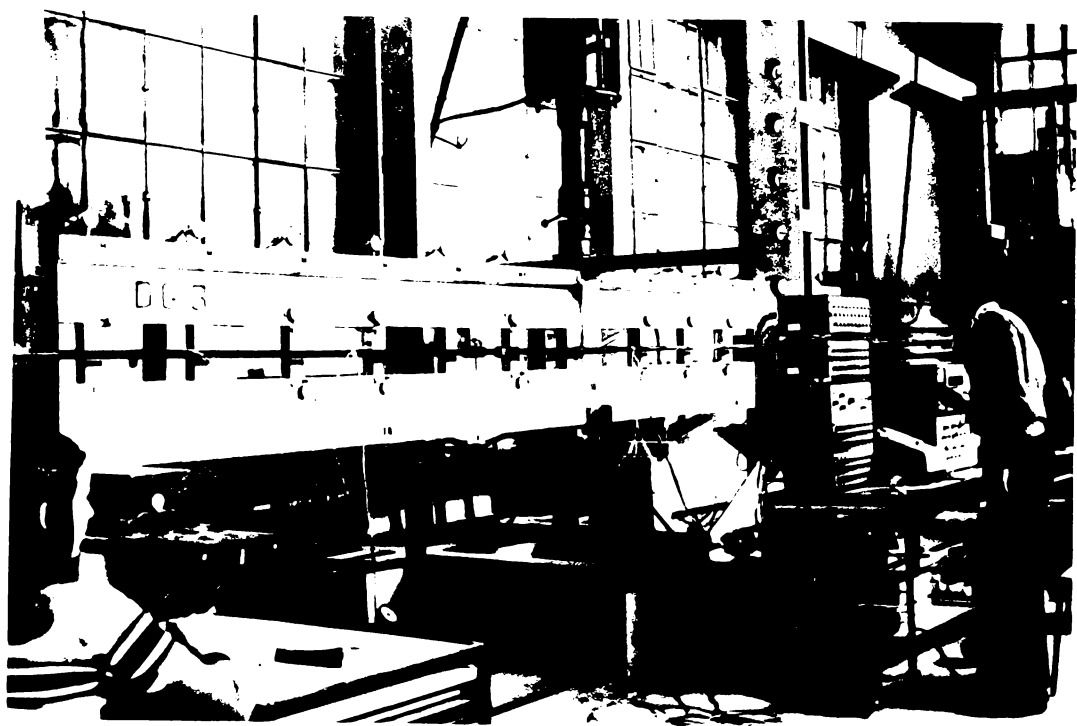
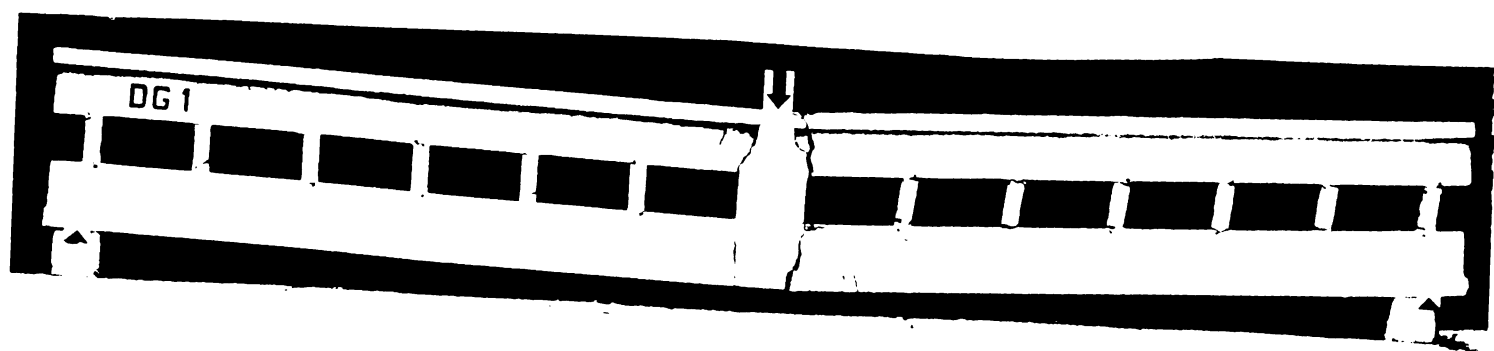
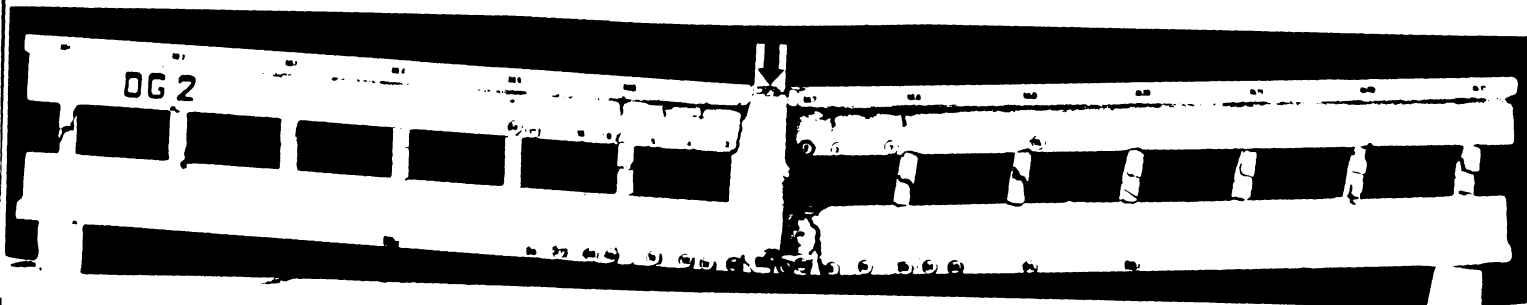


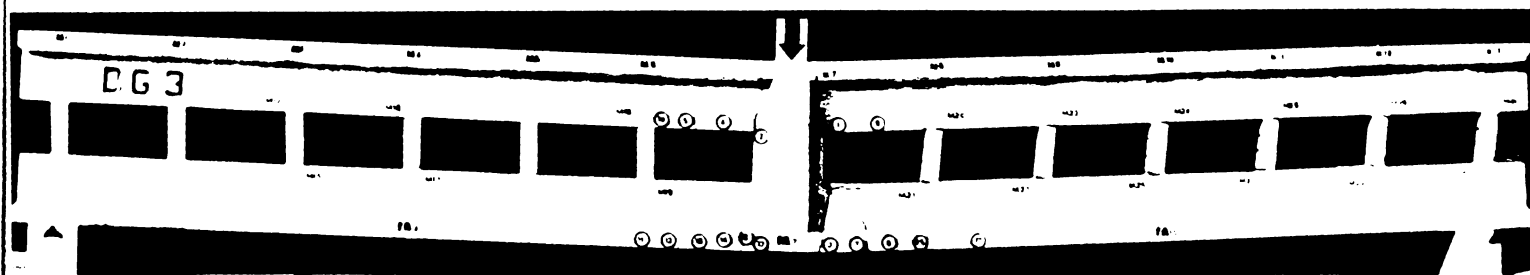
Fig 5.8 Ansamblul încercării elementelor DG1, DG2, DG3, DG4.



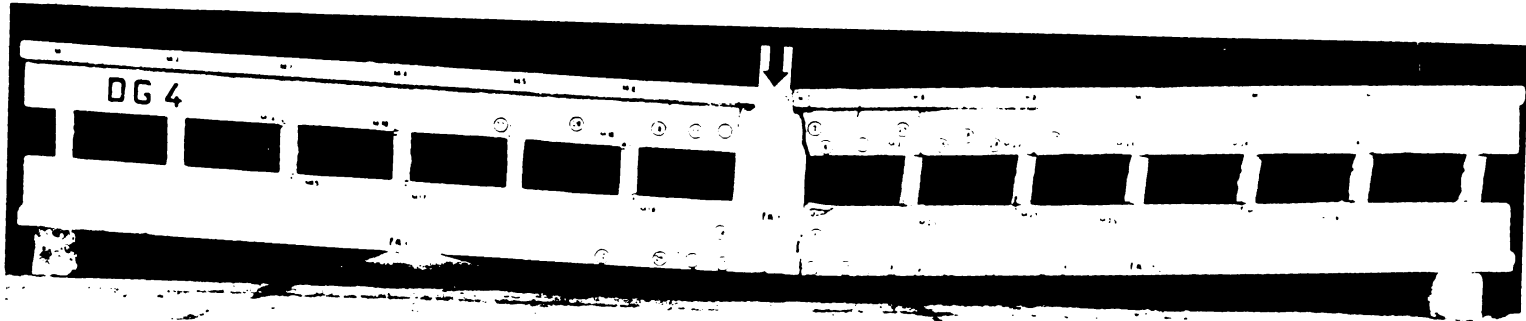
Aspect de rupere a diafragmei DG1.



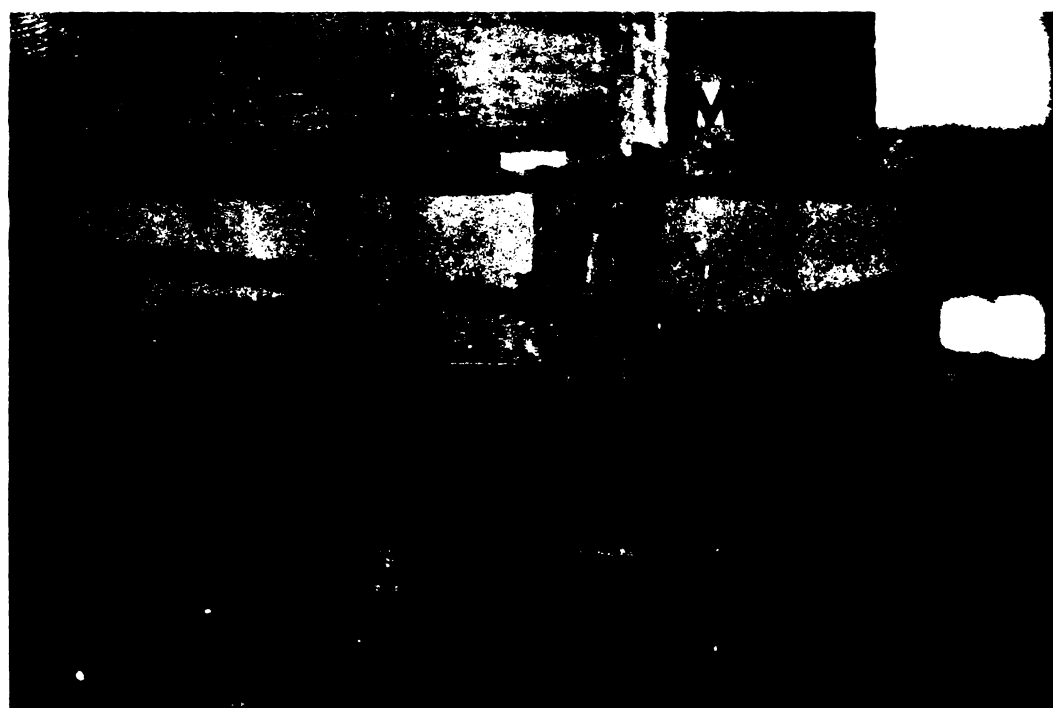
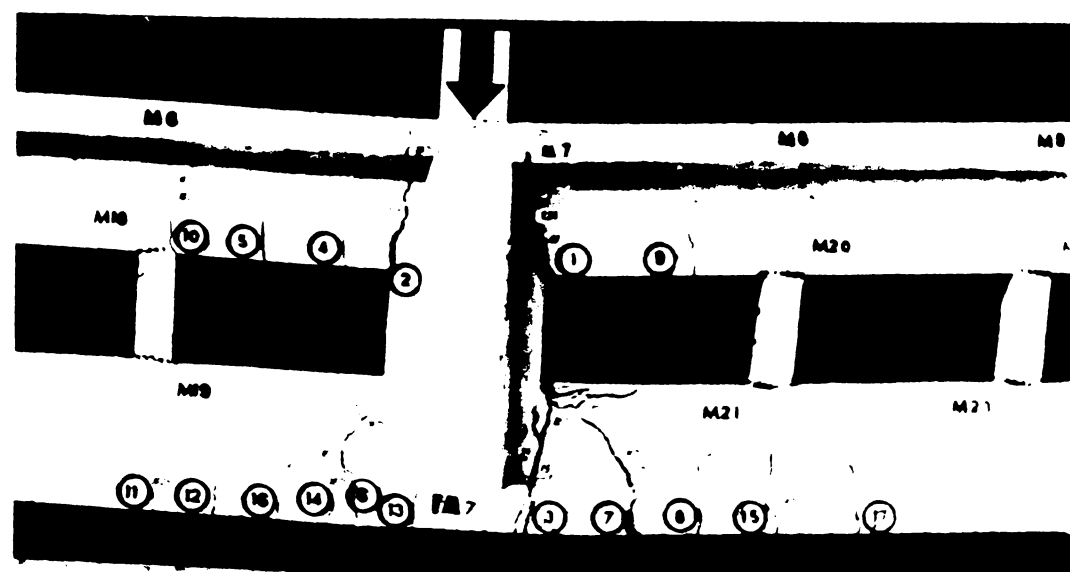
Aspect de rupere a diafragmei DG2.



Aspect de rupere a diafragmei DG3.



Aspect de rupere a diafragmei DG4.



Unele detalii ale elementelor încercate DG1, DG2, DG3, DG4.

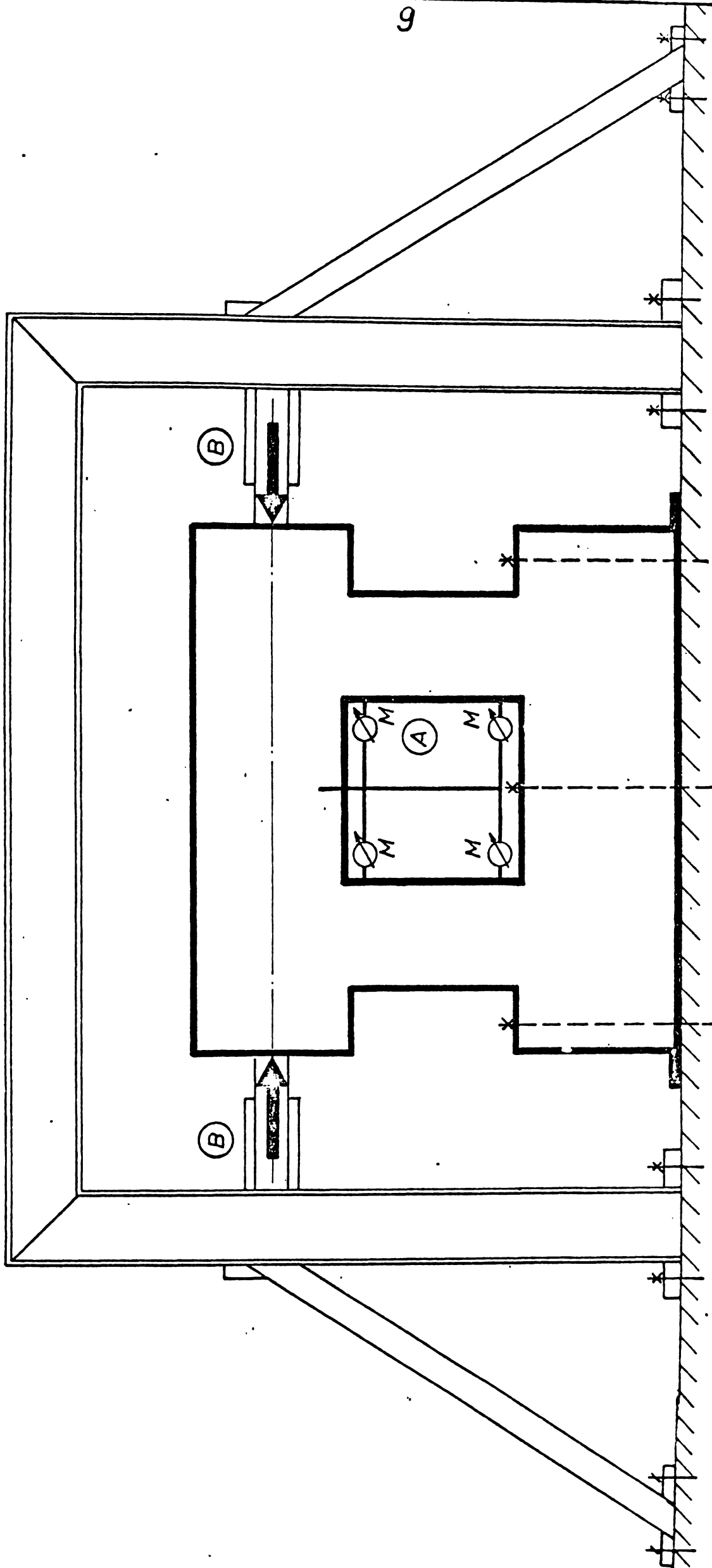


FIG. 5.9a SCHEMA DE INCERCARE A ELEMENTELOR EXPERIMENTALE CU BUIANDRUGII NEFISURATI

A. SCHEMA DE MASURARE A DEPLASARILOR

B. INCARCAREA CE SIMULEAZA EFECTUL FORTELOR ORIZONTALE EXTERIOARA

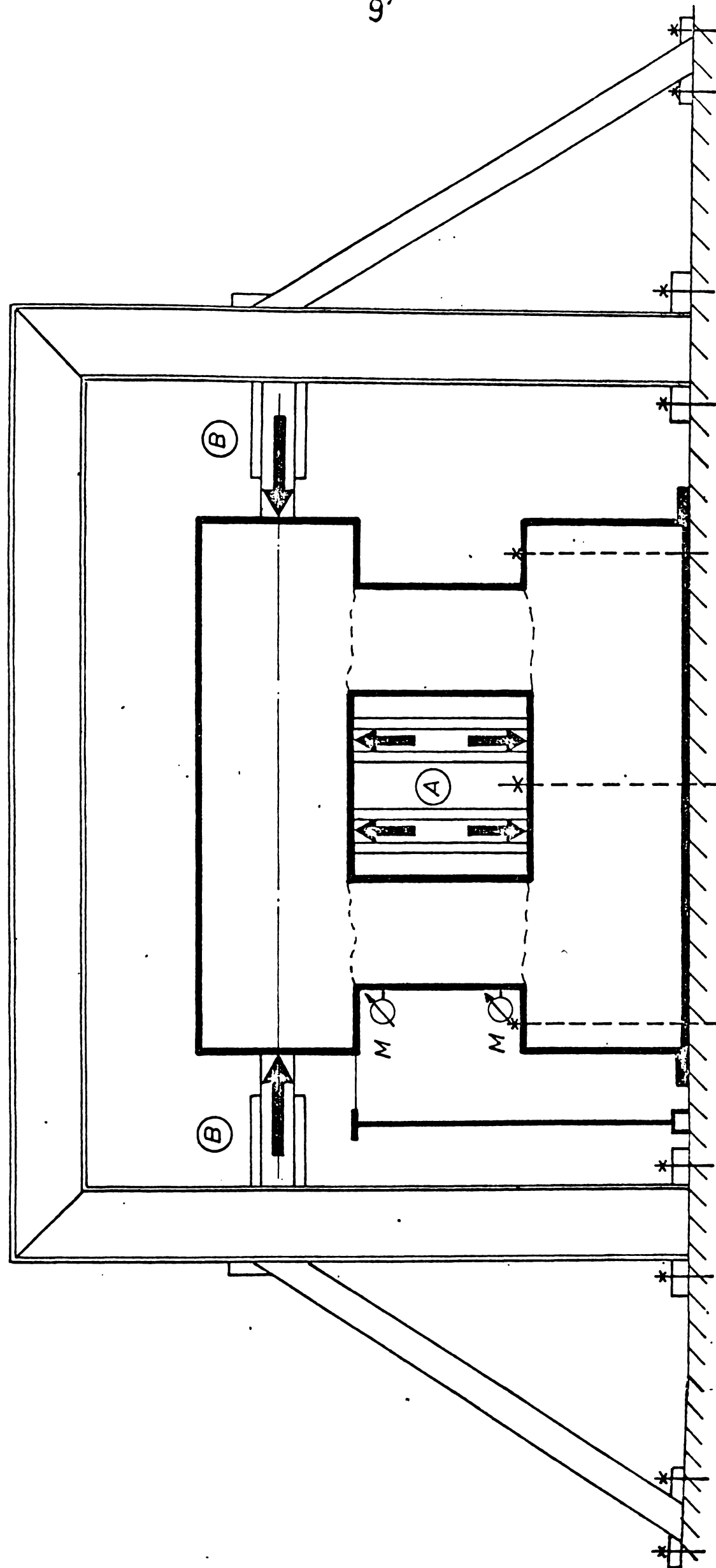
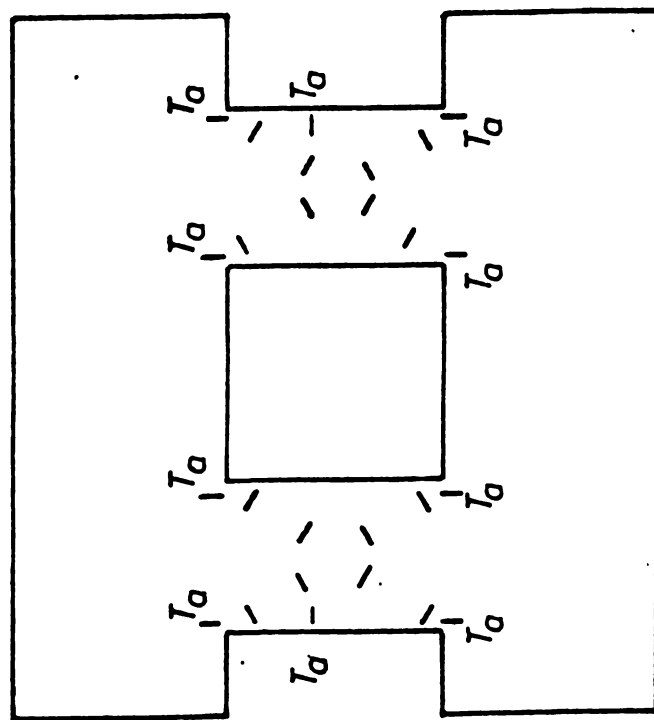


FIG. 5.9b SCHEMA DE INCERCARE A ELEMENTELOR EXPERIMENTALE CU BUIANDRUGII FISURATI

- A. INCARCARE CE SIMULEAZA EFECTUL CONTRACTIEI
- B. INCARCARE CE SIMULEAZA EFECTUL FORTELOR ORIZONTALE EXTERIOARE

( A ).



( B )

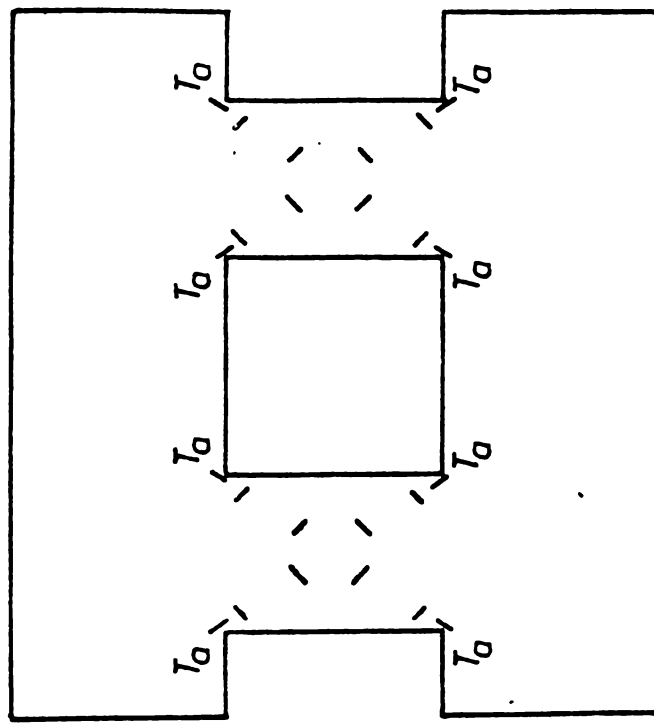


FIG. 5.10 ( A ) REPARTIZAREA TRADUCTORILOR PE ARMATURA SI PE BETON LA ELEMENTELE AVIND ARMATURA LONGITUDINALA SI ETRIERI (  $T_a$  - Timbre pe armatură )

( B ) REPARTIZAREA TRADUCTORILOR PE ARMATURA SI PE BETON LA ELEMENTELE AVIND ARMATURA IN DIAGONALA (  $T_a$ -Timbre pe armatură )

## CASERILE LA MINOCUL ELEMENTELOR DG1, DG2, DG3, DG4

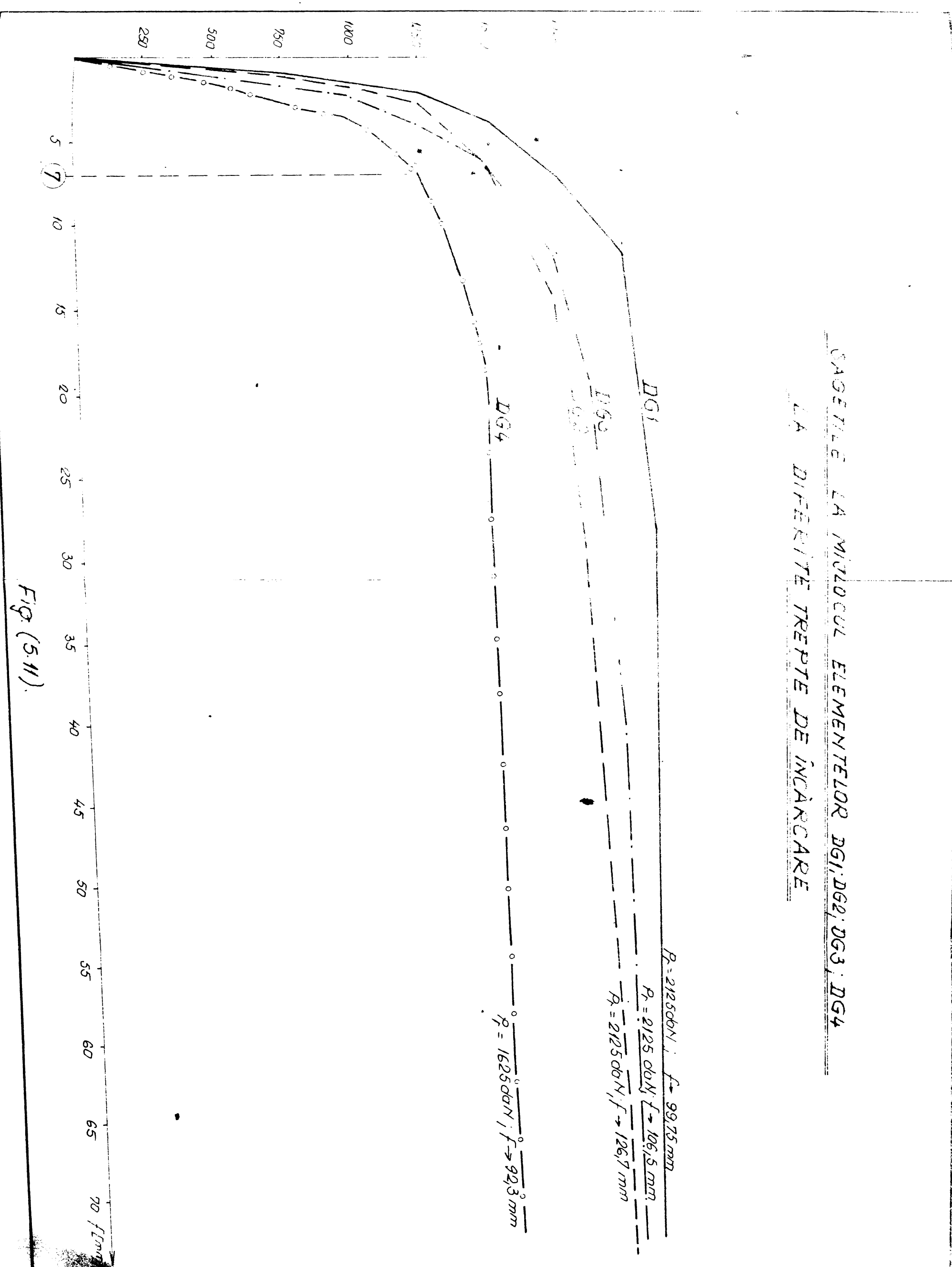


Fig. (5.11).

DEPLASARII RELATIVE (COMPONENTA ORIZONTALĂ) ALE PUNCTELOR OMOLAJE DE PE SPALEȚI  
ÎN AXELE SUII ANDRUGILOR  
DIAFRAGMA DG1

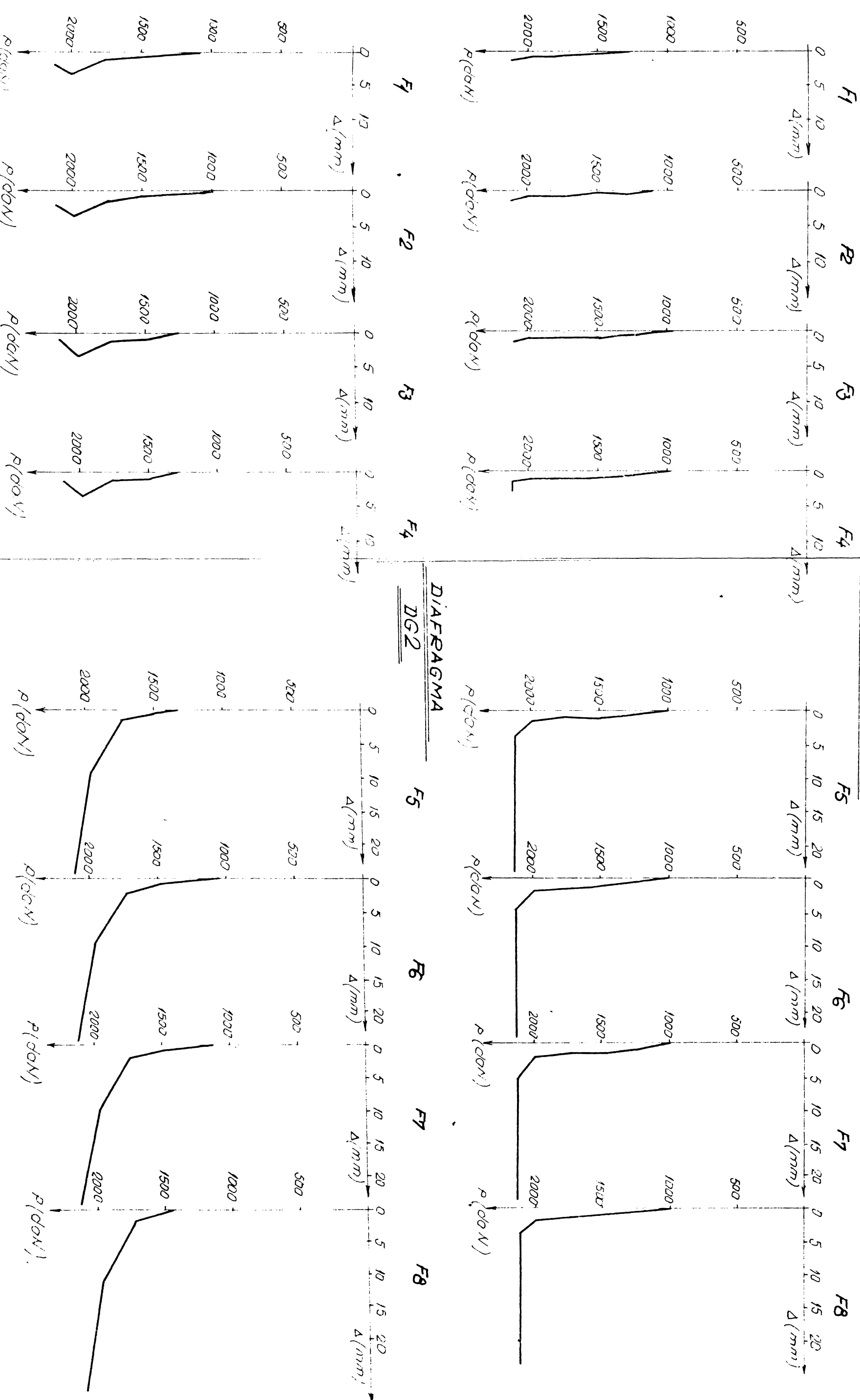


Fig. 5.12

LINIILE DE MĂRIMEA NEUTRĂ (COMPONENTA ORIZONTALĂ) ALE PUNCTELOR OMOLOAGE DE PE SPALEȚI

### IN AXELE BUIANDRUGILOR

#### DIAFRAGMA DG3

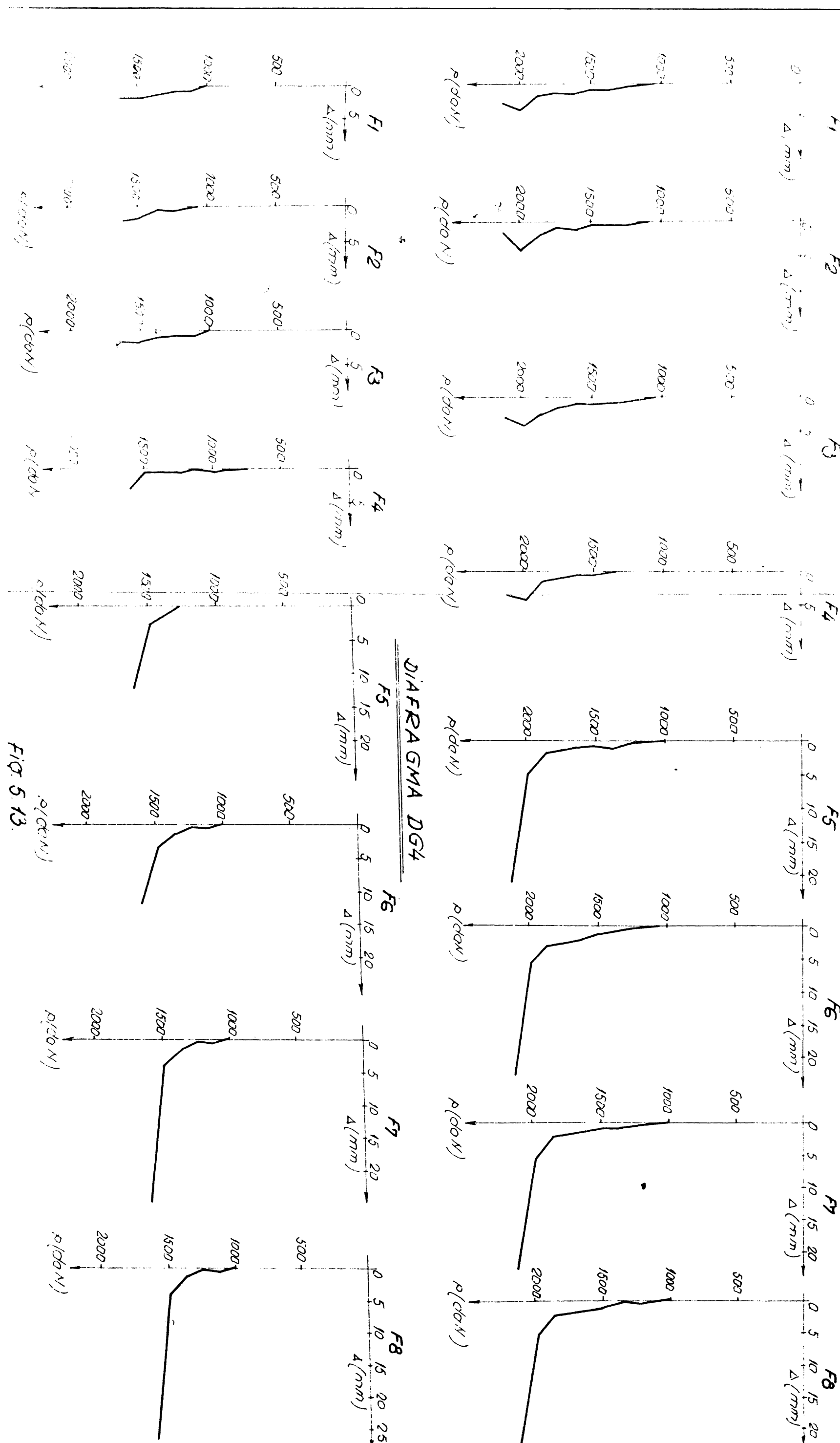
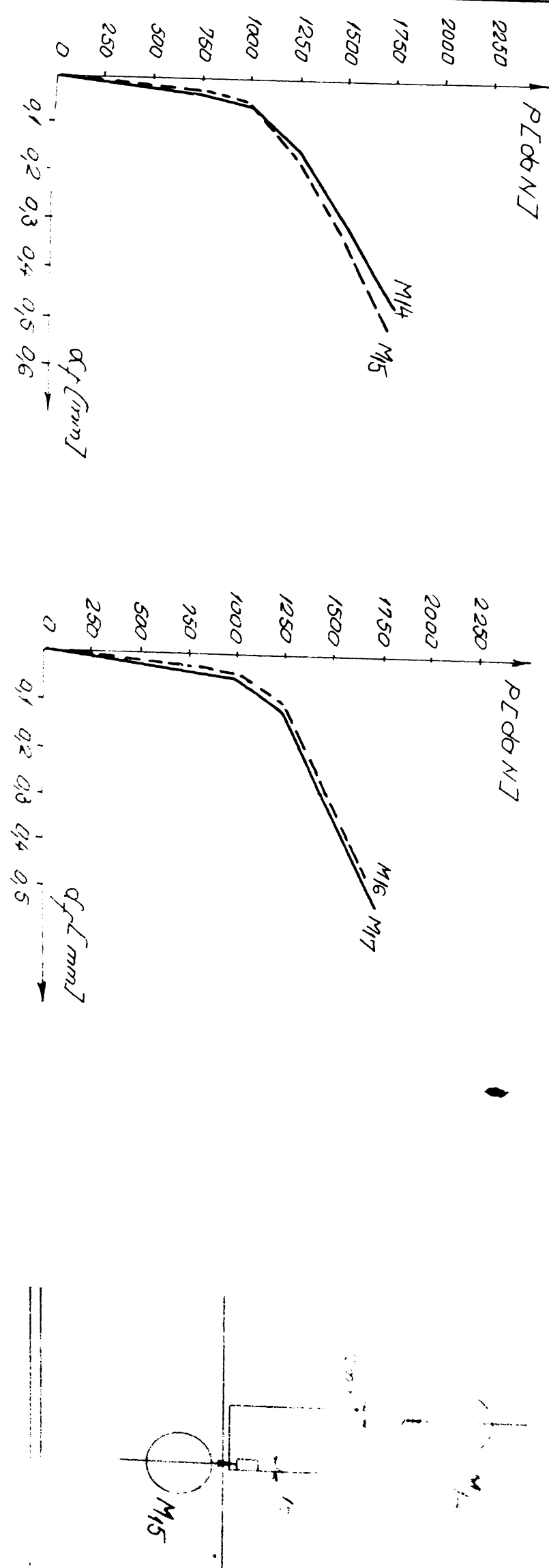


FIG. 5.13.

### DIAPRAGMA DG2

Deschidere fisurilor la diverse trepte de incarcare

DETALIU A'



POZITIA MICROCOMPARATOARElor

M4

DG2

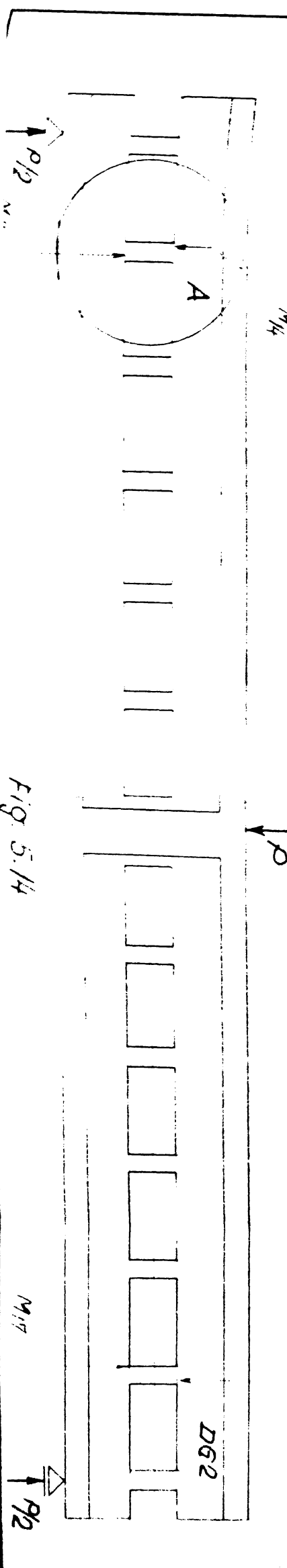


Fig. 5.14

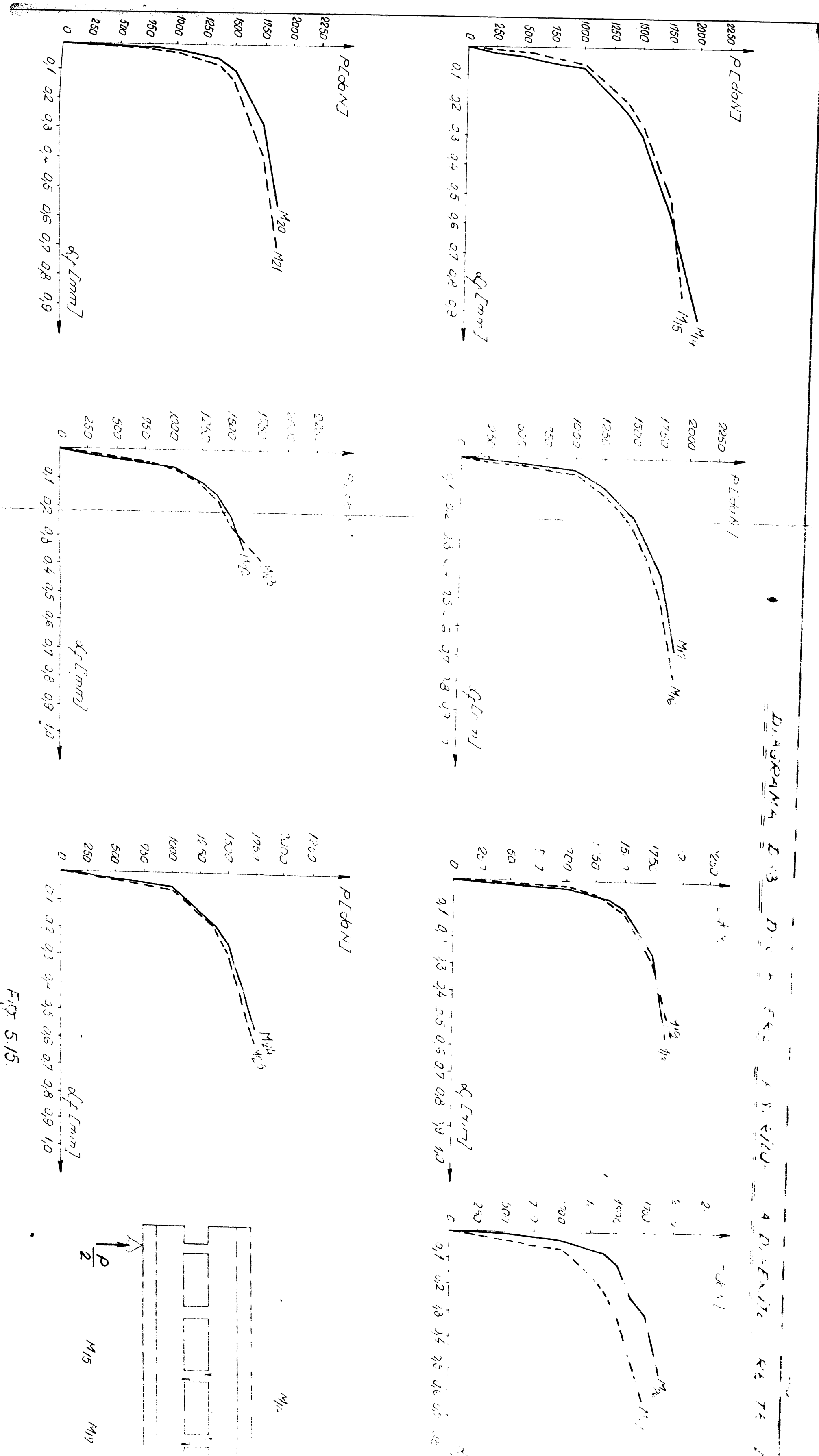
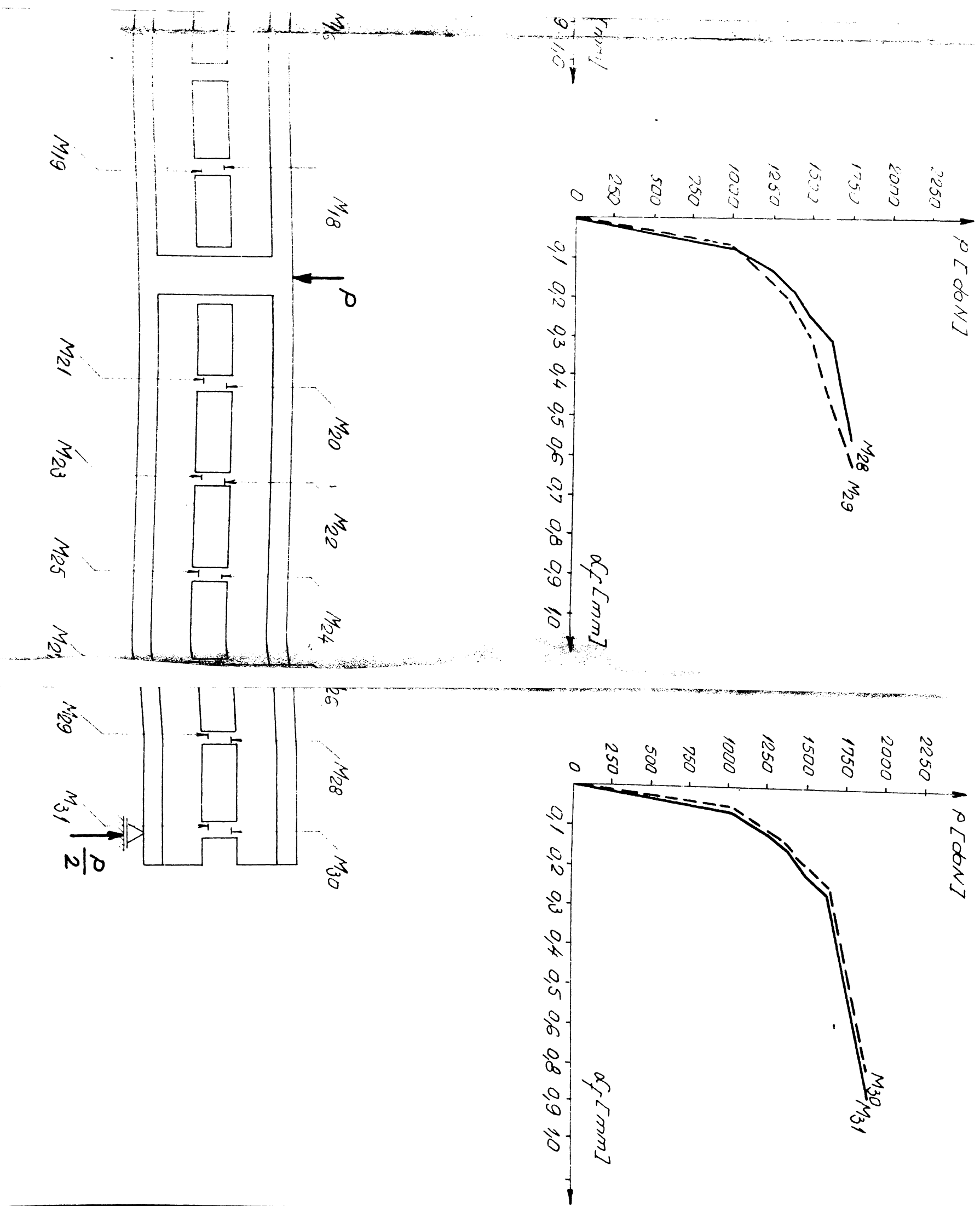


FIG 5/5.

INVERSE CARE



ZIAKŁADNA DGŁ. DESCHWIEREA FIGURY ZA DIFERENTY RENEGI

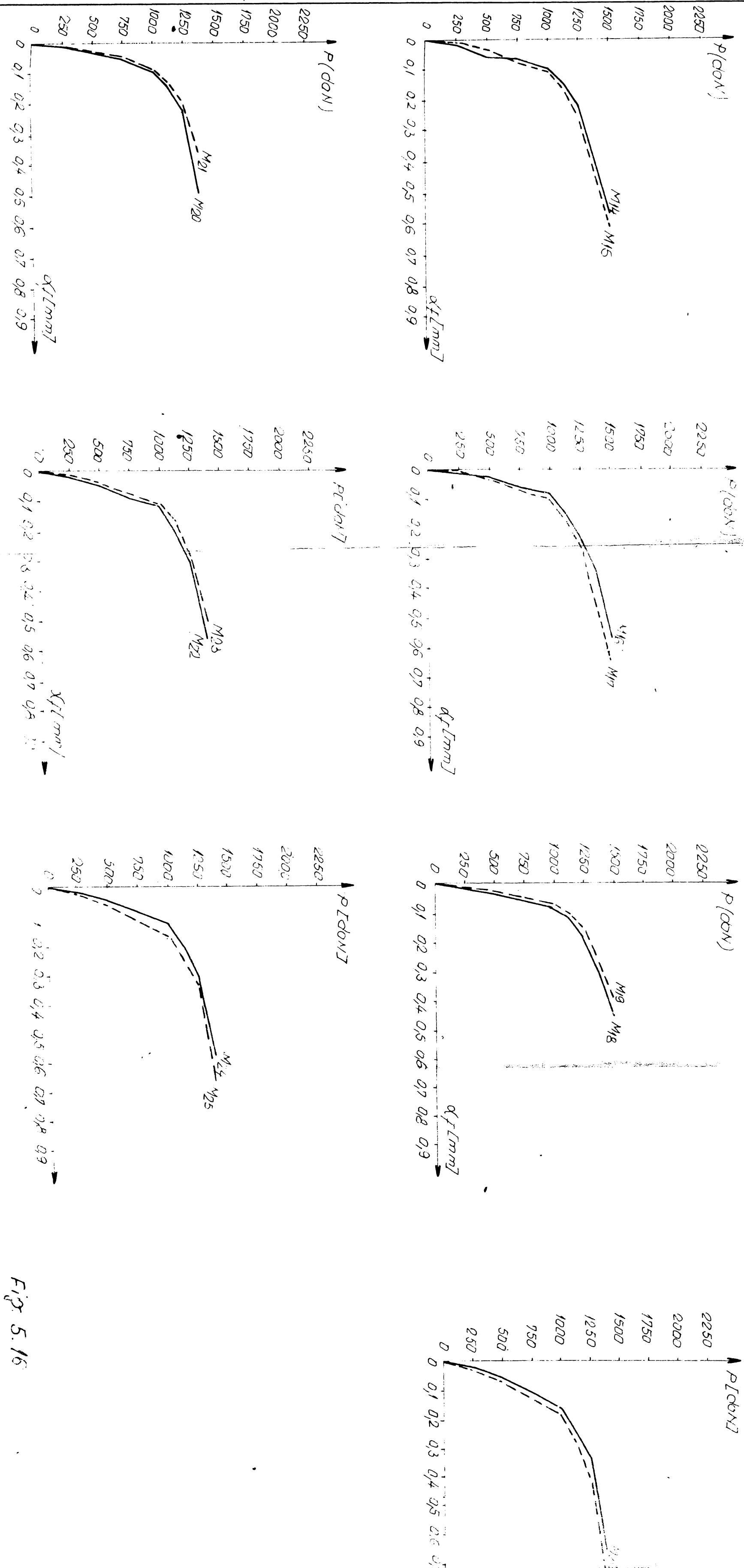


FIG 5.16

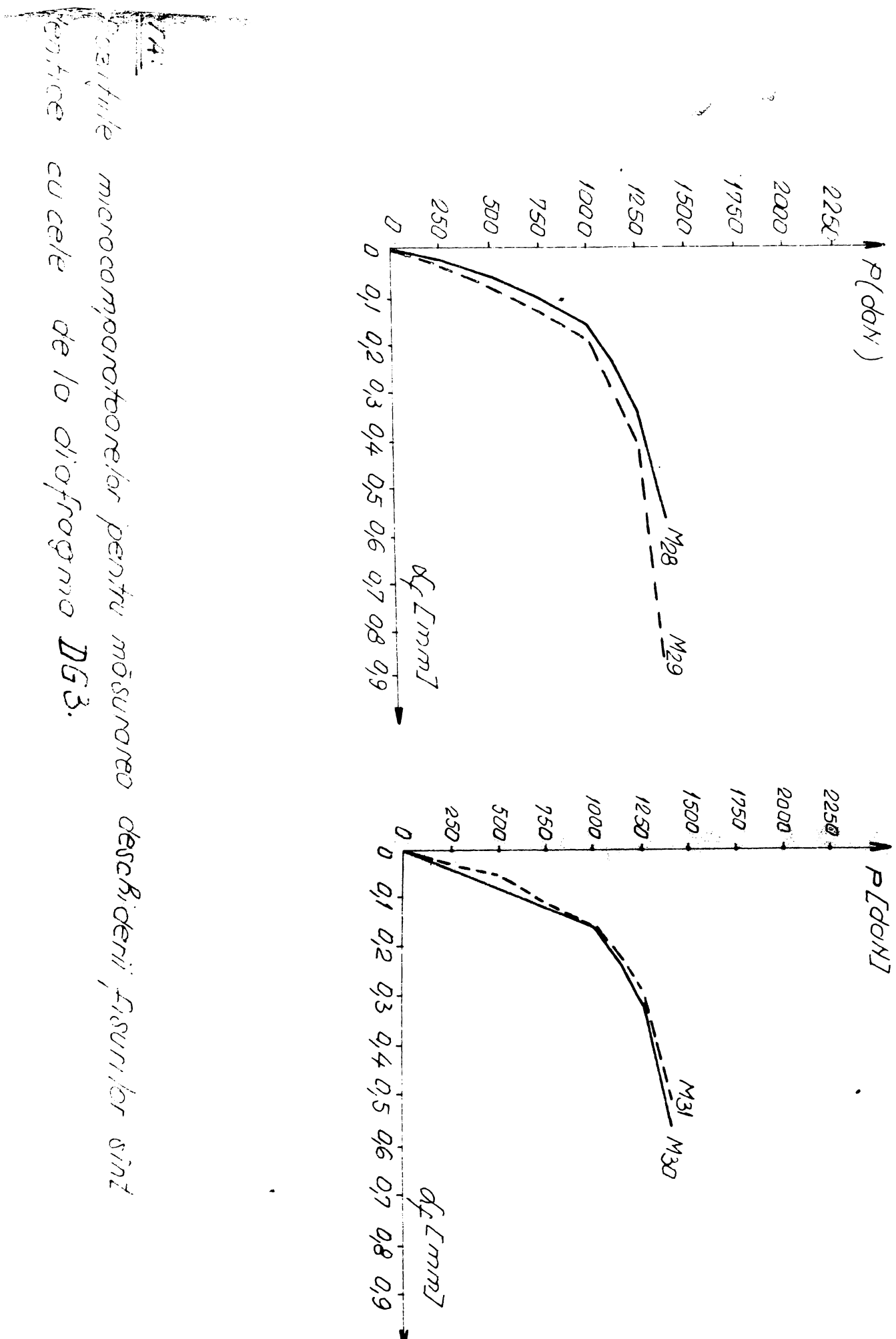


Fig. 4:  
Curbele microcomparatoarelor pentru măsurarea deschiderii, lungimii și  
înălțimii cu cele de la diafragmo D63.

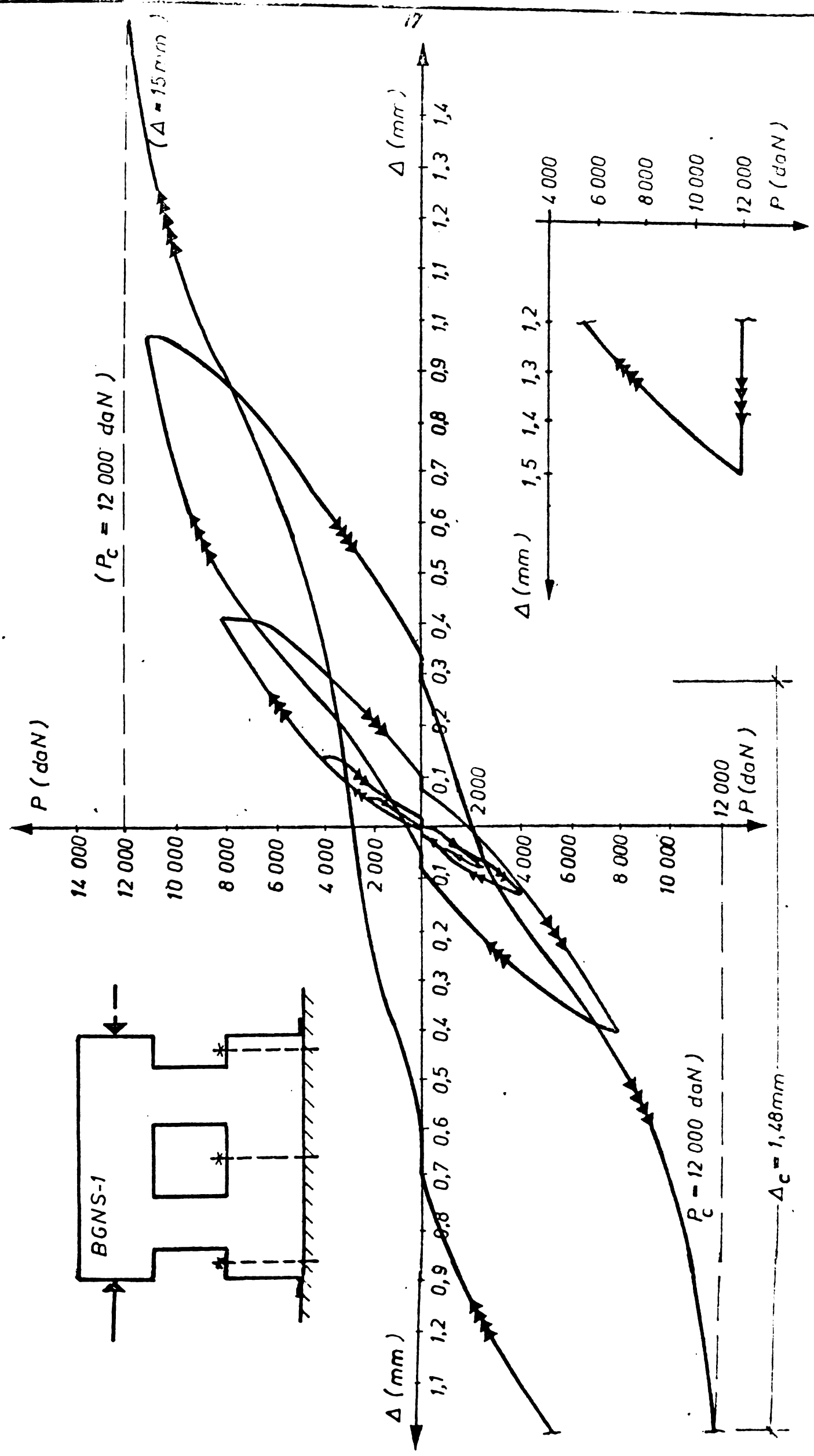


FIG. 5.17 RELATIA FORTA - DEPLASARE RELATIVA BUIANDRUG BGNS-1

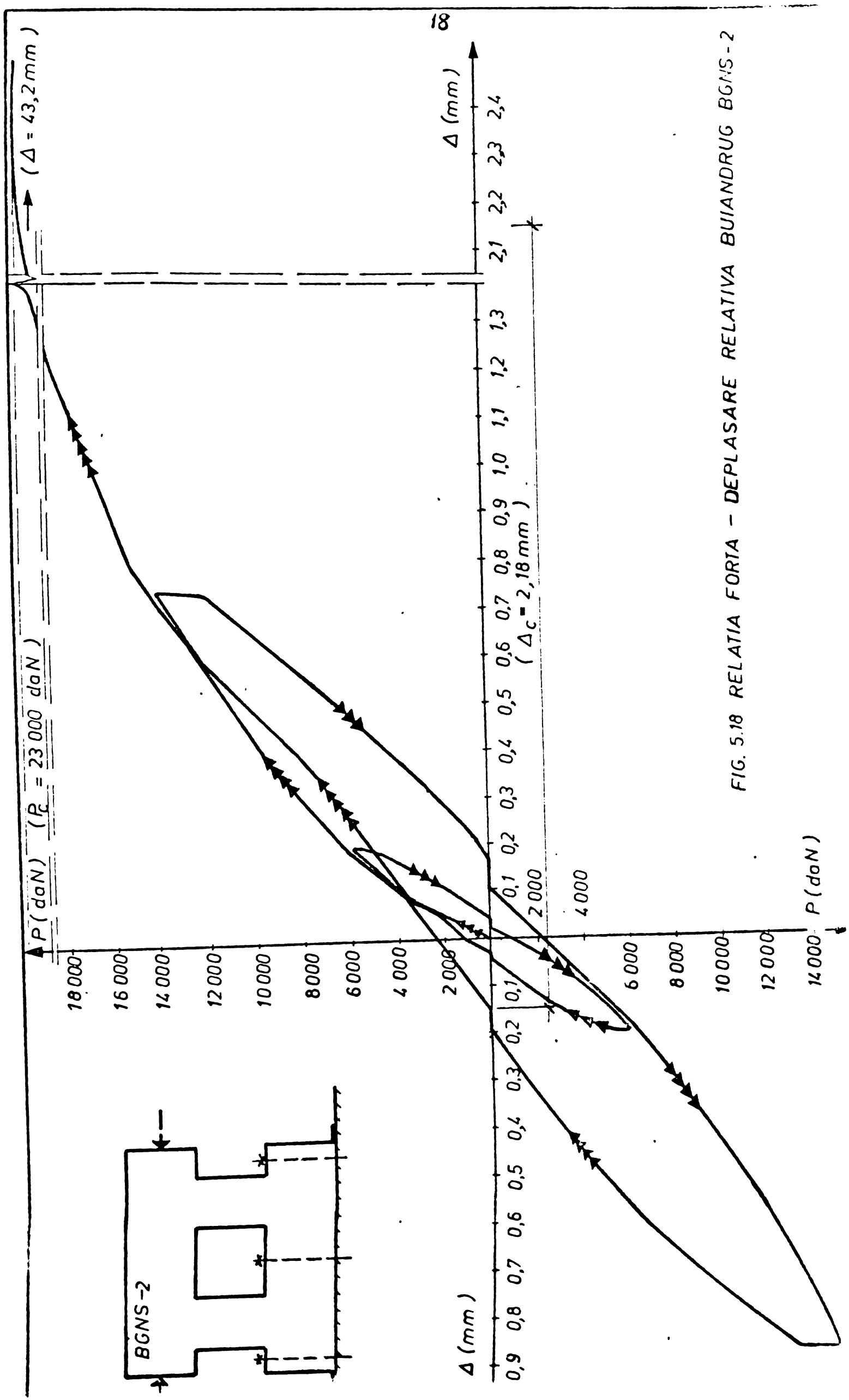


FIG. 5.18 RELATIA FORIA - DEPLASARE RELATIVA BUIANDRUG BGNS-2

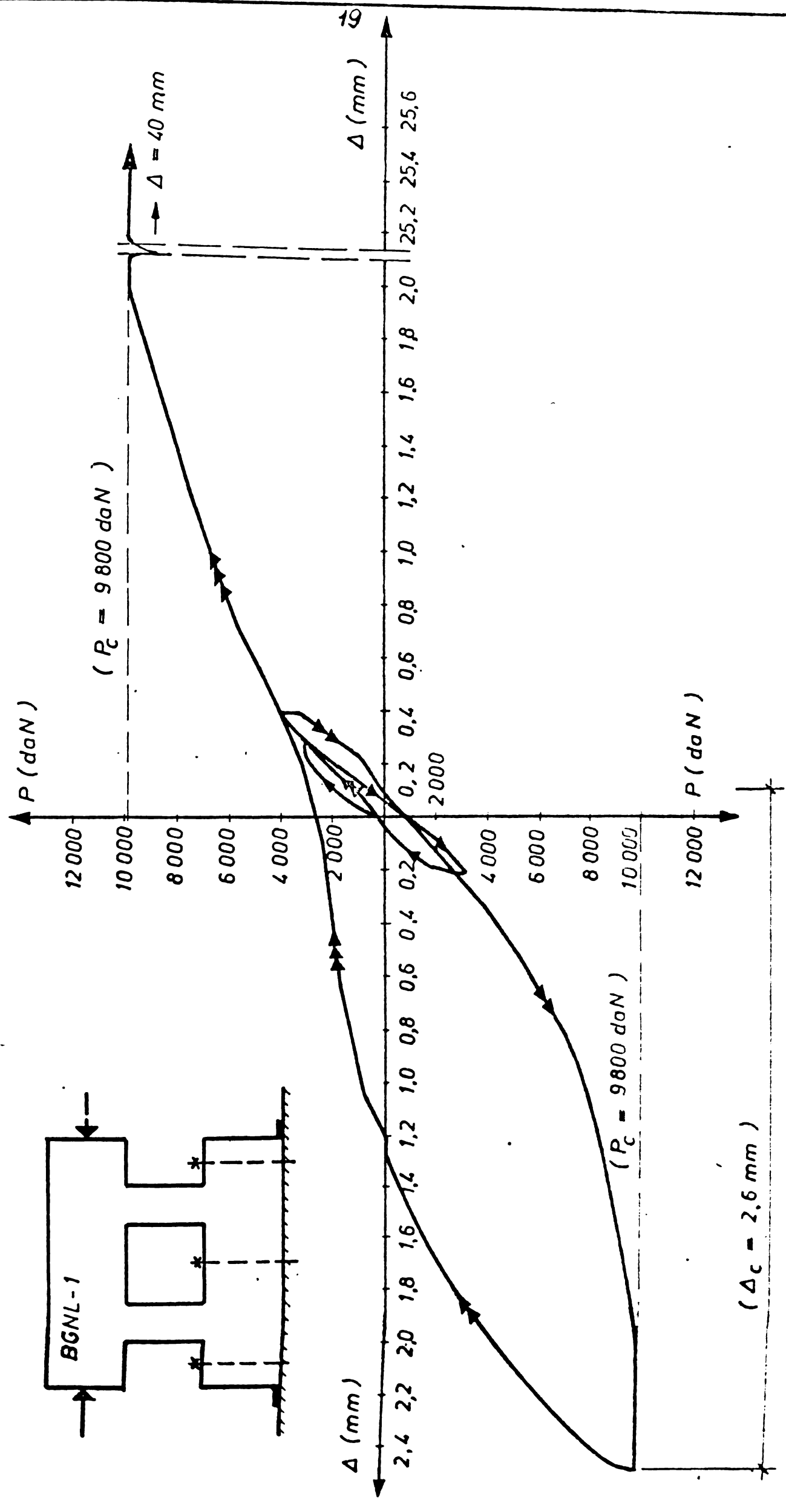


FIG. 5.19 RELATIA FORTA - DEPLASARE RELATIVA BUIANDRUG BGNL - 1

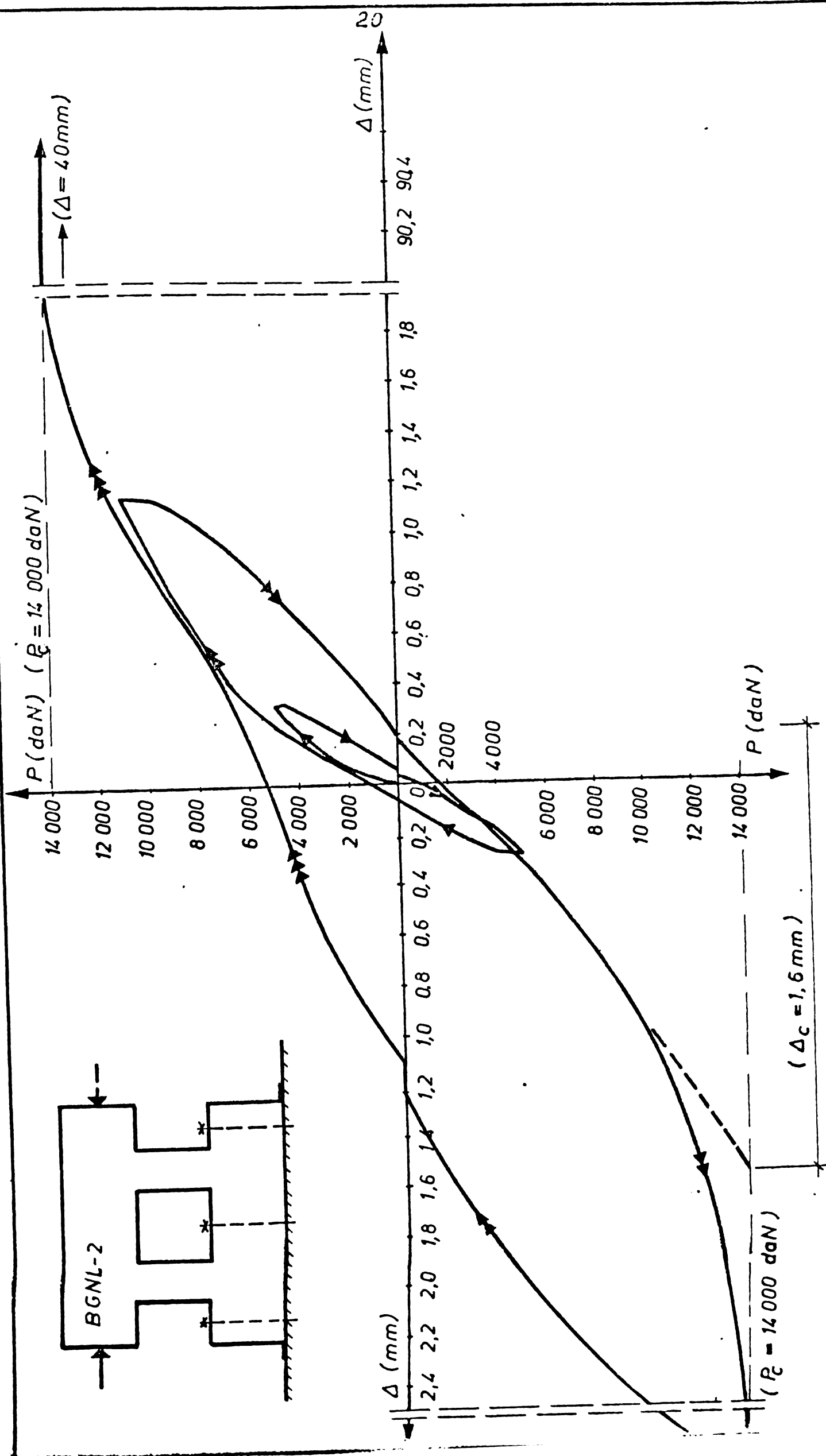
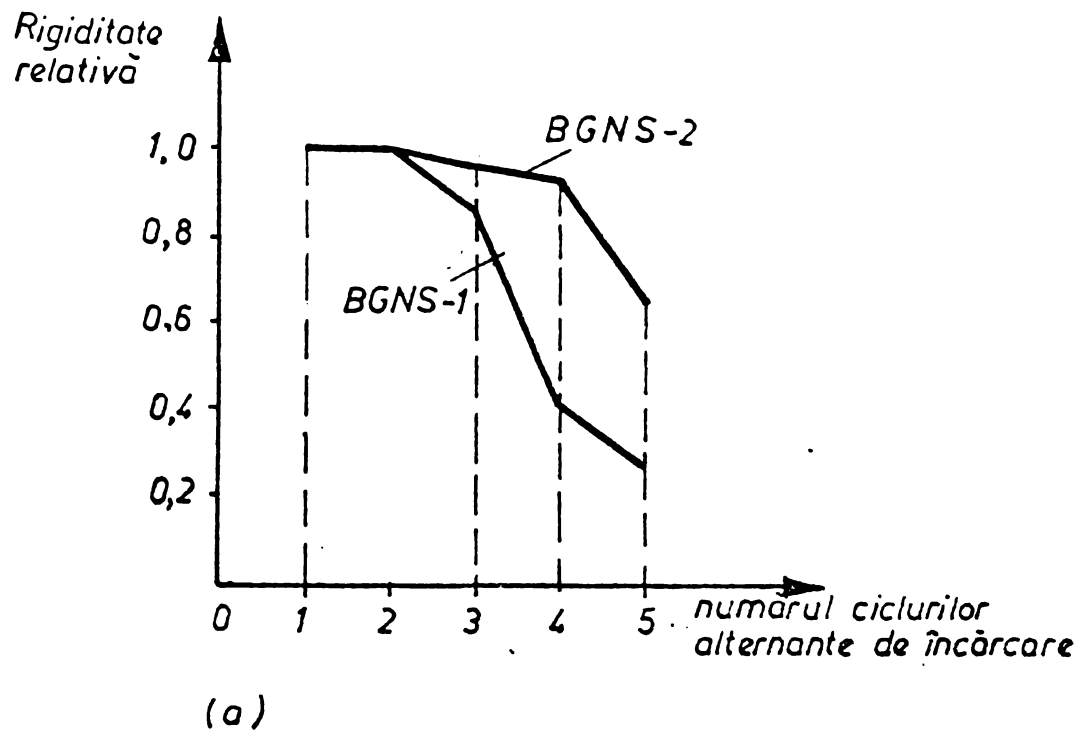
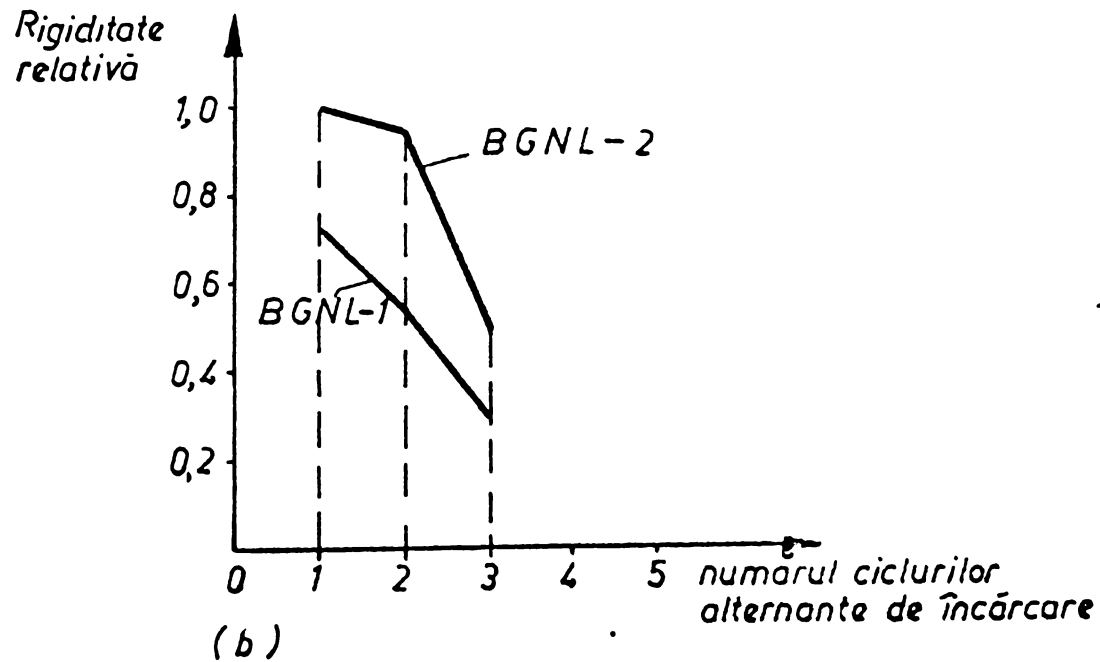


FIG. 5.20 RELATIA FORȚA – DEPLASARE RELATIVA BUIANDRUG LA ELEMENTUL BGNL - 2



(a)



(b)

FIG. 5.21 PIERDEREA RIGIDITATII BUIANDRUGILOR SUB INCARCARI ALTERNANTE

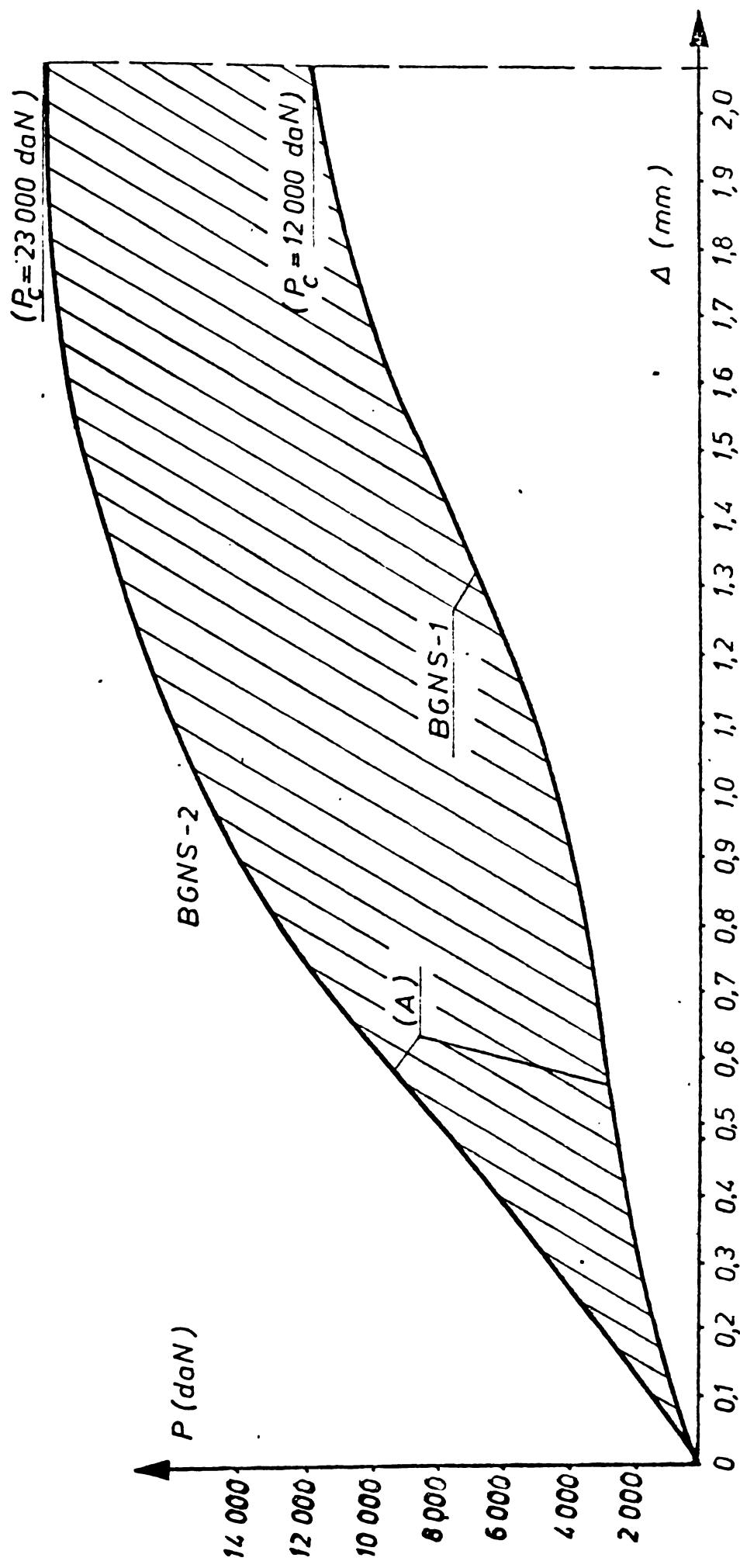


FIG. 5.22 CAPACITATEA DE ABSORBIE DE ENERGIE A ELEMENTELOR BGNS-1 SI BGNS-2  
 (A) ULTIMUL CICLU FORTA - DEPLASARE RELATIVA A ELEMENTELOR BGNS-1 SI BGNS-2

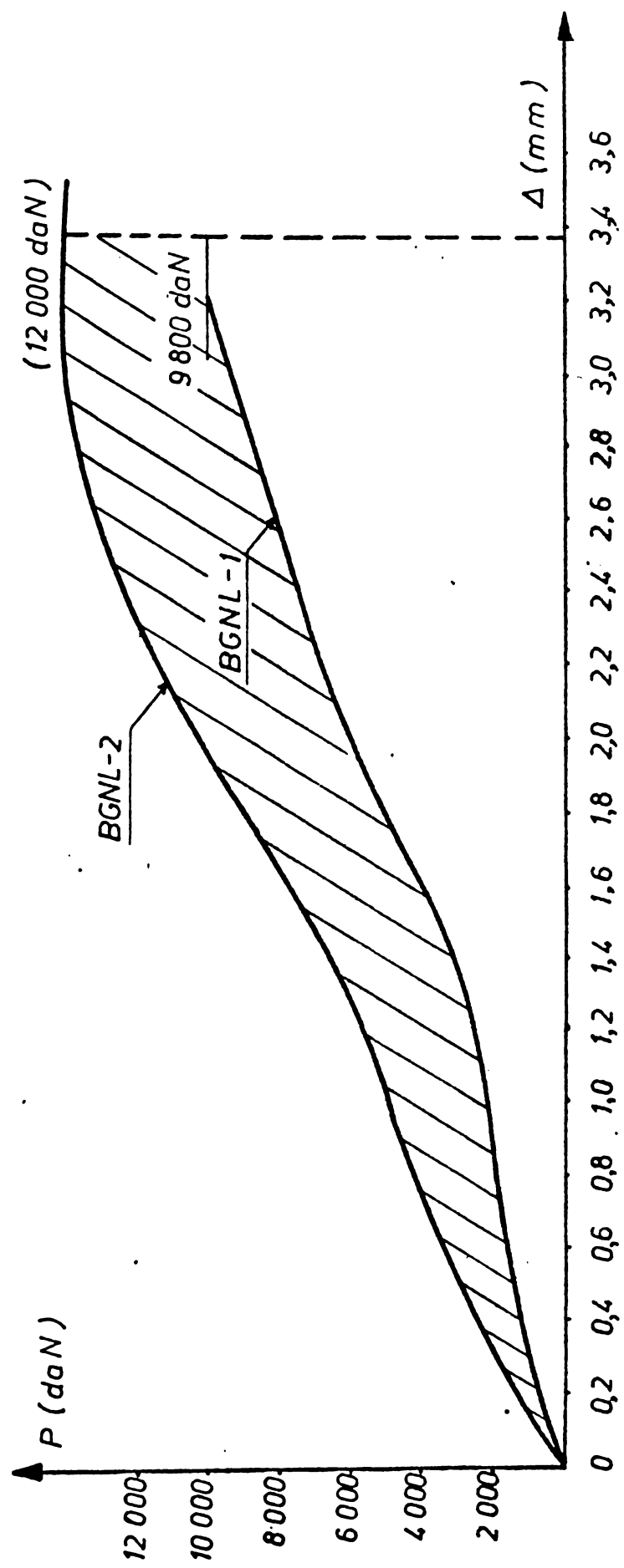


FIG. 5.23 CAPACITATEA DE ABSORBIE DE ENERGIE A ELEMENTELOR  
BGNL-1 ; BGNL-2

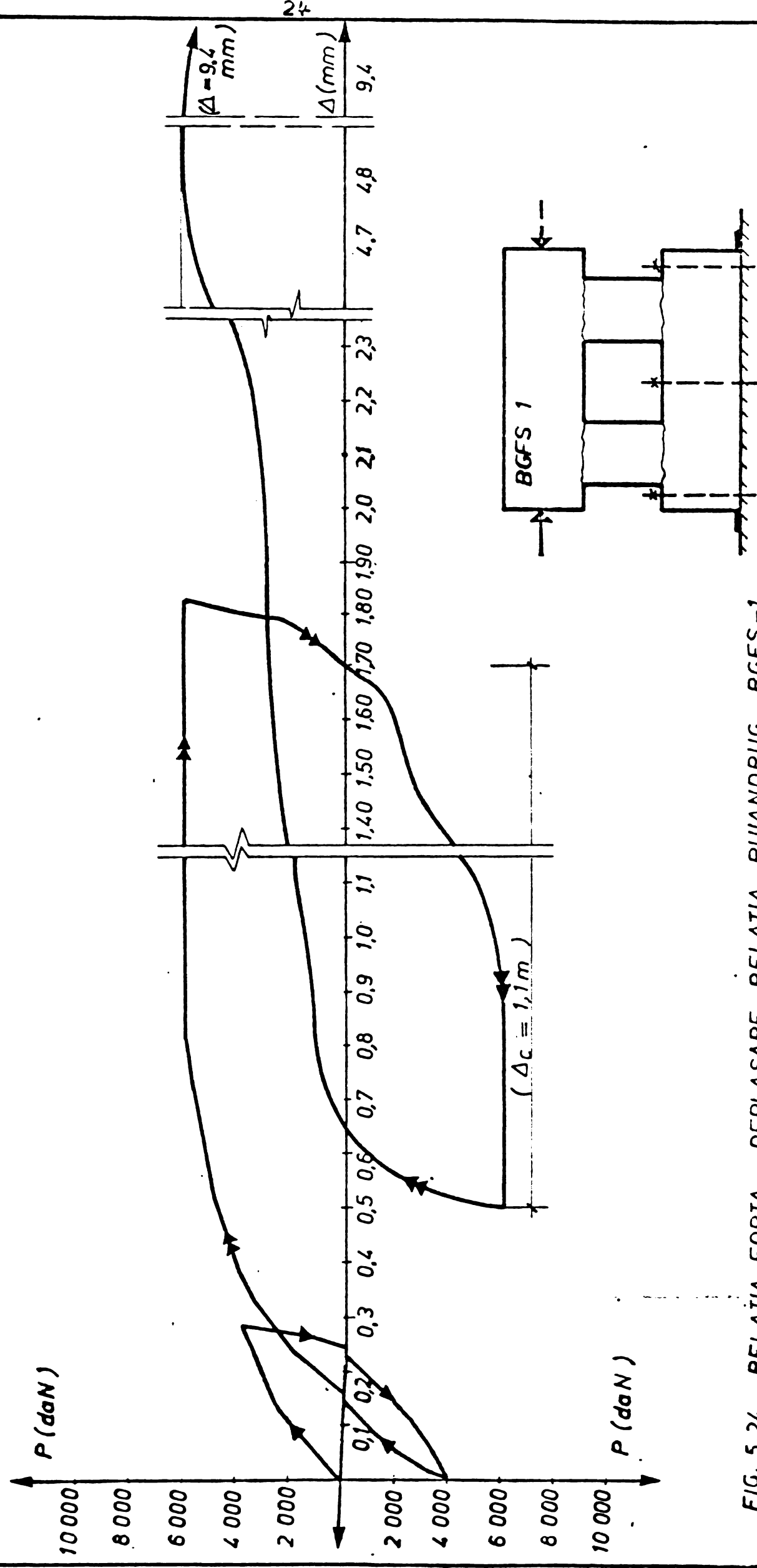


FIG. 5.24 RELATIA FORTA – DEPLASARE RELATIA BUIANDRUG BGFS-1

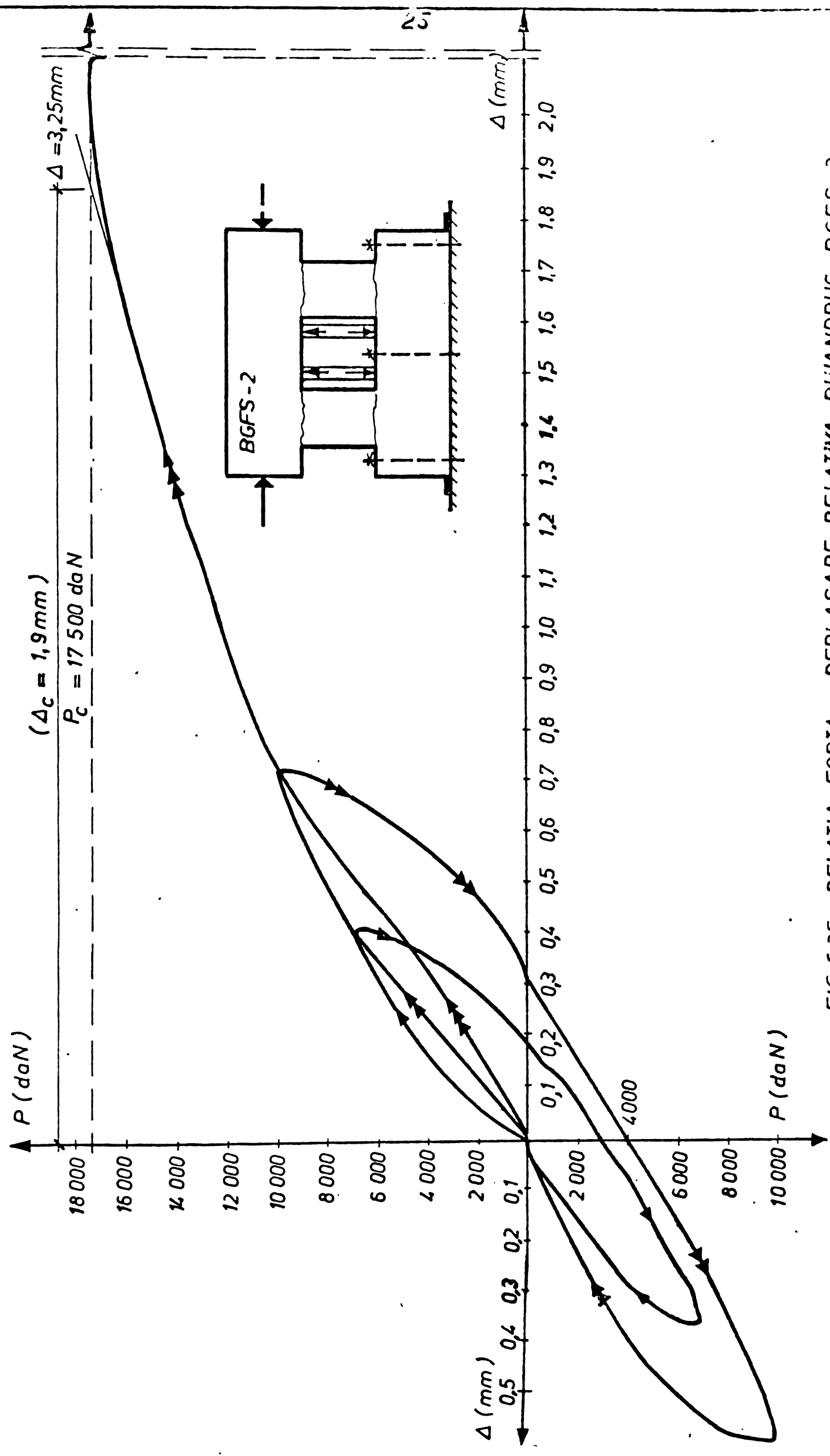


FIG. 5.25 RELATIA FORTA - DEPLASARE RELATIVA BUIANDRUG BGFS-2

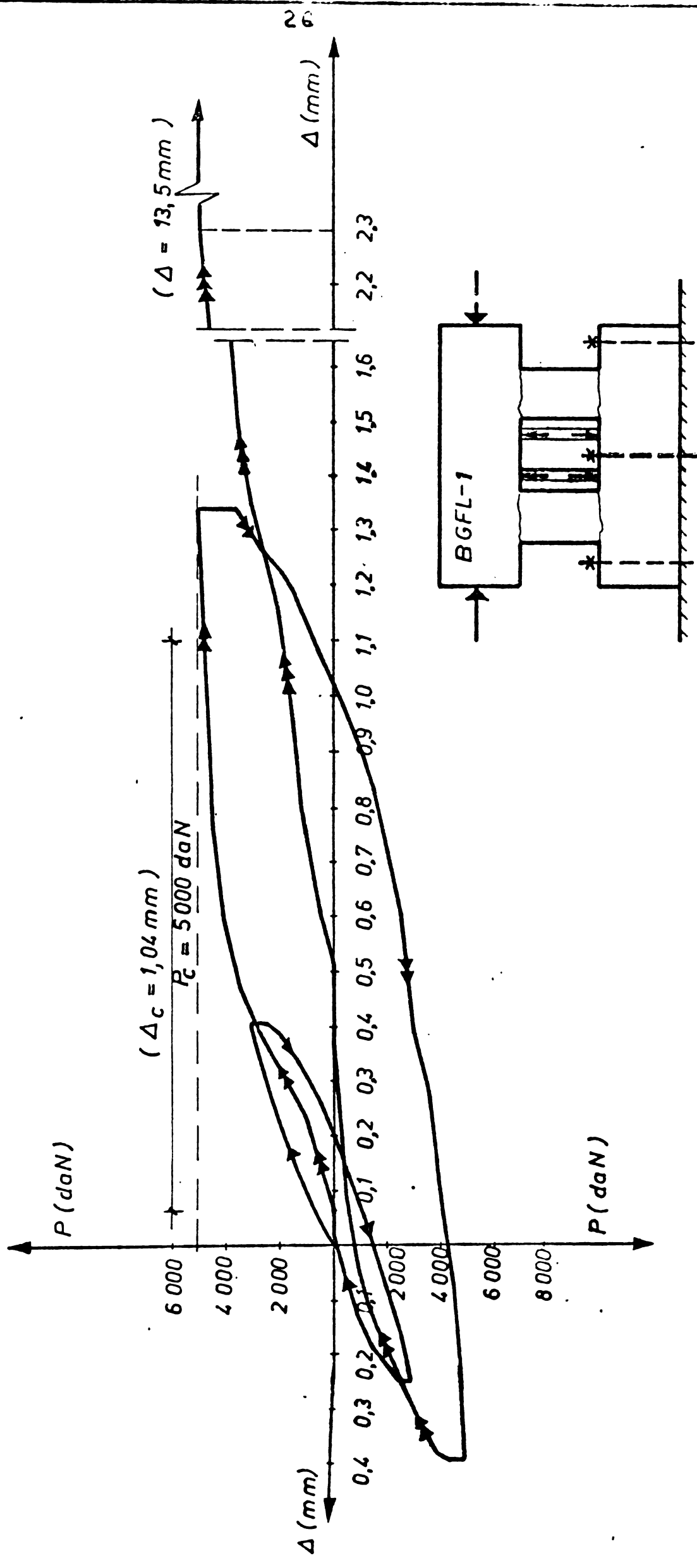


FIG. 5.26 RELATIA FORTA - DEPLASARE RELATIVA BUIANDRUG BGFL-1

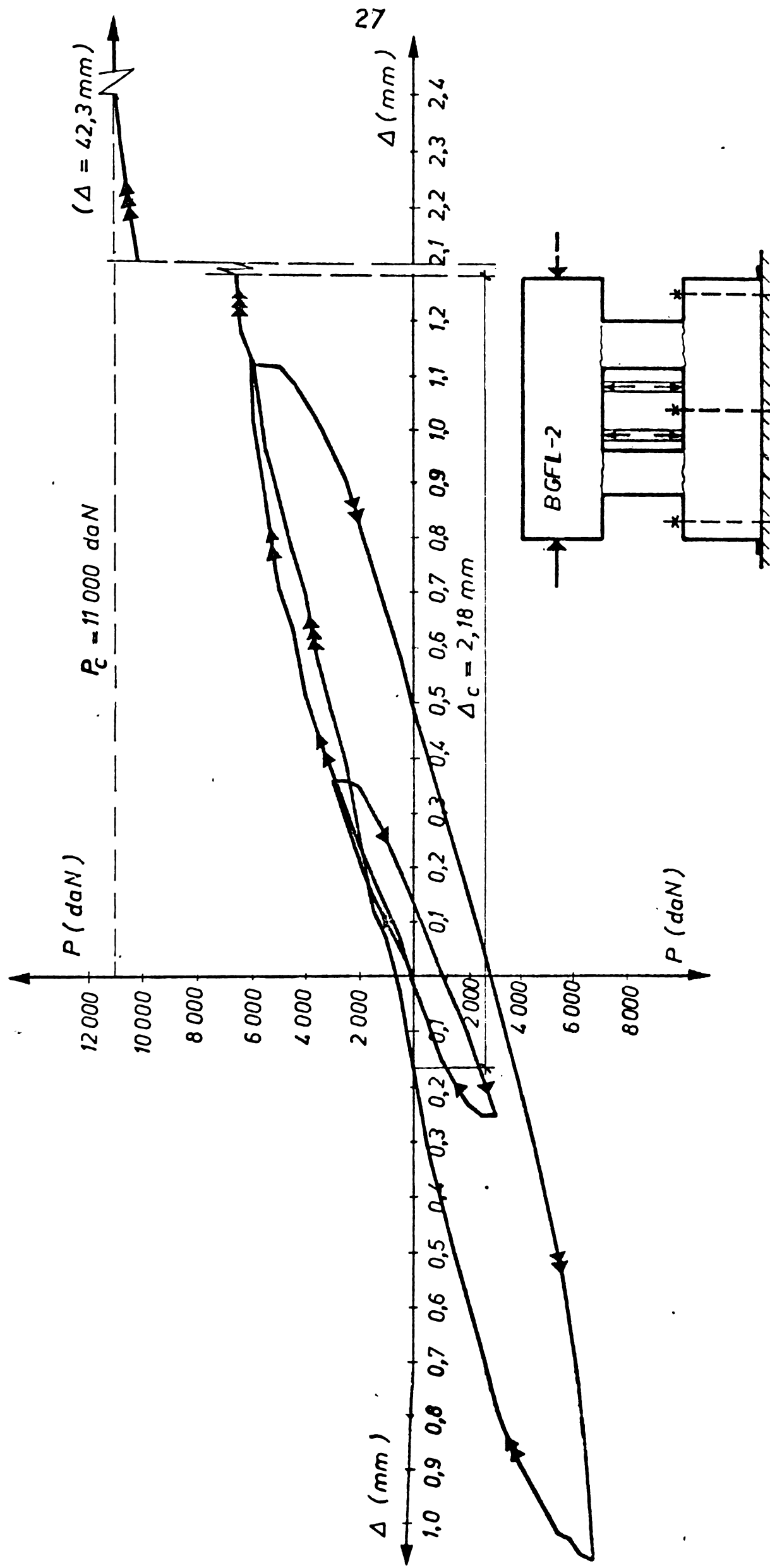


FIG. 5.27 RELATIA FORTA - DEPLASARE RELATIVA BUIANDRUG  $BGFL-2$

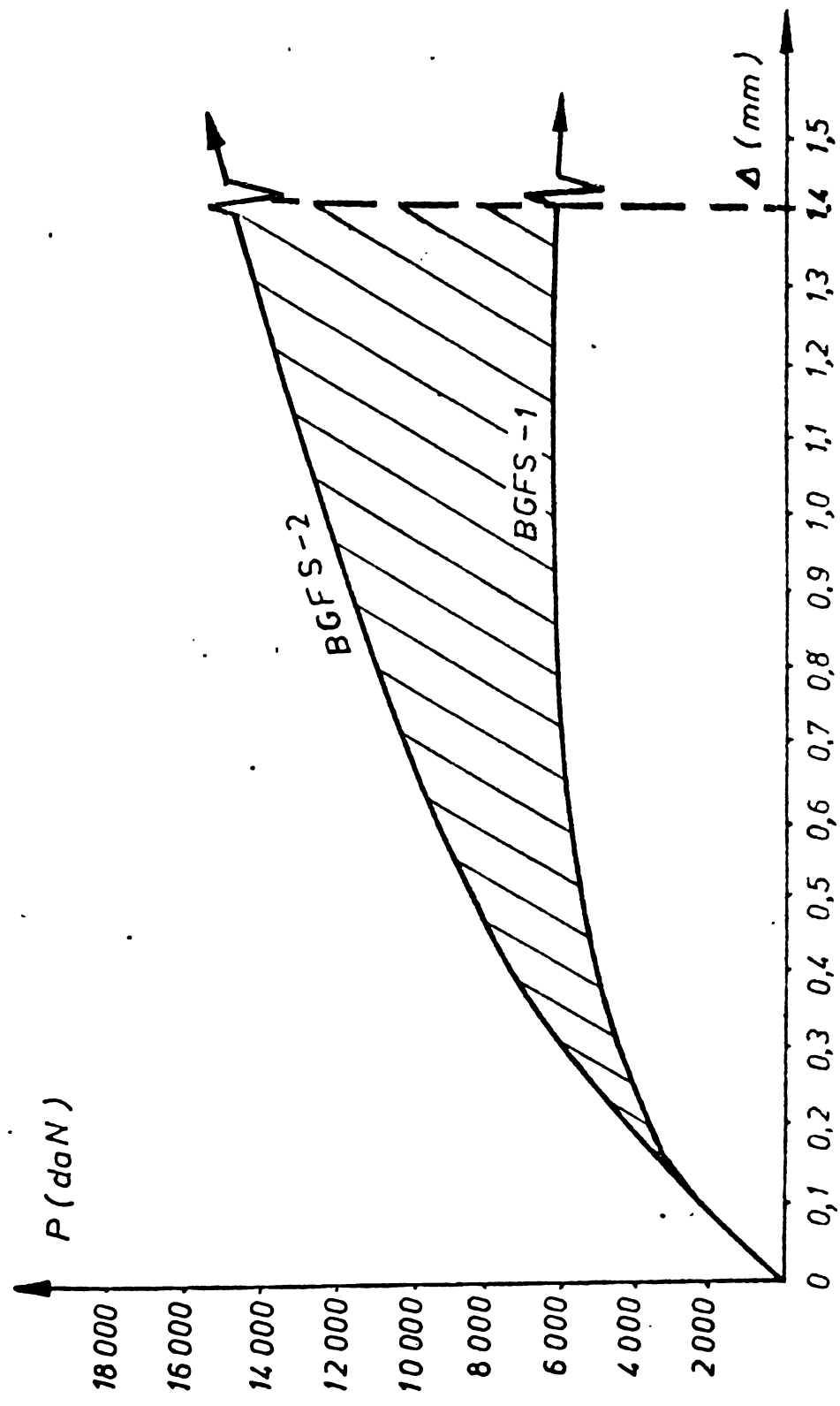


FIG. 5.28 CAPACITATEA DE ABSORBIE DE ENERGIE A ELEMENTELOR BGFS-1 SI BGFS-2

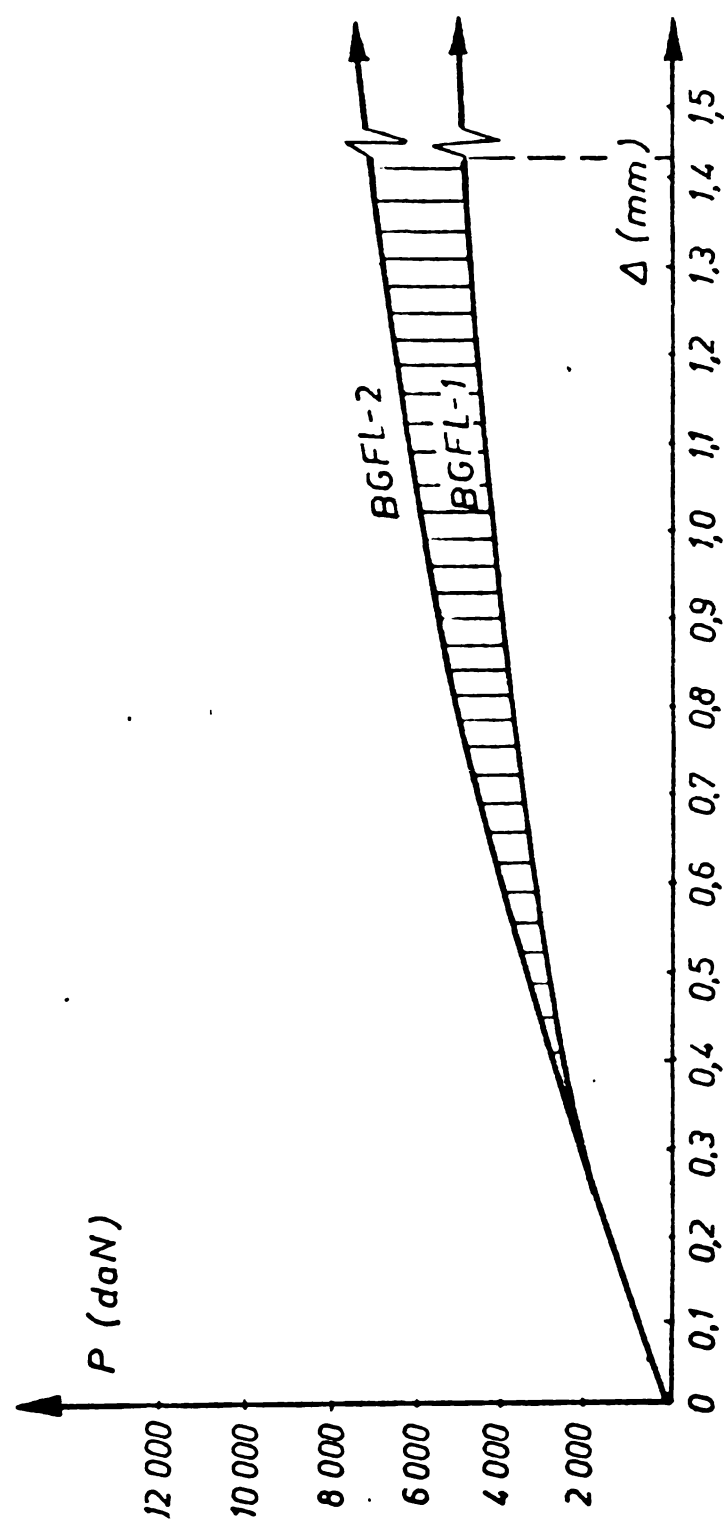
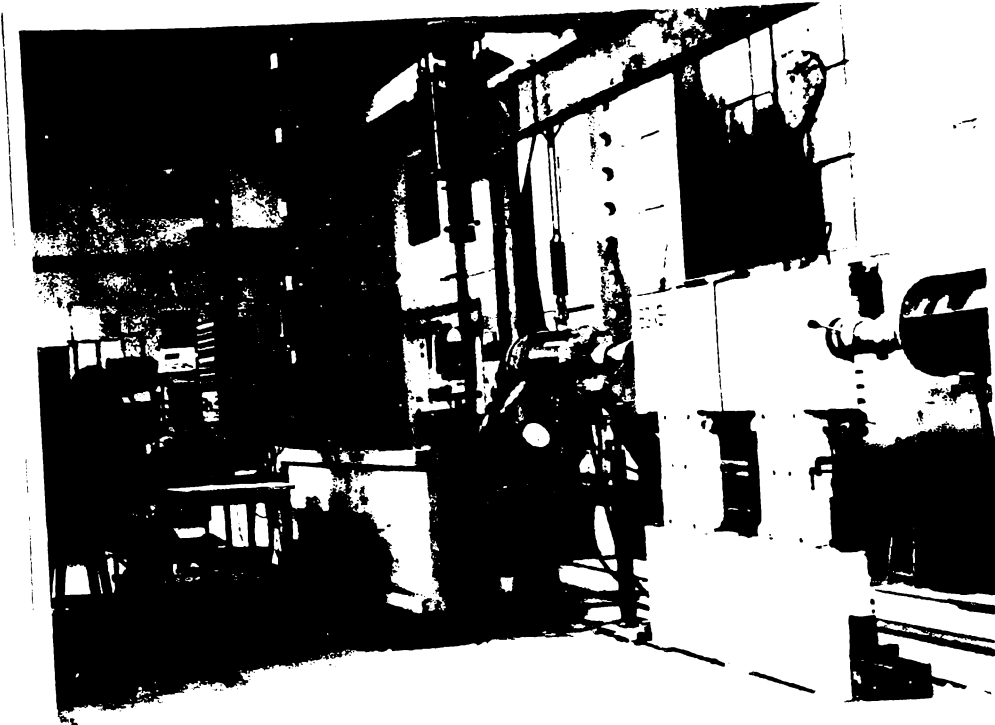
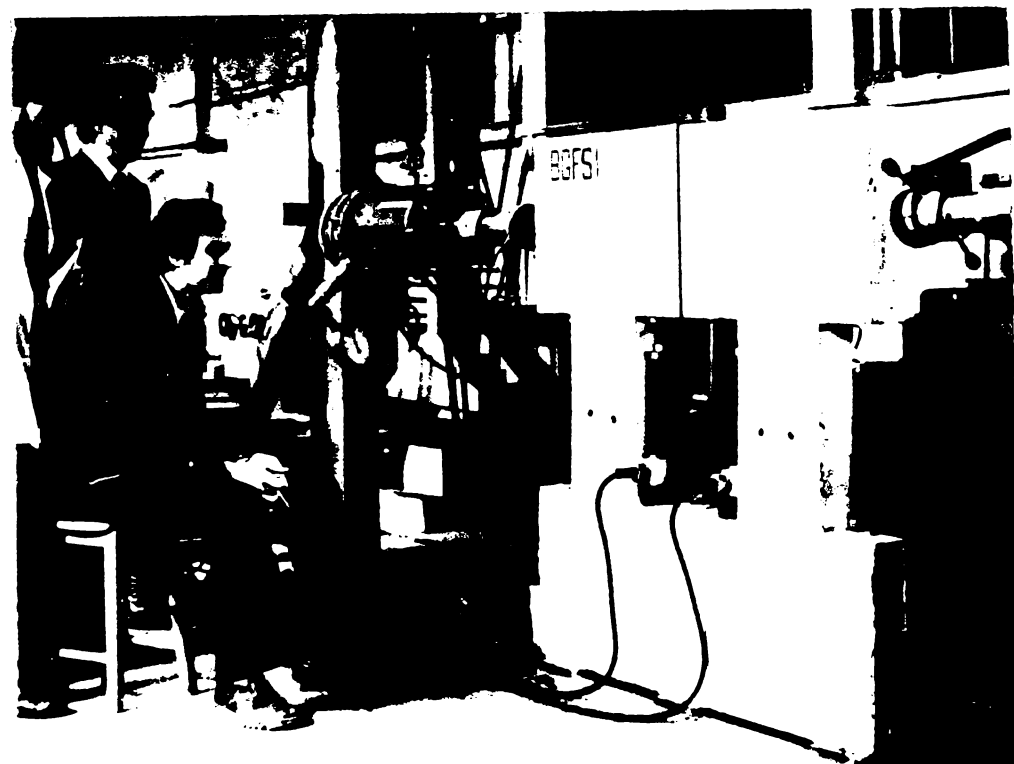


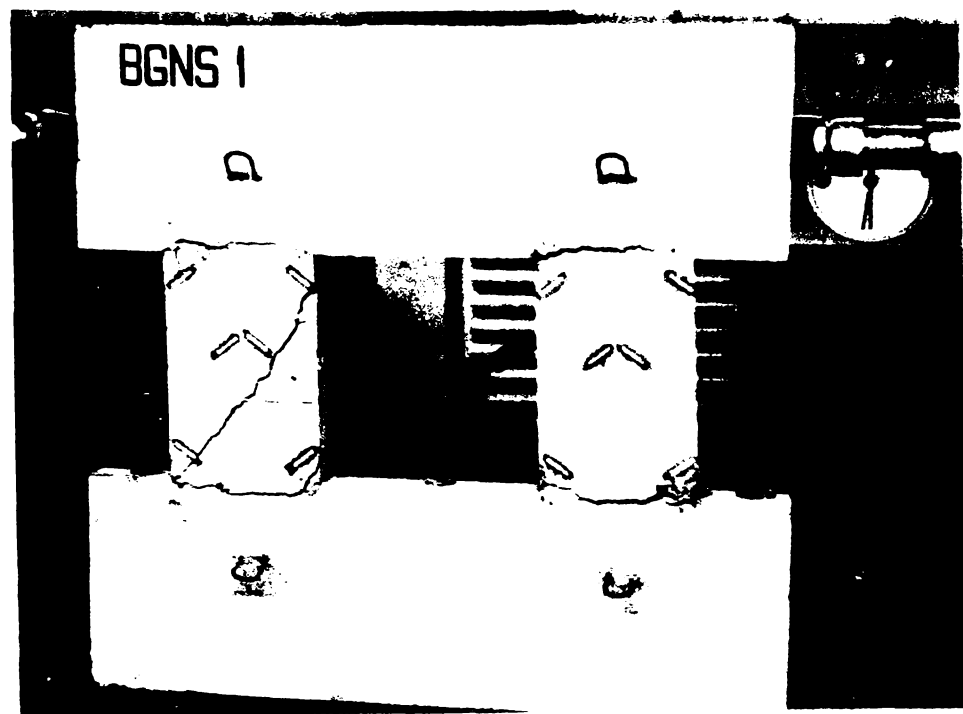
FIG. 5.29 CAPACITATEA DE ABSORBIE DE ENERGIE A ELEMENTELOR  
BGFL-1 ; BGFL-2



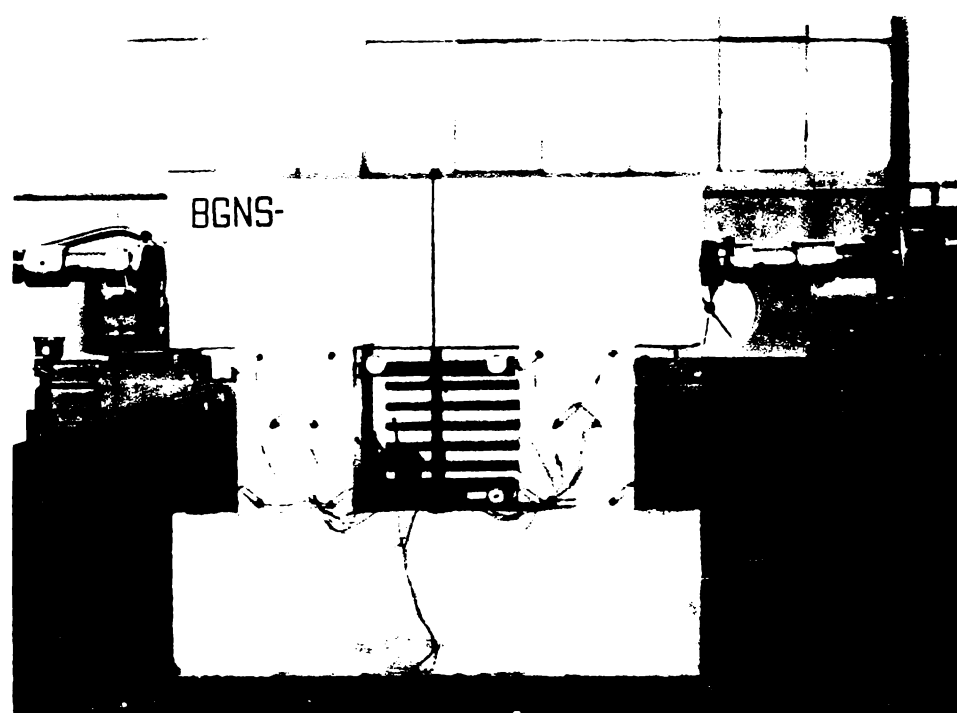
Ansamblul încercării elementelor cu bujorii nefirurezi.



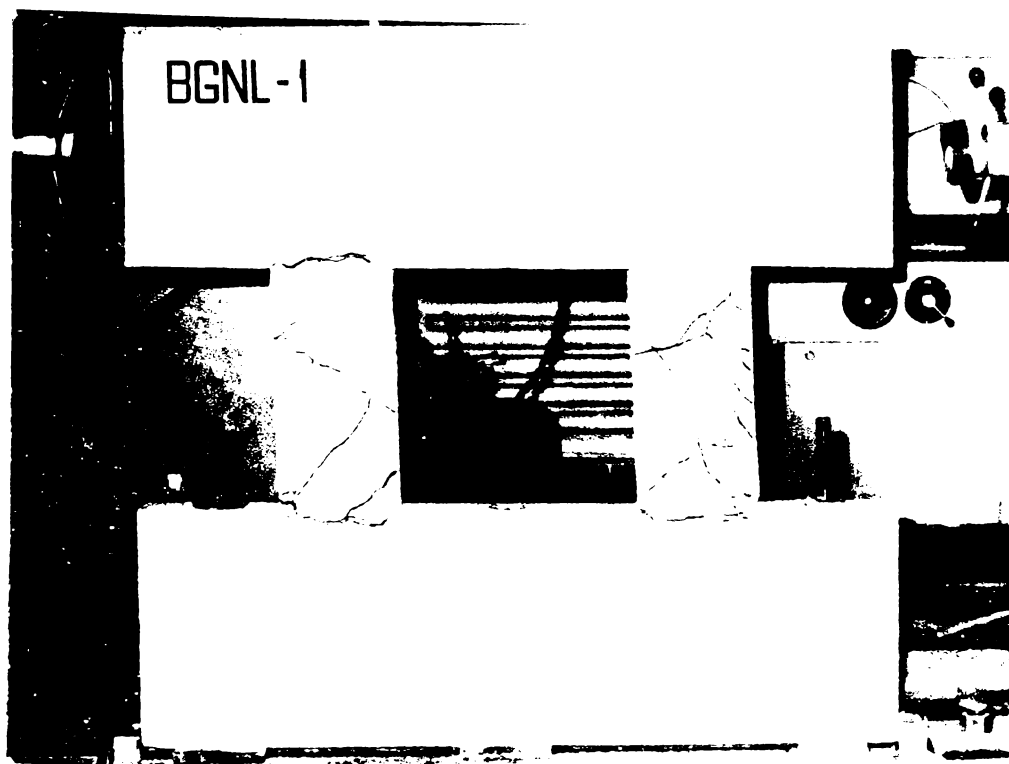
Ansamblul încercării elementelor cu bujorii prefisurați din contractă împiedicată.



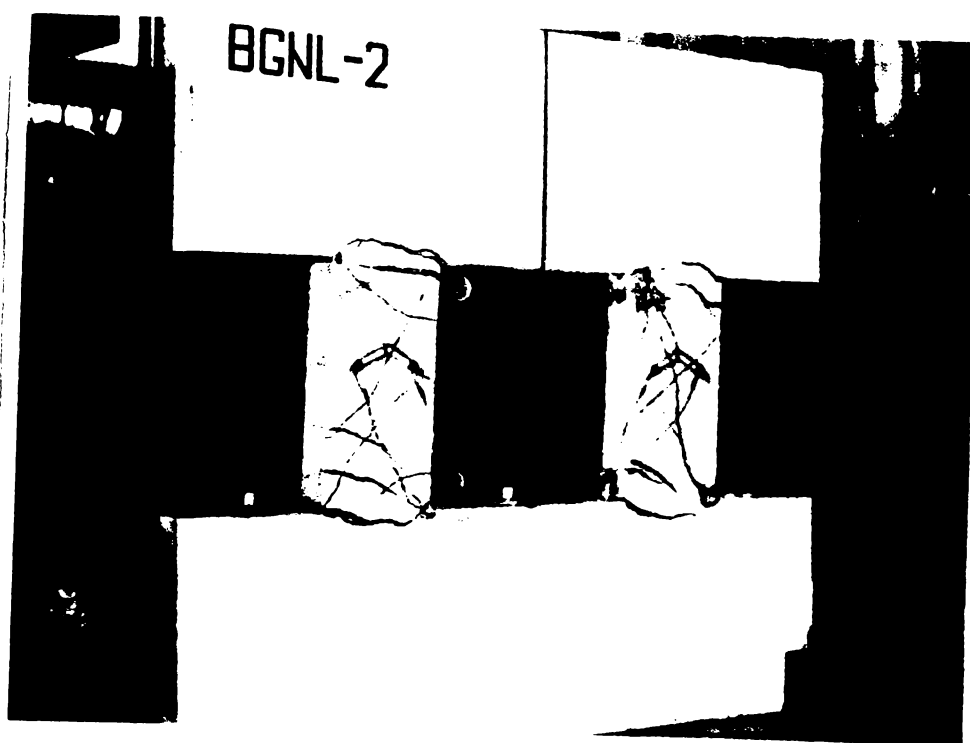
Aspect de rupere a elementului cu buiandru și scurătății nefisurate cu armătură longitudinală și etageri (BGNS I).



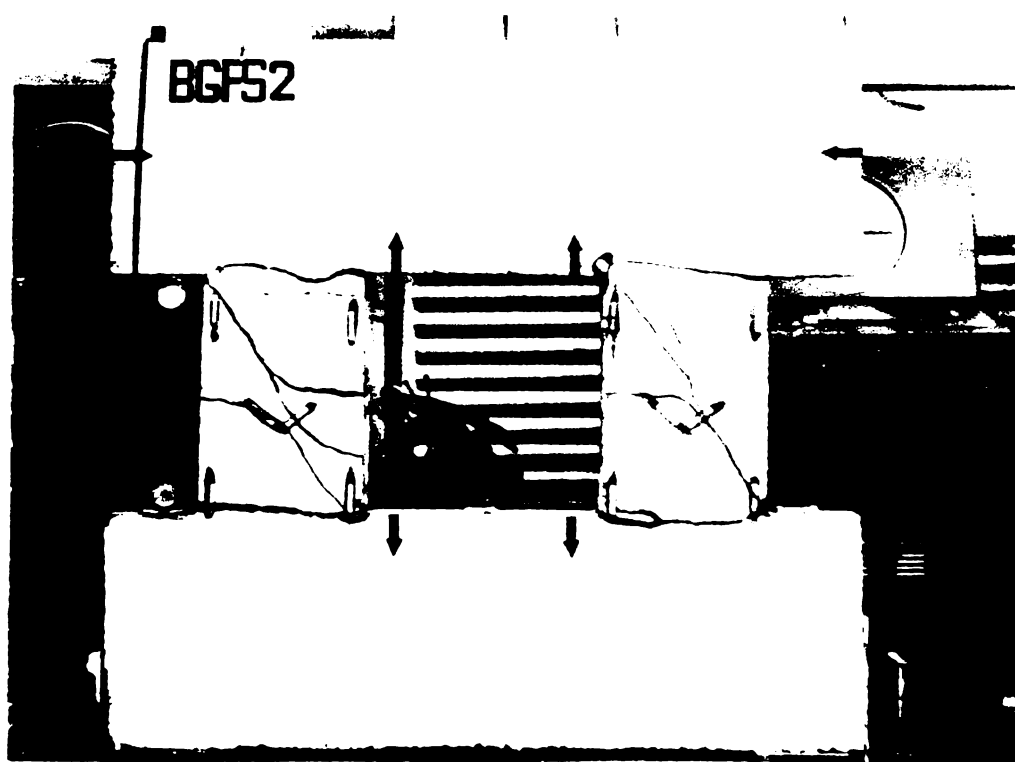
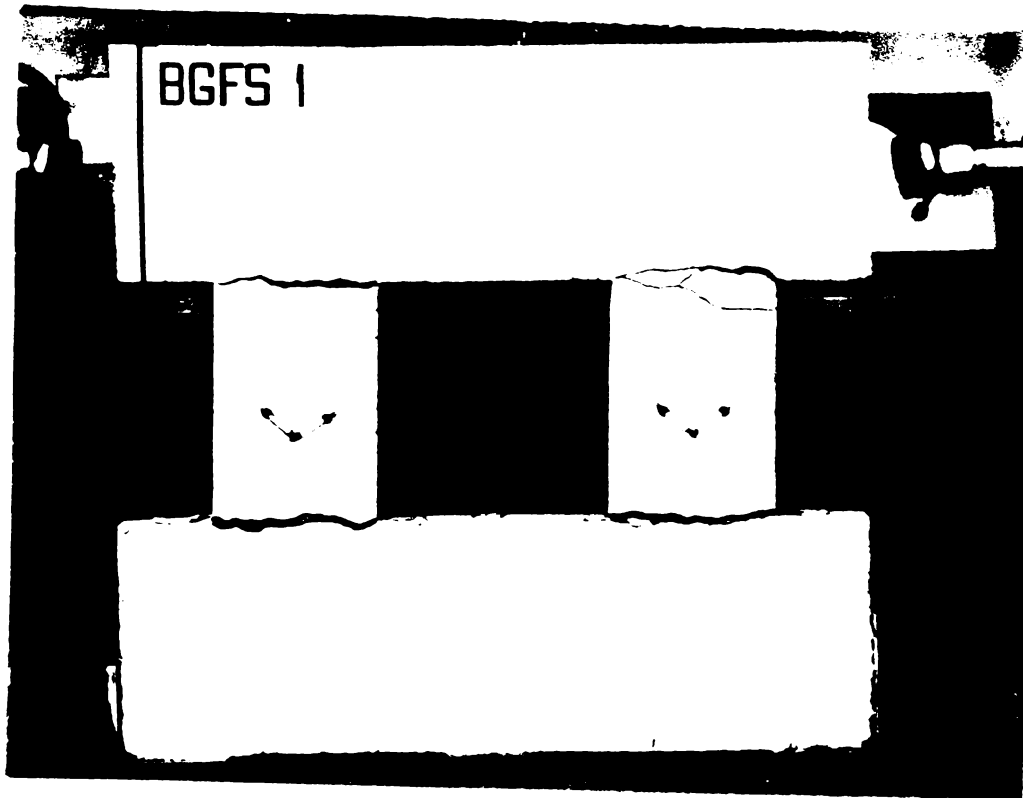
Detașare de încercare a elementului cu buiandru și scurătății nefisurate cu armătură în diagonala (BGNS-II).

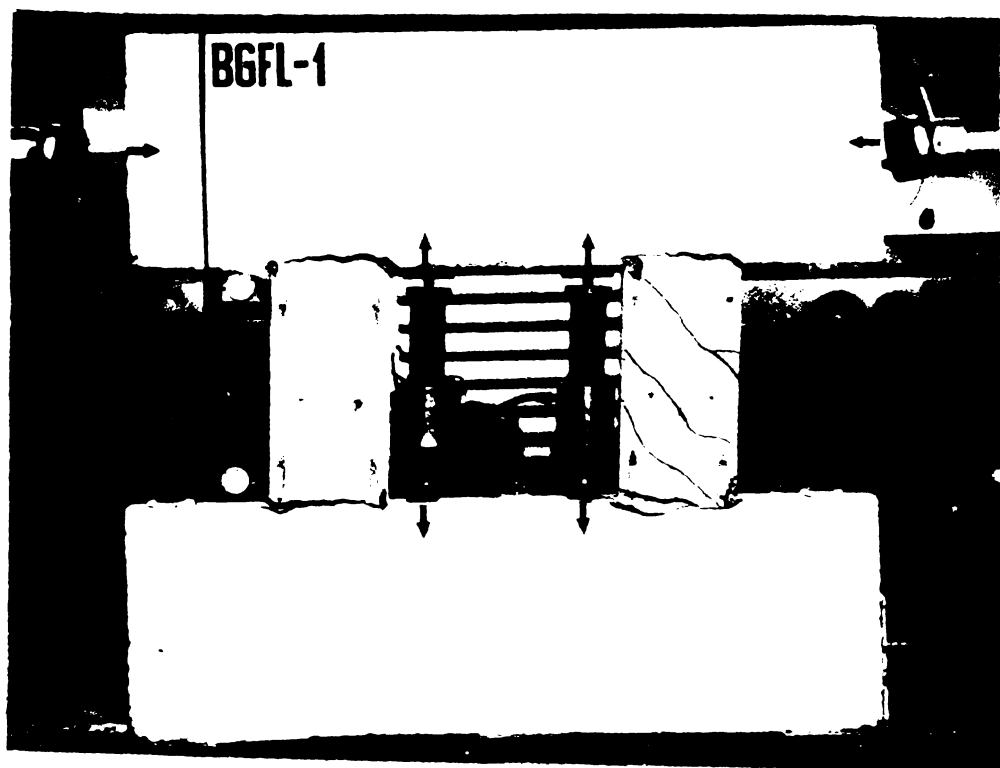


Aspect de rupere al elementului de  
nobilizare cu rezistență la compresie

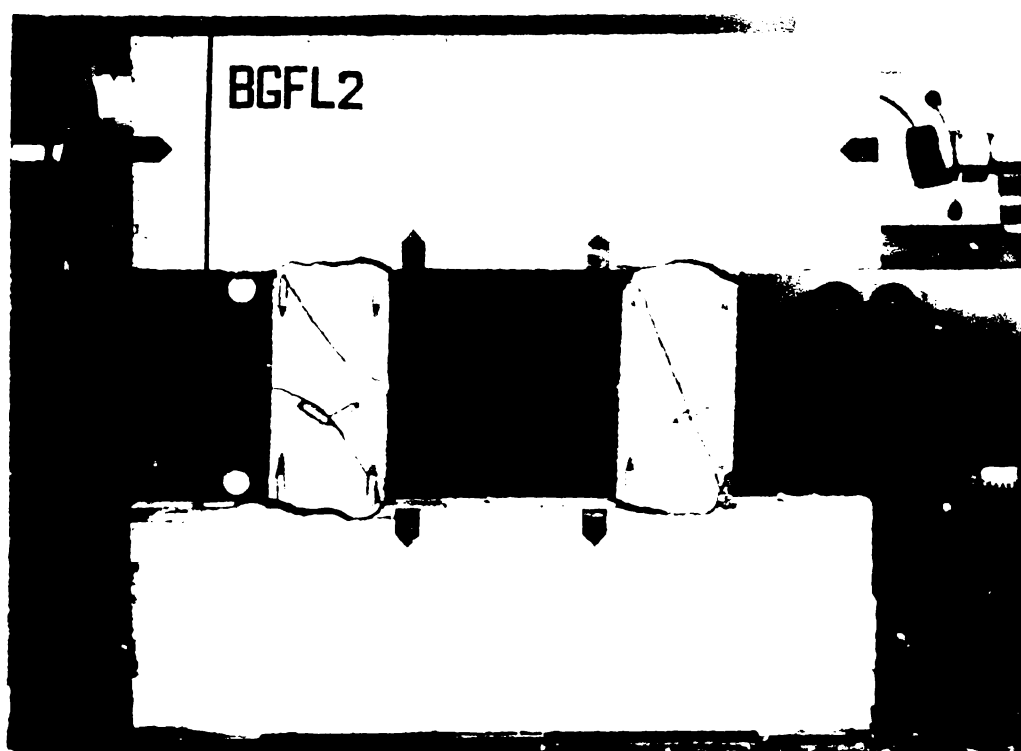


Aspect de rupere al elementului de nobilizare la  
compresie cu rezistență în diagonală.





Elementul cu valuri de  
longitudine și varfuri.



Elementul cu valuri și varfuri  
construită în diferență.

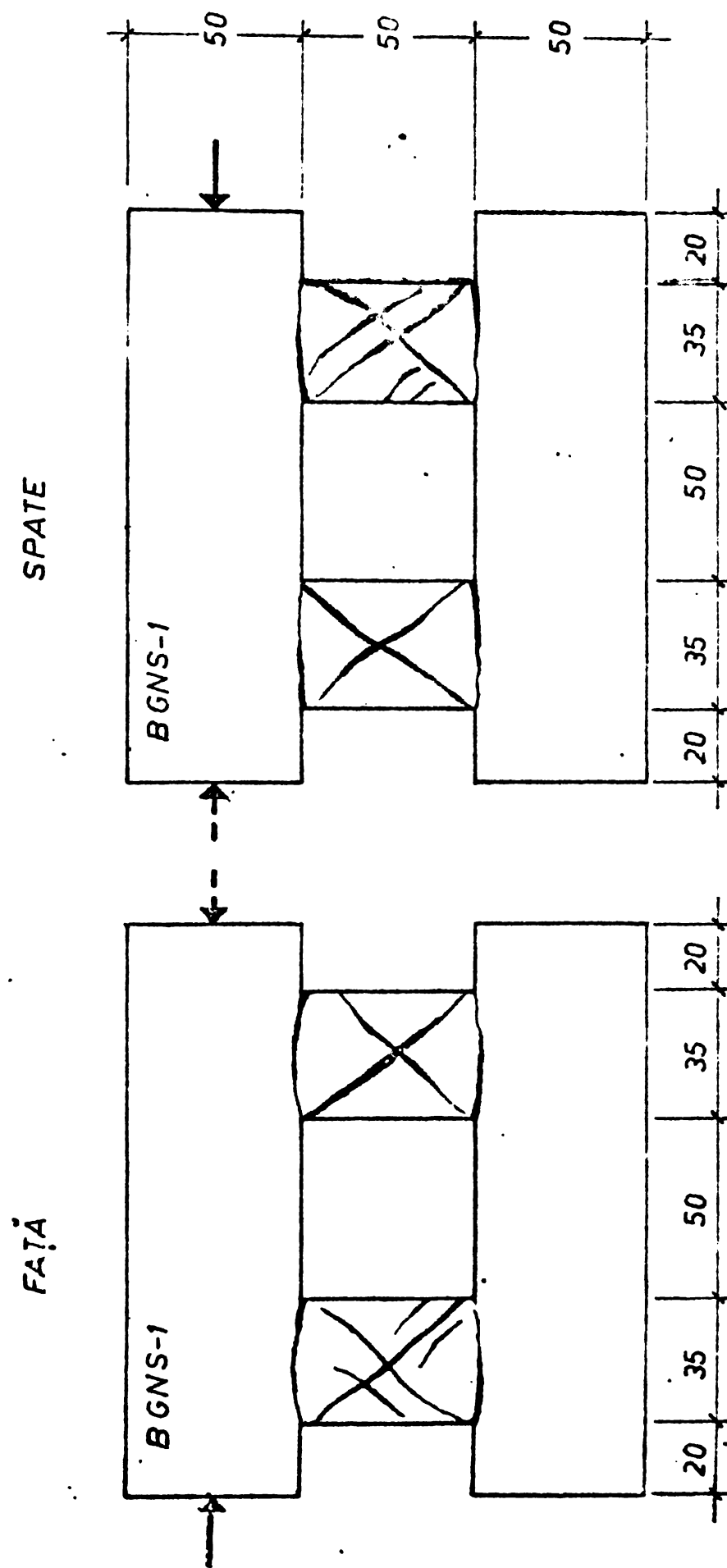


FIG. 5.35 MODUL DE FISURARE A BUIANDRUGILOR ELEMENTULUI GNS-1 LA RUPERE

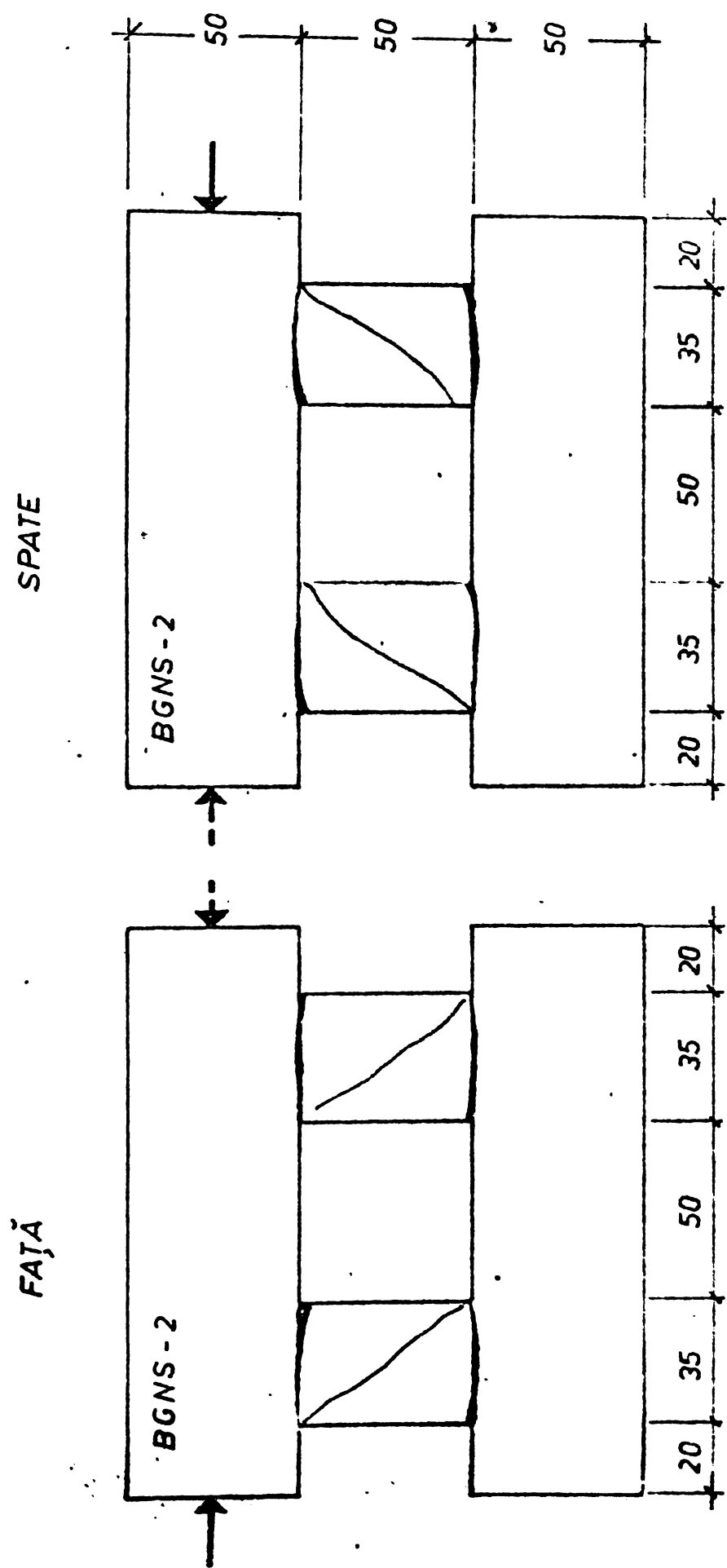


FIG. 5.36 MODUL DE FISURARE A BUIANDRUGILOR ELEMENTULUI BGNS-2 LA RUPERE

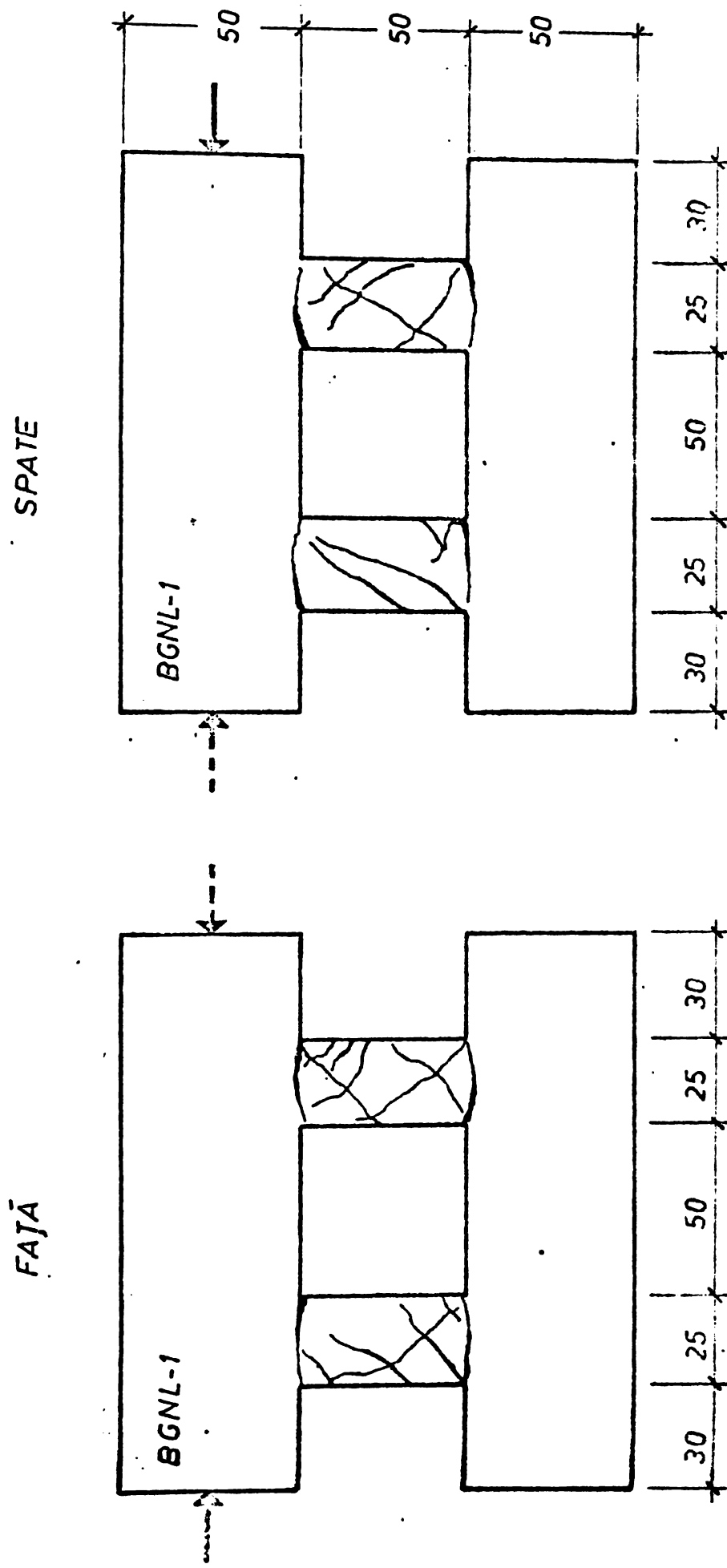


FIG. 5.37 MODUL DE FISURARE A BUIANDRUGILOR ELEMENTULUI BGNL-1 LA RUPERE

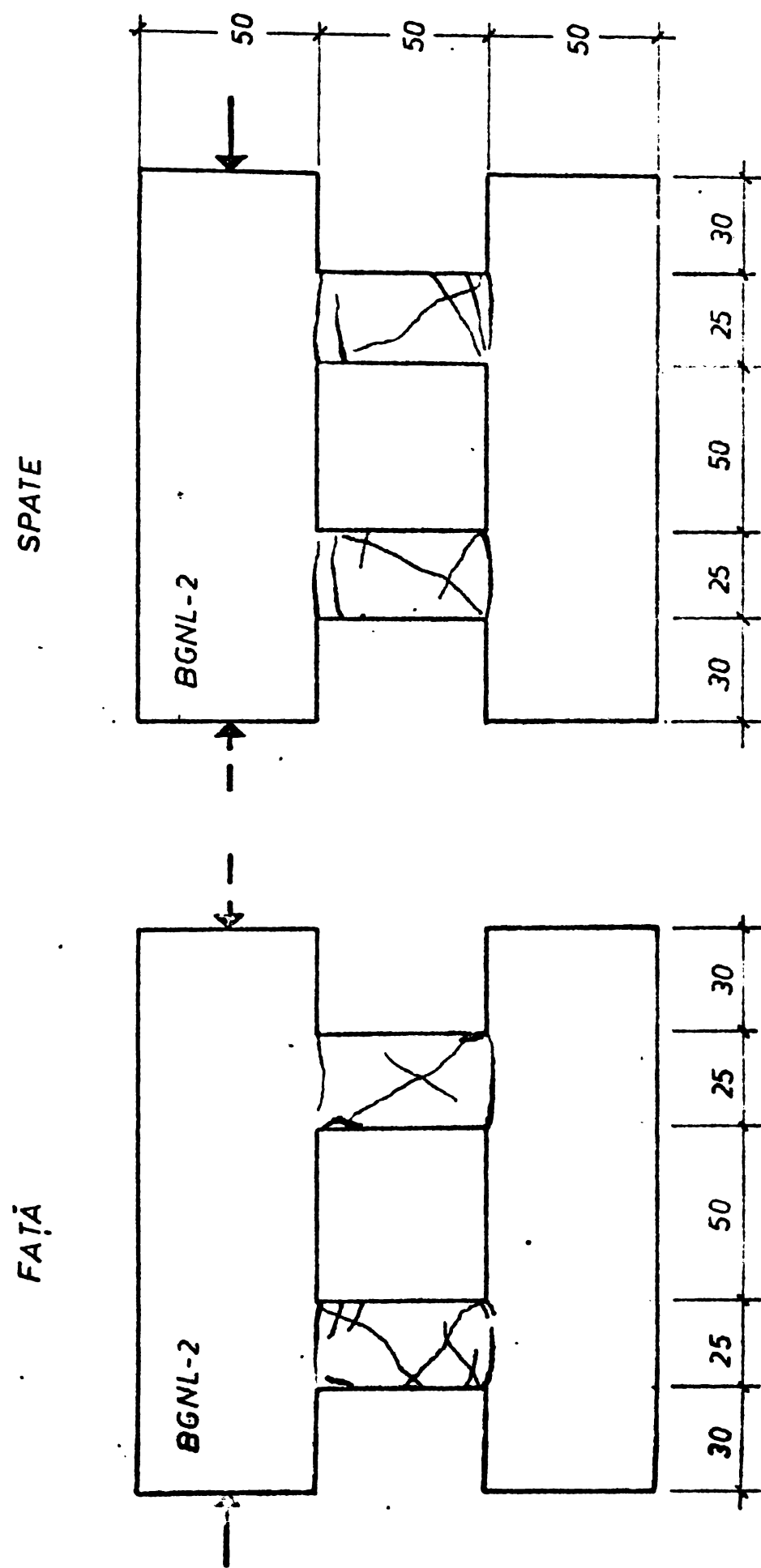


FIG. 5.38 MODUL DE FISURARE A BUIANDRUGILOR ELEMENTULUI BGML-2 LA RUPERE

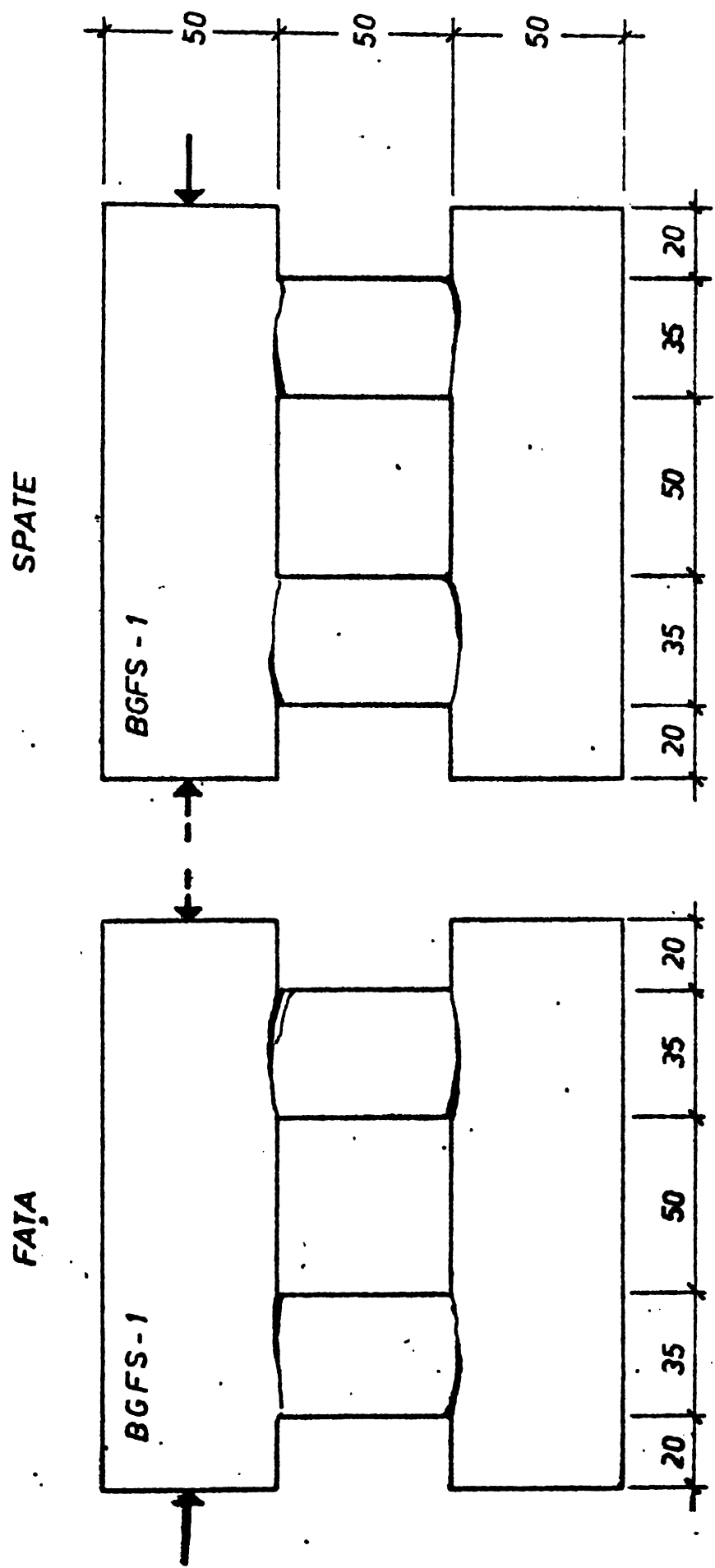


FIG. 5.39 MODUL DE FISURARE A BUIANDRUGILOR ELEMENTULUI BGFS - 1 LA RUPERE

**FIG. 5.40 MODUL DE FISURARE A BUIANDRUGILOR ELEMENTULUI BGFS-2 LA RUPERE**

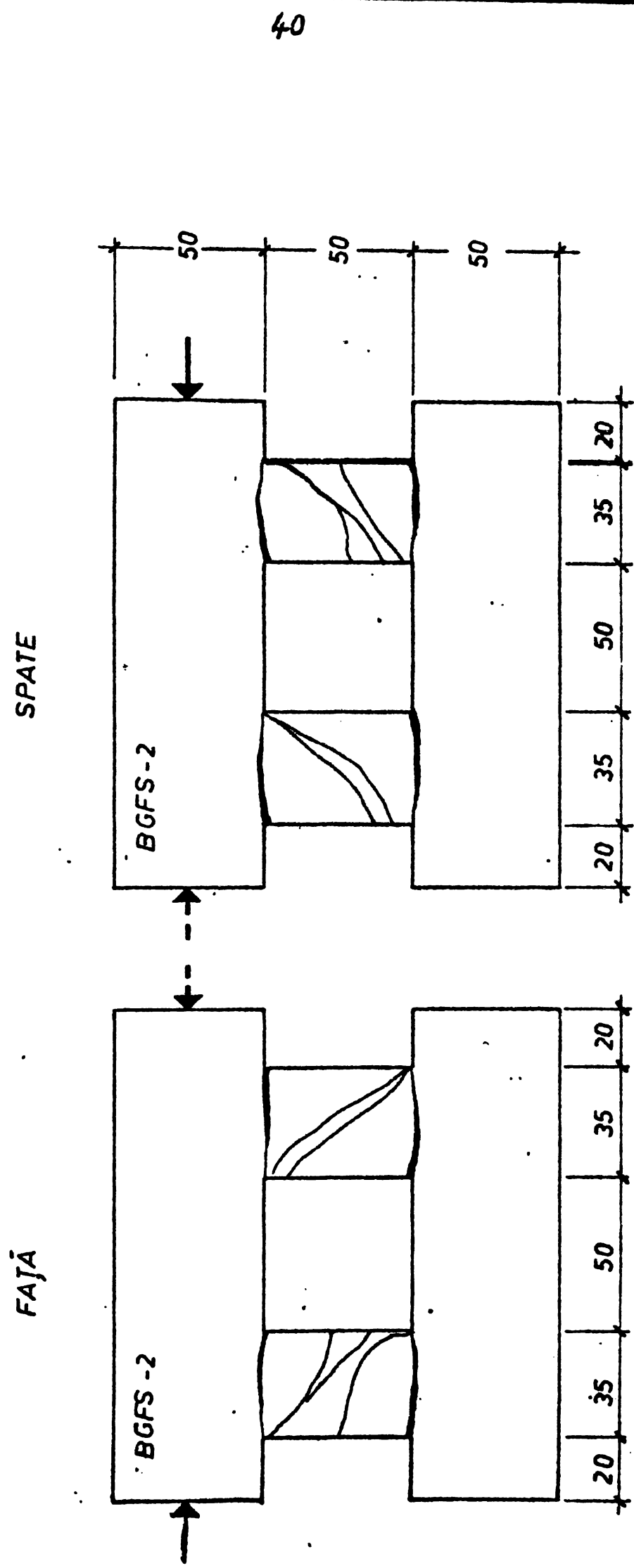
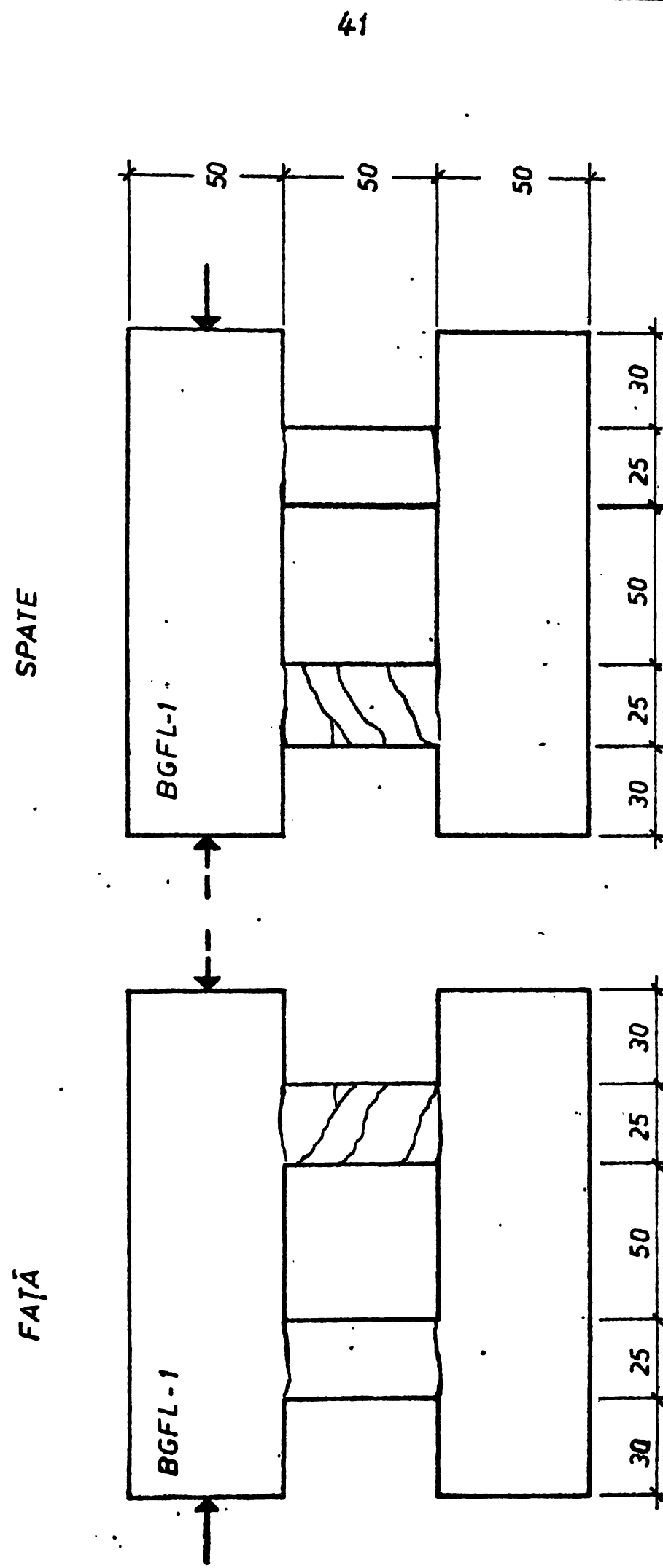


FIG. 5.41 MODUL DE FISURARE A BUANDRUGILOR ELEMENTULUI BGFL-1 LA RUPERE



12

SPATE

FATĂ

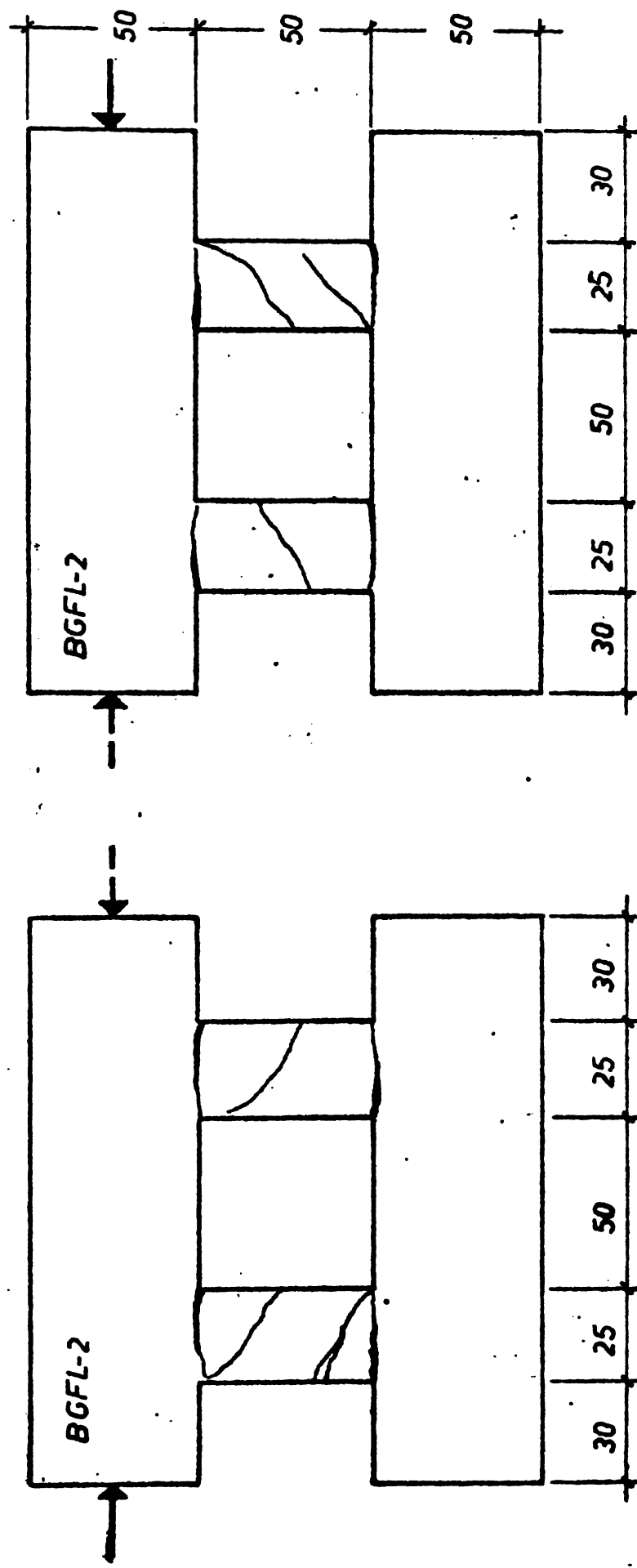


FIG. 5.42 MODUL DE FISURARE A BUIANDRUGILOR ELEMENTULUI BGFL-2 LA RUPERE

Tabelul 5.1.

Caracteristicile mecanice ale betonului folosit la turnarea elementelor DG1, DG2, DG3, DG4.

L'afraag-ma	Data confec-tionării	Data încer-cării dia-fragmelor	R <sub>b</sub> (daN/cm <sup>2</sup> ) L=20	R <sub>b</sub> (daN/cm <sup>2</sup> ) L=10	R <sub>pr</sub> (daN/cm <sup>2</sup> ) 10x10x30	R <sub>t</sub> = $\frac{3,5L}{bh^2}$ (daN/cm <sup>2</sup> ) 10x10x55	E <sub>b</sub> (daN/cm <sup>2</sup> )
DG1	21.IX.1976	<u>3.XI.1976</u>	5.XI.1976	245	265	220	29,4
DG2		<u>9.XI.1976</u>					306800
DG3		<u>11.XI.1976</u>	12.XI.1976	300	310	255	25,0
DG4	13.X.1976	<u>13.XI.1976</u>					315300

Tabelul 5.2.

Denumirea elementului	Prezența fisurilor din contractie	Modul de armare	Tipul buiandrugilor
BGNS 1	NU	armăt. longit. și etrieri	scurți $\frac{\ell_o}{h_r} < 2$
BGFS 1	DA		
BGNS 2	NU	armătura în diagonală	lungi $\frac{\ell_o}{h_r} \geq 2$
BGFS 2	DA		
BGNL 1	NU	armăt. longit. și etrieri	lungi $\frac{\ell_o}{h_r} \geq 2$
BGFL 1	DA		
BGNL 2	NU	armătură în diagonală	lungi $\frac{\ell_o}{h_r} \geq 2$
BGFL 2	DA		

Tabelul 5.3.

Denumirea elementului	Dimensiuni buiandrugii		Dimensiuni montantă (cm)	Armare buiandrugii <sup>x)</sup>	
	Sectiune (cm)	b h		b h	In diagonală
BGFS 1					$\varnothing 6/6$ cm
BGFS 1	10	35	50	10	$4\varnothing 16$ (2,3%)
BGFS 2				50	-
BGFS 2					$4\varnothing 16$ (2,3%)
BGL 1					$4\varnothing 14$ (2,47%)
BGL 1	10	25	50	10	-
BGL 1				50	$4\varnothing 14$ (2,47%)
KGL 2					-

<sup>x)</sup> Armatura de montaj nu este inclusă în tabel.

Tabelul 5.4.

Benumirea elementului	Data confectionării	Data încercării elementului	Data încercării epruvetelor	$R_c$ (daN/cm <sup>2</sup> )	$R_t = \frac{3,5}{b h^2}$ (daN/cm <sup>2</sup> )	$E_b$ (daN/cm <sup>2</sup> )
BGNS 1	15.X.1977	13.XI.1977	14.XI.1977	200	30	200000
BGNL 1		15.XI.1977				
BGNS 2	10.XI.1977	6.XII.1977	9.XII.1977	217	33	205000
BGNL 2		8.XII.1977				
BGFS 1	14.XII.1977	5.I.1978	8.I. 1978	187	29	198000
BGFL 1		7.I.1978				
BGFS 2	25.XII.1977	17.I. 1978	18.I. 1978	203	31	204000
BGFL 2		19.I. 1978				

Săgetile măsurate (mm) la diferite trepte de încărcare - Diagrama DGI.

Tabelul 5-5.

P (daN)	M <sub>1</sub>	M <sub>2</sub>	M <sub>3</sub>	M <sub>4</sub>	F <sub>M</sub> 4	M <sub>5</sub>	M <sub>6</sub>	M <sub>7</sub>	F <sub>M</sub> 7	M <sub>8</sub>	M <sub>9</sub>	M <sub>10</sub>	F <sub>M</sub> 10	M <sub>11</sub>	M <sub>12</sub>	M <sub>13</sub>
0 <sup>**</sup> )	0,000	0,000	0,000	0,000	0,000	0,000	0,000	0,000	0,000	0,000	0,000	0,000	0,000	0,000	0,000	0,000
250	0,010	0,105	0,160	0,220	0,280	0,320	0,360	0,350	0,320	0,265	0,200	0,100	0,120	0,060	0,060	0,000
500	0,070	0,230	0,360	0,475	0,500	0,605	0,720	0,740	0,750	0,690	0,590	0,400	0,310	0,170	0,170	0,015
750	0,115	0,350	0,560	0,800	0,850	0,965	1,110	1,140	1,050	1,090	0,930	0,750	0,700	0,500	0,270	0,025
1000	0,160	0,480	0,790	1,070	1,150	1,560	1,620	1,400	1,510	1,400	1,310	1,030	1,000	0,680	0,370	0,030
1250	0,210	0,685	1,145	1,615	1,600	2,000	2,310	2,370	2,150	2,280	1,950	1,550	1,500	1,010	0,520	0,025
1500	0,270	0,960	1,830	2,570	2,650	3,265	3,790	3,870	3,650	3,660	3,140	2,750	2,400	1,600	0,780	0,010
1750	0,330	1,790	3,250	4,650	4,950	6,880	6,970	8,850	6,940	5,840	4,510	4,700	2,910	1,350	0,0	0,110
1750 <sup>**</sup> )				5,480	5,800	8,485	9,150	9,150	8,450	7,020	5,360	5,600				
2000				7,600	8,300	8,545	11,770	12,750	11,770	12,750	9,730	7,330				
2125					16,300	16,300	16,300	16,300	16,300	16,300	16,300	16,300	16,300	16,300	16,300	
						...	...	...	...	...	...	...	...	...	...	
										99,750						

Diagrama DG2.

P <sup>**</sup> )	M <sub>1</sub>	M <sub>2</sub>	M <sub>3</sub>	M <sub>4</sub>	F <sub>M</sub> 4	M <sub>5</sub>	M <sub>6</sub>	M <sub>7</sub>	F <sub>M</sub> 7	M <sub>8</sub>	M <sub>9</sub>	M <sub>10</sub>	F <sub>M</sub> 10	M <sub>11</sub>	M <sub>12</sub>	M <sub>13</sub>
0 <sup>**</sup> )	0,000	0,000	0,000	0,000	0,000	0,000	0,000	0,000	0,000	0,000	0,000	0,000	0,000	0,000	0,000	0,000
250	0,000	0,060	0,130	0,190	0,300	0,250	0,350	0,330	0,300	0,290	0,250	0,190	0,140	0,070	0,070	0,000
500	0,000	0,150	0,340	0,490	0,500	0,620	0,750	0,600	0,700	0,720	0,620	0,430	0,300	0,310	0,180	0,000
750	0,000	0,230	0,490	0,750	0,700	0,960	1,150	1,240	1,100	1,090	0,950	0,690	0,550	0,480	0,270	0,005
1000	0,000	0,340	0,710	1,050	1,100	1,360	1,640	1,750	1,450	1,560	1,320	0,970	0,700	0,690	0,370	0,005
1250	0,000	0,540	1,170	1,920	1,800	2,520	2,860	2,600	2,590	2,200	1,660	1,120	0,560	0,450	0,220	0,005
1500	0,000	1,130	2,460	3,760	3,600	4,930	5,890	6,410	6,100	5,790	4,870	3,720	2,450	1,220	0,500	
1750					8,100				14,300	13,500						
1875									30,300							
2000									64,200							
2125									126,700							
										22,500						
										57,500						

Va loarea "0" reprezintă situația diafragmei încărcată numai cu forță axială constantă N = 8,3 t f.

\*\*) Cîrlirea "0" a făcut după stabilizarea deformărilor

Tabelul 5.6.

Sagetele măsurate (mm) la diferite trepte de încărcare ~ Diagrama DG3.

P (daN)	M <sub>1</sub>	M <sub>2</sub>	M <sub>3</sub>	M <sub>4</sub>	M <sub>5</sub>	M <sub>6</sub>	M <sub>7</sub>	M <sub>8</sub>	M <sub>9</sub>	M <sub>10</sub>	M <sub>11</sub>	M <sub>12</sub>	M <sub>13</sub>
0 <sup>(*)</sup>	0,000	0,000	0,000	0,000	0,000	0,000	0,000	0,000	0,000	0,000	0,000	0,000	0,000
250	0,000	0,100	0,250	0,360	0,500	0,600	0,630	0,660	0,600	0,530	0,470	0,410	0,160
500	0,010	0,230	0,500	0,720	0,800	0,940	1,070	1,150	1,100	1,000	0,930	0,720	0,280
750	0,019	0,370	0,750	1,100	1,100	1,440	1,680	1,730	1,500	1,530	1,380	1,050	0,380
1000	0,020	0,500	1,010	1,470	1,320	1,890	2,200	2,340	2,000	2,080	1,830	1,430	0,960
1250	0,010	0,820	1,670	2,460	2,400	3,180	3,740	4,020	3,700	3,630	3,140	2,410	2,000
1375	0,009	1,000	2,040	3,010	2,900	3,910	4,610	4,990	4,600	4,490	3,850	2,950	1,950
1500	-0,046	1,250	2,580	3,860	3,900	5,030	6,000	6,420	6,100	5,790	4,970	3,790	2,520
1625	-0,550	1,720	3,610	5,430	5,500	7,110	8,590	9,450	9,200	8,390	7,030	5,320	3,500
1750	-0,850	2,120	4,450	6,680	7,000	11,500	11,730	11,730	10,200	18,100	18,940	10,700	1,700
1875	-0,150	3,180	6,750		22,100				39,500				3,050
2000	-0,240								106,500				0,445
2125													

- Diagrama DG4.

P <sup>(*)</sup>	M <sub>1</sub>	M <sub>2</sub>	M <sub>3</sub>	M <sub>4</sub>	M <sub>5</sub>	M <sub>6</sub>	M <sub>7</sub>	M <sub>8</sub>	M <sub>9</sub>	M <sub>10</sub>	M <sub>11</sub>	M <sub>12</sub>	M <sub>13</sub>
0 <sup>(*)</sup>	0,000	0,000	0,000	0,000	0,000	0,000	0,000	0,000	0,000	0,000	0,000	0,000	0,000
250	-0,010	0,140	0,350	0,500	0,400	0,670	0,780	0,880	0,600	0,820	0,700	0,530	0,500
500	-0,020	0,290	0,660	0,980	0,800	1,290	1,540	1,690	1,400	1,600	1,330	1,010	0,340
750	-0,040	0,460	1,060	1,570	1,400	2,060	2,450	2,730	2,400	2,530	2,160	1,640	0,530
1000	-0,060	0,640	1,420	2,140	2,000	2,820	3,340	3,760	3,200	3,470	2,930	2,210	0,710
1125	-0,090	0,840	1,890	2,850	2,700	3,730	4,490	5,080	4,500	4,250	3,920	2,950	0,960
1250	-0,150	1,110	2,540	3,800	4,000	5,050	6,120	6,950	6,600	6,350	5,290	4,000	4,300
1375	-0,270	1,690	3,840	5,880	6,100	11,090	10,300	11,090	10,300	11,090	6,180	6,800	1,270
1500	-0,370	2,810	6,220		10,200								1,950
1625													3,150

\*) Valoarea "0" reprezintă situația disfragrei încărcată numai cu forță axială constantă N = 8,3 tf.

Tabelul 5.7.

Deplasările relative (componenta orizontală) ale punctelor omoloage de pe spaleti în axele vuiancruginor, în diferite trepte de încărcare.

Fle- mcn- tul	P mcn- (daN)	Depla- reas- rea (mm)	F <sub>1</sub>	F <sub>2</sub>	F <sub>3</sub>	F <sub>4</sub>	F <sub>5</sub>	F <sub>6</sub>	F <sub>7</sub>	F <sub>8</sub>
			0 <sup>#</sup>	0,0	0,0	0,0	0,0	0,0	0,0	0,0
DG1	250	0,0	0,0	0,0	0,0	0,0	0,0	0,0	0,0	0,0
	500	0,0	0,0	0,0	0,0	0,0	0,0	0,0	0,0	0,0
	750	0,0	0,0	0,0	0,0	0,0	0,0	0,0	0,0	0,0
	1000	0,0	0,0	0,0	0,0	0,0	0,0	0,0	0,0	0,0
	1250	0,0	0,0	0,0	0,0	0,0	0,0	0,0	0,0	0,0
	1500	0,5	0,0	0,5	1,0	1,0	1,0	1,0	1,0	0,5
	1750	1,0	0,5	1,0	1,0	1,0	1,0	1,0	1,0	1,0
	1750 <sup>**</sup>	1,0	0,5	1,0	1,0	1,0	1,0	1,0	1,0	1,0
	2000	1,0	1,0	1,0	1,0	1,0	1,0	1,0	1,0	1,0
	2125	1,5...3,0	1,0...3,0	1,5...3,0	1,5...3,0	1,5...3,0	1,5...3,0	1,5...3,0	1,5...3,0	1,5...3,0
DG2	0 <sup>#</sup>	0,0	0,0	0,0	0,0	0,0	0,0	0,0	0,0	0,0
	250	0,0	0,0	0,0	0,0	0,0	0,0	0,0	0,0	0,0
	500	0,0	0,0	0,0	0,0	0,0	0,0	0,0	0,0	0,0
	750	0,0	0,0	0,0	0,0	0,0	0,0	0,0	0,0	0,0
	1000	0,0	0,0	0,0	0,0	0,0	0,0	0,0	0,0	0,0
	1250	0,5	0,5	0,5	0,5	0,5	0,5	0,5	0,5	0,5
	1500	1,0	1,0	1,0	1,0	1,0	1,0	1,0	1,0	1,0
	1750	1,5	1,5	1,5	1,5	1,5	1,5	1,5	1,5	1,5
	2000	3,5	3,5	3,5	3,5	3,5	3,5	3,5	3,5	3,5
	2125	2,2	2,1	2,1	2,1	2,1	2,1	2,1	2,1	2,1

Tabelul 5.7• (continuare)

Element	P -apăsarea (mm)	F <sub>1</sub>	F <sub>2</sub>	F <sub>3</sub>	F <sub>4</sub>	F <sub>5</sub>	F <sub>6</sub>	F <sub>7</sub>	F <sub>8</sub>
DG3	0 <sup>**</sup>	0,0	0,0	0,0	0,0	0,0	0,0	0,0	0,0
	250	0,0	0,0	0,0	0,0	0,0	0,0	0,0	0,0
	500	0,0	0,0	0,0	0,0	0,0	0,0	0,0	0,0
	750	0,0	0,0	0,0	0,0	0,0	0,0	0,0	0,0
	1000	0,0	0,0	0,0	0,0	0,0	0,0	0,0	0,0
	1250	0,0	0,0	0,0	0,0	0,0	0,0	0,0	0,0
	1500	0,5	0,5	0,5	0,5	0,5	0,5	0,5	0,5
	1750	1,0	0,5	1,0	0,5	1,0	1,0	1,0	0,5
	2000	1,0	0,5	1,0	0,5	1,0	1,5	1,0	1,0
	2250	1,5	1,0	1,0	0,5	1,0	2,0	1,5	1,5
DG4	0 <sup>**</sup>	0,0	0,0	0,0	0,0	0,0	0,0	0,0	0,0
	250	0,0	0,0	0,0	0,0	0,0	0,0	0,0	0,0
	500	0,0	0,0	0,0	0,0	0,0	0,0	0,0	0,0
	750	0,0	0,0	0,0	0,0	0,0	0,0	0,0	0,0
	1000	0,0	0,0	0,0	0,0	0,0	0,0	0,0	0,0
	1250	1,0	0,0	1,0	0,0	0,0	0,5	0,5	0,5
	1500	1,0	0,5	1,0	0,5	0,0	0,5	0,5	0,5
	1750	1,5	1,0	2,0	1,5	2,0	3,0	2,5	2,5
	2000	2,0	2,0	4,0	4,0	5,0	5,5	5,5	5,0
	2250	3,0	1,5	3,0	3,5	21,0	23,0	22,5	22,5

<sup>\*\*</sup>) Valoarea "0" reprezintă situația diafragmei încărcată numai cu forța axială constantă N = 8,3 tf.

<sup>\*\*\*</sup>) Cîndrele B-a făcut după stabilizarea deformațiilor.

Tabelul 5.8.

Deschiderile fisurilor (mm) la diferite trepte de încărcare  
 - Diafragma DG2.

P (daN) Microcompara- torul	M <sub>14</sub>	M <sub>15</sub>	M <sub>16</sub>	M <sub>17</sub>
0*)	0,000	0,000	0,000	0,000
250	0,010	0,008	0,007	0,007
500	0,024	0,025	0,019	0,020
750	0,038	0,040	0,031	0,032
1000	0,061	0,063	0,047	0,048
1250	0,158	0,163	0,118	0,121
1500	0,318	0,325	0,339	0,337
1750	0,478	0,508	0,530	0,527
1875				
2000				
2125				

\*) Valoarea "0" reprezintă situația diafragmei încărcată  
 numai la forță axială constantă N = 8,3 tf.

- Diagrama DG3.

Tabelul 5.8. (continuare)

Licrocom- paruto- rul (dan)	M <sub>14</sub>	M <sub>15</sub>	M <sub>16</sub>	M <sub>17</sub>	M <sub>18</sub>	M <sub>19</sub>	M <sub>20</sub>	M <sub>21</sub>	M <sub>22</sub>	M <sub>23</sub>	M <sub>24</sub>	M <sub>25</sub>	M <sub>26</sub>	M <sub>27</sub>
0*)	0,000	0,000	0,000	0,000	0,000	0,000	0,000	0,000	0,000	0,000	0,000	0,000	0,000	0,000
250	0,027	0,012	0,014	0,011	0,010	0,004	0,003	0,008	0,014	0,010	0,012	0,013	0,004	0,018
500	0,036	0,024	0,025	0,021	0,018	0,006	0,008	0,015	0,029	0,013	0,028	0,029	0,012	0,034
750	0,061	0,043	0,040	0,040	0,035	0,026	0,014	0,015	0,025	0,044	0,045	0,045	0,022	0,052
1000	0,079	0,063	0,055	0,045	0,053	0,020	0,020	0,022	0,033	0,057	0,059	0,060	0,029	0,069
1250	0,171	0,149	0,134	0,109	0,070	0,050	0,046	0,046	0,061	0,116	0,119	0,138	0,143	0,060
1375	0,223	0,197	0,176	0,156	0,098	0,074	0,062	0,085	0,156	0,167	0,187	0,199	0,077	0,215
1500	0,305	0,274	0,245	0,208	0,174	0,108	0,095	0,137	0,230	0,253	0,264	0,286	0,121	0,309
1625	0,443	0,407	0,365	0,314	0,260	0,186	0,191	0,261	0,341	0,322	0,423	0,459	0,242	0,485
1750	0,560	0,522	0,500	0,410	0,559	0,270	0,281	0,385	0,387	0,563	0,614	0,312	0,643	
1875.	0,912	0,851	0,770	0,670	0,529	0,557	0,694							0,535
2000														
2125														

0*)	M <sub>28</sub>	M <sub>29</sub>	M <sub>30</sub>	M <sub>31</sub>
250	0,000	0,000	0,000	0,000
500	0,020	0,017	0,015	0,014
750	0,035	0,034	0,030	0,027
1000	0,054	0,054	0,043	0,042
1250	0,075	0,073	0,063	0,058
1375	0,179	0,222	0,155	0,157
1500	0,259	0,314	0,221	0,229
1625	0,313	0,488	0,264	0,365
1875	0,560	0,643	0,493	0,404
2000			0,856	0,810.
			0,862	

\* ) Valoarea "0" reprezintă situația diafragmei încărcată numai cu forță axială constantă  
L = 8,3 tf.

## - Diafragma DG4.

**Tabelul 5.8.** (continuare)

	M <sub>28</sub>	M <sub>29</sub>	M <sub>30</sub>	M <sub>31</sub>
0	0,000	0,000	0,000	0,000
250	0,020	0,027	0,036	0,026
500	0,056	0,073	0,073	0,054
750	0,100	0,131	0,117	0,113
1000	0,158	0,186	0,159	0,157
1125	0,237	0,238	0,227	0,220
1250	0,345	0,404	0,320	0,303
1375	0,565	0,866	0,548	0,518
1500				
1625				

**E)** Valoarea "O" reprezintă situația diafragmei încărcată numai cu forță axială constantă

$$N = 8,3 \text{ tf.}$$

BGNS 1

Tabloul 5.9.

Forță	Depla- sarea								
0	0	2000	0,06	800	0,03	800	0,07	4800	0,32
800	0,01	1600	0,05	0	0,00	0	0,02	4000	0,28
1200	0,02	1200	0,04	800	0,02	800	0,04	3200	0,25
1600	0,025	800	0,03	1200	0,04	1600	0,06	2400	0,22
2000	0,045	0	0,01	1600	0,05	2400	0,08	1600	0,18
2400	0,06	800	0,03	2000	0,06	3200	0,11	800	0,14
2000	0,055	1600	0,04	2400	0,07	4000	0,14	0	0,09
1600	0,04	2000	0,05	2800	0,08	4800	0,18	800	0,04
1200	0,03	2400	0,06	3200	0,10	5600	0,22	1600	0,00
0	0,01	2800	0,08	3600	0,12	6400	0,27	2400	-0,05
800	0,02	3200	0,09	4000	0,15	7200	0,32	3200	-0,09
1200	0,03	3600	0,11	3600	0,14	8000	0,39	6000	-0,14
1600	0,04	2800	0,09	2800	0,12	7200	0,38	4800	-0,19
2000	0,05	2000	0,08	2000	0,11	6400	0,37	5600	-0,26
2400	0,06	1200	0,05	1200	0,09	5600	0,35	6400	-0,32
								2400	0,12

EGWS 1

Tabelul 5.9. (continuare)

Forță	Depla-sarea								
3200	0,17	6400	0,66	6400	-0,41	5600	-1,39	7200	0,63
4000	0,21	5600	0,62	7200	-0,47	4800	-1,34	8000	0,72
4800	0,26	4800	0,58	8000	-0,54	4000	-1,27	8800	0,78
5600	0,30	4000	0,53	8800	-0,63	3200	-1,19	9600	0,93
6400	0,34	3200	0,49	9600	-0,77	2400	-1,13	10400	1,10
7200	0,37	2400	0,44	10400	-0,90	1600	-1,05	11200	1,33
8000	0,42	1600	0,39	11200	-1,15	800	-0,97	12000	1,53 - 15 mE
8800	0,48	800	0,33	12000	-1,45	0	-0,82		
9600	0,57	0	0,26	12000	-1,71	800	-0,68		
10400	0,67	800	0,14	11200	-1,68	1600	-0,49		
11200	0,81	1600	0,01	10400	-1,65	2400	-0,32		
10400	0,80	2400	-0,11	9600	-1,61	3200	0,00		
9600	0,79	3200	-0,19	8800	-1,57	4000	0,19		
8800	0,76	4000	-0,25	8000	-1,53	4800	0,33		
8000	0,72	4800	-0,30	7200	-1,49	5600	0,42		
7200	0,69	5600	-0,35	6400	-1,45	6400	0,52		

BGN S 2.

Tabloul 5.10.

Portă	Depla-sarea	Forța	Depla-sarea								
0	0	4500	0,18	2500,	-0,05	2000	-0,12	5500	0,17	13000	0,59
500	0,01	4000	0,17	3000	-0,06	1550	-0,10	6000	0,19	13500	0,63
1000	0,02	3500	0,15	3500	-0,08	-1000	-0,08	6500	0,21	14000	0,66
1500	0,03	3000	0,14	4000	-0,10	500	-0,07	7000	0,23	13500	0,65
2000	0,05	2500	0,12	4500	-0,12	0	-0,02	7500	0,26	13000	0,64
2500	0,06	2000	0,11	5000	-0,15	500	-0,01	8000	0,29	12500	0,63
3000	0,08	1500	0,09	5500	-0,17	1000	0,00	8500	0,31	12000	0,62
3500	0,09	1000	0,08	8000	-0,20	1500	0,02	9000	0,34	11500	0,61
4000	0,11	500	0,06	5500	-0,20	2000	0,04	9500	0,37	11000	0,60
4500	0,13	0	0,04	5000	-0,20	2500	0,06	10000	0,40	10500	0,59
5000	0,15	0	0,02	4500	-0,19	3000	0,08	10500	0,43	10000	0,57
5500	0,17	500	0,01	4000	-0,17	3500	0,09	11000	0,46	9500	0,55
6000	0,20	1000	0,00	3500	-0,16	4000	0,11	11500	0,49	9000	0,53
5500	0,20	1500	-0,01	3000	-0,14	4500	0,13	12000	0,53	8500	0,51
5000	0,19	2000	-0,03	2500	-0,13	5000	0,15	12500	0,56	8000	0,50

EGNS 2.

Tabelul 5.10. (continuare)

Forță	Depla-sarea								
7500	0,48	500	0,08	8500	-0,35	13500	-0,84	5500	-0,54
7000	0,46	1000	0,05	9000	-0,38	13000	-0,83	5000	-0,52
6500	0,44	1500	0,03	9500	-0,42	12500	-0,82	4500	-0,49
6000	0,42	2000	-0,01	10000	-0,44	12000	-0,81	4000	-0,47
5500	0,39	2500	-0,02	10500	-0,47	11500	-0,80	3500	-0,44
5000	0,37	3000	-0,04	11000	-0,52	11000	-0,79	3000	-0,41
4500	0,35	3500	-0,07	11500	-0,55	10500	-0,78	2500	-0,38
4000	0,33	4000	-0,09	12000	-0,58	10000	-0,75	2000	-0,35
3500	0,31	4500	-0,12	12500	-0,62	9500	-0,73	1500	-0,31
3000	0,28	5000	-0,14	13000	-0,67	9000	-0,71	1000	-0,27
2500	0,26	5500	-0,16	13500	-0,72	8500	-0,69	500	-0,23
2000	0,24	6000	-0,19	14000	-0,74	8000	-0,67	0	-0,19
1500	0,21	6500	-0,22	14500	-0,82	7500	-0,65	5000	-0,12
1000	0,18	7000	-0,25	15000	-0,87	7000	-0,62	1000	-0,10
500	0,16	7500	-0,27	14500	-0,86	6500	-0,60	1500	-0,07
0	0,12	8000	-0,31	14000	-0,85	6000	-0,58	2000	-0,02
								10000	0,49

BGNS 2.

Tabelul 5.10. (continuare)

Forță	Deplasarea	Forță	Deplasarea
10500	0,51	18000	1,18
11000	0,54	18500	1,25
11500	0,57	19000	1,41
12000	0,59	19500	1,49
12500	0,62	20000	1,65
13000	0,66	20500	1,73
13500	0,68	21000	1,78
14000	0,71	21500	1,91
14500	0,74	22000	2,03
15000	0,80	22500	2,18
15500	0,86	23000	2,33 - 45 mm
16000	0,93		
16500	1,00		
17000	1,05		
17500	1,11		

BGNL 1.Tabelul 5.11.

Forță	Deplasarea	Forța	Deplasarea	Forța	Deplasarea	Forță	Deplasarea	Forță	Deplasarea
0	0,00	2000	-0,08	3000	0,34	6400	0,84	4400	2,04
800	0,03	2400	-0,13	4000	0,40	6800	0,91	3600	1,90
1200	0,05	2800	-0,18	3200	0,39	7200	1,02	2800	1,80
1600	0,08	3200	-0,23	2400	0,35	7600	1,16	2000	1,70
2000	0,11	2800	-0,22	1600	0,30	8000	1,26	1200	1,54
2400	0,15	2400	-0,21	800	0,23	8400	1,42	800	1,48
2800	0,20	2000	-0,20	0	0,09	8800	1,50	0	1,30
3200	0,25	1600	-0,18	800	0,00	9200	1,75	0	1,27
2800	0,23	1200	-0,15	1600	-0,09	9600	1,88	800	1,11
2000	0,18	800	-0,12	2400	-0,16	9600	2,33-	1600	0,71
1200	0,16	0	-0,05	3200	-0,25	9000	2,48	2400	0,11
800	0,13	0	0,00	4000	-0,35	8200	2,42	3200	0,18
0	0,07	800	0,07	4800	-0,43	7600	2,38	4000	0,35
800	0,02	1600	0,14	5200	-0,53	6800	2,30	4800	0,52
1200	-0,02	2400	0,21	5600	-0,63	6000	2,20	5600	0,67
1600	-0,05	3200	0,30	6000	-0,70	5200	2,12	6800	0,87

BGNL 2.

Tabelul 5.12.

Forță	Depla-sarea										
0	0	2500	0,21	4500	-0,23	2000	0,07	9500	0,86	5000	0,80
500	0,01	2000	0,18	5000	-0,29	2500	0,10	10000	0,95	4500	0,72
1000	0,03	1500	0,15	4500	-0,28	3000	0,13	10500	1,06	4000	0,65
1500	0,05	1000	0,12	4000	-0,27	3500	0,17	11000	1,16	3500	0,62
2000	0,08	500	0,10	3500	-0,26	4000	0,20	10500	1,15	3000	0,57
2500	0,10	0	0,06	3000	-0,23	4500	0,24	10000	1,14	2500	0,51
3000	0,14	0	0,03	2500	-0,21	5000	0,28	9500	1,13	2000	0,46
3500	0,18	500	-0,03	2000	-0,18	5500	0,33	9000	1,11	1500	0,40
4000	0,22	1000	0,00	1500	-0,15	6000	0,38	8500	1,08	1000	0,35
4500	0,26	1500	-0,02	1000	-0,12	6500	0,43	8000	1,04	500	0,28
5000	0,32	2000	-0,06	500	-0,09	7000	0,49	7500	1,00	0	0,19
4500	0,31	2500	-0,09	0	-0,05	7500	0,55	7000	0,96	0	0,17
4000	0,29	3000	-0,12	500	-0,03	8000	0,61	6500	0,92	500	0,13
3500	0,27	3500	-0,16	1000	0,00	8500	0,69	6000	0,87	1000	0,08
3000	0,24	4000	-0,19	1500	0,03	9000	0,76	5500	0,82	1500	0,11

BGNL 2.

Tabelul 5.12. (continuare)

Forță	Deplo- zarea										
2000	-0,04	9500	-0,92	10000	-2,57	3500	-1,80	4000	-0,40	11500	1,14
2500	-0,09	10000	-1,07	10500	-2,53	3000	-1,43	4500	-0,24	12000	1,30
3000	-0,13	10500	-1,15	10000	-2,48	2500	-1,66	5000	-0,08	12500	1,40
3500	-0,17	11000	-1,27	9500	-0,47	2000	-1,58	5500	+0,04	13500	1,50
4000	-0,22	11500	-1,39	9000	-2,40	1500	-1,50	6000	+0,20	14000	1,60
											40,0 mm
4500	-0,28	12000	-1,52	8500	-2,37	1000	-1,39	6500	+0,32		
5000	-0,33	12500	-1,69	8000	-2,33	500	-1,32	7000	+0,40		
5500	-0,38	13000	-1,99	7500	-2,28	0	-1,20	7500	+0,46		
6000	-0,43	13500	-2,30	7000	-2,22	500	-1,12	8000	+0,58		
6500	-0,50	14000	-2,70	6500	-2,17	1000	-0,95	8500	+0,66		
7000	-0,56	13500	-2,68	6000	-2,11	1500	-0,87	9000	+0,74		
7500	-0,62	13000	-2,66	5500	-2,06	2000	-0,80	9500	+0,84		
8000	-0,70	12500	-2,64	5000	-2,00	2500	-0,70	10000	+0,90		
8500	-0,76	12000	-2,62	4500	-1,93	3000	-0,62	10500	+0,96		
9000	-0,85	11500	-2,60	4000	-1,87	3500	-0,60	11000	+1,08		

BGFS 1.

Tabelul 5.13.

Forță	Deplasare										
0	0,00	500	0,24	1000	0,10	5500	1,83	2000	1,57	2500	0,55
500	0,01	0	0,23	500	0,12	5000	1,83	2500	1,49	2000	0,57
1000	0,02	500	0,21	0	0,15	4500	1,82	3000	1,44	1500	0,58
1500	0,07	1000	0,19	500	0,18	4000	1,81	3500	1,39	1000	0,60
2000	0,09	1500	0,17	1000	0,20	3500	1,80	4000	1,30	5000	0,62
2500	0,13	2000	0,14	1500	0,22	3000	1,79	4500	1,20	0	0,65
3000	0,18	2500	0,12	2000	0,24	2500	1,78	5000	1,11	500	0,68
3500	0,24	3000	0,08	2500	0,27	2000	1,77	5500	0,98	1000	0,80
4000	0,29	3500	0,06	3000	0,30	1500	1,76	6000	0,56	1500	1,00
3500	0,29	4000	0,00	3500	0,34	1000	1,74	5500	0,50	2000	1,38
3000	0,29	3500	0,01	4000	0,40	500	1,72	5000	0,50	2500	1,63
2500	0,28	3000	0,02	4500	0,45	0	1,72	4500	0,51	3000	2,00
2000	0,27	2500	0,04	5000	0,54	500	1,68	4000	0,52	3500	2,23
1500	0,26	2000	0,06	5500	0,66	1000	1,67	3500	0,53	4000	2,53
1000	0,25	1500	0,08	6000	0,90	1500	1,64	3000	0,54	4500	2,90
					1,83						

BGFS 2.

Tabelul 5.14.

Forță	Depla-sareă										
0	0,00	7000	0,41	0	0,18	7000	-0,36	0	-0,01	6500	0,38
500	0,01	6500	0,40	500	0,14	6500	-0,36	0	0,02	7000	0,40
1000	0,02	6000	0,40	1000	0,13	6000	-0,35	500	0,03	7500	0,44
1500	0,04	5500	0,39	1500	0,10	5500	-0,34	1000	0,06	8000	0,50
2000	0,06	5000	0,37	2000	0,07	5000	-0,32	1500	0,08	8500	0,54
2500	0,08	4500	0,36	2500	0,03	4500	-0,30	2000	0,11	9000	0,57
3000	0,12	4000	0,34	3000	-0,03	4000	+0,28	2500	0,15	9500	0,60
3500	0,14	3500	0,32	3500	-0,05	3500	-0,26	2000	0,18	10000	0,72
4000	0,16	3000	0,31	4000	-0,07	3000	-0,23	3500	0,20	9500	0,72
4500	0,20	2500	0,29	4500	-0,12	2500	-0,20	4000	0,23	9000	0,71
5000	0,24	2000	0,27	5000	-0,18	2000	-0,15	4500	0,26	8500	0,70
5500	0,28	1500	0,25	5500	-0,22	1500	-0,13	5000	0,28	8000	0,69
6000	0,31	1000	0,24	6000	-0,25	1000	-0,09	5500	0,31	7500	0,67
6500	0,35	5000	0,21	6500	-0,29	500	-0,07	6000	0,33	7000	0,66

BGFS 2.

Tabelul 6.14. (continuare)

Forță	Depla-sarea	Forța	Depla-sarea	Forță	Depla-sarea	Forță	Depla-sarea	Forță	Depla-sarea	Forță	Depla-sarea
6500	0,65	1000	0,24	8500	-0,42	4000	-0,39	3500	0,30	11000	0,84
6000	0,64	1500	0,18	9000	-0,46	3500	-0,35	4000	0,34	11500	0,90
5500	0,62	2000	0,15	9500	-0,50	3000	-0,32	4500	0,38	12000	1,05
5000	0,60	2500	0,11	10000	-0,59	2500	-0,26	5000	0,42	12500	1,10
4500	0,58	3000	0,07	9500	-0,59	2000	-0,22	5500	0,46	13000	1,14
4000	0,55	3500	0,03	9000	-0,59	1500	-0,18	6000	0,48	13500	1,20
3500	0,53	4000	-0,01	8500	-0,58	1000	-0,13	5500	0,52	14000	1,28
3000	0,51	4500	-0,05	8000	-0,57	500	-0,09	7000	0,55	14500	1,36
2500	0,48	5000	-0,10	7500	-0,56	0	-0,01	7500	0,57	15000	1,45
2000	0,46	5500	-0,12	7000	-0,54	500	0,05	8000	0,60	15500	1,53
1500	0,45	6000	-0,18	6500	-0,52	1000	0,08	8500	0,63	16000	1,63
1000	0,40	6500	-0,22	6000	-0,49	1500	0,13	9000	0,65	16500	1,74
500	0,36	7000	-0,26	5500	-0,47	2000	0,17	9500	0,69	17000	1,86
0	0,31	7500	-0,31	5000	-0,45	2500	0,21	10000	0,73	17500	2,00
500	0,27	8000	-0,36	4500	-0,42	3000	0,26	10500	0,79	32,5 mm	

BGFL 1.

Tabelul 5.15.

Forță	Depla-sarea										
0	0,00	1500	0,01	2500	0,37	0	1,04	2500	-0,24	4500	2,28
500	0,05	2000	-0,08	3000	0,43	500	0,98	2000	-0,19	5000	1,04 -
1000	0,09	2500	-0,16	3500	0,37	1000	0,91	1500	-0,13		
1500	0,15	3000	-0,26	4000	0,60	1500	0,84	1000	-0,04		
2000	0,22	2500	-0,25	4500	0,80	2000	0,73	500	0,11		
2500	0,32	2000	-0,24	5000	1,34	2500	0,53	0	0,37		
3000	0,41	1500	-0,19	4500	1,33	3000	0,39	0	0,52		
2500	0,40	1000	-0,14	4000	1,32	3500	0,29	500	0,62		
2000	0,39	500	-0,07	3500	1,31	4000	0,07	1000	0,76		
1500	0,36	0	0,02	3000	1,30	4500	-0,11	1500	0,95		
1000	0,31	0	0,07	2500	1,26	5000	-0,29	2000	1,17		
500	0,27	500	0,13	2000	1,24	4500	-0,10	2500	1,26		
0	0,20	1000	0,23	1500	1,20	4000	-0,12	3000	1,35		
500	0,14	1500	0,28	1000	1,15	3500	-0,14	3500	1,50		
1000	0,08	2000	0,33	500	1,09	3000	-0,20	4000	1,84		

BGFL 2.

Tabelul 5.16.

Forță	Deplasarea										
0	0,00	1500	0,05	3000	0,37	2000	0,83	5500	-0,55	1000	-0,40
500	0,05	2000	0,10	3500	0,44	1500	0,74	6000	-0,71	500	-0,31
1000	0,10	2500	0,17	4000	0,52	1000	0,67	6500	-0,84	0	-0,16
1500	0,14	3000	0,25	4500	0,65	500	0,60	7000	-1,06	500	-0,02
2000	0,21	2500	0,24	5000	0,72	0	0,49	6500	-1,05	1000	0,07
2500	0,29	2000	0,23	5500	0,87	500	0,40	6000	-1,02	1500	0,12
3000	0,36	1500	0,19	6000	1,04	1000	0,33	6500	-1,01	2000	0,26
2500	0,36	1000	0,15	6000	1,12	1500	0,25	5000	-0,96	2500	0,40
2000	0,35	500	0,08	5500	1,11	2000	0,15	4500	-0,92	3000	0,49
1500	0,30	0	0,01	5000	1,10	2500	0,06	4000	-0,88	3500	0,58
1000	0,25	500	0,07	4500	1,09	3000	-0,02	3500	-0,83	4000	0,70
500	0,20	1000	0,12	4000	1,04	3500	-0,14	3000	-0,75	4500	0,78
0	0,13	1500	0,18	3500	1,01	4000	-0,21	2500	-0,67	5000	0,89
500	0,06	2000	0,23	3000	0,97	4500	-0,31	2000	-0,59	5500	0,97
1000	0,01	2500	0,30	2500	0,90	5000	-0,42	1500	-0,49	6000	1,05
											42,3 mm